

ESTUDIO CLIMÁTICO DE ANAGA

ANÁLISIS DE LA PRECIPITACIÓN Y HUMEDAD DEL AIRE

PRIMERA PARTE



**Parque Rural
Anaga**

Luis Manuel Santana Pérez

2014

ÍNDICE

1	PRESENTACIÓN	4
2	JUSTIFICACIÓN DEL ESTUDIO CLIMÁTICO	5
3	PRESENTACIÓN FOTOGRÁFICA DEL RELIEVE DE ANAGA	6
4	RASGOS GENERALES DEL CLIMA DE DE LA PENÍNSULA DE ANAGA.....	13
5	ESTACIONES METEOROLÓGICAS EN LA PENÍNSULA DE ANAGA.....	15
5.1	ESTACIONES AUTOMÁTICAS	17
5.2	ESTACIONES PLUVIOMÉTRICAS HELLMAN TRADICIONALES.....	17
6	PRECIPITACIONES ACUMULADAS ESTACIONALES Y ANUALES MEDIAS EN LA RED PLUVIOMÉTRICA DEL NORESTE DE TENERIFE	19
7	PRECIPITACIONES ACUMULADAS MEDIAS MENSUALES EN LAS ESTACIONES AUTOMÁTICAS DEL NORESTE DE TENERIFE.....	26
8	EVOLUCIÓN DE LAS PRECIPITACIONES ACUMULADAS TRIMESTRALES Y ANUALES EN LAS SERIES TEMPORALES MÁS LARGAS DE TENERIFE.	32
8.1	TENDENCIAS DE LAS PRECIPITACIONES ACUMULADAS ESTACIONALES Y ANUALES EN SANTA CRUZ DE TENERIFE.....	32
8.2	TENDENCIAS DE LAS PRECIPITACIONES ACUMULADAS ESTACIONALES Y ANUALES EN EL AEROPUERTO DE LOS RODEOS	36
9	PERFILES ALTITUDINALES ANUALES Y ESTACIONALES EN VERTIENTES A BARLOVENTO Y SOTAVENTO DE ANAGA	40
10	LA HUMEDAD RELATIVA DEL AIRE EN ANAGA.....	44
11	HUMEDADES DEL AIRE MEDIAS MENSUALES REGISTRADAS EN LAS ESTACIONES AUTOMÁTICAS DEL NORESTE DE TENERIFE.....	47
12	HUMEDADES RELATIVAS DEL AIRE MEDIAS TRIMESTRALES Y ANUALES ESTIMADAS	54
13	HORAS MUY HÚMEDAS Y HORAS HIPERHÚMEDAS DEL AIRE MEDIAS TRIMESTRALES Y ANUALES ESTIMADAS	58
14	HORAS SEMISECAS Y HORAS SECAS DEL AIRE MEDIAS	68
15	HORAS DE HUMEDAD PARA DIFERENTES REFERENCIAS HIGROMÉTRICAS ...	76
16	ANÁLISIS CLIMÁTICO DE DIAS HÚMEDOS.....	80
16.1	CAPA HÚMEDA ENTRE LA COSTA Y CUMBRES DE ANAGA.....	80
16.2	CAPA SEMIHÚMEDA EN COSTA Y CAPA MUY HÚMEDA EN MEDIANÍA ALTA	101

16.3	CAPA SEMISECA EN COSTA Y CAPA HÚMEDA EN MEDIANÍA ALTA	121
16.4	CAPA HÚMEDA EN COSTA Y CAPA SECA EN MEDIANÍA ALTA	128
17	CARACTERÍSTICAS METEOROLÓGICAS DE DÍAS CALIMOSOS	140
18	ANÁLISIS CLIMÁTICO DE DÍAS CALIMOSOS	148
18.1	DÍAS QUE CONFIRMAN CALIMA HÚMEDA	156
18.2	CAPA SECA ENTRE LA COSTA Y CUMBRES DE ANAGA	168
A	ANEXOS.....	187
A.1.	ESTACIONES METEOROLÓGICAS AUTOMÁTICAS DE TENERIFE.....	187
A.2.	CONCEPTOS METEOROLÓGICOS E INSTRUMENTACIÓN	189
A.3.	LOCALIZACIÓN DE LOS MUNICIPIOS DE TENERIFE	192
A.4.	ESTACIONES AUTOMÁTICAS EN LAS COMARCAS	193
A.5.	TABLAS DE OBSERVACIONES MEDIAS	195
A.5.1.	PRECIPITACIONES MENSUALES ACUMULADAS MEDIAS	195
A.5.2.	PRECIPITACION DIARIA MAXIMA ABSOLUTA CADA MES. FECHAS	200
A.5.3.	PRECIPITACIONES DIARIAS SUPERIORES A 50 MM CADA MES. FECHA	202
A.5.4.	FRECUENCIAS ABSOLUTAS DE PRECIPITACIONES DIARIAS SUPERIORES A 5 MILÍMETROS	218
A.5.5.	FRECUENCIAS ABSOLUTAS DE PRECIPITACIONES DIARIAS SUPERIORES A 10 MILIMETROS	219
A.5.6.	FRECUENCIAS ABSOLUTAS DE PRECIPITACIONES DIARIAS SUPERIORES A 25 MILIMETROS	219
A.5.7.	FRECUENCIAS ABSOLUTAS DE PRECIPITACIONES DIARIAS SUPERIORES A 50 MILIMETROS	220
A.5.8.	FRECUENCIAS ABSOLUTAS DE PRECIPITACIONES DIARIAS SUPERIORES A 75 MILIMETROS	220
A.5.9.	FRECUENCIAS ABSOLUTAS DE PRECIPITACIONES DIARIAS SUPERIORES A 100 MILIMETROS	221
A.5.10.	HUMEDADES DEL AIRE MENSUALES MEDIAS	221
A.5.11.	HORAS MEDIAS DIARIAS $H \leq 40\%$	223
A.5.12.	HORAS MEDIAS DIARIAS $H \leq 55\%$	225
A.5.13.	HORAS MEDIAS DIARIAS $H \geq 85\%$	227
A.5.14.	HORAS MEDIAS DIARIAS $H \geq 95\%$	229

1 PRESENTACIÓN

Allá por el año 1959 se publicó en el Anuario de Estudios Atlánticos un trabajo titulado el clima de Canarias, del insigne meteorólogo D. Inocencio Font Tullot, que según los expertos sigue teniendo plena vigencia en la actualidad. En la introducción de esta obra este estudioso de la meteorología exponía: “En este trabajo nos vamos a limitar a describir y explicar los aspectos más fundamentales del clima y tiempo atmosférico de las Islas Canarias, dejando para otra ocasión el examen detallado de sus numerosas variantes climáticas locales”. Aunque tuvo una dilatada vida investigadora no pudo abordar esta faceta que ya dejó planteada en esta obra.

No obstante, algunos años después otro entusiasta meteorólogo canario enamorado de su profesión, nos presenta un riguroso trabajo de una de estas variantes climáticas locales que esbozaba D. Inocencio, en este caso del emblemático Macizo de Anaga.

Nos encontramos ante el estudio más completo y extenso que se ha realizado sobre el clima de Anaga, apoyado en una profusión de datos meteorológicos que el autor ha rescatado de la noche de los tiempos, donde aparecen registros tomados desde el primer tercio del pasado siglo, que estadísticamente bien tratados ha convertido en diagramas, tablas, gráficos y mapas, de manera que permiten al lector entender mejor el clima y el tiempo atmosférico de este trozo de la geografía insular.

En esta obra podemos ver de una manera nítida la estrecha relación que existe entre el clima y la vegetación que actúan como vasos comunicantes, por tanto cabe destacar el gran valor que encierran las distintas formaciones vegetales, especialmente del monteverde que crece en las crestas de este macizo. Lo que viene a dejar patente, una vez más, la necesidad de protección de esta masa boscosa, no solo si queremos que Anaga siga siendo esa Arca de Noé de la biodiversidad insular, sino también como regulador del clima local.

Este extenso trabajo es, sin dudas, una magnífica herramienta no sólo para los profesionales de la meteorología, sino también para agricultores, ganaderos, gestores de áreas protegidas, forestales, comerciantes, sector energético, sector turístico, etc., por lo que se debería disponer de este tipo de estudios en las distintas comarcas de la isla. En este sentido, los fenómenos relacionados con el clima, como cantidad y distribución de lluvias, disponibilidad de agua en el suelo, vientos, radiación solar, son fenómenos que repercuten directamente en la producción y cosechas de los diferentes cultivos. Además, la presencia de plagas y enfermedades, la eficiencia en la absorción de nutrientes, la demanda de agua por las plantas y la duración de los ciclos vegetativos, dependen también en gran medida de las condiciones climáticas de cada zona. En definitiva el disponer de estos datos es de suma importancia para la economía de la isla.

No cabe duda que cuanto mejor sea el conocimiento que tengamos sobre un territorio, mayor capacidad tendremos de dar respuestas a sus problemas. Por ello se debería seguir profundizando en esta línea de trabajo y conseguir el apoyo de las administraciones públicas para llevarlas a cabo, de manera que estas iniciativas no dependan solo del trabajo altruista, entusiasta y desinteresado de personas comprometidas con el conocimiento y su tierra.

José Cristóbal Rodríguez Piñero
Director de la Oficina de Gestión del Parque Rural de Anaga

2 JUSTIFICACIÓN DEL ESTUDIO CLIMÁTICO

Cuando era más joven y en aquellos tiempos practicaba montañismo en una sociedad deportiva “Grupo Montañero de Tenerife” tuve conocimiento de un espacio abrupto ideal para ejercitar deporte y amistad con personas que nos unía la búsqueda de aventura.

Hace unos meses Cristóbal, mi amigo biólogo del ICONA desde la década de los ochenta me expuso el proyecto Reserva de la Biosfera de Anaga, en las cuales varias personas de distintas formaciones mostraban sus conocimientos en apoyo de su Declaración, eso sí me advirtió que el documento debería tener no más de 15 páginas. Insatisfecho de esa proposición de escritura tan corta e indicarme que podía expresar todos mis conocimientos en otro documento de ilimitado tamaño donde como valedor de experiencia climática adquirida tras muchos años y de documentos escritos expuestos en la web informativa de Agrocabildo de Tenerife no dudé en ningún instante acometer esa empresa divulgativa. La obra completa consta de dos partes: la precipitación y humedad de Anaga presente en este documento, y la temperatura, velocidad del viento, radiación solar y balance hídrico, documento que me comprometo presentar en los próximos meses.

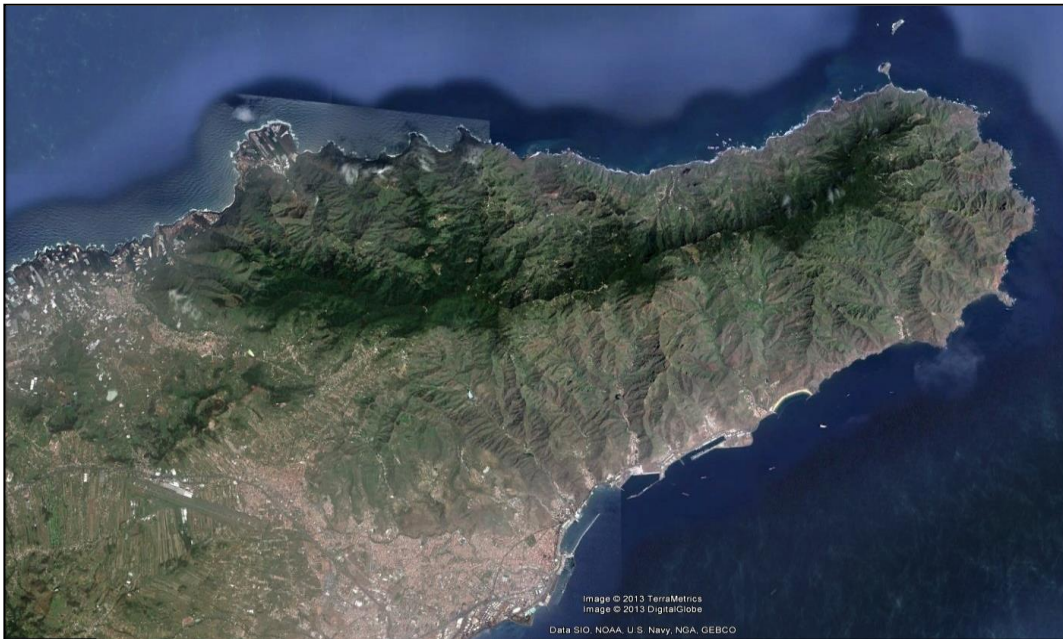
Este trabajo tiene dos motivaciones personales. En primer lugar, tiene un valor sentimental de agradecimiento a todas las personas de buena voluntad que se prestaron a recoger datos pluviométricos, y algunos termo - higrométricos, bajo la iniciativa de los Guardas Forestales de los Ayuntamientos de Santa Cruz de Tenerife y de La Laguna que en todo momento dieron importancia a la información meteorológica y muchos de ellos permanecen fiel en su labor de observadores hasta nuestros días; también, al equipo de instalación de material sencillo de la densa red climática en los ochenta, estaciones que describía los contrastes orográficos del Macizo de Anaga. En segundo lugar, tiene un valor informativo, frente a la ausencia histórica de información climática en un territorio accidentado y con gran “contenido de vida”; pretendo mostrar a las personas interesadas en asuntos medioambientales toda la documentación de la pluviometría a partir de 1931 hasta diciembre 2013, higrometría desde enero 2002, así como de forma sencilla tratamiento estadístico básico mensual y anual, mapas esquemáticos trimestrales y anuales, graficas novedosas de la relación humedad del aire y la dirección del viento.

Los autores de las fotografías en este trabajo son los siguientes:

- Agrocabildo
- J. A. Puerta
- Cristóbal Rodríguez Piñero
- Gerardo Oronoz Alonso
- Sergio Socorro Hernández
- Lázaro Sánchez Pinto
- Francisco Barrera González
- Joaquín Navarro Hevia
- Julio Muñoz Padilla
- Silvia Alonso Pérez
- Francisco Castellano González
- Abigail Ramírez

Mi gratitud a todos ellos.

3 PRESENTACIÓN FOTOGRÁFICA DEL RELIEVE DE ANAGA



La fotografía satelital muestra las características orográficas de la península de Anaga
Data SIO, NOAA, US, Navy, NGA, GEBCO, Terra Metrics, 2013.



Capa delgada estratocúmulos de formación orográfica cubre la península de Anaga



Costa escarpada en la vertiente a barlovento nornoreste (Foto: J.A Puerta)



Costa escarpada en la vertiente estesureste a sotavento. Igueste de San Andrés



Laderas erosionadas en la medianía a barlovento. Barranco de Afur



Laderas escasamente cultivadas en la crestería a sotavento.

Fotos Cristóbal Rodríguez



Crestería en la parte más sur occidental de la cordillera de Anaga



Crestería boscosa en la parte central de la cordillera de Anaga



Vegetación típica de la medianía a sotavento



Interior del bosque del Pijaral en la crestería del macizo oriental de Anaga

Fotos: Cristóbal Rodríguez Piñero

La atmósfera muy húmeda por efecto orográfico sobre las laderas y crecerías más altas del macizo se manifiesta en forma de neblina y niebla muchos días del año. Fenómenos meteorológicos de precipitaciones de rocío y de niebla tienen gran importancia en el balance hídrico anual de las mencionadas zonas.



Ladera en el extremo oriental de la península de Anaga.

Foto: Gerardo Oronoz Alonso



Vegetaciones xerófila y fayal - brezal típicas en la costa y medianías sureste a sotavento

Las aguas corren ocasionalmente en otoño o invierno a través de los barrancos después de intensas precipitaciones tras el paso de las depresiones atlánticas. Riachuelo y cascada en los cauces del Barranco de Iguste de San Andrés y medianía del barranco de San Andrés el 2 de febrero de 2010.

Fotos: Cristóbal Rodríguez Piñero



Costa escarpada noroeste de Anaga

La vegetación xerófila recibe un importante aporte hídrico cuando la atmósfera marina muy húmeda alcanza las laderas escarpadas o las olas rompen en las orillas de acantilados. La **maresía** es mucho más intensa durante una noche ventosa instantes anteriores del amanecer.

Acantilados del barranco de Tamadite y proximidad a la Punta del Hidalgo.
Fotos: Cristóbal Rodríguez Pinero y Sergio Socorro Hernández.

4 RASGOS GENERALES DEL CLIMA DE LA PENÍNSULA DE ANAGA

El clima de Anaga al igual que el resto de las islas Canarias está determinado por su situación frente a la costa del noroeste de África, su proximidad al Trópico y las corrientes marinas frías.

La zona de altas presiones del Atlántico Oriental está situada normalmente al noroeste de las islas Canarias y permanece estable casi todo el año. Esta zona de altas presiones denominada **zona de las Azores**, cambia su posición durante el año, pero se encuentra casi siempre sobre la línea Azores – Madeira – Canarias. Las masas de aire que llegan a las costas del archipiélago canario están condicionadas por la distribución de la temperatura de la superficie del mar, estrechamente relacionada con la corriente fría de Canarias. Las masas de aire son expulsadas del anticiclón cálido de las Azores, y en esta región forman los **vientos alisios**, vientos moderados que soplan principalmente en el norte a noreste.

Los **vientos alisios** transportan a las islas aire húmedo y fresco. A esta capa de aire húmedo superficial se le superpone normalmente otra capa seca, separadas ambas por una **inversión vertical de temperatura**. En esta zona, tiene lugar los fenómenos de condensación de vapor de agua, desarrollándose una amplia capa de estratocúmulos, llamada popularmente **mar de nubes**. Este tipo de **estratificación atmosférica es muy estable**, la posibilidad de movimientos convectivos y turbulentos queda limitados por la capa seca. En la costa del continente africano donde más frías son las aguas, se forman principalmente en verano, una **auténtica barrera de aire frío** que en las situaciones de invasiones de aire caliente procedentes del interior del continente no puede remover, las masas de aire cálidas a través de ésta, se desplazan en altura hacia el océano.

En Canarias este fenómeno es una de las causas de la **inversión de temperaturas** sobre la superficie del mar; el nivel y espesor de la inversión de la temperatura sufre grandes variaciones durante el transcurso del día. La altura de la base de la inversión suele disminuir progresivamente a medida que aumenta el calentamiento diurno del suelo.

Las situaciones sinópticas que modifican el régimen dominante de los **vientos alisios** en la región canaria, sucede por la **llegada de advecciones** superiores de aire polar o por el paso de zonas **de bajas presiones**, estas situaciones rompen la estratificación estable de la atmósfera y provocan el desarrollo de grandes movimientos convectivos que cambian el carácter de buen tiempo, registrándose en la mayor parte de las islas, precipitaciones y según el origen de la situación depresionaria, pueden desencadenar abundantes lluvias en zonas del archipiélago.

Las **irrupciones de aire frío** provocan la destrucción del gradiente térmico vertical estable que produce las inversiones térmicas. Las irrupciones de aire polar o subpolar que invaden la región canaria son inestables y desencadenan una fuerte actividad convectiva que se acrecientan por el relieve accidentado. Las perturbaciones oceánicas provocan frecuentemente lluvias intensas.

Las **borrascas ondulatorias** son las únicas que llevan frentes nubosos asociados llamados **borrascas extratropicales** o **borrascas atlánticas**. Estas borrascas se generan en la zona longitudinal próxima al círculo polar ártico 66° 33 min, zona de bajas presiones subsolares. La borrasca atlántica recién formada se desplaza en dirección sureste y en su desplazamiento hacia el sur encuentra superficies marinas más cálidas, la borrasca es más activa en su advección latitudinal, los movimientos de aire en su interior son más virulentos y más rico en vapor de agua. La borrasca

que alcanza Canarias entra el factor orográfico de un modo primordial, el efecto de la ascendencia por los relieves insulares provoca lluvias muy intensas. Estas borrascas son responsables de la mayor parte de los temporales de viento y precipitación que asolan esporádicamente las islas.

El régimen de los vientos **alisios**, vientos débiles a moderados y húmedos es la situación meteorológica más común en Canarias. Los vientos superficiales marinos transportan cantidades moderadas de agua y son obligados a ascender por las inclinadas laderas de las vertientes noroeste a este de las islas formando nubosidad estratiforme que en lugares concretos forman nieblas y precipitaciones débiles dependiendo de la morfología y altitud del relieve. Los vientos alisios no pueden asociarse a precipitaciones previsibles dignas de consideración.

5 ESTACIONES METEOROLÓGICAS EN LA PENÍNSULA DE ANAGA



Los parámetros climáticos se miden a través de las estaciones meteorológicas. Equipos destinados a medir y registrar regularmente diversas variables del clima en un lugar. Las estaciones instaladas en el macizo de Anaga y zonas limítrofes están constituidas por los tradicionales **pluviómetros Hellman** que han registrado las series más largas de observaciones pluviométricas y por modernas **estaciones automáticas**, dispositivos electrónicos acumuladores de información, datalogger que registran de forma ordenada las mediciones de los parámetros climáticos que estén incorporados en la estación, siendo estos valores obtenidos mediante sensores; los parámetros meteorológicos medidos en la estación son: precipitación, temperatura y humedad relativa del aire, velocidad y dirección del viento, y radiación solar.



Estaciones automáticas de Taganana (barlovento) e Igueste de San Andrés (sotavento)

Los sensores de temperatura, humedad, velocidad y dirección del viento escrutan la atmósfera en múltiples ocasiones y el datalogger registra el valor promedio de las observaciones. Sin embargo, los sensores de precipitación y radiación solar directa escrutan la atmósfera y el datalogger registra el valor acumulado de las observaciones. El periodo de escrutación de las observaciones promedio o acumuladas es diez o doce minutos según el Organismo Oficial responsable de la estación meteorológica. Fotos: Agrocabildo

Las cotas de los intervalos altitudinales utilizados en el análisis climático en Anaga son los siguientes: **costa**, altitud inferior a 250 m; **medianía baja** $250 \text{ m} < h \leq 500 \text{ m}$; **medianía alta** $500 \text{ m} < h \leq 750 \text{ m}$; zona de **crestería de montaña** altitudes superiores a 750 m.

5.1 ESTACIONES AUTOMÁTICAS

ESTACIONES AUTOMÁTICAS			
LOCALIDAD	ALTITUD	ZONA	VERTIENTE
IGUESTE DE SAN ANDRÉS	75 m	Costa	Sotavento
SAN ANDRÉS	19 m	Costa	Sotavento
SANTA CRUZ - DIQUE ESTE	5 m	Costa	Sotavento
SANTA CRUZ DE TENERIFE	36 m	Costa	Sotavento
SANTA CRUZ – CRUZ SEÑOR	136 m	Costa	Sotavento
LOS RODEOS	616 m	Medianía alta	Sotavento
GARIMBA	493 m	Medianía baja	Barlovento
LA PADILLA	400 m	Medianía baja	Barlovento
PICO DE TEJINA	256 m	Medianía baja	Barlovento
TEJINA	90 m	Costa	Barlovento
TAGANANA	305 m	Medianía baja	Barlovento
EL BAILADERO	724 m	Crestería	Barlov/Sotav
LAS MERCEDES - LOS LOROS	867 m	Crestería	Barlovento

5.2 ESTACIONES PLUVIOMÉTRICAS HELLMAN TRADICIONALES

ESTACIONES PLUVIOMÉTRICAS HELLMAN TRADICIONALES			
LOCALIDAD	ALTITUD	ZONA	VERTIENTE
TAGANANA - EL CARDONAL	40 m	Costa	Barlovento
EL DRAGUILLO	160 m	Costa	Barlovento
TAGANANA - LOS CHORROS	200 m	Costa	Barlovento
TAGANANA - AZANOS	220 m	Costa	Barlovento
FARO DE ANAGA	235 m	Costa	Barlovento
TAGANANA	240 m	Costa	Barlovento
BARRANCO CAMPANARIO	350 m	Medianía baja	Barlovento
TAGANANA - LOS MOLINOS	375 m	Medianía baja	Barlovento
TAGANANA - FAJANETAS	400 m	Medianía baja	Barlovento
CHAMORGA	460 m	Medianía baja	Barlovento
EL BATAN	470 m	Medianía baja	Barlovento
LAS BODEGAS	500 m	Medianía baja	Barlovento
ROQUE NEGRO	525 m	Medianía alta	Barlovento
LAS CARBONERAS	600 m	Medianía alta	Barlovento
TABORNO	650 m	Medianía alta	Barlovento
JARDINA	675 m	Medianía alta	Barlovento
EL MOQUINAL	740 m	Crestería	Barlov/Sotav
LOMO PELADO	775 m	Crestería	Barlov/Sotav
CASAS DE LA CUMBRE	850 m	Crestería	Barlov/Sotav
MONTANA ZAPATA	925 m	Crestería	Barlovento
PUNTA DEL HIDALGO	35 m	Costa	Barlovento
BAJAMAR	114 m	Costa	Barlovento
BAJAMAR - INVERNADEROS	114 m	Costa	Barlovento
VALLE GUERRA ISAMAR	295 m	Costa	Barlovento
EL DRAGO	370 m	Medianía baja	Barlovento
TEGUESTE	375 m	Medianía baja	Barlovento
SAN GONZALO	440 m	Medianía baja	Barlovento
CAMINO ALAMOS	580 m	Medianía alta	Barlovento
LAS CANTERAS	600 m	Medianía alta	Barlovento
GUAMASA	610 m	Medianía alta	Barlovento
PEDRO ÁLVAREZ – PILATO	675 m	Medianía alta	Barlovento
SAN ANDRÉS	20 m	Costa	Sotavento
URBANIZACION ANAGA	50 m	Costa	Sotavento



IGUESTE SAN ANDRÉS	60 m	Costa	Sotavento
BCO TAHODIO - POZO LARA	125 m	Costa	Sotavento
BARRANCO HUERTAS	140 m	Costa	Sotavento
VALLE JIMÉNEZ	425 m	Medianía baja	Sotavento
CASERIO CATALANES	575 m	Medianía alta	Sotavento
MONTANA DE LOS GILES	535 m	Medianía alta	Sotavento

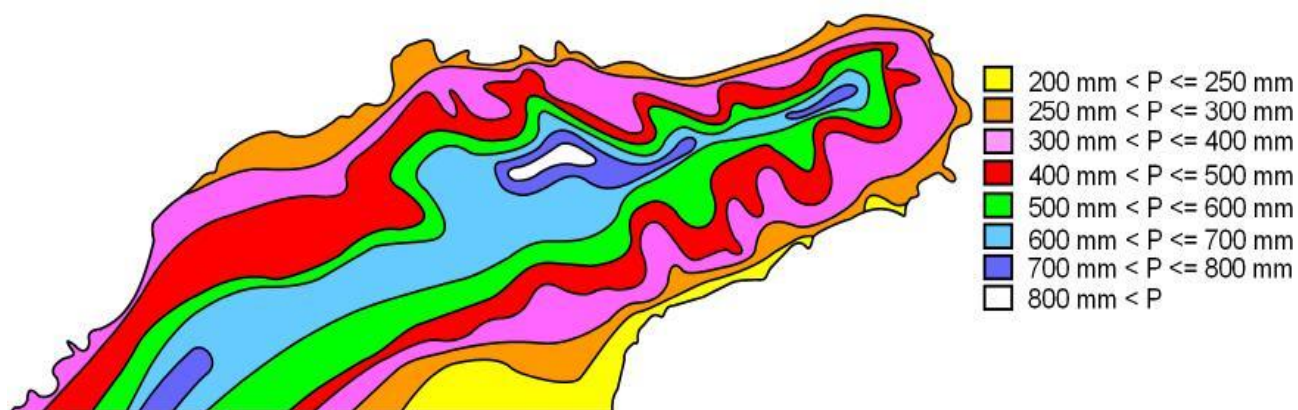
6 PRECIPITACIONES ACUMULADAS ESTACIONALES Y ANUALES MEDIAS EN LA RED PLUVIOMÉTRICA DEL NORESTE DE TENERIFE

Las precipitaciones varían en un amplio intervalo en función del grado de inestabilidad atmosférica y del contenido acuoso de la masa de aire. El factor orográfico es la primera causa que desencadena precipitaciones relevantes. Las precipitaciones que acompañan a las advecciones de aire húmedo y fresco por la acción del anticiclón de Azores alcanza la isla en dirección noroeste a noreste son poco importantes, solamente, las precipitaciones que acompañan a las irrupciones de aire frío y borrascas atlánticas son notables.

PLUVIÓMETRO	ALT m	PERIODO OBSERVA	AÑOS	INV mm	PRI mm	VER mm	OTO mm	TOTAL mm	CV %
TAGANANA - EL CARDONAL	40	1988/2013	26	110.1	32.2	15.1	143.4	300.8	28.7
BCO TAHODIO POZO LARA	125	1986/2002	13	173.7	37.4	11.3	185.4	407.8	46.1
BARRANCO HUERTAS	140	1985/2005	18	153.2	47.8	18.8	168.9	388.7	33.7
EL DRAGUILLO	160	1986/2005	17	100.7	36.1	13.7	128.6	279.1	39.4
TAGANANA - LOS CHORROS	200	1986/1998	7	125.4	38.3	14.9	157.3	336.0	23.0
TAGANANA - AZANOS	220	1985/2013	28	140.4	42.4	18.5	176.1	377.4	26.3
FARO	235	1945/1992	42	123.7	29.9	15.6	152.0	321.2	39.0
TAGANANA	240	1985/2013	29	137.3	43.7	16.6	177.4	374.9	23.1
TAGANANA - AGROCABILDO	305	2012/2013	2	71.2	57.4	12.4	173.8	314.8	48.3
BARRANCO CAMPANARIO	350	1985/2013	29	151.1	47.9	20.7	196.8	416.6	22.3
TAGANANA - LOS MOLINOS	375	1987/2012	23	193.0	68.8	28.4	256.7	546.9	26.4
TAGANANA - FAJANETAS	400	1947/2013	67	204.1	65.8	27.4	267.7	565.0	38.6
CHAMORGA	460	1985/2003	18	192.7	84.7	36.9	268.5	582.7	29.9
EL BATAN	470	1988/2005	15	168.6	66.8	32.6	269.7	537.7	28.5
BODEGAS	500	1986/2004	17	213.2	68.8	24.9	266.1	572.9	28.3
ROQUE NEGRO	525	1988/2013	26	206.1	70.5	24.7	263.4	564.6	24.4
LAS CARBONERAS	600	1985/1995	9	248.1	108.1	27.8	285.7	669.7	17.6
TABORNO	650	1991/1999	8	122.4	79.0	21.1	186.9	409.4	24.7
JARDINA	675	1986/2013	20	232.4	63.6	21.2	257.6	574.8	29.4
EL MOQUINAL	740	1991/1999	8	176.4	91.7	32.8	228.3	529.2	23.6
LOMO PELADO	775	1986/1999	12	175.5	114.6	30.6	257.2	577.9	34.5
CASAS DE LA CUMBRE	850	1985/1988	4	267.3	96.9	34.3	221.7	620.3	20.7
LLANOS DE LOS LOROS	867	2010/2013	4	310.4	137.5	50.3	351.9	850.1	16.9
MONTANA ZAPATA	925	1991/1999	8	233.1	105.2	25.3	252.9	616.4	34.6
PUNTA DEL HIDALGO	35	1946/2013	55	106.8	26.2	13.7	138.1	284.8	35.2
TEJINA	90	2002/2013	12	94.2	29.8	16.7	123.3	263.9	29.3
VALLE GUERRA PAJALILLOS	110	2001/2013	13	103.9	46.4	19.1	139.2	308.7	26.1
BAJAMAR	114	1946/1984	31	113.1	26.1	12.0	133.8	285.1	40.5
BAJAMAR - ALPA	114	1990/2013	8	120.9	27.2	11.4	119.6	279.0	32.4
TEJINA - PICO	250	1990/2013	22	123.5	42.3	21.9	156.9	344.6	28.2
VALLE GUERRA ISAMAR	295	2001/2013	13	113.5	61.6	25.0	184.2	384.3	19.9
VALLE GUERRA GARIMBA	493	2001/2013	13	140.4	62.2	32.8	184.8	420.1	23.4
MONTANA DE LOS GILES	535	1991/1998	8	152.4	48.7	24.9	159.5	385.5	59.3
URBANIZACIÓN AGUERE	550	1986/1989	4	254.6	51.5	17.1	265.4	588.6	27.8
CAMINO ÁLAMOS	580	1988/2013	23	235.9	68.5	25.8	268.7	598.9	25.6
LAS CANTERAS	600	1977/1989	13	260.2	98.9	35.8	261.7	656.6	27.3
GUAMASA	610	1947/1978	30	268.5	112.2	49.7	304.8	735.2	23.4
LOS RODEOS BARLOVENTO	617	1945/1977	33	241.3	98.9	36.6	299.3	676.1	30.1
LOS RODEOS SOTAVENTO	617	1945/2013	69	232.1	82.9	32.6	252.9	600.6	31.5
SAN ANDRÉS	20	1962/2013	32	89.8	21.9	8.0	113.3	233.1	37.5
SANTA CRUZ DE TENERIFE	36	1931/2013	83	100.7	18.5	6.7	109.4	235.3	40.6

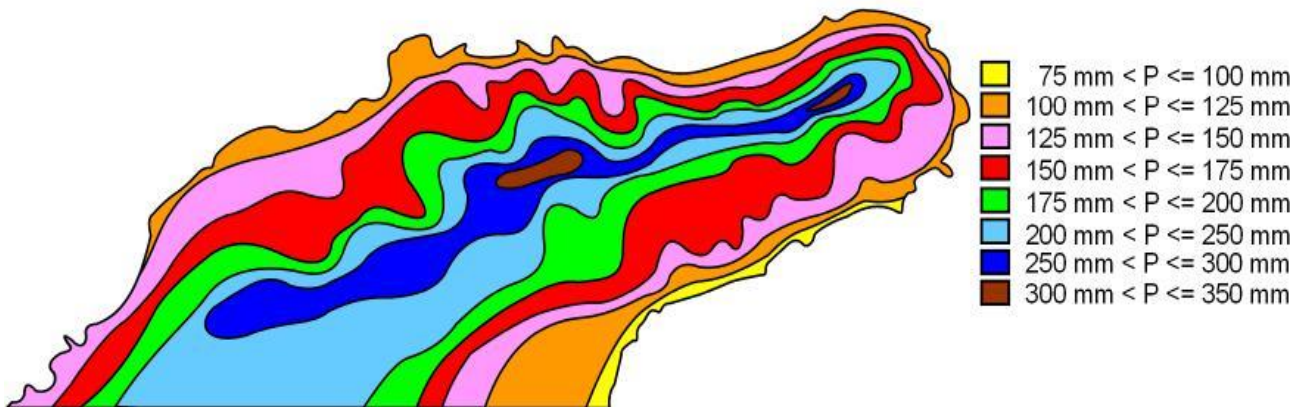
URBANIZACIÓN ANAGA	50	1986/2009	22	98.8	14.5	8.6	93.0	214.9	34.8
IGUESTE SAN ANDRÉS	60	1972/1994	16	108.2	22.7	7.0	111.2	249.1	49.1
IGUESTE SAN ANDRÉS - AGRO	75	2012/2013	2	52.4	73.8	13.7	167.3	307.2	30.7
CRUZ SENOR	136	2011/2013	3	62.4	21.3	9.6	151.2	244.5	28.6
VALLE JIMÉNEZ	425	1985/2008	24	174.0	37.8	9.9	171.8	393.4	25.2
CASERIO CATALANES	575	1991/1999	8	200.9	89.0	33.3	321.3	644.5	23.4
EL DRAGO	370	1988/2009	22	177.7	53.2	22.9	211.9	465.7	30.3
TEGUESTE	375	1946/2008	48	183.1	60.1	28.9	210.9	483.0	32.1
LA PADILLA	400	2004/2013	10	205.7	62.5	30.5	195.2	493.9	24.6
SAN GONZALO	440	1987/1997	8	177.2	58.7	22.7	220.6	479.2	37.6
PEDRO ALVAREZ PILATO	675	1987/2005	19	222.4	95.7	44.3	289.2	651.6	23.2

PRECIPITACIÓN ACUMULADA MEDIA ANUAL EN ANAGA



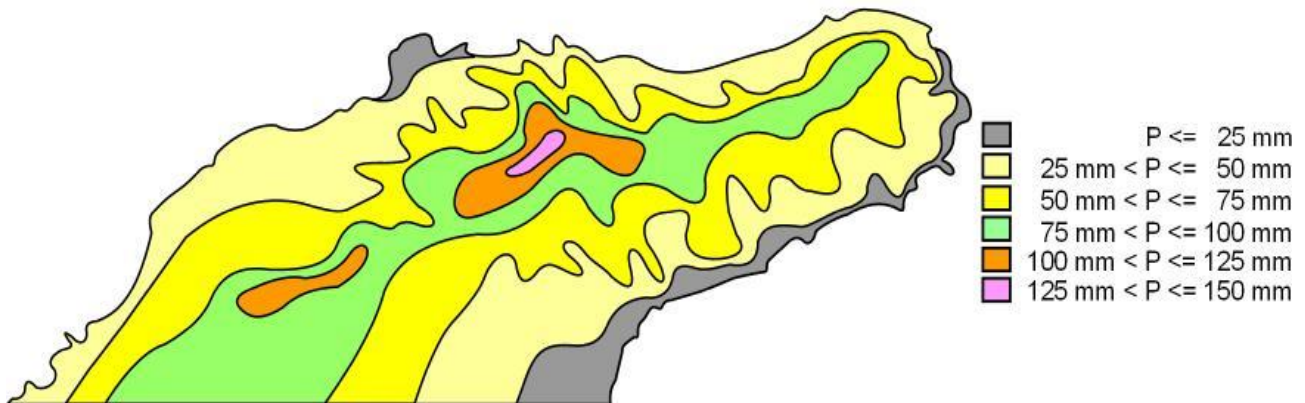
Una corta y estrecha franja costera en dirección este a sureste, cotas inferiores a 125 m, recibe la menor cantidad de precipitación anual entre 200 mm < P < 250 mm; lo contrario, zonas de crestería que se extiende desde Cruz del Carmen a Cabezo del Tejo, recibe la mayor cantidad de precipitación anual entre 700 mm < P < 1000 mm. Las estrechas franjas costeras noreste a este, cotas inferiores a 125 m y este a sureste entre 125 m y 250 m reciben precipitaciones entre 250 mm < P < 300 mm. La franja medianía baja noreste a este entre 125 m y 500 m, y medianías este a sureste entre 250 m y 600 m, reciben precipitaciones entre 300 mm y 500 mm. Las franjas medianía alta noreste a este entre 500 m y 700 m, y este a sureste entre 600 m y 750 m reciben precipitaciones entre 500 mm < P < 700 mm. En las medianías altas y zonas de crestería debemos añadir notable **precipitación de niebla** durante la primavera y verano y relevante **precipitación de rocío** durante el otoño e invierno. Las precipitaciones recogidas en la vertiente a barlovento son ligeramente superiores a las recogidas en la vertiente sotavento en altitudes similares.

PRECIPITACIÓN ACUMULADA INVERNAL MEDIA EN ANAGA



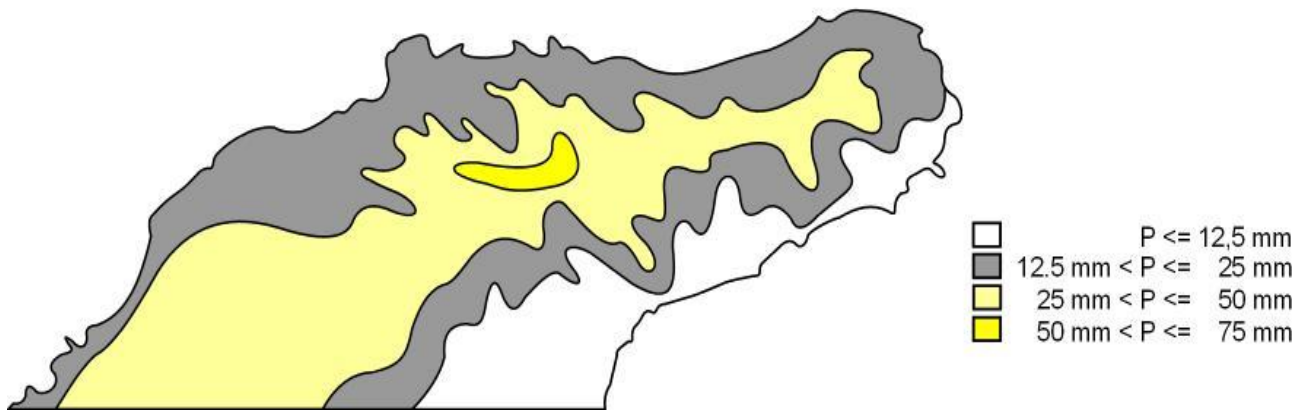
Una corta y estrecha franja costera en dirección este a sureste, cotas inferiores a 100 m, recibe la menor cantidad de precipitación ($75 \text{ mm} < P < 100 \text{ mm}$), **precipitaciones débiles**; lo contrario, zonas de crestería, cotas superiores a 750 m, recibe la mayor cantidad de precipitación ($300 \text{ mm} < P < 400 \text{ mm}$), **precipitaciones copiosas**. La franja costera noreste a este, cotas inferiores a 250 m y la franja costera - medianía baja este a sureste, entre 100 m y 300 m, reciben **precipitaciones ligeras** ($100 \text{ mm} < P < 150 \text{ mm}$). Las franjas de medianía baja noreste a este, entre 250 m y 500 m, y este a sureste, entre 300 m y 600 m, reciben **precipitaciones moderadas** ($150 \text{ mm} < P < 200 \text{ mm}$). Las franjas de medianía alta noreste a este entre 500 m y 750 m, y este a sureste entre 600 m y 750 m, reciben **precipitaciones notables** ($200 \text{ mm} < P < 300 \text{ mm}$). En las medianías altas y zonas de crestería debemos añadir la notable **precipitación de niebla** a causa de la presencia destacada de nubosidad que se desplaza en el relieve y arbolado con velocidades notables y la abundante **precipitación de rocío** en noches tranquilas y cielo nítidos. Las precipitaciones recogidas en la vertiente a barlovento son ligeramente superiores a las recogidas en la vertiente sotavento en altitudes similares.

PRECIPITACIÓN ACUMULADA PRIMAVERAL MEDIA EN ANAGA



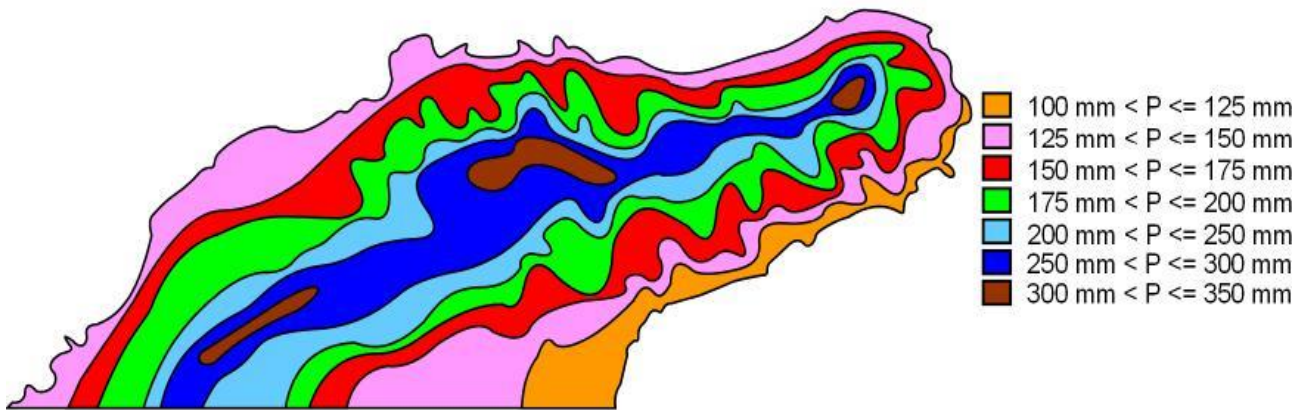
Una corta y estrecha franja costera en dirección este a sureste y la costa de la Punta del Hidalgo, cotas inferiores a 100 m, recibe la menor cantidad de precipitación ($P < 25$ mm), **precipitaciones exiguas**; lo contrario, zonas de crestería, Cruz del Carmen, cotas superiores a 800 m, recibe la mayor cantidad de precipitación ($125 \text{ mm} < P < 150$ mm), **precipitaciones ligeras**. La franja costera noreste a este, cotas inferiores a 250 m y la franja costera - medianía baja este a sureste, entre 100 m y 500 m, reciben **precipitaciones muy escasas** ($25 \text{ mm} < P < 50$ mm). La franja medianía baja noreste a este, entre 250 m y 500 m, y medianía alta este a sureste, entre 500 m y 700 m, reciben **precipitaciones escasas** ($50 \text{ mm} < P < 75$ mm). Las franjas medianía alta noreste a este, entre 500 m y 850 m, y medianía alta este a sureste, entre 700 m y 800 m, reciben **precipitaciones austeras**. En las zonas de crestería debemos añadir la **precipitación de niebla** a causa de la presencia frecuente de nubosidad y de la **precipitación de rocío** en las noches envueltas de elevada humedad. Las precipitaciones recogidas en la vertiente a barlovento son notablemente superiores a las recogidas en la vertiente sotavento en altitudes similares.

PRECIPITACIÓN ACUMULADA ESTIVAL MEDIA EN ANAGA



Una corta y amplia franja costera en dirección este a sureste y la costa de la Punta del Hidalgo, cotas inferiores a 100 m, recibe la menor cantidad de precipitación ($P < 12,5 \text{ mm}$), **precipitaciones testimoniales**; lo contrario, zonas de crestería, Cruz del Carmen, recibe la mayor cantidad de precipitación ($50 \text{ mm} < P < 75 \text{ mm}$), **precipitaciones escasas**. La franja costera noreste a este, cotas inferiores a 300 m y la franja costera - medianía baja este a sureste entre 100 m y 500 m, reciben **precipitaciones exiguas**. Las franjas medianía noreste a este entre 350 m y 800 m, y medianía alta este a sureste entre 500 m y 800 m, reciben **precipitaciones muy escasas**. En las zonas de crestería debemos añadir la notable **precipitación de niebla** a causa de la presencia frecuente de nubosidad y de la escasa **precipitación de rocío** en las últimas horas de las noches envueltas de elevada humedad. Las precipitaciones recogidas en la vertiente a barlovento son ligeramente superiores a las recogidas en la vertiente sotavento en altitudes similares. En el macizo de Anaga “las precipitaciones recogidas en verano son ligeramente inferiores a las recogidas en primavera”.

PRECIPITACIÓN ACUMULADA OTOÑAL MEDIA EN ANAGA



La franja costera en dirección este a sureste, cotas inferiores a 250 m, recibe la menor cantidad de precipitación (100 mm < P < 125 mm), **precipitaciones ligeras**; lo contrario, zonas de crestería, cotas superiores a 750 m, recibe la mayor cantidad de precipitación (300 mm < P < 400 mm), **precipitaciones copiosas**. La franja costera noreste a este, cotas inferiores a 200 m y la franja costera - medianía baja este a sureste entre 200 m y 350 m, reciben **precipitaciones ligeras** (125 mm < P < 150 mm). Las franjas medianía noreste a este entre 200 m y 600 m, y medianías este a sureste entre 350 m y 600 m, reciben **precipitaciones moderadas**. Las franjas medianía alta entre 600 m y 750 m noreste a este y este a sureste, reciben **precipitaciones notables**. En las medianías altas y zonas de crestería debemos añadir la notable **precipitación de niebla** y abundante **precipitación de rocío**. Las precipitaciones recogidas en la vertiente a barlovento son ligeramente superiores a las recogidas en la vertiente sotavento en altitudes similares. En el macizo de Anaga “las precipitaciones recogidas en otoño son ligeramente superiores a las recogidas en invierno”.



Un día lluvioso en Taganana, caserío en la costa occidental del macizo de Anaga. Las precipitaciones en Anaga no se caracterizan por su virulencia en las laderas y cumbres. Los vientos del noroeste a noreste transportan masas húmedas que desencadenan frecuentemente precipitaciones en forma de lloviznas, y solamente en escasas ocasiones, la presencia de irrupciones de frentes nubosos o depresiones atlánticas desencadenan precipitaciones intensas provocando daños materiales en este territorio oriental de Tenerife.

Foto: Cristóbal Rodríguez Piñero.

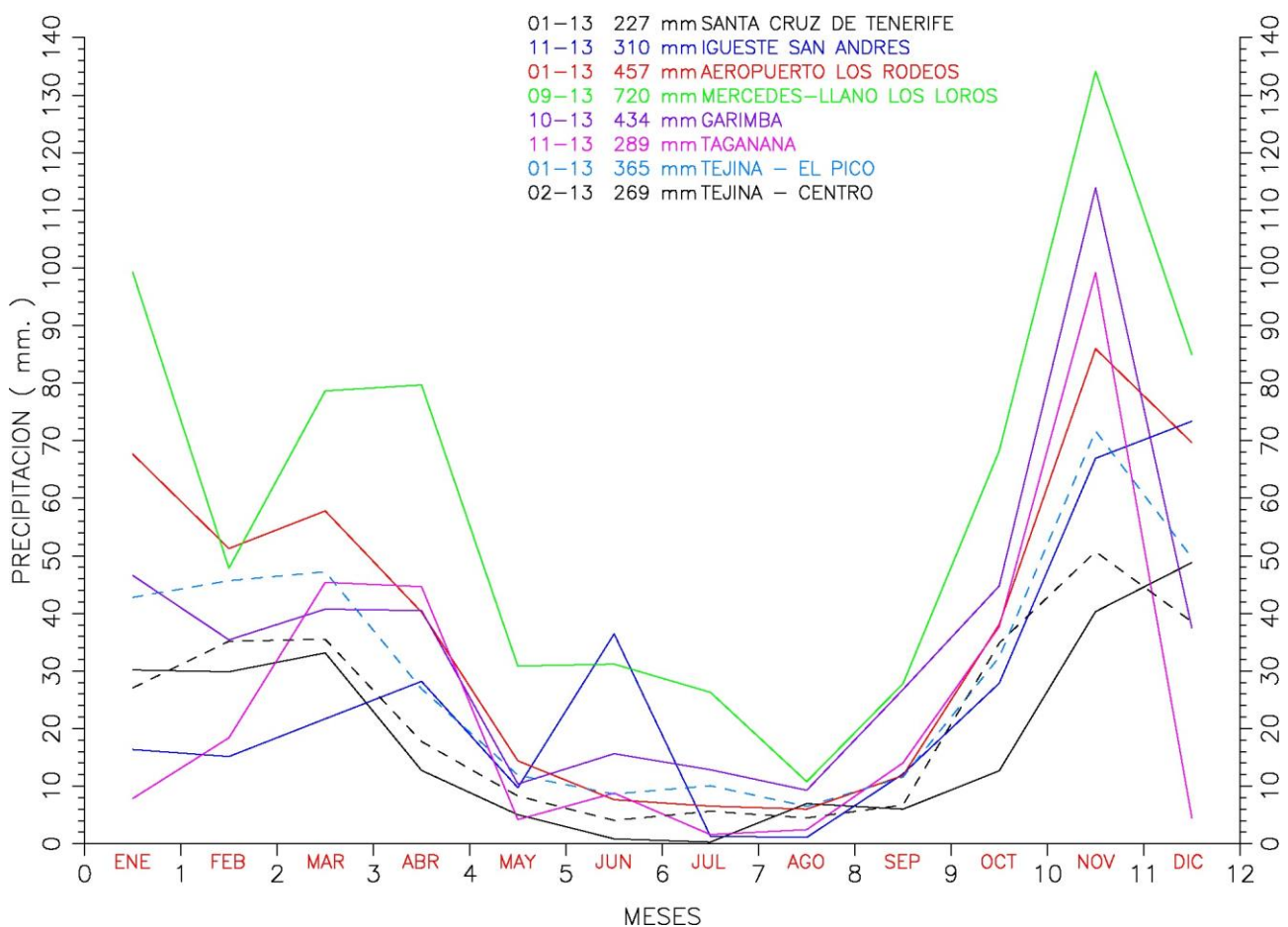


La abundante nubosidad sobre la ladera a **barlovento** se deshace una vez sobrepasada las cresterías de la Cumbre sobre la ladera a sotavento. Este fenómeno meteorológico es una de las causas del contraste tan acusado en el balance hídrico y en la vegetación del macizo de Anaga.

7 PRECIPITACIONES ACUMULADAS MEDIAS MENSUALES EN LAS ESTACIONES AUTOMÁTICAS DEL NORESTE DE TENERIFE

Las observaciones pluviométricas recopiladas en Anaga mediante estaciones automáticas constituyen series numéricas que cubren periodos de tiempo variables y de corta duración, no obstante la tratamos estadísticamente al considerar de interés hidrológico por su alta calidad informativa. El régimen pluvial es variable, las precipitaciones diarias importantes se concentran en el otoño e invierno, además no debemos desdeñar las precipitaciones primaverales e incluso las estivales por su gran importancia ecológica.

PRECIPITACIONES ACUMULADAS MEDIAS MENSUALES



Precipitaciones acumuladas medias mensuales presentadas por medio de líneas quebradas

Las gráficas muestran precipitaciones mensuales medias en diferentes periodos en observatorios situados a distintas cotas en las vertientes de barlovento y sotavento de la región de Anaga. Las precipitaciones en la costa no superan los 350 mm/año, las medianías reciben entre 350 mm/año 600 mm/año, y las cumbres reciben entre 600 mm/año a 900 mm/año. Las precipitaciones sobre las laderas de barlovento son notablemente superiores a las de sotavento si comparamos lugares a igual altitud. La diferenciación pluviométrica estriba en la mayor frecuencia de irrupciones de masas húmedas en las laderas de orientación norte donde la actividad convectiva es importante y seguida de un posterior desarrollo de lloviznas en la costa, chubascos en la medianía y precipitaciones moderadas a intensas en la cumbre.

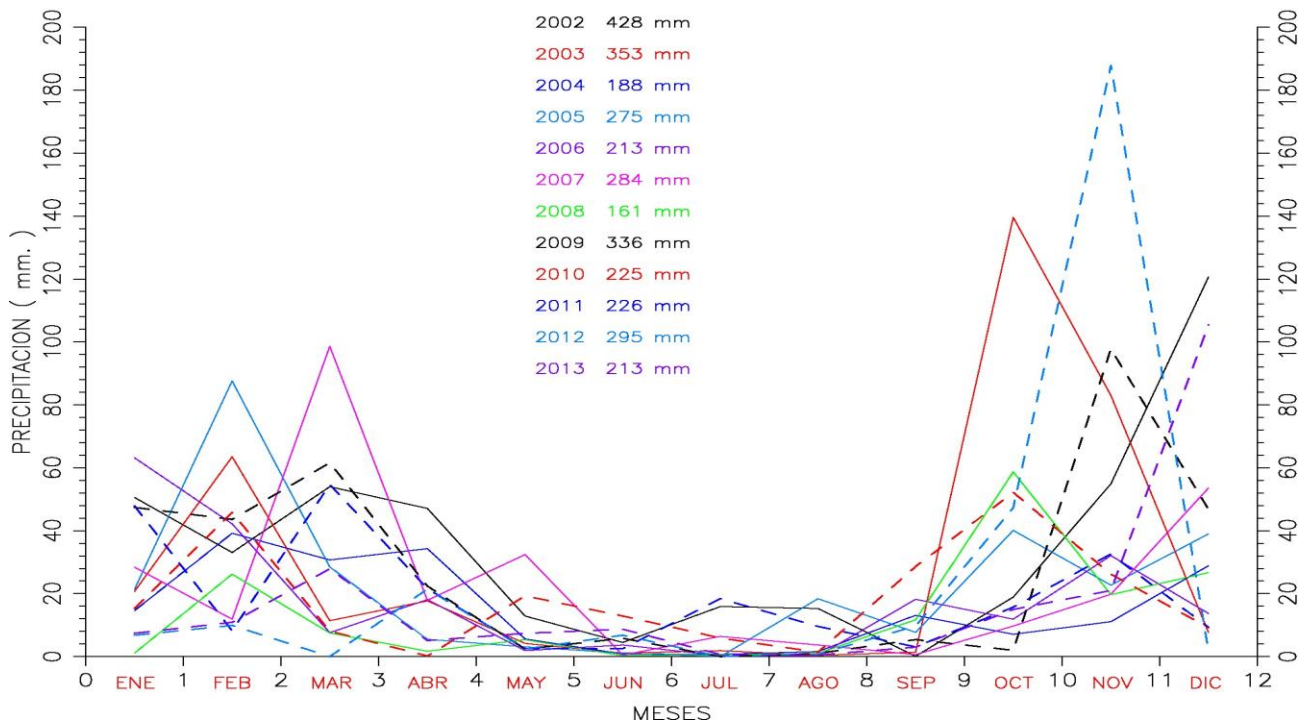
	SCTE	IGSA	AROD	MLLO	GARI	TAGA	PICO	TEJI
ENERO	30.2	16.3	67.7	99.3	46.6	7.8	42.8	27.1
FEBRERO	29.9	15.1	51.3	47.9	35.4	18.4	45.7	35.2
MARZO	33.1	21.7	57.8	78.7	40.7	45.4	47.2	35.5
ABRIL	12.8	28.2	40.2	79.7	40.5	44.7	26.9	17.8
MAYO	5.1	9.8	14.4	30.9	10.4	4.2	11.9	8.3
JUNIO	0.9	36.5	7.6	31.2	15.6	8.8	8.6	4.1
JULIO	0.3	1.3	6.5	26.3	12.8	1.6	10.1	5.6
AGOSTO	7.0	1.1	6.0	10.8	9.3	2.5	6.5	4.5
SEPTIEMBRE	6.0	12.1	11.8	27.8	26.8	14.0	11.6	6.7
OCTUBRE	12.7	27.9	38.1	68.3	44.8	37.7	32.4	34.9
NOVIEMBRE	40.3	66.9	86.0	134.1	113.9	99.2	71.7	50.7
DICIEMBRE	48.8	73.4	69.7	85.0	37.4	4.5	49.7	38.5
P ACUMULADA	227.0	310.3	457.2	719.7	434.4	288.8	365.1	268.9
ALTITUD	36	75	616	867	493	305	256	90
AÑOS COMPLETOS	13	2	11	4	4	1	11	12
COEF VARIACION	47.1		22.9	36.2	30.5		28.7	29.6

La tabla muestra las precipitaciones mensuales medias en series numéricas en diferentes periodos de observación recogidas en las estaciones automáticas cuyos registros son considerados precisos, por tanto la tabla manifiesta una buena aproximación al conocimiento del régimen pluvial de Anaga.

Otoño es el periodo estacional más lluvioso del año; las precipitaciones en noviembre son importantes, precipitaciones superiores a 40 mm, superando los 125 mm en las cumbres. El invierno es ligeramente menos lluvioso que el otoño; las precipitaciones en marzo son notables, precipitaciones superiores a 30 mm, superando los 75 mm en las cumbres. La primavera tiene precipitaciones notables; las precipitaciones en abril destacan, precipitaciones superiores a 25 mm, superando los 75 mm en las cumbres; en mayo y junio descienden los días lloviznosos, a pesar de todo supera los 30 mm en las cumbres. El verano tiene precipitaciones testimoniales y algo notables en las cumbres; agosto es el mes menos lluvioso del año.

Las precipitaciones acumuladas anuales medias son analizadas mediante el cálculo del **coeficiente de variación**, parámetro estadístico de dispersión que manifiesta **la irregularidad del régimen pluvial anual en Anaga**. Las precipitaciones diarias son más regulares en su cuantía y frecuencia en la vertiente de barlovento que en la vertiente de sotavento; lo contrario, las precipitaciones diarias son menos regulares en las cumbres. Debemos considerar la aportación hídrica sobre el suelo de la precipitación de niebla en cumbres y precipitación de rocío en costa y medianía, precipitaciones no contabilizadas en las actuales estaciones automáticas.

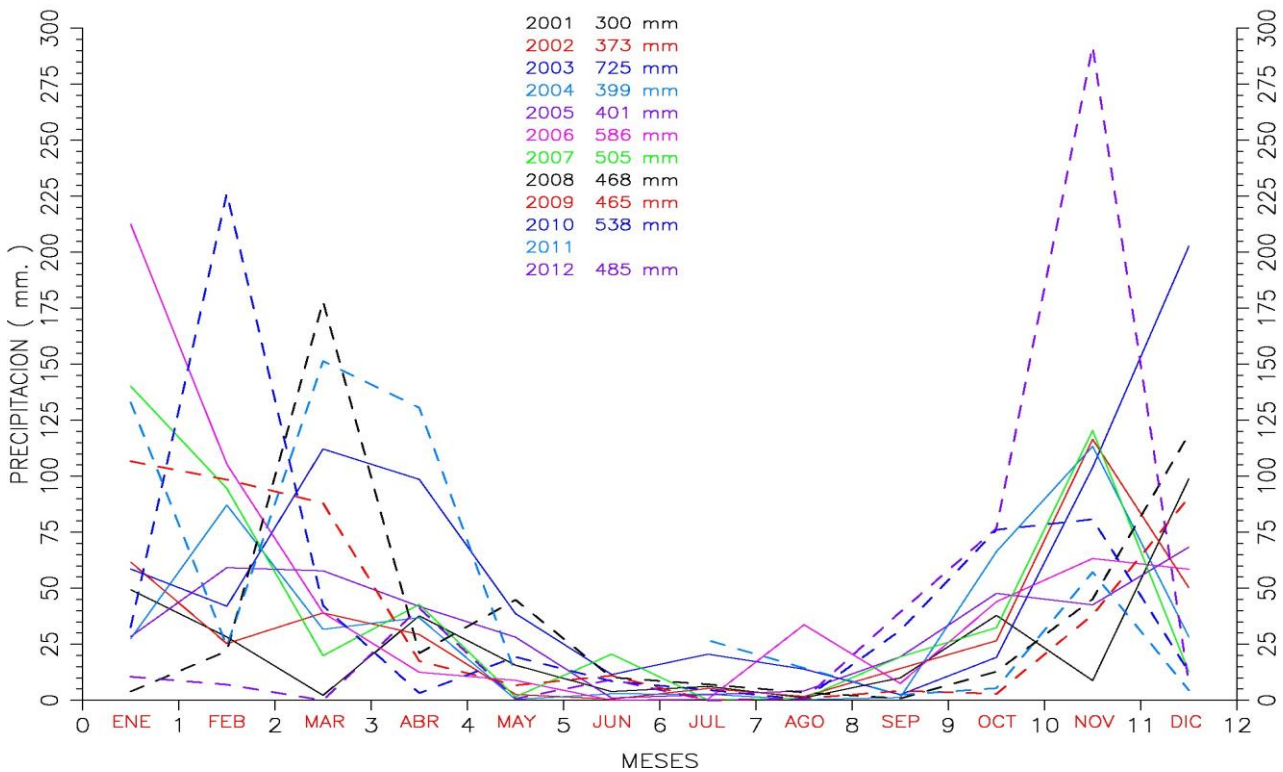
2002 – 2013 TEJINA – CENTRO



Régimen pluviométrico en la costa occidental a barlovento del Macizo de Anaga

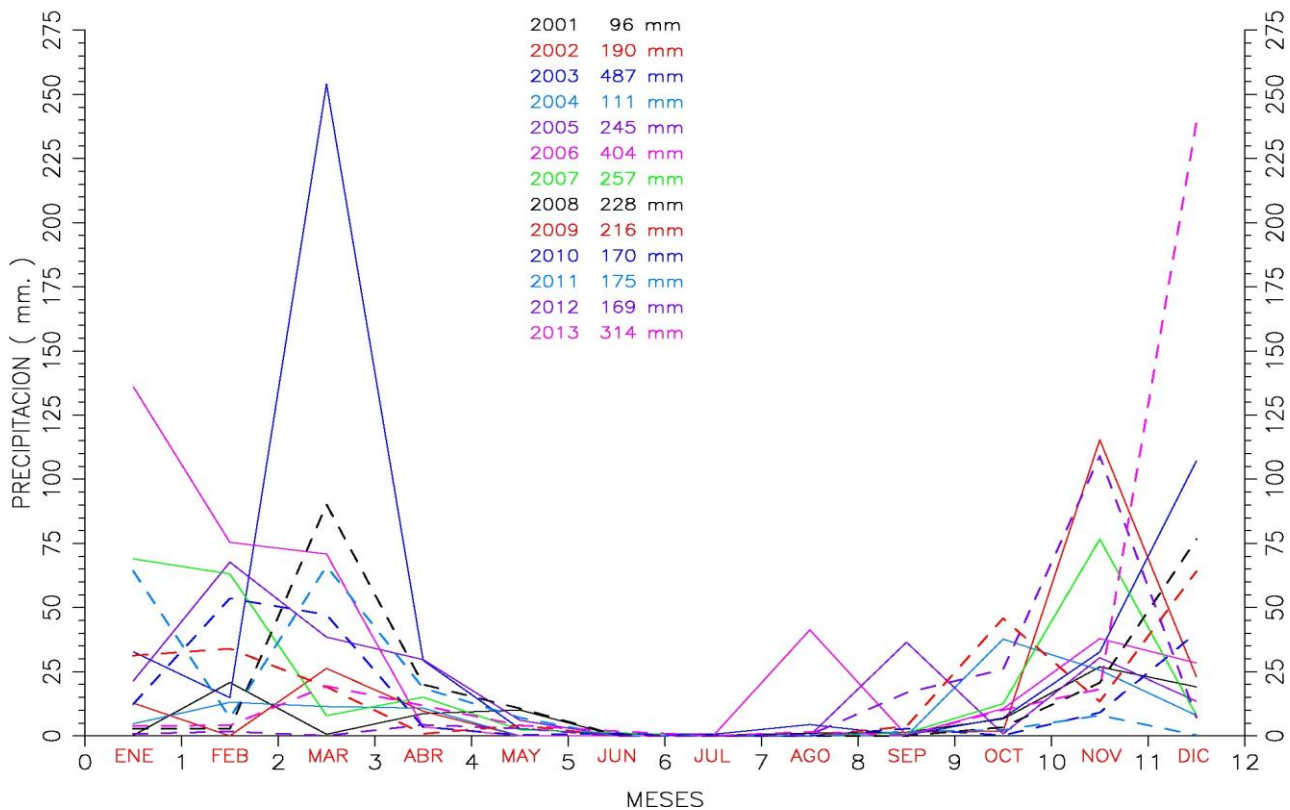
Las líneas quebradas representan precipitaciones acumuladas mensuales cada año en un lugar concreto. Las precipitaciones son irregulares en su cuantía, inferiores a 100 mm entre enero a abril; regulares en su cuantía, inferiores a 30 mm entre mayo a septiembre, y nuevamente irregulares en su cuantía, inferiores 190 mm, la mayor parte de las veces inferiores 100 mm entre octubre a diciembre. Las frecuencias absolutas de las precipitaciones diarias superiores a 4 mm recogidas durante 12 años en los periodos estacionales son los siguientes: 85, 23, 11 y 92, y las frecuencias de las precipitaciones diarias superiores a 20 mm en los periodos estacionales son: 7, 1, 1 y 20. El otoño es la estación más lluviosa del año, el invierno es moderadamente lluvioso y en verano las precipitaciones no destacan. El coeficiente de variación del conjunto de precipitaciones acumuladas anuales es 29.6 %.

2001 – 2013 AEROPUERTO LOS RODEOS

**Régimen pluviométrico en la medianía occidental a sotavento del Macizo de Anaga**

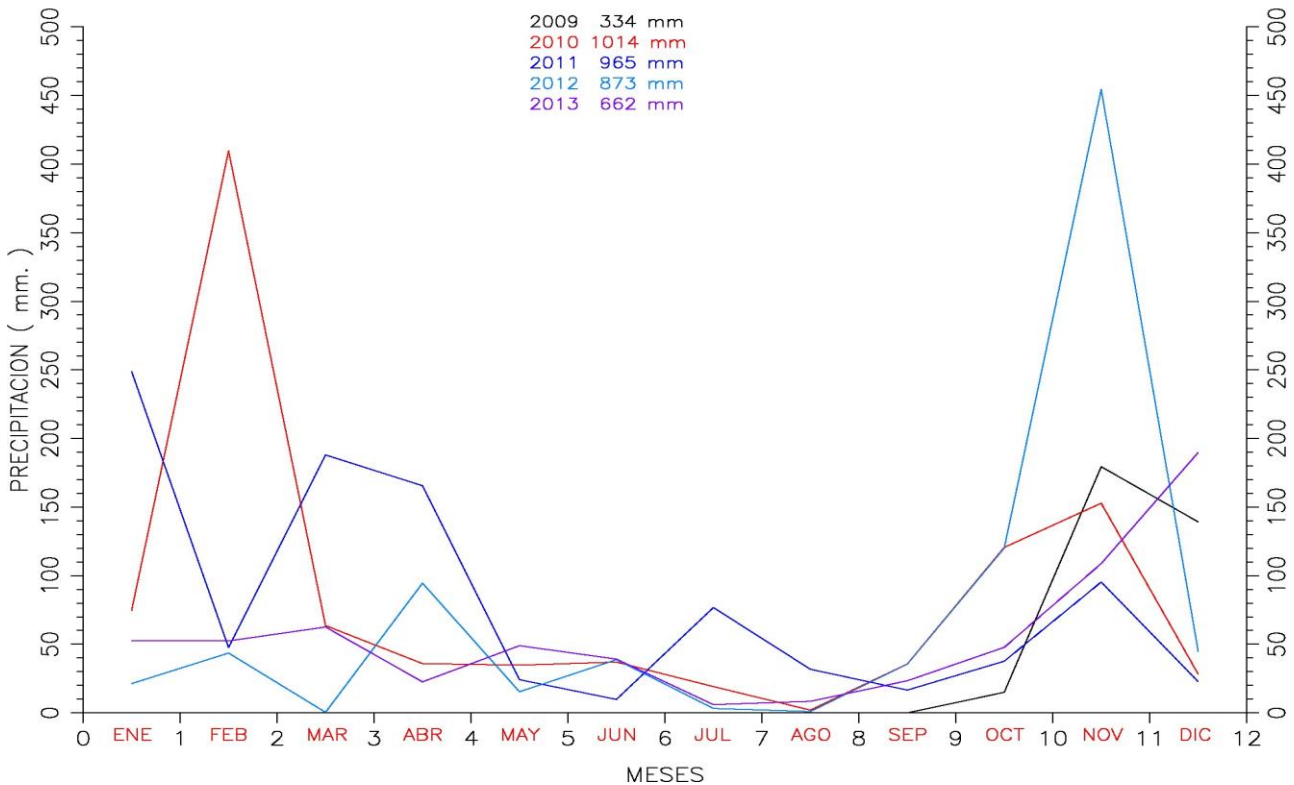
Las precipitaciones son irregulares en su cuantía, inferiores a 225 mm entre enero a abril; regulares en su cuantía, inferiores a 50 mm entre mayo a septiembre, y nuevamente irregulares en su cuantía, inferiores 300 mm, la mayor parte de las veces inferiores 125 mm entre octubre a diciembre. Las frecuencias absolutas de las precipitaciones diarias superiores a 4 mm recogidas durante 33 años en los periodos estacionales son los siguientes: 408, 162, 70 y 427, y las frecuencias de las precipitaciones diarias superiores a 20 mm en los periodos estacionales son: 100, 21, 6 y 81. El invierno es la estación más lluviosa del año, el otoño es ligeramente menos lluvioso y el verano las precipitaciones no destacan. El coeficiente de variación del conjunto de precipitaciones acumuladas anuales es 22.9 %.

2001 – 2013 SANTA CRUZ DE TENERIFE

**Régimen pluviométrico en la costa occidental a sotavento del Macizo de Anaga**

Las precipitaciones son irregulares en su cuantía, inferiores a 250 mm entre enero a marzo, la mayor parte de las veces inferiores a 100 mm; regulares en su cuantía, inferiores a 40 mm en abril, mayo y octubre, además entre junio a agosto son irrelevantes; y nuevamente irregulares en su cuantía, inferiores 240 mm, la mayor parte de las veces inferiores 120 mm en noviembre y diciembre. Las frecuencias absolutas de las precipitaciones diarias superiores a 4 mm recogidas durante 83 años en los periodos estacionales son los siguientes: 520, 111, 23 y 544, y las frecuencias de las precipitaciones diarias superiores a 20 mm en los periodos estacionales son: 84, 10, 8 y 96. El invierno es la estación más lluviosa del año, el otoño es ligeramente menos lluvioso y el verano las precipitaciones son irrelevantes. El coeficiente de variación del conjunto de precipitaciones acumuladas anuales es 47.1 %.

2009 – 2013 MERCEDES–LLANO LOS LOROS

**Régimen pluviométrico en la cumbre occidental a sotavento del Macizo de Anaga**

La serie numérica de precipitaciones es muy corta para definir el régimen pluvial en la cumbre de Anaga, no obstante realizamos el mismo procedimiento hidrológico que los lugares precedentes. Las precipitaciones son irregulares en su cuantía, inferiores a 410 mm entre enero a abril; regulares en su cuantía, inferiores a 80 mm entre mayo a septiembre, y nuevamente irregulares en su cuantía, inferiores 450 mm, la mayor parte de las veces inferiores 200 mm entre octubre a diciembre. El otoño es la estación más lluviosa del año, el invierno es ligeramente menos lluvioso y el verano las precipitaciones no destacan. El coeficiente de variación de este conjunto de precipitaciones acumuladas anuales es 36.2 %.

8 EVOLUCIÓN DE LAS PRECIPITACIONES ACUMULADAS TRIMESTRALES Y ANUALES EN LAS SERIES TEMPORALES MÁS LARGAS DE TENERIFE.

La principal característica climática de las precipitaciones es su dispersión espacial y temporal, irregularidad que provoca una alta variabilidad, por lo que en ocasiones las precipitaciones mensuales, estacionales o anuales se alejan marcadamente de sus valores normales. Algunas de estas “alteraciones” en las cuantías y distribución de las precipitaciones son motivos de variadas interpretaciones, siendo común atribuirles a la existencia de “cambio climático” del que tanto se habla últimamente.

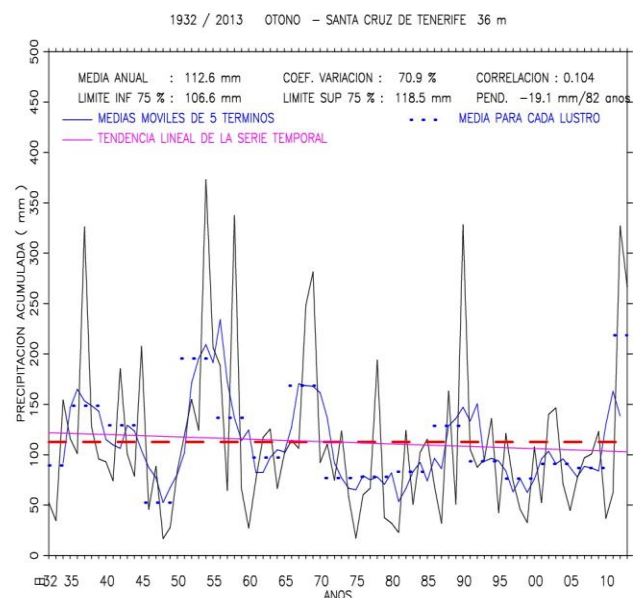
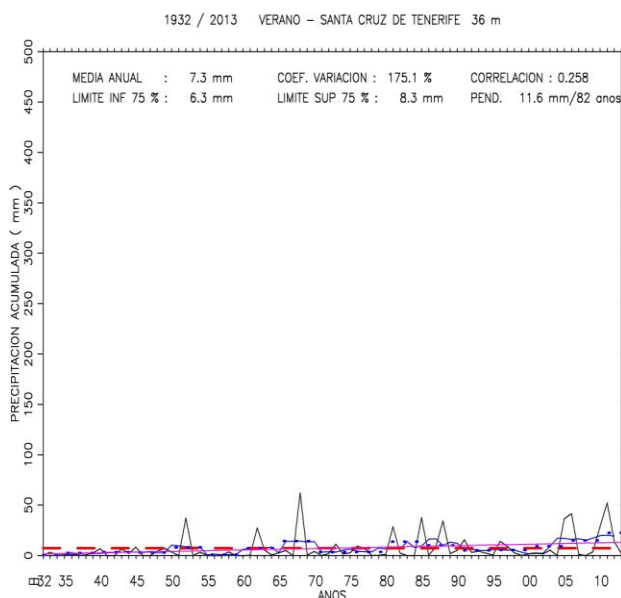
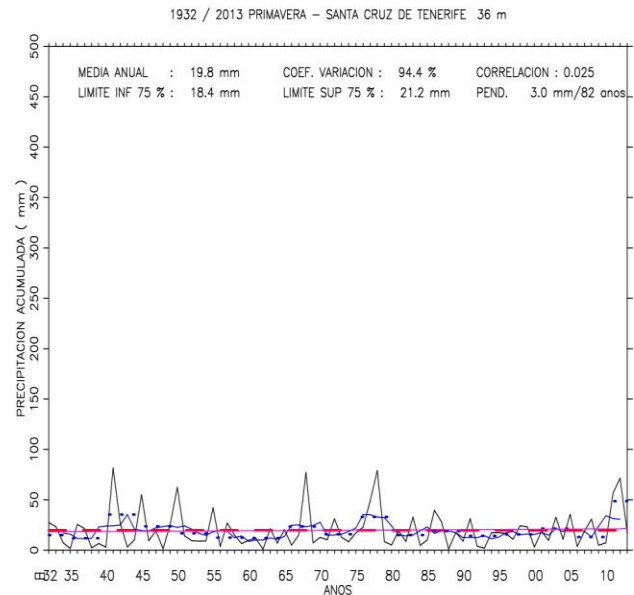
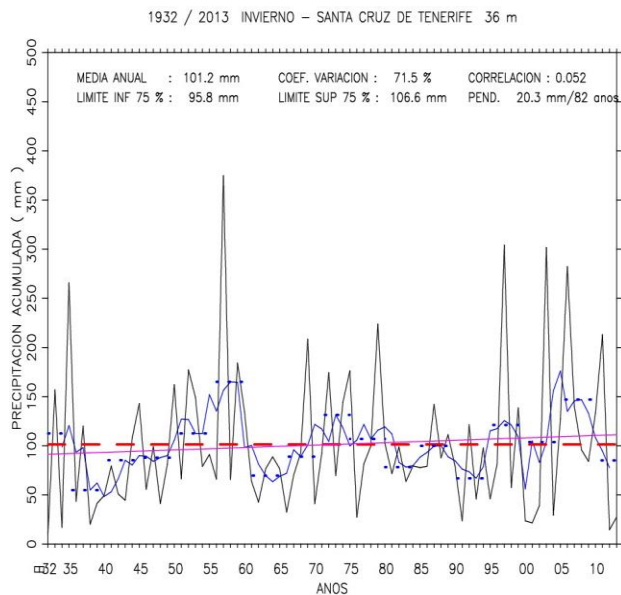
Las series pluviométricas analizadas muestran claramente la no existencia de alternancia de periodos lluviosos con periodos poco lluviosos bien definidos. La presencia de irrupciones de aire frío marítimo, depresiones extratropicales, depresiones en altura o depresiones tropicales son esporádicas en la Macaronesia. Las deseadas precipitaciones no llegan a Canarias, y cuando suceden, se sienten sus efectos entre los meses de octubre a marzo. No podemos asegurar el advenimiento de precipitaciones intensas en meses concretos. Las series pluviométricas presentan “picos”, precipitaciones abundantes caídas en la isla de manera caprichosa.

Presentamos las precipitaciones medias de las series temporales completas de Santa Cruz de Tenerife y los Rodeos Sotavento como indicadores de los cambios pluviométricos en el transcurso del tiempo

8.1 TENDENCIAS DE LAS PRECIPITACIONES ACUMULADAS ESTACIONALES Y ANUALES EN SANTA CRUZ DE TENERIFE

Evolución de las precipitaciones acumuladas estacionales o trimestrales a partir de la serie temporal 1932 a 2013 en el observatorio Santa Cruz de Tenerife. A escala estacional existen tendencias pluviométricas opuestas. En invierno existe una tendencia positiva significativa, en primavera y verano existe una tendencia positiva poco significativa hacia un ascenso pluviométrico; lo contrario, en otoño existe una tendencia negativa significativa hacia un descenso pluviométrico.

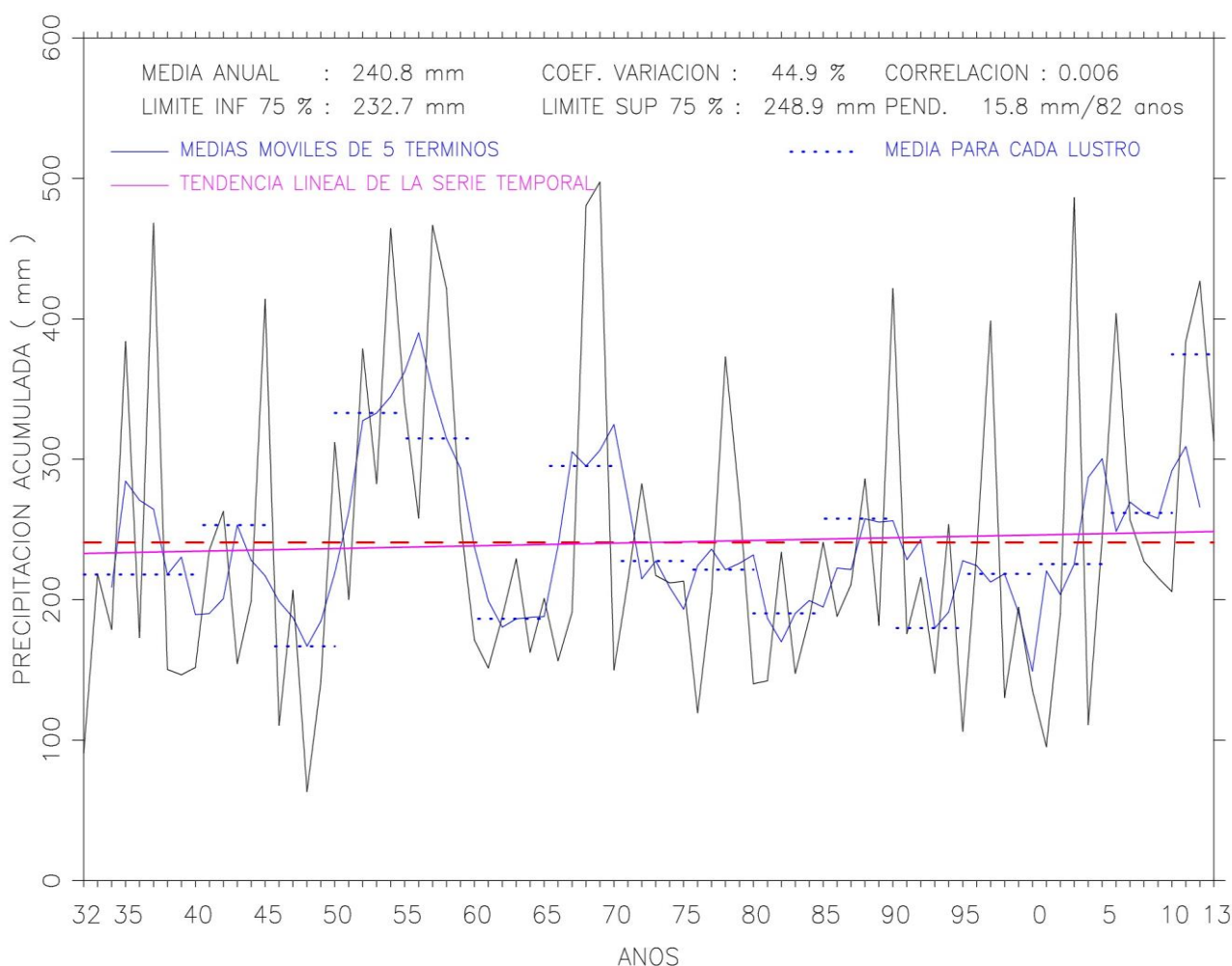
TENDENCIAS EN LAS PRECIPITACIONES EN LOS ÚLTIMOS 82 AÑOS			
Estaciones	Precipitación media/ mm	Coefficiente de variación %	Tendencia (mm)
Invierno	101.2	72	Ascenso 20.3
Primavera	19.8	94	Ascenso 3.0
Verano	7.3	175	Ascenso 11.6
Otoño	112.6	71	Descenso 19.3
Anual	240.8	45	Ascenso 15.8



Tendencia en las precipitaciones acumuladas estacionales

En el análisis de la serie temporal de precipitaciones diarias acumuladas en periodos trimestrales se observa años concretos donde sobresalen notablemente los volúmenes de precipitaciones estacionales en relación a su valor normal. No podemos afirmar una secuencia de periodos estacionales lluviosos y poco lluviosos, ya que las desviaciones puntuales de las precipitaciones trimestrales carecen de agrupamientos alternativos notables. En invierno y verano existe un ligero **ascenso pluviométrico**, en primavera existe un **leve ascenso pluviométrico** y en otoño existe un ligero **descenso pluviométrico**.

PRECIPITACIONES ANUALES ACUMULADAS 1932/2013 – SANTA CRUZ DE TENERIFE 36 m



Tendencia en las precipitaciones acumuladas anuales

Evolución del volumen anual de precipitación a partir de la serie temporal. A escala anual existe una **tendencia positiva**, apreciable **ascenso pluviométrico**, ascenso aproximado de 1 mm cada 5 años.

Parámetros estadísticos de la serie temporal: media aritmética 240.8 mm, coeficiente variación de la media 44.9%, nivel de confianza (75%) 232.7 mm y 248.9 mm, coeficiente de correlación 0.006, pendiente 15.8 mm/ 82 años y tendencia + 0.16 mm/año. Resaltamos las elevadas desviaciones anuales de las precipitaciones en el siglo XXI (245.5 mm en 2003 y 186 mm en 2012).

CONCLUSIÓN

En el análisis de la serie temporal de precipitaciones diarias se observa años concretos donde sobresalen notablemente los volúmenes de precipitaciones anuales en relación a su valor normal. No podemos afirmar una secuencia de periodos lluviosos y poco lluviosos, ya que las desviaciones puntuales carecen de agrupamientos alternativos notables. Aproximadamente un 20% de los años de la serie destaca el volumen anual de precipitación por exceso con respecto a la precipitación normal anual, por el contrario, un 10% de los años de la serie destaca el volumen anual de precipitación por defecto con respecto a la precipitación normal anual.

Las precipitaciones diarias abundantes en la costa este a sureste son muy escasas y contabilizamos 139 días, 37 días, 12 días y 5 días con precipitaciones superiores a 25 mm, 50 mm, 75 mm y 100 mm, respectivamente, en un periodo de 83 años. La ratio precipitación diaria intensa / año es irrelevante. La cantidad de días con precipitaciones superiores a 25 mm en otoño son notablemente superior a los registrados en invierno (73 y 53 días); también para precipitaciones superiores a 50 mm en otoño son ligeramente superior a los registrados en invierno (20 y 17 días). Las precipitaciones diarias intensas se registraron el 7 febrero 1973: 116.5 mm, 2 febrero 1996: 163.6 mm, 31 marzo 2002: 232.6 mm, 22 octubre 1944: 100.1 mm y 31 diciembre 1968: 103.7 mm.

La distribución de los volúmenes de precipitación anual en la costa este a sureste es muy irregular. Las precipitaciones diarias notables suceden en el lapso otoño - invierno, las precipitaciones son escasas en el verano y ausencia de precipitaciones notables en primavera. También podemos entrever de la representación gráfica que los lustros 1951 - 1955, 1956 -1960, 1966 - 1970 y 2011 - 2013 han sido lluviosos, mientras que los lustros 1946 - 1950, 1961 - 1965, 1981 -1985, 1991 -1995 y 1996 - 2000 han sido poco lluviosos.

En invierno y verano existe un **ligero ascenso pluviométrico**, en primavera existe un **leve descenso pluviométrico** y en otoño existe un **moderado descenso pluviométrico**.

Hay una **leve tendencia ascendente** en los volúmenes de precipitaciones anuales en la costa sureste en las décadas de los treinta y comienzo de la segunda del presente siglo.

La clasificación agroclimática Papadakis, según las observaciones de la temperatura del aire en los periodos invernal y estival, regímenes térmicos para el invierno y verano, nos indica: **TROPICAL** (Tp) y **ALGODÓN** (g), y el periodo anual: **ECUATORIAL SEMI CÁLIDO**.

8.2 TENDENCIAS DE LAS PRECIPITACIONES ACUMULADAS ESTACIONALES Y ANUALES EN EL AEROPUERTO DE LOS RODEOS

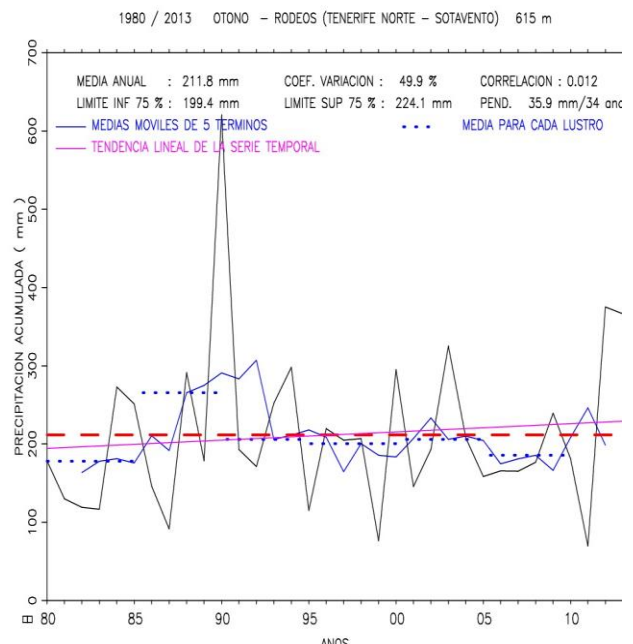
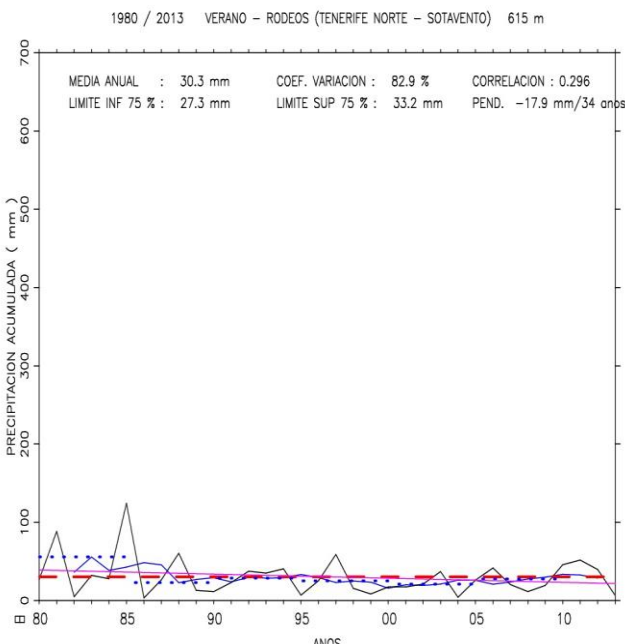
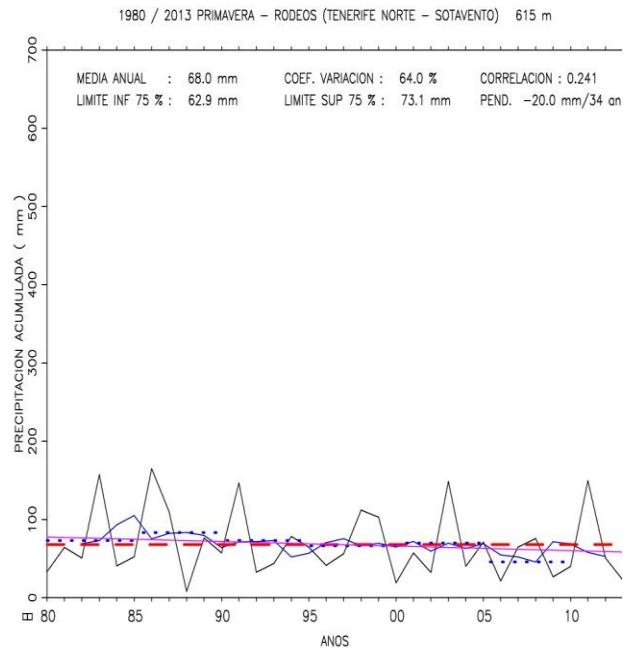
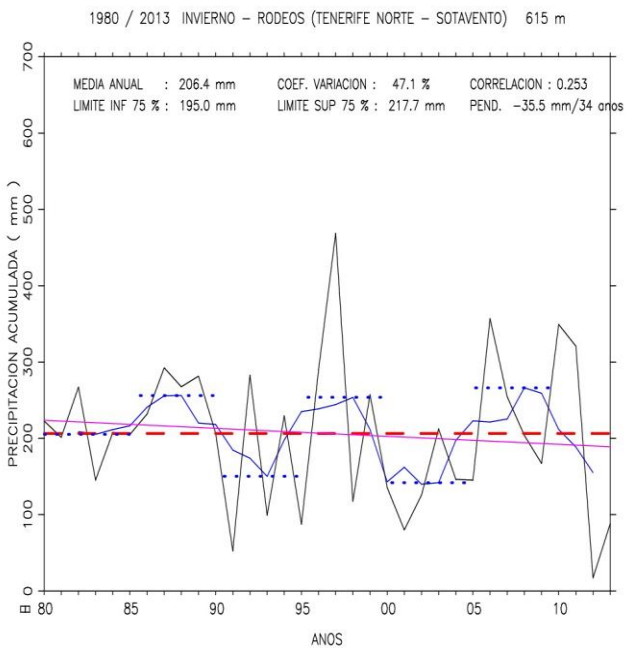
Evolución de las precipitaciones acumuladas estacionales o trimestrales a partir de la serie temporal 1980 a 2013 en el observatorio Aeropuerto de Los Rodeos (orientación sureste de la pista de aterrizaje - sotavento). A escala estacional existen tendencias pluviométricas opuestas. En invierno existe una tendencia negativa significativa, en primavera y verano existe una tendencia negativa poco significativa hacia un descenso pluviométrico, y en otoño existe una tendencia positiva significativa hacia un ascenso pluviométrico.

TENDENCIAS EN LAS PRECIPITACIONES EN LOS ÚLTIMOS 34 AÑOS			
Estaciones	Precipitación media/ mm	Coefficiente de variación%	Tendencia (mm)
Invierno	206.4	47	Descenso 35.5
Primavera	68	64	Descenso 20.0
Verano	30.3	83	Descenso 17.9
Otoño	211.8	49	Ascenso 35.9
Anual	516.4	25	Descenso 37.4



La Laguna - Llanura de los Rodeos

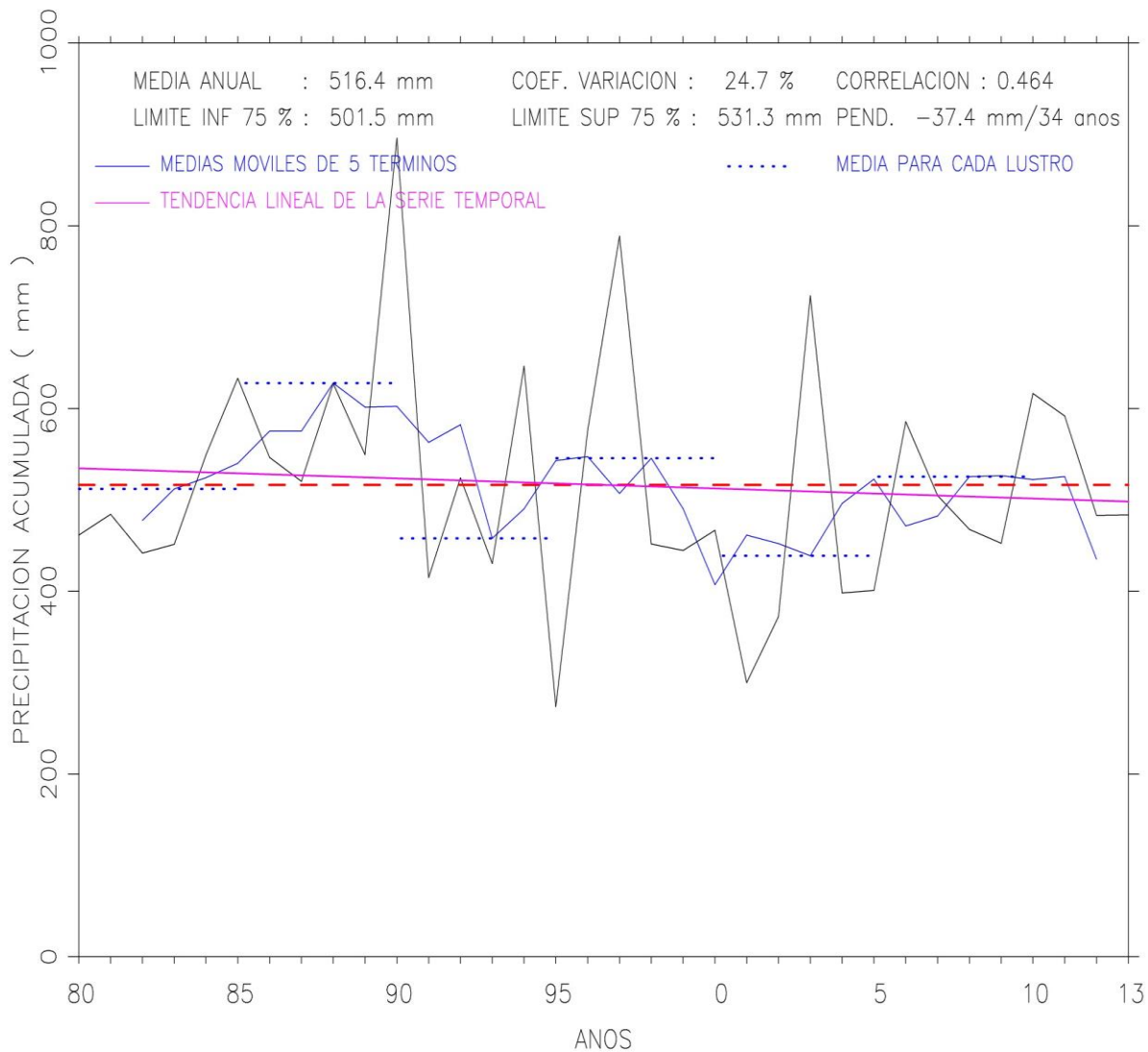
El Observatorio Llanura de los Rodeos o Aeropuerto Tenerife Norte está situado por debajo de la capa atmosférica de estratocúmulos típica de la región canaria, capa atmosférica húmeda. La fotografía muestra la ubicación de la estación meteorológica: Los Rodeos - Sotavento (derecha, cabecera del Aeropuerto). El cambio de emplazamiento de la estación a principio de la 1980 muestra las distintas características climáticas de los extremos de las pista de aterrizaje de los Rodeos. La cabecera de pista a sotavento, los volúmenes anuales de precipitación y la humedad relativa del aire son ligeramente inferiores a la cabecera de pista a barlovento. Cerca de la orilla del mar, extremo sureste de la península de Anaga podemos visualizar el observatorio Santa cruz de Tenerife.



Tendencia en las precipitaciones acumuladas estacionales

En el análisis de la serie temporal de precipitaciones diarias acumuladas en periodos trimestrales se observa años concretos donde sobresalen notablemente los volúmenes de precipitaciones estacionales en relación a su valor normal. No podemos afirmar una secuencia de periodos lluviosos y poco lluviosos, ya que las desviaciones puntuales carecen de agrupamientos alternativos notables. En invierno existe un **significativo descenso pluviométrico**, en primavera y verano existen un **leve descenso pluviométrico** y en otoño existe un **significativo ascenso pluviométrico**.

PRECIPITACIONES ANUALES ACUMULADAS 1980/2013 – RODEOS (TENERIFE NORTE – SOTAVENTO) 615 m



Tendencia en las precipitaciones acumuladas anuales.

Evolución del volumen anual de precipitación a partir de la serie temporal. A escala anual existe una **tendencia negativa**, leve **descenso pluviométrico**, descenso aproximado de 1 mm cada año.

Parámetros estadísticos de la serie temporal: media aritmética 516.4 mm, coeficiente variación de la media 24.7%, nivel de confianza (75%) 501.5 mm y 531.3 mm, coeficiente de correlación 0.464, pendiente -37.4 mm/ 34 años y tendencia -1.1 mm/ año. Resaltamos el descenso de las desviaciones anuales en los dos últimos años (-33.3 mm en 2012 y - 32.9 mm 3n 2013), muy distantes a las registradas en Santa Cruz de Tenerife.

CONCLUSIÓN

En el análisis de la serie temporal de precipitaciones diarias se observa años concretos donde sobresalen notablemente los volúmenes de precipitaciones anuales en relación a su valor normal. No podemos afirmar una secuencia de periodos lluviosos y poco lluviosos, ya que las desviaciones puntuales carecen de agrupamientos alternativos notables. Aproximadamente un 12% de los años de la serie destaca el volumen anual de precipitación por exceso con respecto a la precipitación normal anual, por el contrario, un 12% de los años de la serie destaca el volumen anual de precipitación por defecto con respecto a la precipitación normal anual.

Las precipitaciones diarias abundantes en la medianía noreste a este son escasas y contabilizamos 140 días, 22 días, 8 días y 4 días con precipitaciones superiores a 25 mm, 50 mm, 75 mm y 100 mm, respectivamente en un periodo de 33 años. La ratio precipitación diaria intensa / año es apreciable. La cantidad de días con precipitaciones superiores a 25 mm en invierno son notablemente superior a los registrados en otoño (72 y 52 días); también para precipitaciones superiores a 50 mm en invierno son notablemente superior a los registrados en otoño (14 y 8 días). Las precipitaciones diarias intensas se registraron el 23 enero 2006: 85.3 mm; 1 febrero 2010: 134.1 mm; 18 marzo 2007: 120.8 mm; 19 noviembre 1983: 101.2 mm; 28 diciembre 1989: 86 mm y 12 diciembre 2002: 101.6 mm.

La distribución de los volúmenes de precipitación anual en la medianía este es muy irregular. Las precipitaciones diarias notables suceden en el lapso otoño - invierno, precipitaciones copiosas esporádicas en primavera y precipitaciones débiles frecuentes en verano. También podemos entrever de la representación gráfica que el lustro 1986 - 1990 ha sido moderadamente lluvioso, mientras que los lustros 1991 - 1995 y 2001 - 2005 han sido ligeramente poco lluviosos.

En invierno existe un **significativo descenso pluviométrico**, en primavera y verano existen un **leve descenso pluviométrico** y en otoño existe un **significativo ascenso pluviométrico**.

Hay una **leve tendencia descendente** en los volúmenes de precipitaciones anuales en la medianía noreste a este entre las décadas de los ochenta y comienzo de la segunda del presente siglo.

La clasificación agroclimática Papadakis, según las observaciones de la temperatura del aire en los periodos invernal y estival, regímenes térmicos para el invierno y verano, nos indica: **TROPICAL** (tp) y **ARROZ** (O), y el periodo anual: **TROPICAL FRÍO**; mientras que la clasificación agroclimática Papadakis en Los Rodeos - barlovento en el periodo 1945 a 1979, nos indica: **CITRÍCO** (Ci) y **ARROZ** (O), y el periodo anual: **SUBTROPICAL CÁLIDO**. El cambio de ubicación de la estación meteorológica pone de manifiesto diferencias en las características agroclimáticas entre los extremos de la Llanura de los Rodeos.

9 PERFILES ALTITUDINALES ANUALES Y ESTACIONALES EN VERTIENTES A BARLOVENTO Y SOTAVENTO DE ANAGA

Un **perfil altitudinal pluviométrico anual** es la representación gráfica de la precipitación acumulada anual, eje X, frente a la altitud de la estación pluviométrica, eje Y. Las estaciones pluviométricas corresponden a una zona específica, elegidas sobre una línea imaginaria perpendicular a la costa: **transecto** comarcal.

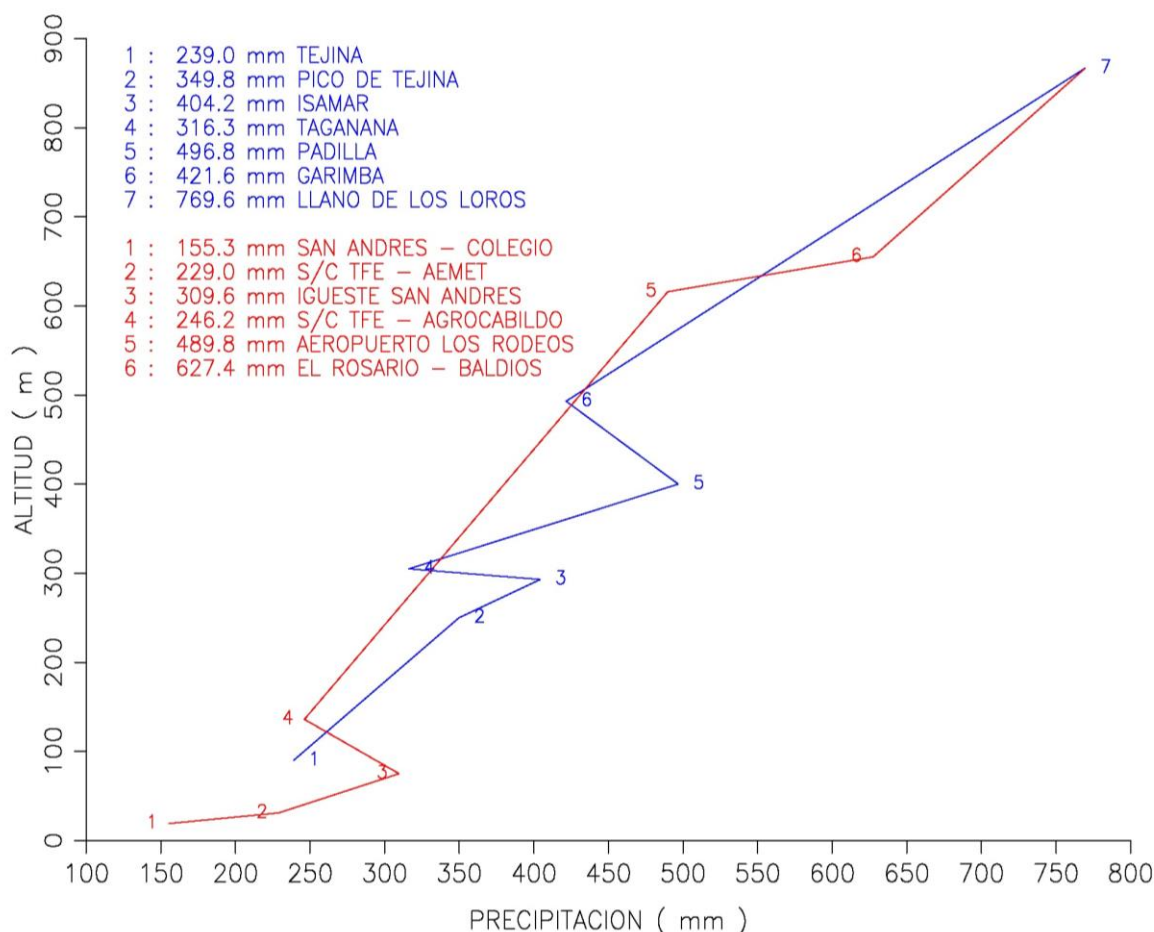
En ecología un **transecto** es una técnica de observación y recogida de datos. Donde haya una transición clara - o supuesta - de la flora o de la fauna o de parámetros ambientales, es útil hacer un estudio detallado a lo largo de una línea (real o imaginaria que denominaremos transecto) que cruce la zona. Debe ponerse mucha atención en la elección de esta línea que debe atravesar las zonas que son diferentes a primera vista o supuestamente.

La recopilación de datos es una tarea difícil en la red pluviométrica de Tenerife y más aún que estos coincidan en un mismo periodo temporal. En esta sección presentamos información recogida en estaciones meteorológicas automáticas de reciente instalación en distintas fechas. Un posterior tratamiento matemático será útil para desenmascarar los contrastes pluviométricos de la región. Hemos considerado periodos superiores a 4 años de observación como suficientes para representar al lugar. Este criterio conlleva incertidumbre en la comparación de las precipitaciones anuales y estacionales medias entre los distintos puntos de observación.

Los transectos seleccionados se han realizado en función de la disponibilidad de información en la zona oriental de Tenerife, obtenidos con dispositivos electrónicos de recogida de datos. Las nuevas estaciones aportan información fidedigna representativa de los fenómenos pluviométricos a ambos lados de las vertientes de la península de Anaga.

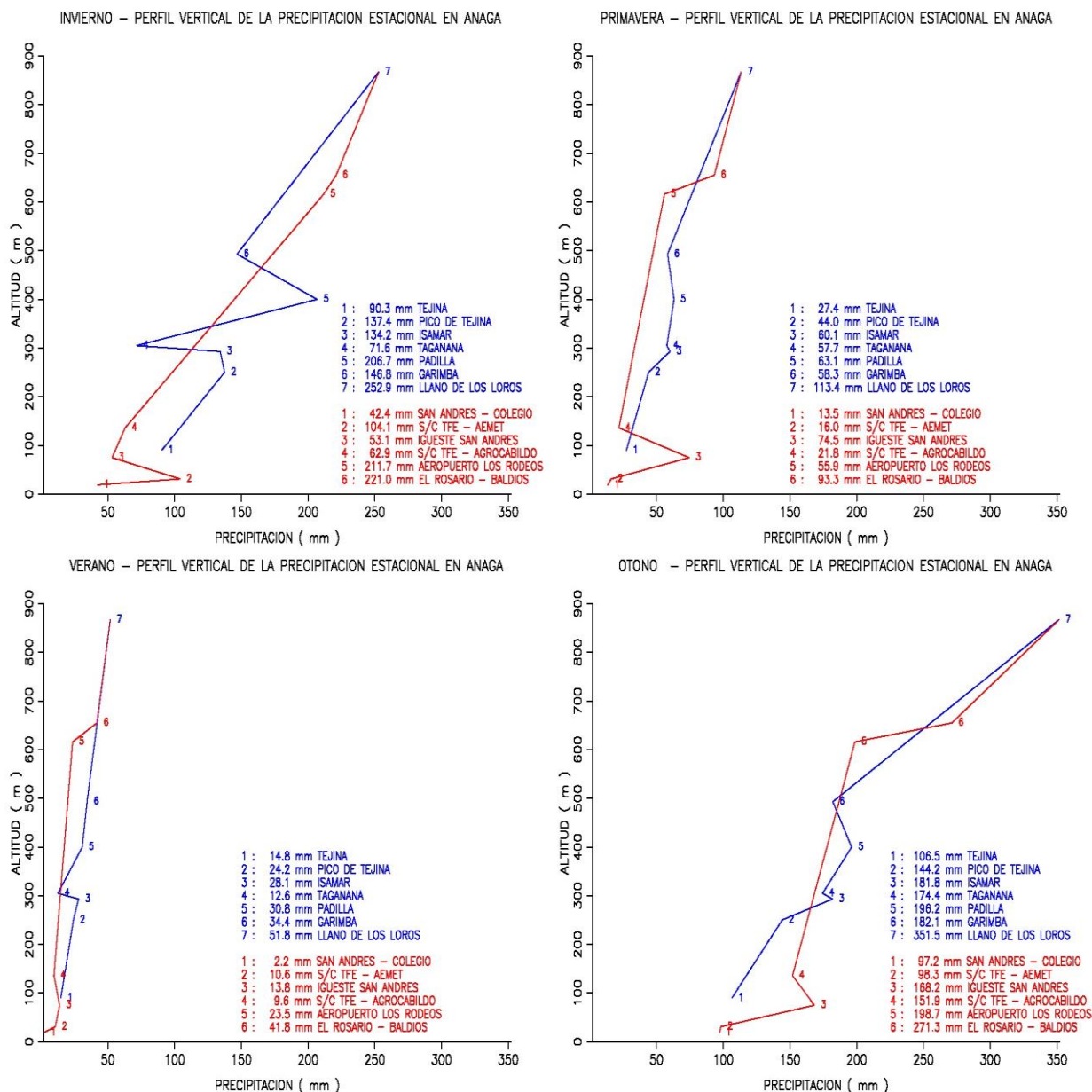
PLUVIÓMETRO	ALT m	PERIODO OBSERVA	AÑOS	INV mm	PRI mm	VER mm	OTO mm	TOTAL mm
PERFIL BARLOVENTO								
TEJINA	90	2004/2013	10	90.3	27.4	14.8	106.5	239.0
TEJINA - PICO	250	2004/2013	10	137.4	44.0	24.2	144.2	349.8
VALLE GUERRA ISAMAR	295	2004/2013	10	134.2	60.1	28.1	181.8	404.2
TAGANANA - AGROCABILDO	305	2011/2013	2	71.6	57.7	12.6	174.4	316.3
LA PADILLA	400	2004/2013	10	206.7	63.1	30.8	196.2	496.8
VALLE GUERRA GARIMBA	493	2004/2013	10	146.8	58.3	34.4	182.1	421.6
LOS RODEOS BARLOVENTO	617	1945/1979	34	253.3	98.6	35.6	296.1	683.6
LLANOS DE LOS LOROS	867	2009/2013	4	252.9	113.4	51.8	351.5	769.6
PERFIL SOTAVENTO								
SAN ANDRÉS	20	2009/2013	4	42.4	13.5	2.2	97.2	155.3
SANTA CRUZ TENERIFE	36	2004/2013	10	104.1	16.0	10.6	98.3	229.0
SANTA CRUZ DE TENERIFE	36	1931/2013	83	100.7	18.5	6.7	109.4	235.3
IGUESTE SAN ANDRÉS - AGRO	75	2012/2013	2	53.1	74.5	13.8	168.2	309.6
SANTA CRUZ – CRUZ SEÑOR	136	2011/2013	3	62.9	21.8	9.6	151.9	246.2
LOS RODEOS SOTAVENTO	617	2004/2013	10	211.7	55.9	23.5	198.7	489.8
LOS RODEOS SOTAVENTO	617	1980/2013	34	208.7	68.0	29.4	208.6	514.7
EL ROSARIO - BALDÍOS	655	2009/2013	4	221.0	93.3	41.8	271.3	627.4
LLANOS DE LOS LOROS	867	2009/2013	4	252.9	113.4	51.8	351.5	769.6

PERFIL VERTICAL DE LA PRECIPITACION ANUAL MEDIA EN ANAGA

**Perfiles pluviométricos medios anuales a barlovento / sotavento en la península de Anaga**

La gráfica indica las precipitaciones diarias acumuladas anualmente medias en las vertientes a barlovento / sotavento en lugares donde existen series continuas de observaciones (inferiores a 10 años). En la **costa**, las precipitaciones medias anuales no superan los 350 mm; en la **medianía baja** están comprendidas entre 300 mm y 425 mm; en la **medianía alta** están comprendidas entre 425 mm y 700 mm; en la **crestería** están comprendidas entre 700 mm y 800 mm, lugares escarpados y cubiertos de densos bosques donde tenemos que añadir la **precipitación de niebla** adherida a los obstáculos en aquellos momentos en las cuales el aire muy húmedo se desplaza con notable velocidad, y **precipitación de rocío** en la madrugada de cada día cuando la atmósfera es más fría, cantidades de precipitaciones relevantes pendientes de evaluar en nuestros montes.

Presentamos las precipitaciones anuales en las vertientes opuestas como los valores medios de las precipitaciones anuales medias recogidas en los puntos de observación de cada vertiente. La precipitación anual estimada en la vertiente a barlovento es 428 mm, mientras que a sotavento es 404 mm, por lo tanto, la precipitación anual media en la vertiente a barlovento es superior un 6% a la recogida en la vertiente a sotavento, porcentaje que no indica un contraste demostrativo de los diferentes pisos de vegetación en altitudes similares. Si comparamos las precipitaciones caídas en las laderas de las medianías altas y cresterías en ambas orientaciones, es obvio que las laderas a barlovento superan ligeramente el porcentaje en similares altitudes; mientras que en zonas costeras los contrastes pluviométricos entre ambas vertientes son más considerables.



Perfiles pluviométricos medios estacionales a barlovento / sotavento en Anaga

Las gráficas indican las precipitaciones diarias acumuladas estacionalmente medias en las vertientes opuestas de la península de Anaga. En **invierno** en la **costa** las precipitaciones medias no superan los 140 mm; en la **medianía baja** están comprendidas entre 140 mm y 210 mm; en la **medianía alta** están comprendidas entre 150 mm y 240 mm; en la **crestería** están comprendidas entre 240 mm y 260 mm. En **otoño** en la **costa** las precipitaciones medias no superan los 160 mm; en la **medianía baja** están comprendidas entre 160 mm y 200 mm; en la **medianía alta** están comprendidas entre 180 mm y 275 mm; en la **crestería** están comprendidas entre 270 mm y 360 mm. En **primavera** las precipitaciones medias no superan los 120 mm y en **verano** las precipitaciones medias no superan los 55 mm; tenemos que considerar en este periodo estacional la importancia hidrológica de la precipitación de niebla durante el día y de la precipitación de rocío en horas de madrugada sobre las laderas de la medianía alta y zona de crestería entre junio a octubre cuando la cordillera de Anaga está cubierta de nubosidad y los de vientos marinos débiles a moderados muy húmedos están presentes muchos días del año.

La precipitación **invernal** estimada en la vertiente a barlovento es 149 mm, mientras que a sotavento es 135 mm, por lo tanto, la precipitación a barlovento es superior un 10% a la precipitación a sotavento. La precipitación **primaveral** estimada a barlovento es 61 mm, mientras que a sotavento es 55.5 mm, por lo tanto, la precipitación a barlovento es superior un 9% a la precipitación a sotavento. La precipitación **estival** estimada a barlovento es 28 mm, mientras que a sotavento es 22 mm. La precipitación **otoñal** estimada en la vertiente a barlovento es similar a la precipitación en la vertiente a sotavento, 191 mm; además, “**la precipitación estimada en otoño es moderadamente superior a la precipitación estimada en invierno**”.



Charca rebosante de agua en la medianía baja a sotavento del Barranco de Tahodio: Un episodio de lluvias intensas poco frecuentes han hecho reverdecer el matorral xerófito de costa. Foto Cristóbal Rodríguez Piñero

10 LA HUMEDAD RELATIVA DEL AIRE EN ANAGA



La niebla en el interior del bosque. Precipitación de rocío durante el periodo nocturno

La niebla se traslada con velocidad débil o moderada y las gotitas de agua que la constituyen chocan contra todos los obstáculos en su libre movimiento a través del bosque. Durante el periodo nocturno, la atmósfera se enfría, es más serena, las gotitas de mayor peso caen al suelo por la acción de la gravedad en forma de **rocío**. La humedad del aire en el interior del monte verde es muy elevada, superior al 90%. Foto: Lázaro Sánchez Pinto



El aire cargado de humedad marina en zonas próximas a la orilla del mar. La maresía

El régimen de vientos moderados a fuertes persiste en la costa noreste a estesureste transportan aire cargado de humedad marina, cantidades de agua líquida en forma de pequeñas gotitas de agua se depositan en forma de rocío salobre, la **maresía**, además se puede observar como una neblina tenue en muchas de nuestras costas, también se puede sentir su olor. La humedad en el interior de la franja costera es muy elevada, en muchas ocasiones, superior al 90%. La distribución de las humedades del aire en el macizo de Anaga está estrechamente relacionada con las características orográficas del relieve, variaciones de la presión atmosférica, orientaciones de la costa y laderas frente a los vientos oceánicos dominantes. Foto: Sergio Socorro Hernández.



Además, los vientos húmedos ascienden por las laderas de valles durante el periodo diurno y alcanzan las cresterías. La importancia hídrica de la irrupción de la masa húmeda estriba en la formación de nubes estratiformes de origen orográfico en las zonas altas, una vez desarrolladas suelen ir acompañadas de **ligeros chubascos, lloviznas permanentes, precipitación de rocío** notable durante el periodo nocturno, situaciones meteorológicas muy alejadas de los episodios poco frecuentes de lluvias intensas que acompañan a los frentes nubosos activos y depresiones tormentosas. Foto Cristóbal Rodríguez Piñero



Costa sureste. Formación de maresía sobre la orilla

El mar al romper en la costa levanta sobre la orilla infinidad de gotitas de agua marina, formando una atmósfera muy húmeda y sus efectos se detectan en la ligera pérdida de visibilidad., **neblina marina**, en las islas Canarias llamada **maresía**. El Socorro (Güímar), costa noreste de Tenerife a primeras horas de la mañana.



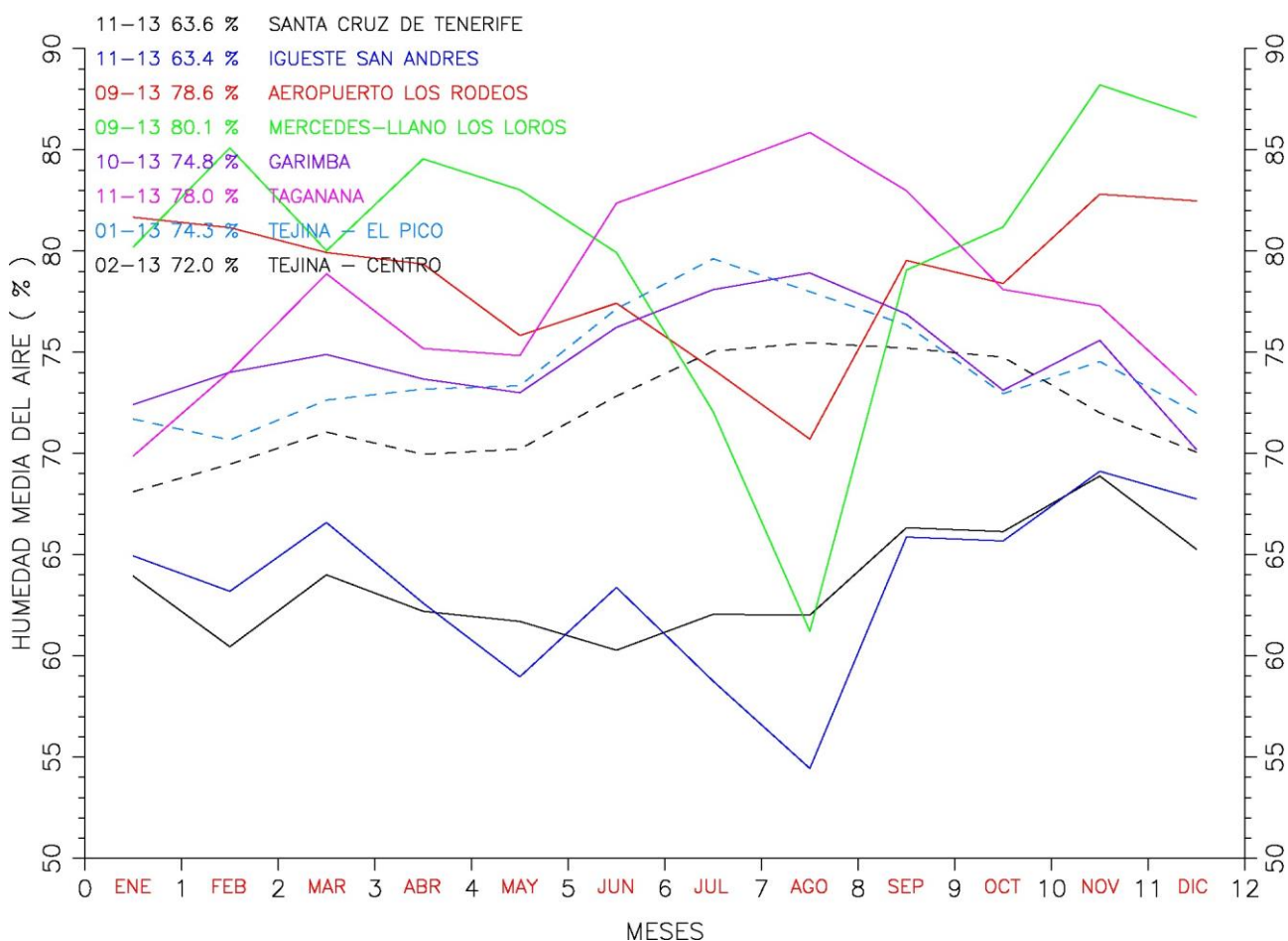
Formación de gotas de agua sobre las acículas de un tarajal en la orilla del mar

Las gotitas de agua que constituyen la neblina son adheridas a las hojas y ramas, se forman gotas de mayores diámetros que caen al suelo por la acción de la gravedad. Fotos: Francisco Barrera González.

11 HUMEDADES DEL AIRE MEDIAS MENSUALES REGISTRADAS EN LAS ESTACIONES AUTOMÁTICAS DEL NORESTE DE TENERIFE.

Las observaciones higrométricas recopiladas en Anaga mediante estaciones automáticas constituyen series numéricas que cubren periodos de tiempo variables y de corta duración, no obstante las tratamos estadísticamente al considerar de interés por su alta calidad informativa. Las invasiones de aire sahariano e irrupciones de aire marítimo son frecuentes en la baja troposfera canaria y sus efectos físicos son notables en las condiciones atmosféricas del Macizo de Anaga. El régimen higrométrico es variable, las humedades diarias son más regulares en zonas costeras a lo largo del año, lo contrario, en zonas de cumbre son irregulares y sus valores son más amplios, dependiendo del origen de las masas de aire itinerantes.

HUMEDADES DEL AIRE MEDIAS MENSUALES



Humedades del aire medias mensuales presentadas por medio de líneas quebradas

Las gráficas muestran humedades medias mensuales en diferentes periodos en observatorios situados a distintas cotas en la región. En la **costa** el contenido acuoso de la atmósfera depende de su orientación, por tanto está estrechamente relacionada con las direcciones del viento, en la costa a barlovento las humedades son superiores a la costa de sotavento. Las humedades en la costa a barlovento oscilan entre 68 % enero y 76 % agosto, mientras que en la costa de sotavento oscilan entre 54 % agosto y 70 % noviembre; efectos higrométricos opuestos en ambas orientaciones, la humedad estival es superior a la humedad invernal en la costa a barlovento, por el contrario, las

humedades otoñal e invernal son superiores a la humedad estival en la costa de sotavento; la justificación a esta paradoja higrométrica la encontramos en el régimen de los vientos alisios, vientos húmedos que soplan dominantes en el sector norte a noreste y en el efecto orográfico del relieve.

En las **medianía** el contenido acuoso de la atmósfera asciende independientemente de la orientación de la superficie; en ladera a barlovento el ascenso altitudinal incrementa la condensación del vapor de agua y en la ladera a sotavento está sometida a los efectos del descenso de la nubosidad orográfica desarrollada en la cumbres. Las humedades en la medianía a barlovento oscilan entre 70 % enero y 86 % agosto, mientras que en la medianía a sotavento oscilan entre 70 % agosto y 83 % noviembre; efectos higrométricos opuestos en ambas orientaciones, la humedad estival es superior a la humedad invernal en la medianía a barlovento, por el contrario, las humedades otoñal e invernal son superiores a la humedad estival en la medianía a sotavento; la justificación a esta paradoja higrométrica la encontramos en el régimen de los vientos alisios.

En las **cumbres** el contenido acuoso de la atmósfera no está siempre estrechamente relacionado con la leyes físicas del descenso de temperatura del aire cuando ascendemos; las cumbres están expuestas a los efectos climáticos típicos de irrupciones de aire marítimo húmedo e invasiones de aire sahariano caliente y seco, inversiones térmicas en altura donde la cumbre queda inmersa. La formación de nubosidad orográfica es frecuente en cualquier época del año. Las humedades oscilan entre 61 % agosto y 89 % noviembre, la humedad otoñal es notablemente superior a la humedad invernal; la justificación a esta paradoja higrométrica la encontramos en el origen de las invasiones de aire que alcanzan las cumbres.



Efecto Föhn sobre en las cresterías de las Cumbres de Anaga.

El efecto **Föhn** es producido por vientos cálidos y húmedos que soplan frecuentemente en el sector noroeste a noreste, ascienden por las laderas a barlovento y produce en el relieve más elevado una capa de estratocúmulos que en muchas ocasiones van acompañadas de lloviznas: vertiente cubierta de nubes. Posteriormente, el aire desciende perdiendo su contenido acuoso sobre la vertiente opuesta: vertiente soleada. El viento es más cálido y seco cuando alcanza las cotas inferiores. La nubosidad se deshace en las laderas a sotavento. Foto: Francisco Barrera González (ICONA 1987).

	SCTE	IGSA	AROD	MLLO	GARI	TAGA	PICO	TEJI
ENERO	63.9	64.9	81.7	80.2	72.4	69.9	71.7	68.1
FEBRERO	60.5	63.2	81.2	85.1	74.0	74.0	70.7	69.5
MARZO	64.0	66.6	79.9	80.0	74.9	78.9	72.6	71.1
ABRIL	62.2	62.6	79.4	84.6	73.7	75.2	73.2	70.0
MAYO	61.7	59.0	75.8	83.0	73.0	74.8	73.3	70.2
JUNIO	60.3	63.4	77.4	79.9	76.2	82.4	77.1	72.8
JULIO	62.1	58.8	74.2	72.1	78.1	84.1	79.6	75.1
AGOSTO	62.0	54.4	70.7	61.2	78.9	85.9	78.0	75.5
SEPTIEMBRE	66.3	65.9	79.5	79.1	76.9	83.0	76.3	75.2
OCTUBRE	66.1	65.7	78.4	81.2	73.1	78.1	73.0	74.8
NOVIEMBRE	68.9	69.1	82.8	88.2	75.6	77.3	74.5	72.0
DICIEMBRE	65.3	67.8	82.5	86.6	70.2	72.9	72.0	70.1
SUMA	763.3	761.3	943.5	961.2	897.1	936.4	892.2	864.2
OBSERVACIONES	12							
OBSERVAC MEDIA	63.6	63.4	78.6	80.1	74.8	78.0	74.3	72.0
ANUAL COMPLETO	13	2	13	4	4	2	6	12
COEF VARIACION	190.0	2.5	131.7	3.6	4.8	0.5	5.3	1.7

La tabla muestra las humedades del aire mensuales medias en series numéricas en diferentes periodos de observación recogidas en las estaciones automáticas cuyos registros son considerados precisos, por tanto la tabla manifiesta una buena aproximación al conocimiento del régimen higrométrico de Anaga.

	SCTE	IGSA	AROD	MLLO	GARI	TAGA	PICO	TEJI
INVIERNO	62.8	64.9	80.9	81.8	73.8	74.3	71.7	69.5
PRIMAVERA	61.4	61.7	77.5	82.5	74.3	77.5	74.6	71.0
VERANO	63.5	59.7	74.8	70.8	78.0	84.3	78.0	75.2
OTONO	66.8	67.5	81.2	85.3	73.0	76.1	73.2	72.3

En la **costa y medianía a barlovento** el invierno es el periodo estacional menos húmedo y el verano es el más húmedo, mientras que en la **costa y medianía a sotavento** el verano es el periodo menos húmedo y otoño es el más húmedo. En la **cumbre** el verano es el periodo menos húmedo y otoño es el más húmedo. La explicación a estos efectos higrométricos la encontramos en las frecuencias de las masas de aire con distintas características físicas que alcanzan las cumbres.

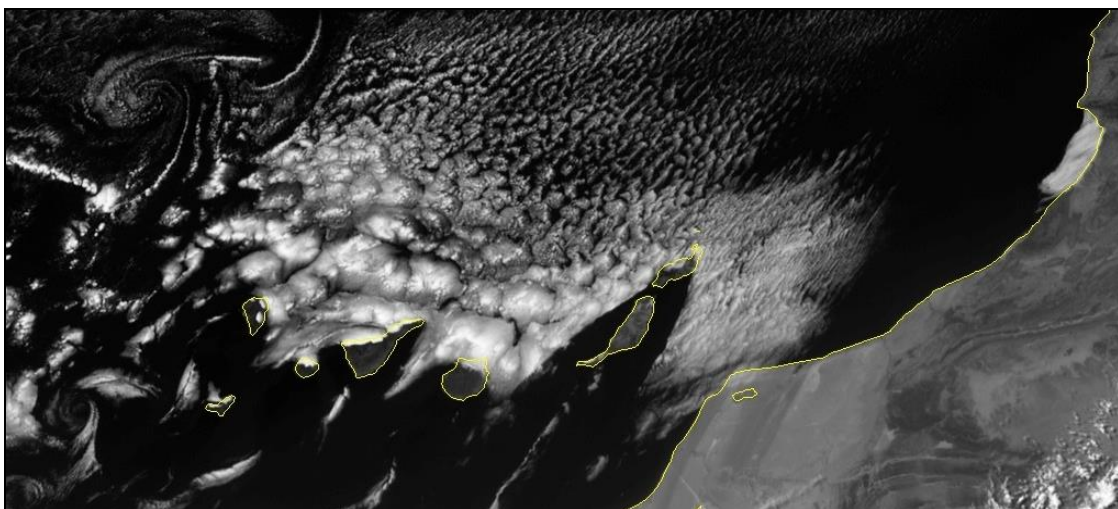
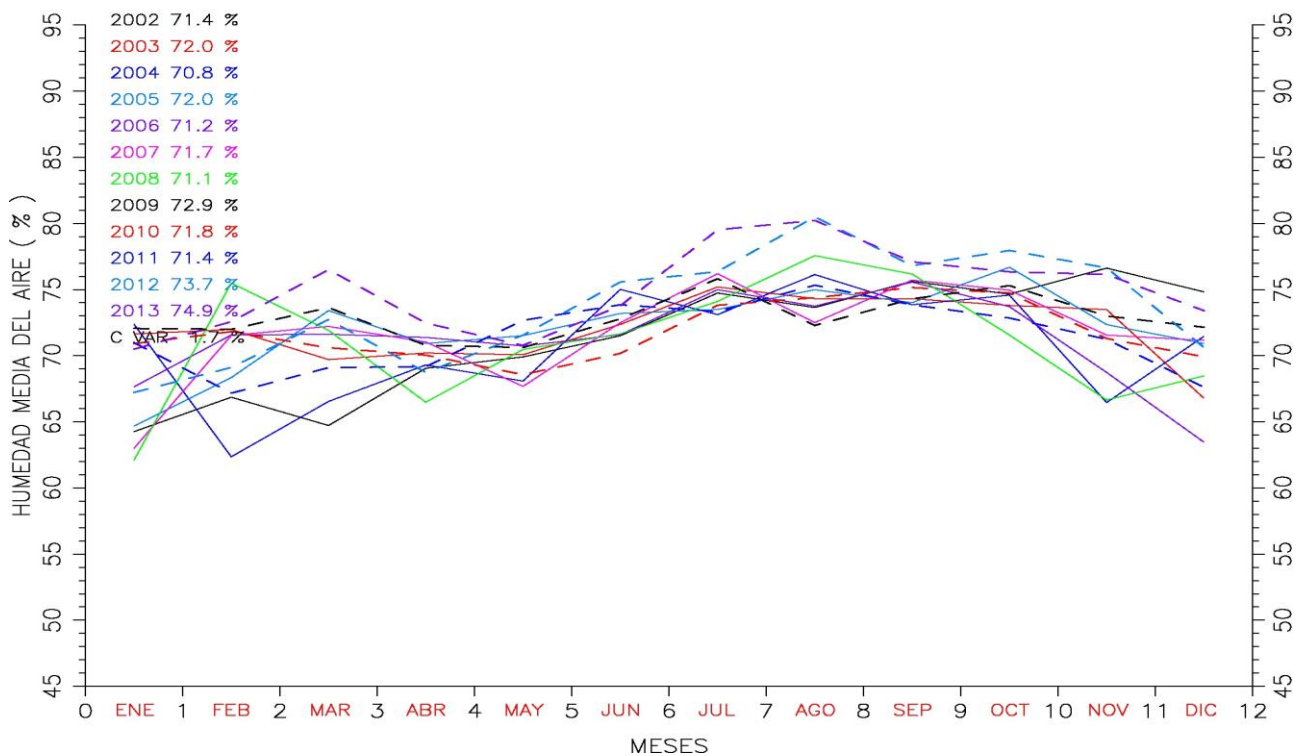


Imagen del Meteosat 9 el 12 de agosto de 2014 a las 14 h

La imagen nos muestra una situación **típica de verano**, los vientos húmedos soplan en la dirección noreste en la costa y medianía, y posterior formación de una capa de estratocúmulos sobre la costa y ladera a barlovento, por tanto, la inversión de temperatura sobre la superficie del mar tiene la base a 830 m de altura y un grosor de 220 m; franjas altitudinales de la superficie de la cumbre permanece externas a la capa nubosa.

Las humedades del aire anuales medias son analizadas mediante el cálculo del **coeficiente de variación**, parámetro estadístico que manifiesta la **regularidad del régimen higrométrico anual del Macizo de Anaga**. Las humedades medias diarias son ligeramente más regulares en la vertiente a sotavento que en la vertiente a barlovento. La explicación a estos efectos higrométricos la encontramos en el contenido acuoso de la atmósfera cuya variabilidad y cuantía es moderadamente superior en la vertiente a barlovento que en la vertiente a sotavento donde permanece con un régimen higrométrico anual estable.

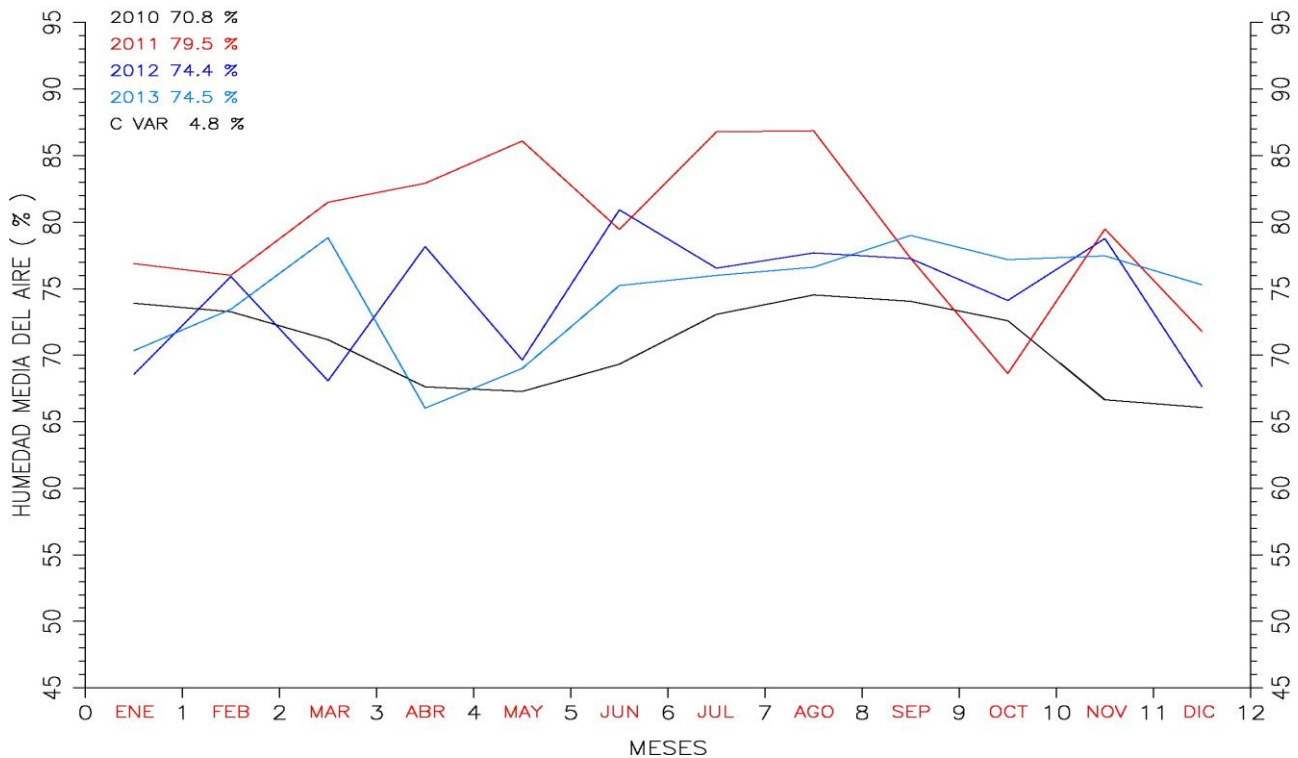
2002 – 2013 TEJINA – CENTRO



Régimen higrométrico anual en la costa occidental a barlovento del Macizo de Anaga

Las líneas quebradas representan humedades del aire medias mensuales cada año en un lugar concreto. Escogemos la misma escala de humedades en el eje de ordenadas para tener la misma referencia para comparar gráficamente lugares de regímenes higrométricos diferentes. En general, el régimen higrométrico (humedades medias mensuales) es **regular** a lo largo del año, el rango higrométrico anual no supera el 19 %, el invierno y el otoño tienen mayor rango que en la primavera y verano, no obstante las humedades otoñales e invernales son ligeramente más irregulares y de menor cuantía que las humedades primaverales y estivales más regulares y ligeramente de mayor cuantía. Las oscilaciones estacionales de las humedades medias son las siguientes: invierno 62 % a 77 %, primavera 66 % a 76 %, verano 72 % y 81 %, y otoño 63 % a 78 %. El coeficiente de variación del conjunto de humedades medias anuales durante 12 años de observaciones es 1.7 %. Las constantes irrupciones de aire húmedo marino que alcanzan la costa septentrional de Tenerife es la principal causa de la homogeneidad higrométrica.

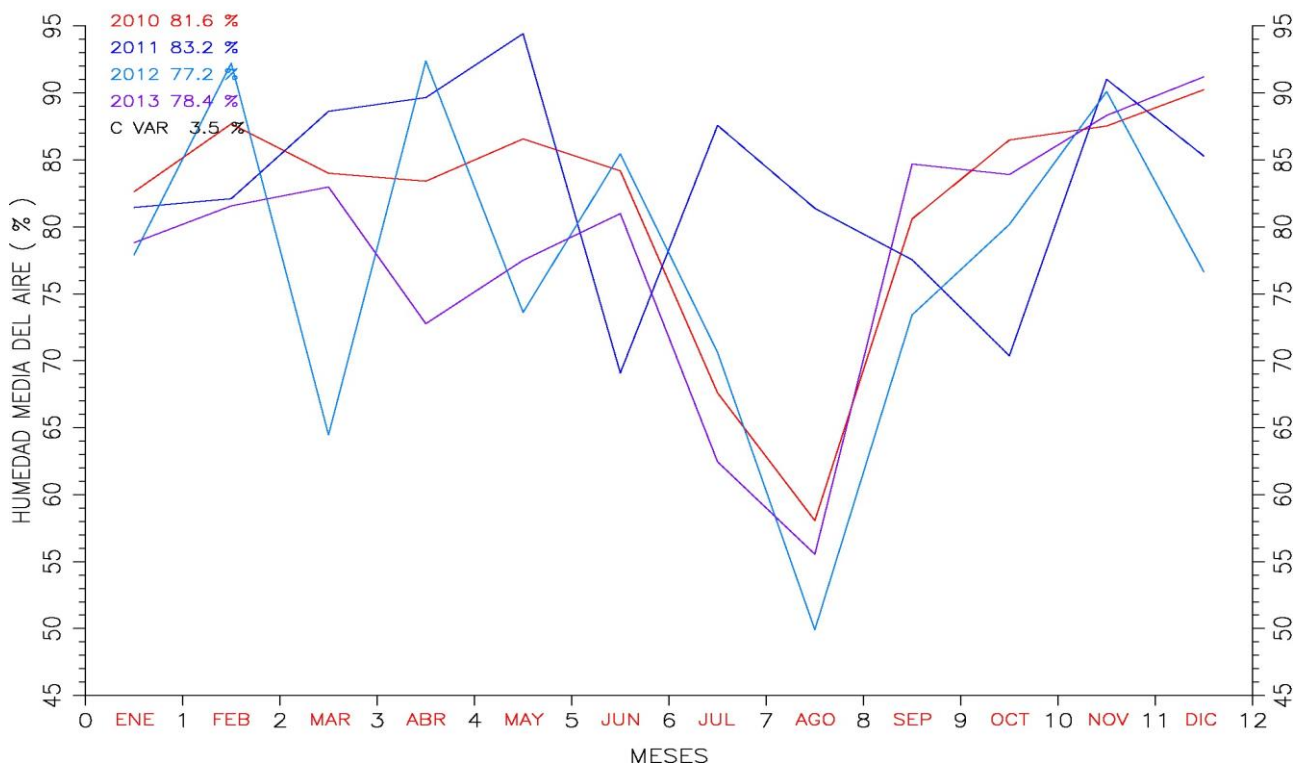
2010 – 2013 GARIMBA



Régimen higrométrico anual en la medianía occidental a barlovento del Macizo de Anaga

En general, el régimen higrométrico es **bastante regular** a lo largo del año, el rango higrométrico anual no supera el 21 %, la primavera tiene mayor rango, ligeramente superior a los rangos del resto de las estaciones. El verano es notablemente húmedo. El otoño e invierno son higrométricamente similares y húmedos. Las oscilaciones estacionales de las humedades son las siguientes: invierno 68 % a 82 %, primavera 66 % a 87 %, verano 73 % y 87 %, y otoño 67 % a 70 %. El coeficiente de variación del conjunto de humedades medias anuales durante 4 años de observaciones es 4.8 %. Las irrupciones de aire húmedo se desplazan por las laderas a barlovento, el aire se enfría a medida que asciende y el vapor de agua se condensa formando en muchas ocasiones neblina y niebla en primavera y verano sobre las medianías, por tanto la humedad ambiental aumenta.

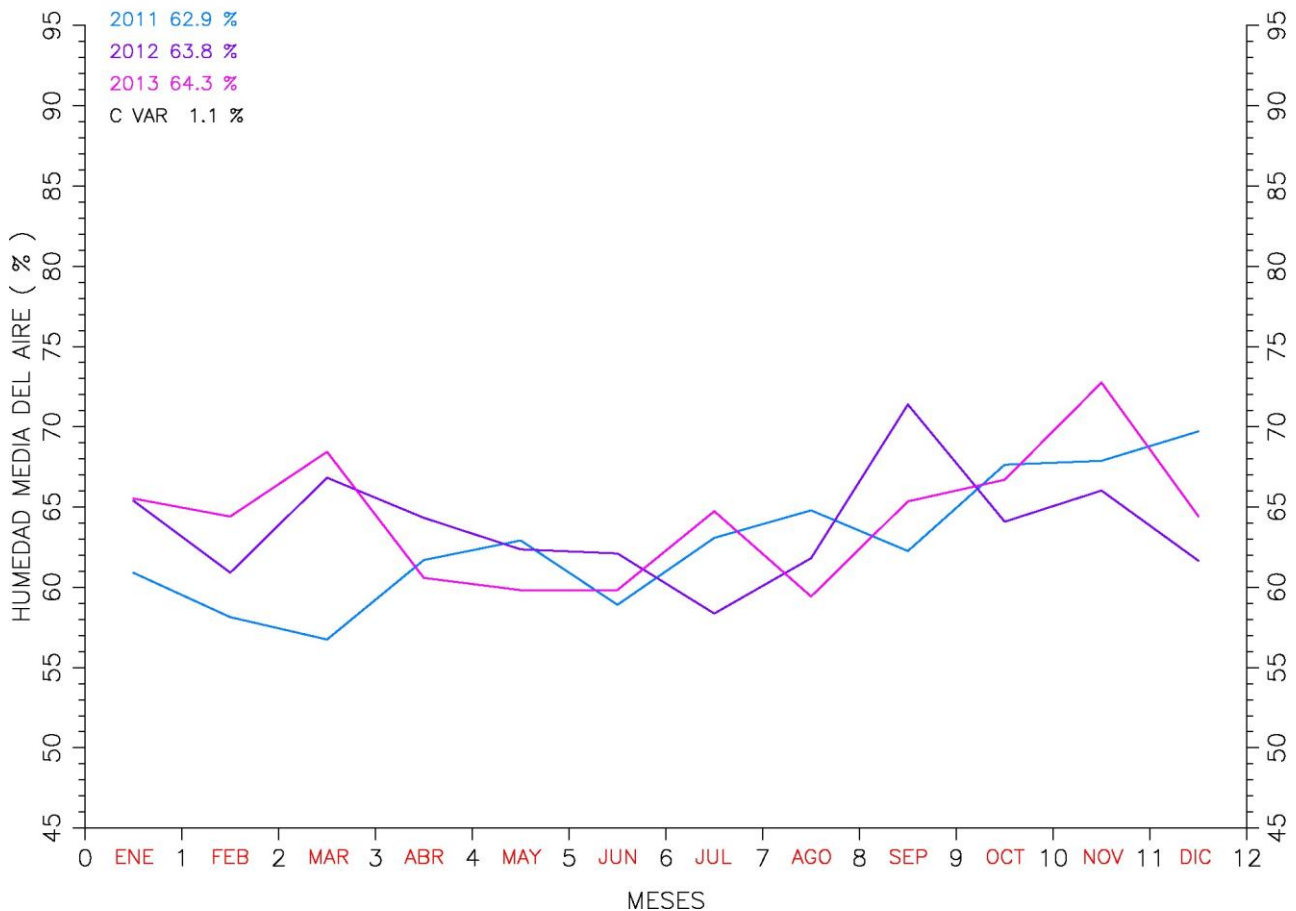
2009 – 2013 MERCEDES–LLANO LOS LOROS



Régimen higrométrico anual en la cumbre occidental a sotavento del Macizo de Anaga

En general, el régimen higrométrico es **bastante irregular** a lo largo del año, el rango higrométrico anual supera el 46 %, el verano tiene mayor rango notablemente superior a los rangos del resto de las estaciones, además es notablemente menos húmedo. La primavera, otoño e invierno tienen rangos destacables, comprendidos entre 20 % y 30 %, no obstante son estaciones húmedas. El verano tiene un régimen higrométrico muy irregular. La primavera tiene un régimen higrométrico irregular. El otoño e invierno son higrométricamente similares. Las oscilaciones estacionales de las humedades son las siguientes: invierno 64 % a 93 %, primavera 69 % a 95 %, verano 49 % y 88 %, y otoño 70 % a 92 %. A pesar de la irregularidad higrométrica mensual, el coeficiente de variación del conjunto de humedades medias anuales durante 4 años de observaciones es 3.5 %. La justificación de la irregularidad higrométrica en la cumbre de Anaga la encontramos en el origen de las irrupciones de aire que alcanzan estas cotas, invasiones de aire sahariano seco y caliente son frecuentes e igual que la presencia de nieblas y neblinas desarrolladas por efectos orográficos de las masas húmedas marinas que irrumpen en las costas del Macizo de Anaga.

2001 – 2013 SANTA CRUZ DE TENERIFE

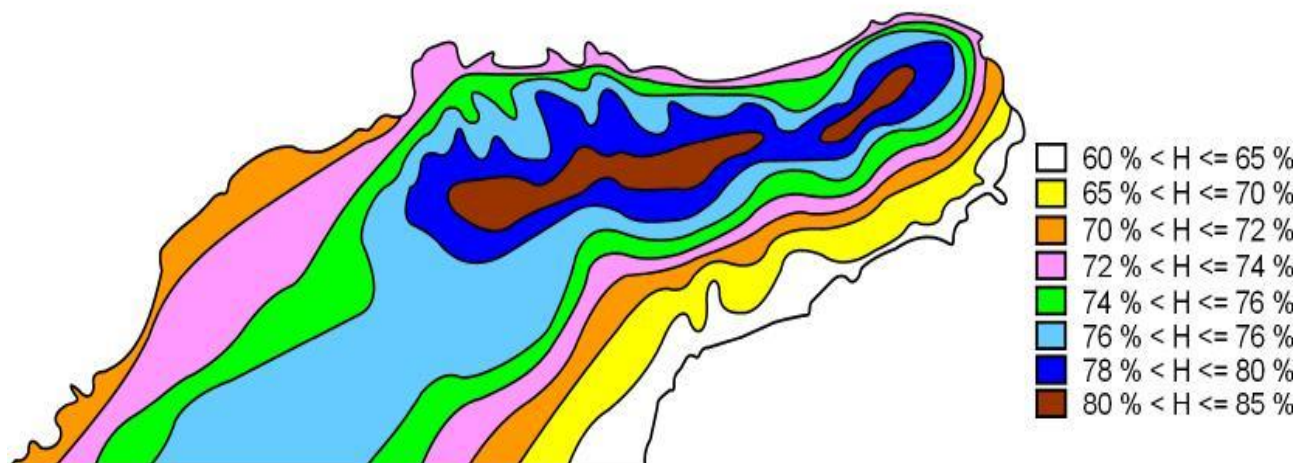

Régimen higrométrico anual en la costa occidental a sotavento del Macizo de Anaga

En general, el régimen higrométrico es **regular** a lo largo del año, el rango higrométrico anual no supera el 17 %, la primavera tiene menor rango que en el resto de los rangos de las estaciones del año, no obstante sus cuantías no destacan. Las humedades estivales y primaverales son semihúmedas y regulares. Las humedades otoñales e invernales son semihúmedas, ligeramente más irregulares, y de mayor cuantía. Las oscilaciones estacionales de las humedades medias son las siguientes: invierno 56 % a 69 %, primavera 58 % a 65 %, verano 58 % y 71 %, y otoño 61 % a 73 %. El coeficiente de variación del conjunto de humedades medias anuales durante 3 años de observaciones es 1.7 %. Las constantes irrupciones de aire húmedo marino que alcanzan la costa septentrional de Tenerife tienen un efecto higrométrico contrario en las laderas a sotavento, además debemos considerar el lugar de observación no representativo de la costa a sotavento al estar situado en área urbana con fuerte influencia antropogénica sobre el clima.

12 HUMEDADES RELATIVAS DEL AIRE MEDIAS TRIMESTRALES Y ANUALES ESTIMADAS

La costa noreste a este presenta elevada humedad del aire a causa del persistente régimen de vientos de componente norte; presencia de **maresía**, aire cargado de humedad marina; mientras que la humedad del aire es muy elevada en las medianías de las vertientes noroeste a noreste debido al **efecto anabático**, movimiento ascendente del aire sobre la ladera en las últimas horas de la mañana, antes del mediodía, hasta el atardecer; los vientos aumentan ligeramente las velocidades del aire procedente del mar, incrementa su contenido acuoso, formación de nubosidad que pueden desencadenar lloviznas o ligeros chubasco y presencia de **precipitación de rocío** durante el periodo nocturno, humedades notable en los instantes cercanos al amanecer. La humedad atmosférica media anual en el macizo de Anaga es **semihúmeda a húmeda**.

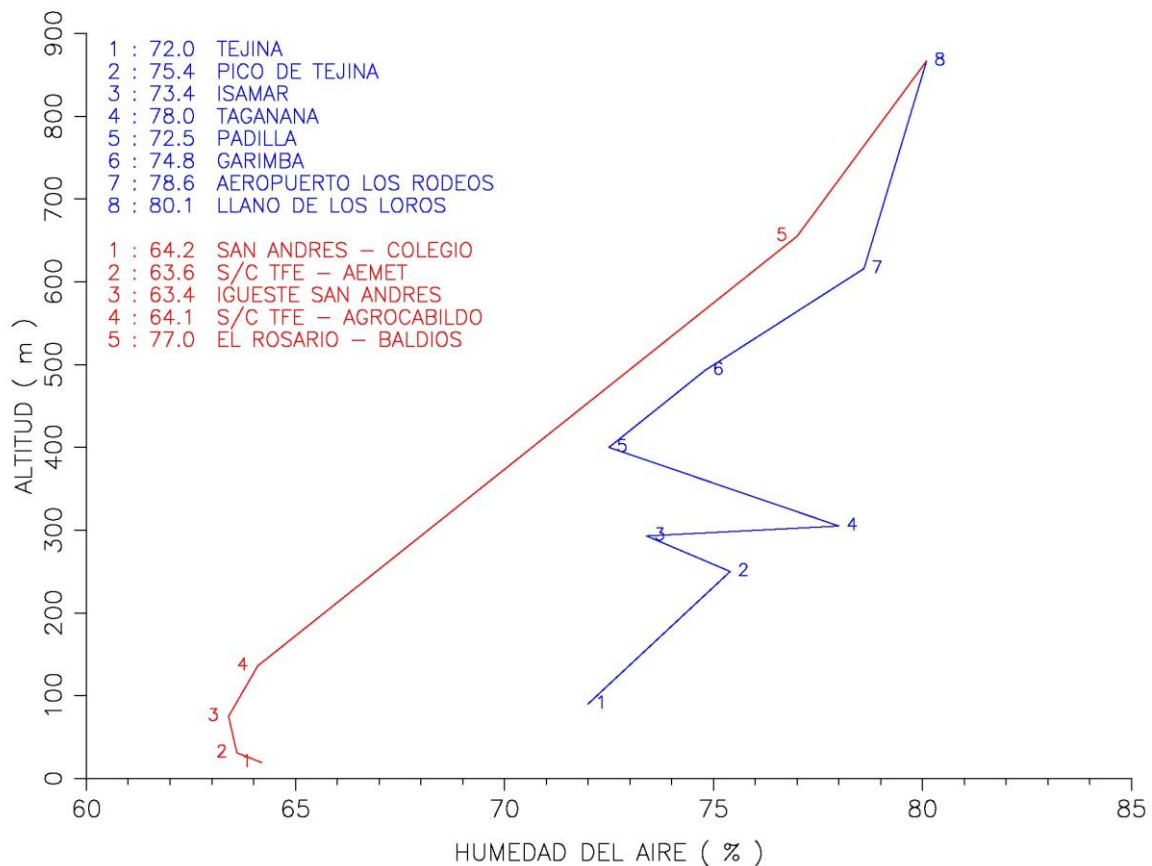
HUMEDAD DEL AIRE MEDIA ANUAL EN ANAGA



Una corta franja costera en dirección este a sureste, cotas inferiores a 200 m registra la menor humedad atmosférica ($60\% < H < 65\%$), nivel medio de **humedades semihúmedas**; lo contrario, zonas de crestería, cotas superiores a 750 m registra la mayor humedad atmosférica ($80\% < H < 85\%$), nivel superior de **humedades húmedas**. La franja costera este a sureste, entre 200 m y 300 m registra humedades nivel alto **semihúmedas** ($65\% < H < 70\%$). La medianía baja este a sureste entre 300 m y 500 m, y la franja costera noreste a este, cotas inferiores a 250 m, registra humedades nivel bajo **húmedas** ($70\% < H < 76\%$). La medianía alta este a sureste entre 500 m y 750 m, y la medianías noreste a este registra humedades nivel medio **húmedas** ($76\% < H < 80\%$). En las medianías altas y zonas de crestería es frecuente que la humedad atmosférica alcance valores superiores al 90%, donde aparecen **nieblas** durante muchas horas de cada día, formando vistosas cascadas de nubes en la vertiente a sotavento. Las humedades atmosféricas registradas en la vertiente a barlovento son notablemente superiores a las registradas en la vertiente sotavento en altitudes similares.

PLUVIÓMETRO	PERIODO OBSERVA	ALT m	INV %	PRI %	VER %	OTO %	ANUAL %
LAGUNA - TEJINA	2004 2013	90	69.8	71.1	75.4	72.1	72.1
LAGUNA - PICO DE TEJINA - ICIA	2010 2013	250	73.9	74.7	78.3	73.6	75.1
LA LAGUNA - VALLE GUERRA - ISAMAR	2006 2013	293	70.7	74.1	77.9	70.8	73.4
SANTA CRUZ TFE - TAGANANA	2011 2013	305	74.3	77.5	84.3	76.1	78.0
TEGUESTE - LA PADILLA	2004 2013	400	70.7	72.6	74.1	72.7	72.5
LA LAGUNA - GARIMBA - ICIA	2010 2013	493	73.8	74.3	78.0	73.0	74.0
AEROPUERTO LOS RODEOS - TENERIFE NORTE	2009 2013	616	80.9	77.5	74.7	81.2	78.6
LA LAGUNA - ANAGA - LLANO LOS LOROS	2009 2013	867	81.8	82.5	70.8	85.3	80.1
SANTA CRUZ - SAN ANDRÉS - CP ARGENTINA	2009 2013	19	65.1	62.4	62.2	67.1	64.2
SANTA CRUZ DE TENERIFE - AUTOMATICA	2011 2013	31	62.9	61.4	63.5	66.8	63.6
SANTA CRUZ TFE - IGUESTE SAN ANDRÉS	2011 2013	75	64.9	61.7	59.7	67.5	63.4
SANTA CRUZ TENERIFE - CRUZ SENOR	2011 2013	136	65.3	62.5	61.7	67.0	64.1
EL ROSARIO - LOS BALDÍOS	2009 2013	655	78.4	77.1	72.4	80.1	77.0
LA LAGUNA - ANAGA - LLANO LOS LOROS	2009 2013	867	81.8	82.5	70.8	85.3	80.1

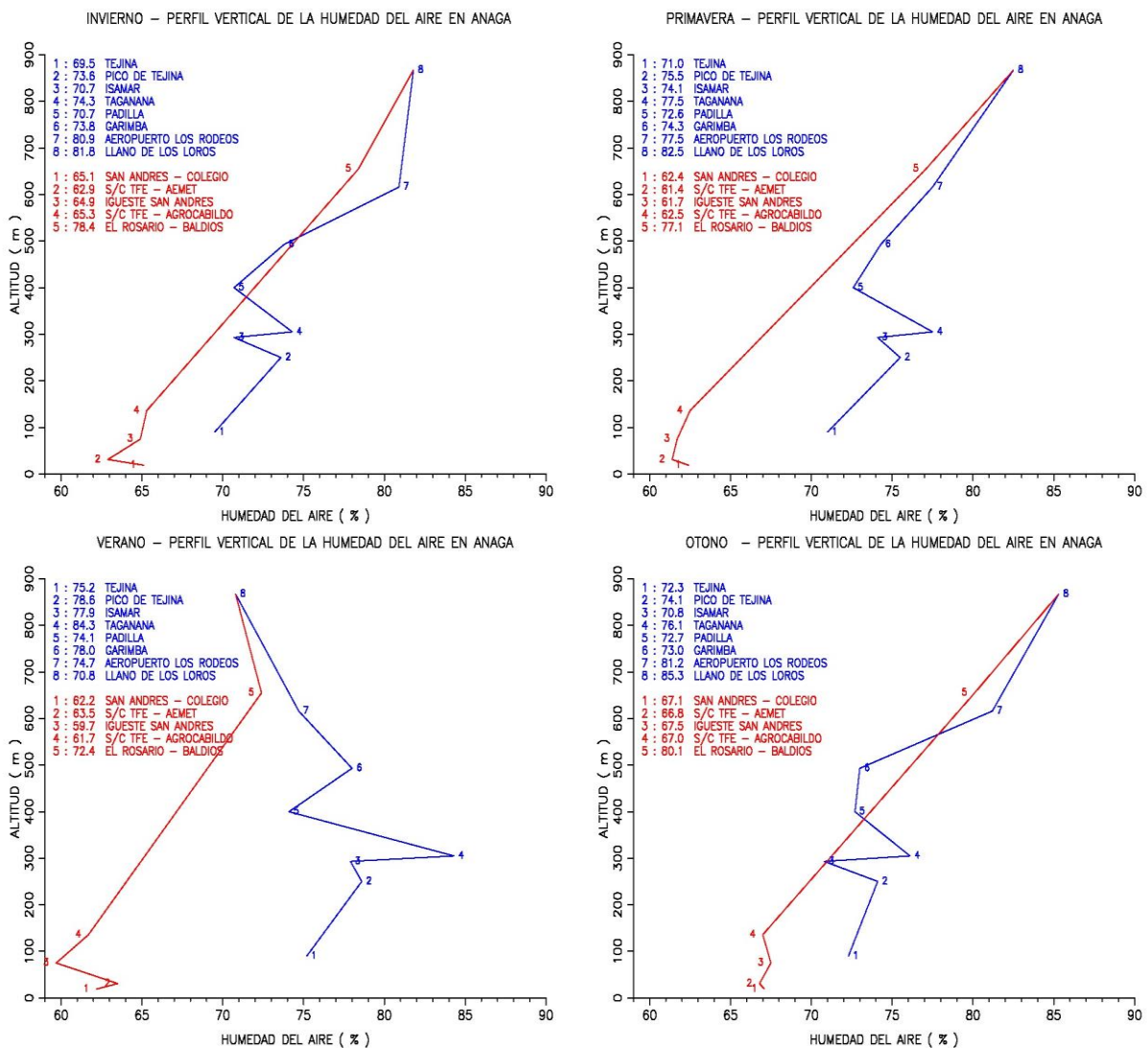
PERFIL VERTICAL DE LA HUMEDAD DEL AIRE EN ANAGA



Perfiles higrométricos medios anual a barlovento / sotavento en Anaga

Un **perfil altitudinal higrométrico anual** es la representación gráfica de la humedad relativa del aire media anual, eje X, frente a la altitud de la estación meteorológica, eje Y. Las estaciones corresponden a transectos en Anaga. Las gráficas indican las humedades relativas del aire medias anuales en La costa y **medianías** opuestas de la comarca de Anaga.

Presentamos las humedades anuales en vertientes opuestas como los valores de las humedades relativas medias anuales recogidas en los puntos de observación de cada vertiente. La humedad del aire anual estimada en costa y medianías de la vertiente a barlovento es 75%, mientras que a sotavento es 66.5%, por tanto, la humedad relativa del aire media anual en costa y medianías en la vertiente a barlovento es superior un 12.8% a la recogida en la vertiente a sotavento, porcentaje que nos indica el contraste en los diferentes pisos de vegetación para altitudes similares. Si comparamos las humedades relativas en el piso basal en ambas orientaciones, es obvio que la zona costera a barlovento es superior en similares altitudes; mientras que la humedad disminuye cuando nos aproximamos a la cumbre. La humedad relativa del aire media anual estimada en la costa a barlovento es 74%, mientras que en la costa a sotavento es 64%; en zonas de cresterías la humedad del aire es próxima al 80%.



Perfiles higrométricos medios estacionales a barlovento / sotavento en Anaga

La humedad **invernal** estimada en la vertiente a barlovento es 73.4%, mientras que a sotavento es 71.3%, por lo tanto, la humedad a barlovento es superior un 9% a la humedad a sotavento; la humedad media estimada en la costa a barlovento es 72%, mientras que en la costa a sotavento es 65%; en zonas de cresterías la humedad del aire es próxima al 82%. La humedad relativa del aire **primaveral** estimada a barlovento es 74.6%, mientras que a sotavento es 65%, por

tanto, la humedad a barlovento es superior un 14.8% a la humedad a sotavento; la humedad media estimada en la costa a barlovento es 73%, mientras que en la costa a sotavento es 62%; en zonas de cresterías la humedad del aire es próxima al 83%. La humedad **estival** estimada a barlovento es 77.5%, mientras que a sotavento es 64%, por tanto, la humedad a barlovento es superior un 21.4% a la humedad a sotavento; la humedad media estimada en la costa a barlovento es 79%, mientras que en la costa a sotavento es 25%; en zonas de cresterías la humedad del aire es próxima al 71%. La humedad **otoñal** estimada a barlovento es 74.3%, mientras que a sotavento es 69.7%, por tanto, la humedad a barlovento es superior un 6.6% a la humedad a sotavento; la humedad media estimada en la costa a barlovento es 73%, mientras que en la costa a sotavento es 67%; en zonas de cresterías la humedad del aire es próxima al 85%. La humedad relativa del aire estimada a barlovento es siempre superior a la humedad estimada en sotavento. En verano, la humedad estimada en la vertiente a barlovento es **notablemente superior** a la estimada en otros periodos estacionales; por lo contrario en la vertiente a sotavento es **moderadamente inferior** a la estimada en otros periodos estacionales. También en verano, el **contaste higrométrico entre ambas vertientes es máximo**, la humedad estimada a barlovento es 21.4% superior a la humedad estimada a sotavento, mientras que los **contrastos son similares en invierno y otoño**, la humedad estimada en invierno y otoño a barlovento son 9% y 6.6%, superiores a las humedades estimadas a sotavento, respectivamente.

La **costa** presenta notables contrastes higrométricos entre ambas vertientes en cualquiera de los periodos estacionales: **“la costa a barlovento es húmeda, lo contrario, la costa a sotavento es semihúmeda”**. La **zona de crestería** presenta notables contrastes higrométricos estacionales: **el invierno, primavera y otoño son notablemente húmedos, mientras que el verano es húmedo**.

13 HORAS MUY HÚMEDAS Y HORAS HIPERHÚMEDAS DEL AIRE MEDIAS TRIMESTRALES Y ANUALES ESTIMADAS

La **hora muy húmeda** o la **hora hiperhúmeda** es el tiempo que permanece cada día la humedad relativa del aire superior o igual a la humedad de referencia al 85% o 95%. Las horas muy húmedas acumuladas media estacional en un lugar concreto es el valor medio de las horas muy húmedas acumuladas en series temporales anuales de humedades minutarias.

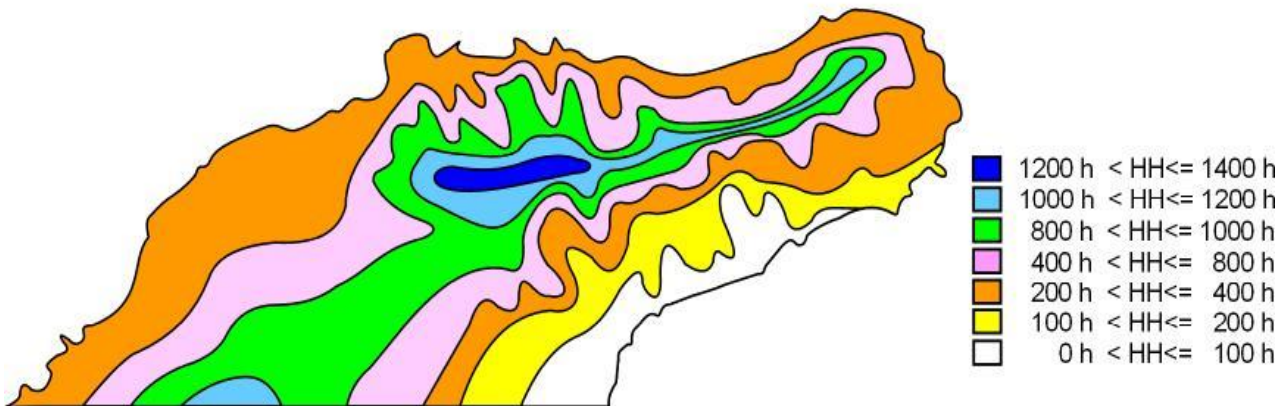
HORAS MEDIAS DIARIAS H => 85% ACUMULADAS TRIMESTRALES Y ANUALES ESTIMADAS

PLUVIÓMETRO	PERIODO OBSERVA	ALT m	INV %	PRI %	VER %	OTO %	ANUAL %
LAGUNA - TEJINA	2004 2013	90	326	294	514	413	1549
LAGUNA - PICO DE TEJINA - ICIA	2010 2013	250	232	275	478	212	1197
LA LAGUNA - VALLE GUERRA - ISAMAR	2006 2013	293	259	329	525	237	1350
SANTA CRUZ TFE - TAGANANA	2011 2013	305	380	632	1159	462	2633
TEGUESTE - LA PADILLA	2004 2013	400	398	460	652	560	2070
LA LAGUNA - GARIMBA - ICIA	2010 2013	493	529	627	816	447	2418
AEROPUERTO LOS RODEOS - TENERIFE NORTE	2009 2013	616	1092	937	993	1101	4123
LA LAGUNA - ANAGA - LLANO LOS LOROS	2009 2013	867	1312	1463	1060	1481	5316
SANTA CRUZ - SAN ANDRÉS - CP ARGENTINA	2009 2013	19	60	18	25	92	195
SANTA CRUZ DE TENERIFE - AUTOMATICA	2011 2013	31	35	50	71	110	267
SANTA CRUZ TFE - IGUESTE SAN ANDRÉS	2011 2013	75	74	50	66	144	333
SANTA CRUZ TENERIFE - CRUZ SENOR	2011 2013	136	57	47	54	107	265
EL ROSARIO - LOS BALDÍOS	2009 2013	655	929	928	908	1050	3814
LA LAGUNA - ANAGA - LLANO LOS LOROS	2009 2013	867	1312	1463	1060	1481	5316

HORAS MEDIAS DIARIAS H=>95% ACUMULADAS TRIMESTRALES y ANUALES ESTIMADAS

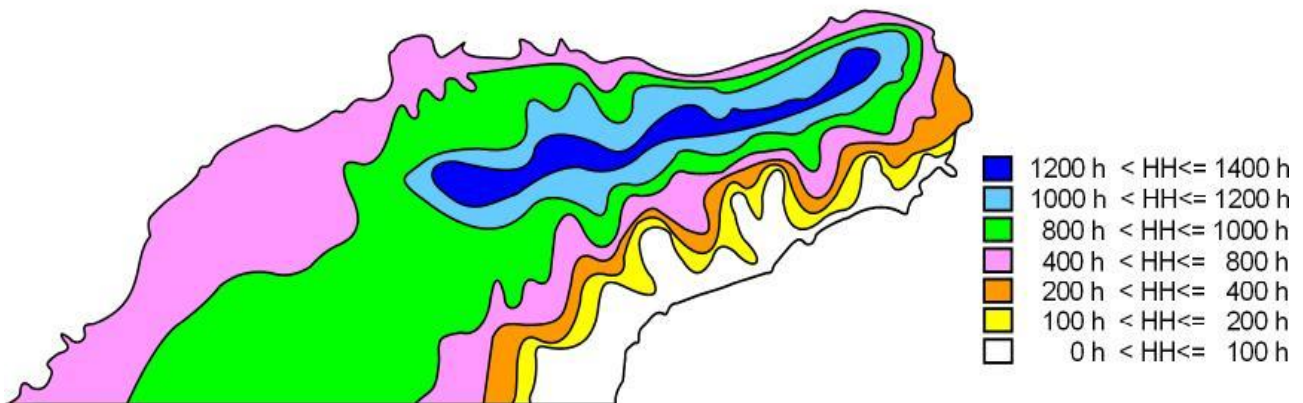
PLUVIÓMETRO	PERIODO OBSERVA	ALT m	INV %	PRI %	VER %	OTO %	ANUAL %
LAGUNA - TEJINA	2004 2013	90	25	24	36	30	115
LAGUNA - PICO DE TEJINA - ICIA	2010 2013	250	5	4	12	2	23
LA LAGUNA - VALLE GUERRA - ISAMAR	2006 2013	293	7	7	10	5	29
SANTA CRUZ TFE - TAGANANA	2011 2013	305	30	117	173	44	364
TEGUESTE - LA PADILLA	2004 2013	400	24	29	52	47	152
LA LAGUNA - GARIMBA - ICIA	2010 2013	493	47	145	168	62	422
AEROPUERTO LOS RODEOS - TENERIFE NORTE	2009 2013	616	372	254	383	351	1360
LA LAGUNA - ANAGA - LLANO LOS LOROS	2009 2013	867	783	983	710	881	3356
SANTA CRUZ - SAN ANDRÉS - CP ARGENTINA	2009 2013	19	0	0	0	0	0
SANTA CRUZ DE TENERIFE - AUTOMATICA	2011 2013	31	0	1	2	7	10
SANTA CRUZ TFE - IGUESTE SAN ANDRÉS	2011 2013	75	0	7	2	15	24
SANTA CRUZ TENERIFE - CRUZ SENOR	2011 2013	136	1	2	1	13	16
EL ROSARIO - LOS BALDÍOS	2009 2013	655	271	210	214	303	999
LA LAGUNA - ANAGA - LLANO LOS LOROS	2009 2013	867	783	983	710	881	3356

HORAS MUY HÚMEDAS (HUMEDAD \geq 85 %) ACUMULADAS MEDIA EN INVIERNO



En invierno, una corta franja costera este a sureste, cotas inferiores a 200 m registra la menor cantidad de horas muy húmedas (menos de 100 h / año) **zona de exigua humedad**; lo contrario, zonas de crestería, Cruz del Carmen, cotas superiores a 800 m registra la mayor cantidad de horas muy húmedas (1200 h / a < MH < 1400 h/a) **zona de abundante humedad** con relevante presencia de lloviznas, neblinas y nieblas. La medianía baja este a sureste, entre 200 m y 300 m registra escasa cantidad de horas muy húmedas (100 h/a < MH < 200 h/a). La medianía baja este a sureste entre 300 m y 450 m, y la franja costera noreste a este, cotas inferiores a 250 m con abundante presencia de maresía, registra poca cantidad de horas muy húmedas (200 h/a < MH < 400 h/a). La medianía este a sureste entre 450 m y 600 m, y la medianía baja noreste a este entre 250 m y 500 m, registra ligera cantidad de horas muy húmedas (400 h/a < MH < 800 h/a). Las medianías altas este a sureste entre 600 m y 800 m, y noreste a este entre 500 m y 800 m, y Llanos de La Laguna registra moderada cantidad de horas muy húmedas (800 h/a < MH < 1200 h/a) zona de notable presencia de lloviznas, precipitación de rocío y neblinas. Las horas muy húmedas registradas en la vertiente a barlovento son moderadamente superiores a las registradas en la vertiente a sotavento en altitudes similares.

HORAS MUY HÚMEDAS (HUMEDAD \geq 85 %) ACUMULADAS MEDIA EN VERANO



En verano, la franja costera este a sureste, cotas inferiores a 250 m registran la menor cantidad de horas muy húmedas, **zona de exigua humedad**; lo contrario, la larga crestería que se extiende desde los Altos de Pedro Álvarez a Cabezo de Tejo, cotas superiores a 700 m registra la mayor cantidad de horas muy húmedas, **zona de abundante humedad** con frecuente presencia de lloviznas, neblinas y nieblas. La medianía baja este a sureste, entre 250 m y 400 m registra escasa cantidad de horas muy húmedas ($100 \text{ h/a} < \text{MH} < 400 \text{ h/a}$). La medianía baja este a sureste entre 400 m y 500 m, y la franja costera noreste a este, cotas inferiores a 150 m con abundante presencia de maresía, registra ligera cantidad de horas muy húmedas. La medianía alta este a sureste entre 500 m y 600 m, la franja costera noreste a este entre 150 m y 300 m, y Llanos de La Laguna registra moderada cantidad de horas muy húmedas ($800 \text{ h/a} < \text{MH} < 1000 \text{ h/a}$). La medianía alta este a sureste entre 600 m y 750 m, y la medianía noreste a este entre 300 m y 700 m, registra destacada cantidad de horas muy húmedas ($1000 \text{ h/a} < \text{MH} < 1200 \text{ h/a}$) zona de frecuente presencia de lloviznas y neblinas. Las horas muy húmedas registradas en la vertiente a barlovento son notablemente superiores a las registradas en la vertiente sotavento en altitudes similares; también, **las horas muy húmedas en verano son notablemente superiores a las registradas en invierno** en un mismo lugar de observación.



En aquellos instantes del día donde la neblina y niebla están presentes y se desplaza con velocidad apreciable sucede el fenómeno meteorológico de precipitación de **neblina o precipitación de niebla**. El contenido acuoso de la atmósfera en forma de gotitas de diversos tamaños es adherido sobre cualquier obstáculo que presente resistencia a causa del desplazamiento. Procesos de adherencia por tensión superficial e incluso por fenómenos de atracción electrostática, las gotitas “bañan” al obstáculo, las gotitas se desarrollan, aumenta su diámetro, por tanto su masa y por acción gravitatoria caen al suelo. La fotografía muestra el charco de agua formado debajo de la fronda de un arbusto a causa del desplazamiento de la neblina matutina a través de sus acículas. Foto: Joaquín Navarro Hevia

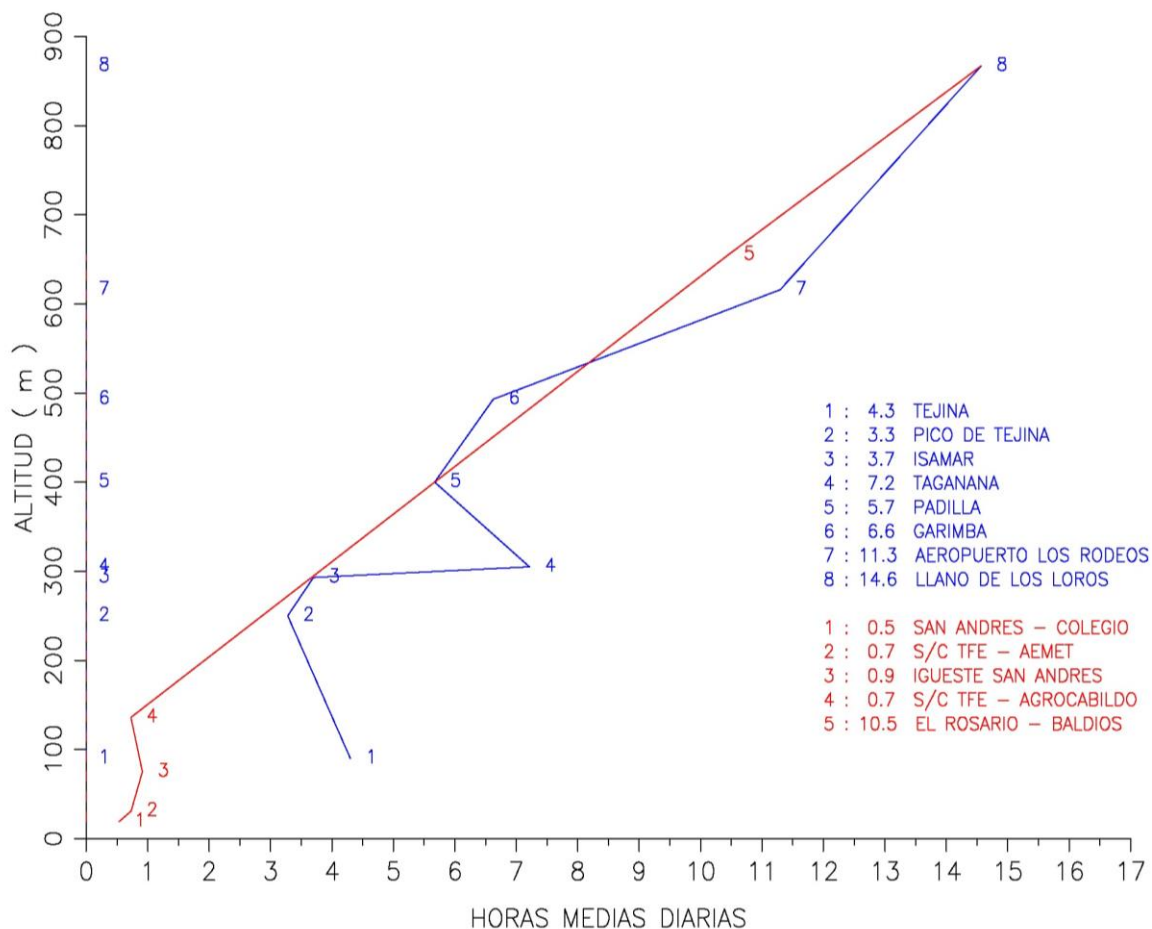


Maresía en la escarpada costa de Benijos y Taganana

El régimen de vientos moderados a fuertes persistentes durante el año en la costa noreste a este transportan aire cargado de humedad marina, hacia el interior de barrancos o escarpadas laderas en contacto con el mar, cantidades de agua líquida en forma de pequeñas gotitas se depositan en forma de **rocío salobre: la maresía**, fenómeno meteorológico que se puede ver nítidamente en las primeras horas de la mañana como una neblina ligera en la orilla del mar, también se puede sentir su olor. La humedad del aire en el interior de la franja costera es muy elevada, en muchas ocasiones, superior al 90%. Foto: Julio Muñoz Padilla

HORAS MUY HÚMEDAS Y HORAS HIPERHÚMEDAS DEL AIRE MEDIAS

PERFIL VERTICAL DE HORAS DE HUMEDAD SUPERIOR A 85 % EN ANAGA

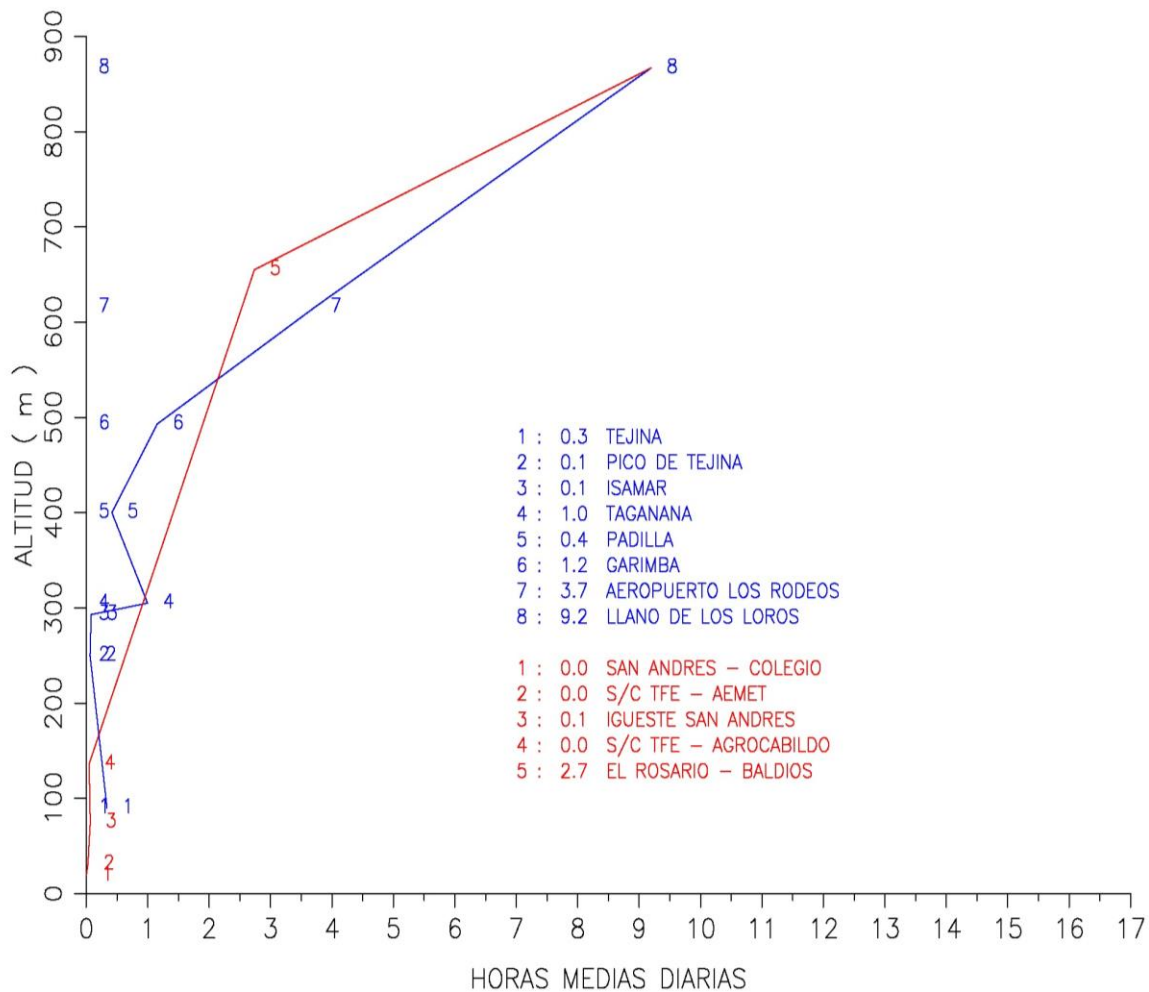


Presentamos las **horas muy húmedas** media acumulada anual en costa y medianías opuestas como el número de horas donde la humedad relativa del aire es superior a la humedad **de referencia 85%** recogidas en los puntos de observación de cada vertiente.

Las horas muy húmedas media anual estimada en la vertiente a barlovento es 6 hora/día mientras que a sotavento es 2.67 horas/día, por tanto, el número de horas muy húmedas en la vertiente a barlovento es superior un 125% a las observadas en la vertiente a sotavento, porcentaje que nos indica el contraste de los diferentes pisos de vegetación en altitudes similares. En costa y medianía, el número de horas muy húmedas acumuladas anual estimada en la vertiente a barlovento es 2190 horas/año, mientras que a sotavento es 975.5 horas/año; mientras en zonas de crestería, las horas muy húmedas son próximas a 5300 horas/año.

La cantidad de horas muy húmedas están estrechamente relacionadas con las irrupciones de aire marino, vientos húmedos que alcanzan la costa con velocidades débiles a moderadas y soplan frecuentemente en el **sector noroeste a noreste**. El aire húmedo asciende por las laderas de orientación norte, en la cumbre el contenido acuoso en el aire es máximo la mayor parte de los días del año, las gotitas de agua en su desplazamiento a través de los obstáculos se adhieren o precipitan hacia el suelo, posteriormente, en las laderas opuestas, el aire pierde progresivamente su contenido acuoso hasta llegar a puntos cercanos a la costa.

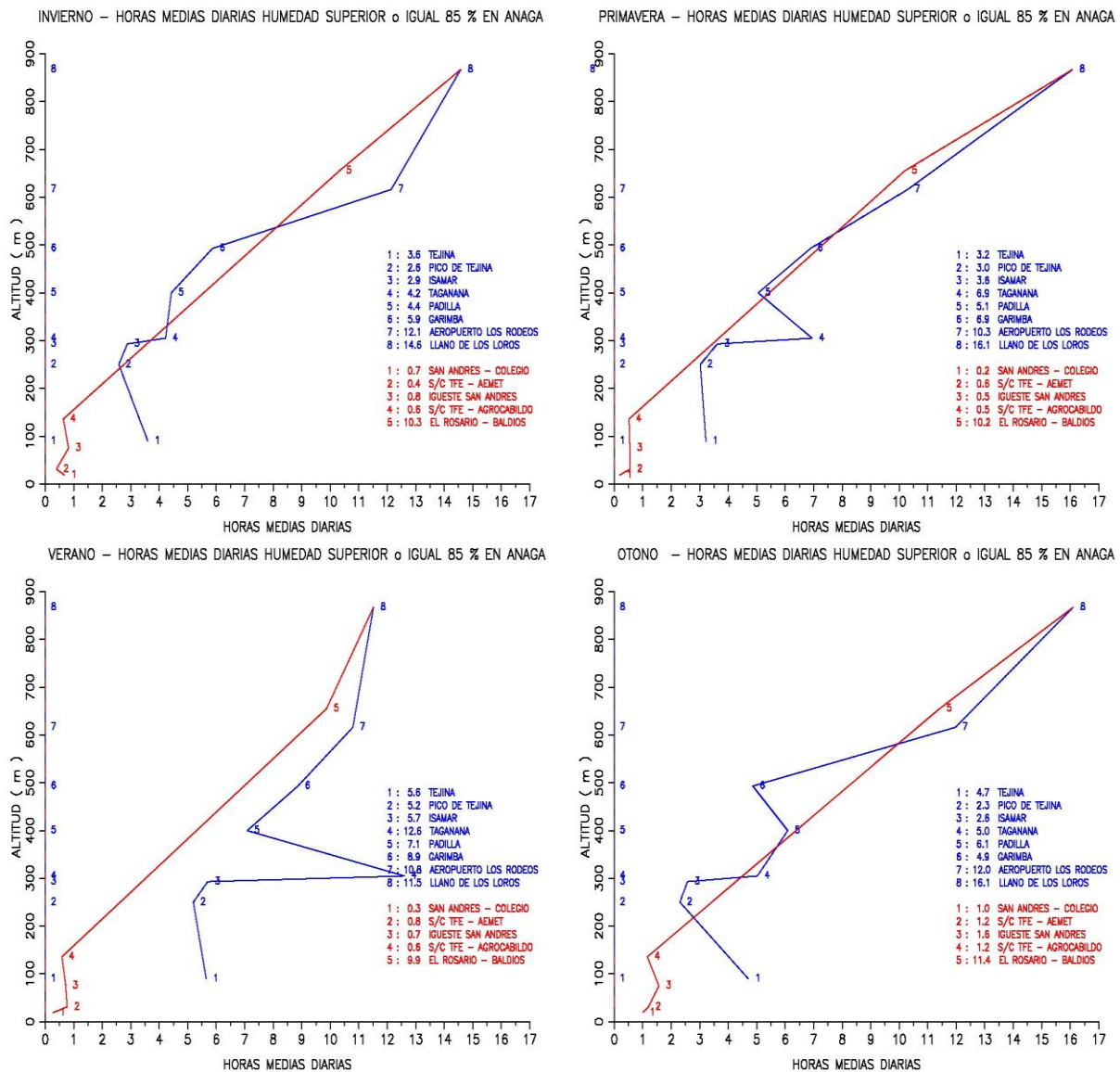
PERFIL VERTICAL DE HORAS DE HUMEDAD SUPERIOR A 95 % EN ANAGA



Presentamos las **horas hiperhúmedas** media diaria en costa y medianías opuestas como el número de horas donde la humedad relativa del aire es superior a la humedad de **referencia 95%**, recogidas en los puntos de observaciones de cada vertiente

Las horas hiperhúmedas media anual estimada en la vertiente a barlovento es 0.97 horas/día mientras que a sotavento es 0.57 horas/día, por tanto, el número de horas hiperhúmedas en la vertiente a barlovento es superior un 68% a las observadas en la vertiente a sotavento, valores que nos indica la irrelevancia de las horas hiperhúmedas en los diferentes pisos de vegetación. En costa y medianía, el número de horas hiperhúmedas acumuladas anual estimada en la vertiente a barlovento es 353 horas/año, mientras que a sotavento es 210 horas/año; mientras en zonas de crestería, las horas muy húmedas son próximas a 3360 horas/año.

La cantidad de horas hiperhúmedas están estrechamente relacionadas con las irrupciones de aire marino. Los vientos húmedos tienen gran importancia hidrológica en la cumbre, su contenido acuoso en el aire es máximo, **formación de nieblas y neblinas**. Las gotitas de agua precipitan hacia suelo principalmente en el periodo nocturno en los instantes anteriores al amanecer, **precipitación de rocío** o en su desplazamiento se adhieren a los obstáculos o al suelo en cualquier momento del día, **precipitación de niebla**.

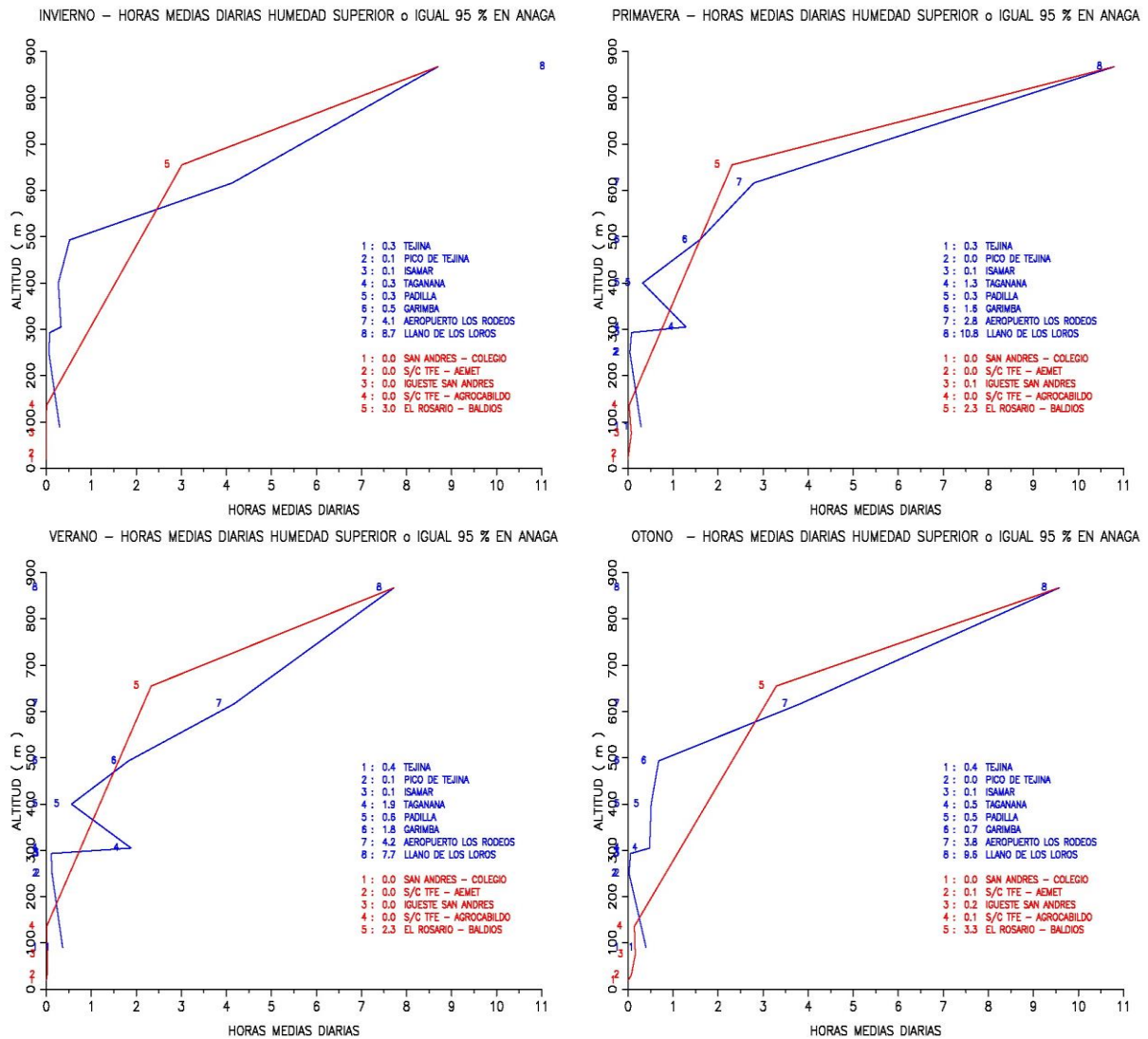


Perfiles de horas muy húmedas medias estacionales a barlovento / sotavento en Anaga

Presentamos el análisis de los transecto de horas muy húmedas estacionales en **costa** y **medianía**, lugares donde se aprecian las diferencias de la humedad atmosférica en ambas vertientes. Las horas **muy húmedas invernal** media estimada en la vertiente a barlovento son 5.1 horas, mientras que a sotavento son 2.57 horas, por lo tanto, las horas muy húmedas a barlovento son aproximadamente un 98% superiores a las de sotavento; las horas muy húmedas en las cresterías son próximas a 14.6 horas/día (1312 h/trim), y en las costas son 3.09 h/día (278 h/trim) y 0.63 h/día (57 h/trim). Las horas **muy húmedas primaveral** media estimada a barlovento son 5.48 horas, mientras que a sotavento son 2.4 horas, por tanto, las horas muy húmedas a barlovento son aproximadamente un 132% superiores a las de sotavento; las horas muy húmedas en las cresterías son próximas a 16.1 horas/día (1465 h/trim), y en las costas son 3.12 h/día (285 h/trim) y 0.45 h/día (41 h/trim). Las horas **muy húmedas estival** media estimada a barlovento son 7.98 horas, mientras que a sotavento son 2.44 horas, por tanto, las horas muy húmedas a barlovento aproximadamente un 227% superiores a las de sotavento; las horas muy húmedas en las cresterías son próximas a 11.5

horas/día (1060 h/tr), y en las costas son 5.48 h/día (500 h/trim) y 0.50 h/día (54 h/trim). Las horas **muy húmedas otoñal** media estimada a barlovento son 3.5 horas, mientras que a sotavento son 1.23 horas, por tanto, las horas muy húmedas a barlovento son aproximadamente un 64% superiores a las de sotavento; las horas muy húmedas en las cresterías son próximas a 16.1 horas/día (1480 h/trim), y en las costas son 3.5 h/día (325 h/trim) y 1.23 h/día (113 h/trim). Las horas muy húmedas en costa y medianías a barlovento son **moderadamente superiores** a las horas muy húmedas a sotavento. La costa a sotavento, cotas inferiores a 250 m registra horas muy húmedas **notablemente inferiores** a las medidas en la costa a barlovento y en zona de crestería son superiores a 1050 horas/trimestre.

En general, en el **piso basal**, cotas inferiores a 600 m, las **horas muy húmedas en verano son superiores a las registradas en invierno** a causa de las irrupciones de aire marino fresco y húmedo; y en **zona de cresterías**, las horas muy húmedas en invierno son superiores a las registradas en verano a causa de la influencia de invasiones aire sahariano en las medianías que impiden el ascenso hacia la cresterías del aire húmedos.



Perfiles de horas hiperhúmedas medias estacionales a barlovento / sotavento en Anaga

Presentamos el análisis de los transectos de horas hiperhúmedas estacionales en **costa** y **medianía**. Las horas **hiperhúmedas invernal** acumuladas media estimada en la vertiente a barlovento son 73 horas/trimestre, mientras que a sotavento son 54 horas/trimestre, por lo tanto, **las horas hiperhúmedas son escasas**, y en la vertiente a barlovento son ligeramente superiores a las registradas en la vertiente a sotavento, inferiores a 75 horas/trim; las horas hiperhúmedas en las cresterías son próximas a 780 h/trim, y en la costa a barlovento son 16 h/trim. Las horas **hiperhúmedas primaveral** acumuladas media estimada en la vertiente a barlovento son 83 horas/trimestre, mientras que a sotavento son 44 horas/trimestre, por lo tanto, **las horas hiperhúmedas son escasas**, y en la vertiente a barlovento son ligeramente superiores a las registradas en la vertiente a sotavento, inferiores a 85 horas/trim; las horas hiperhúmedas en las cresterías son próximas a 980 horas/trim, y en la costa a barlovento son 15 horas/trim. Las horas **hiperhúmedas estival** acumuladas media estimada en la vertiente a barlovento son 119 horas/trimestre, mientras que a sotavento son 44 horas/trimestre, por lo tanto, **las horas hiperhúmedas son escasas**, y en la vertiente a barlovento son ligeramente superiores a las registradas en la vertiente a sotavento, inferiores a 125 horas/trim; las horas hiperhúmedas en las cresterías son

próximas a 710 horas/trim, y en la costa a barlovento son 23 horas/trim. Las horas **hiperhúmedas otoñal** acumuladas media estimada en la vertiente a barlovento son 78 horas/trimestre, mientras que a sotavento son 67 horas/trimestre, por lo tanto, las horas hiperhúmedas son escasas, y en la vertiente a barlovento son ligeramente superiores a las registradas en la vertiente a sotavento, inferiores a 80 horas/trim; las horas hiperhúmedas en las cresterías son próximas a 880 horas/trim, y en la costa a barlovento son 19 horas/trim.

Las **horas hiperhúmedas** en costa y medianías a barlovento son **escasas** y superiores a las horas hiperhúmedas a sotavento. La **costa a sotavento registra horas hiperhúmedas irrelevantes** y en zona de crestería donde es frecuente la presencia de nubes orográficas son superiores a 700 horas/trimestre.

El efecto **Föhn** es producido por vientos cálidos y húmedos que soplan frecuentemente en el sector noroeste a noreste, ascienden por las laderas y produce en el relieve más elevado una capa de estratocúmulos que en muchas ocasiones van acompañadas de lloviznas: vertiente cubierta de nubes. Posteriormente, el aire desciende perdiendo su contenido acuoso sobre la vertiente opuesta, vertiente soleada. El viento es más cálido y semiseco cuando alcanza las cotas inferiores.



Nubes orográficas en las cresterías de Anaga. Precipitación de niebla

Las nubes se trasladan a través de las cumbres de Anaga. No todas las cresterías están afectadas por desplazamiento de la masa nubosa, sólo aquellas que están expuesta a los vientos húmedos que soplan en el sector noroeste a noreste donde la masa nubosa “descarga” su contenido acuoso, cresterías a barlovento, lo contrario, en las cumbres opuestas disminuye notablemente la concentración acuosa, cresterías a sotavento, permanecen soleada y libres de este fenómeno hidrológico. Las nubes en su desplazamiento a través de los obstáculos depositan sus “gotitas” en las ramas, rocas que encuentra a su paso, ahí se forma la **precipitación de niebla**, agua que llega al suelo y no es contabilizada por los métodos de medidas tradicionales, observaciones en pluviómetros. En el interior del bosque tiene lugar la **precipitación de rocío**, importante cantidad agua que llega. Foto: Francisco Castellano González

14 HORAS SEMISECAS Y HORAS SECAS DEL AIRE MEDIAS

La **hora seca** o la **hora semiseca** es el tiempo que permanece cada día la humedad relativa del aire inferior o igual a la humedad de referencia 40% o 55%. Las horas secas y horas semisecas acumuladas media estacional en un lugar concreto es el valor medio de las horas semisecas acumuladas estacional en las series temporales de humedades minutarias. Las invasiones de aire sahariano frecuentes en las islas Canarias en cualquier época de año van acompañas de episodios de calima, temperaturas superiores a valores habituales y descensos notables de la humedad del aire.

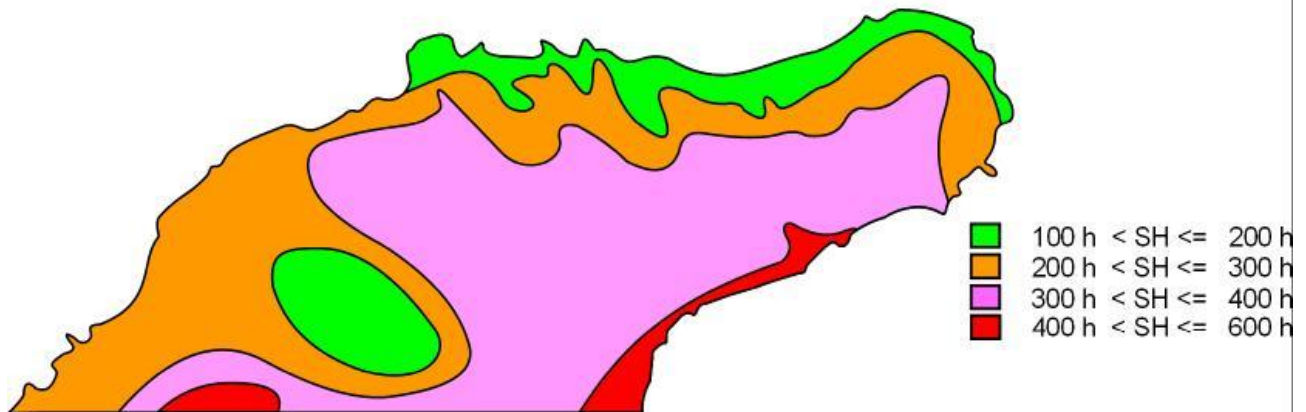
HORAS MEDIAS DIARIAS $H \leq 40\%$ ACUMULADAS TRIMESTRALES y ANUALES ESTIMADAS

PLUVIÓMETRO	PERIODO OBSERVA	ALT m	INV %	PRI %	VER %	OTO %	ANUAL %
LAGUNA - TEJINA	2004 2013	90	54	12	3	29	98
LAGUNA - PICO DE TEJINA - ICIA	2010 2013	250	70	34	18	60	182
LA LAGUNA - VALLE GUERRA - ISAMAR	2006 2013	293	126	42	21	101	289
SANTA CRUZ TFE - TAGANANA	2011 2013	305	90	66	7	60	224
TEGUESTE - LA PADILLA	2004 2013	400	110	46	42	66	263
LA LAGUNA - GARIMBA - ICIA	2010 2013	493	96	88	56	94	334
AEROPUERTO LOS RODEOS - TENERIFE NORTE	2009 2013	616	86	141	270	86	583
LA LAGUNA - ANAGA - LLANO LOS LOROS	2009 2013	867	151	228	505	85	969
SANTA CRUZ - SAN ANDRÉS - CP ARGENTINA	2009 2013	19	28	71	167	30	296
SANTA CRUZ DE TENERIFE - AUTOMATICA	2011 2013	31	21	49	75	23	168
SANTA CRUZ TFE - IGUESTE SAN ANDRÉS	2011 2013	75	71	176	328	71	646
SANTA CRUZ TENERIFE - CRUZ SENOR	2011 2013	136	50	120	200	51	421
EL ROSARIO - LOS BALDÍOS	2009 2013	655	90	138	286	59	573
LA LAGUNA - ANAGA - LLANO LOS LOROS	2009 2013	867	151	228	505	85	969

HORAS MEDIAS DIARIAS $H \leq 55\%$ ACUMULADAS TRIMESTRALES y ANUALES ESTIMADAS

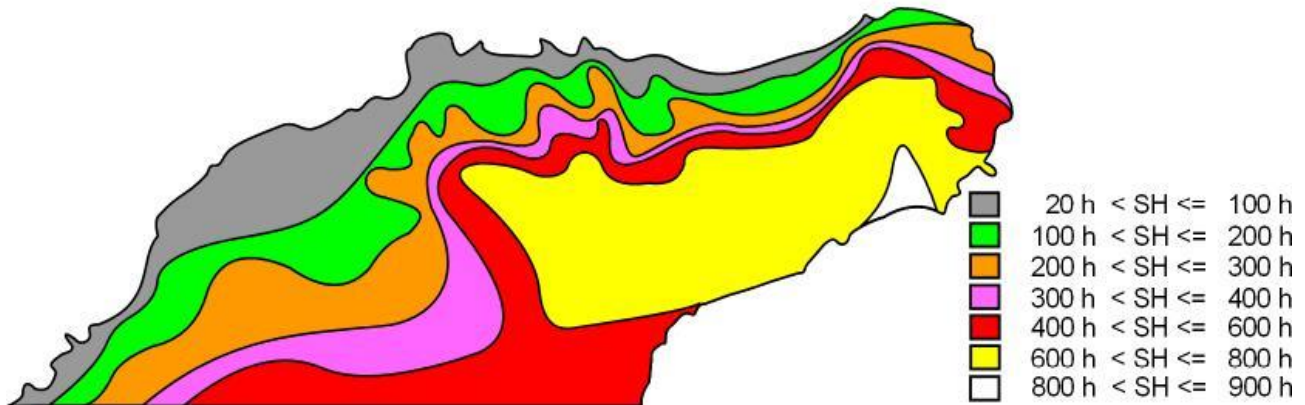
PLUVIÓMETRO	PERIODO OBSERVA	ALT m	INV %	PRI %	VER %	OTO %	ANUAL %
LAGUNA - TEJINA	2004 2013	90	290	149	71	197	707
LAGUNA - PICO DE TEJINA - ICIA	2010 2013	250	170	107	46	163	487
LA LAGUNA - VALLE GUERRA - ISAMAR	2006 2013	293	225	84	44	202	554
SANTA CRUZ TFE - TAGANANA	2011 2013	305	165	114	28	121	428
TEGUESTE - LA PADILLA	2004 2013	400	294	202	225	285	1006
LA LAGUNA - GARIMBA - ICIA	2010 2013	493	190	191	104	230	715
AEROPUERTO LOS RODEOS - TENERIFE NORTE	2009 2013	616	165	203	359	141	868
LA LAGUNA - ANAGA - LLANO LOS LOROS	2009 2013	867	298	334	690	181	1503
SANTA CRUZ - SAN ANDRÉS - CP ARGENTINA	2009 2013	19	330	437	471	245	1483
SANTA CRUZ DE TENERIFE - AUTOMATICA	2011 2013	31	437	534	476	256	1703
SANTA CRUZ TFE - IGUESTE SAN ANDRÉS	2011 2013	75	388	563	727	281	1959
SANTA CRUZ TENERIFE - CRUZ SENOR	2011 2013	136	317	486	572	272	1646
EL ROSARIO - LOS BALDÍOS	2009 2013	655	215	252	464	168	1099
LA LAGUNA - ANAGA - LLANO LOS LOROS	2009 2013	867	298	334	690	181	1503

HORAS SEMISECAS Y SECAS (20% ≤ HUM < 55%) ACUMULADAS MEDIAS EN INVIERNO



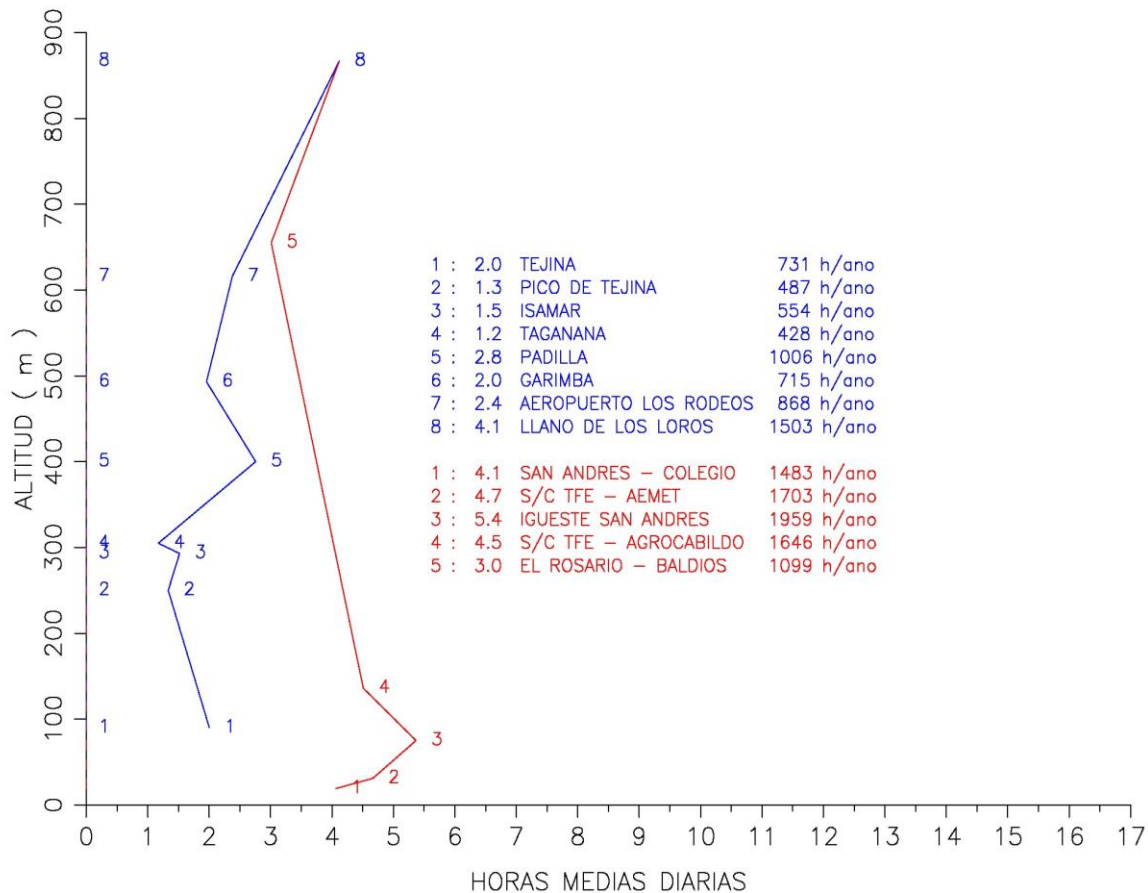
En invierno, una corta y estrecha franja costera este a sureste, cotas inferiores a 75 m registran la mayor cantidad de horas secas y semisecas (400 h/a < SS < 600 h/a) **zona de moderada sequedad atmosférica**; lo contrario, la franja costera noreste a este, cotas inferiores a 250 m y un sector de Los Llanos de La Laguna expuesto frecuentemente a vientos frescos y húmedos de componente norte, cotas próximas a los 600 m registra la menor cantidad de horas secas y semisecas (100 h /a < SS < 200 h/a) **zona de escasa sequedad atmosférica**. Una corta franja costera en el extremo sureste, medianías este a sureste, medianía alta noreste a este y la extensa crestería registra ligera cantidad de horas secas y semisecas (300 h/a < SS < 400 h/a). Una corta franja costera en el extremo este sureste y medianía noreste a este entre 250 m y 600 m registra ligera cantidad de horas secas y semisecas (200 h/a < SS < 300 h/a). Las horas secas y semisecas registradas en la vertiente a barlovento son moderadamente inferiores a las registradas en la vertiente sotavento en altitudes similares.

HORAS SEMISECAS Y SECAS (20% <= HUM < 55%) ACUMULADAS MEDIAS EN VERANO



En verano, una corta franja costera sureste, cotas inferiores a 200 m registran la mayor cantidad de horas secas y semisecas (800 h/a < SS < 1000 h/a) **zona de destacada sequedad atmosférica**; lo contrario, una estrecha franja costera noreste a este, cotas inferiores a 150 m expuesta muy frecuentemente a vientos frescos y húmedos de componente norte registra la menor cantidad de horas secas y semisecas (20 h /a < SS < 100 h/a) **zona de muy escasa sequedad atmosférica**. Varios sectores costeros sureste y extremo este sureste, franja de medianía este a sureste, cotas inferiores a 650 m registra notable cantidad de horas secas y semisecas (600 h/a < SS < 800 h/a). Varios sectores costeros sureste y extremo sureste a este sureste, medianía alta este a sureste, cotas superiores a 650 m, medianía alta noreste a este, cotas superiores a 450 m y zonas de crestería, registra moderada cantidad de horas secas y semisecas (400 h/a < SS < 600 h/a). Una estrecha franja costera este, medianía alta noreste entre 500 m y 650 m, medianía este entre cotas 250 m a 650 m y Los Llanos de La Laguna registran ligeras cantidades de horas secas y semisecas (200 h/a < SS < 400 h/a). Una corta franja costera este noreste y la medianía baja noreste a este noreste registran escasas cantidades de horas secas y semisecas (100 h/a < SS < 200 h/a). Las horas secas y semisecas registradas en la vertiente a barlovento son notablemente inferiores a las registradas en la vertiente sotavento en altitudes similares.

PERFIL VERTICAL DE HORAS DE HUMEDAD INFERIOR A 55 % EN ANAGA

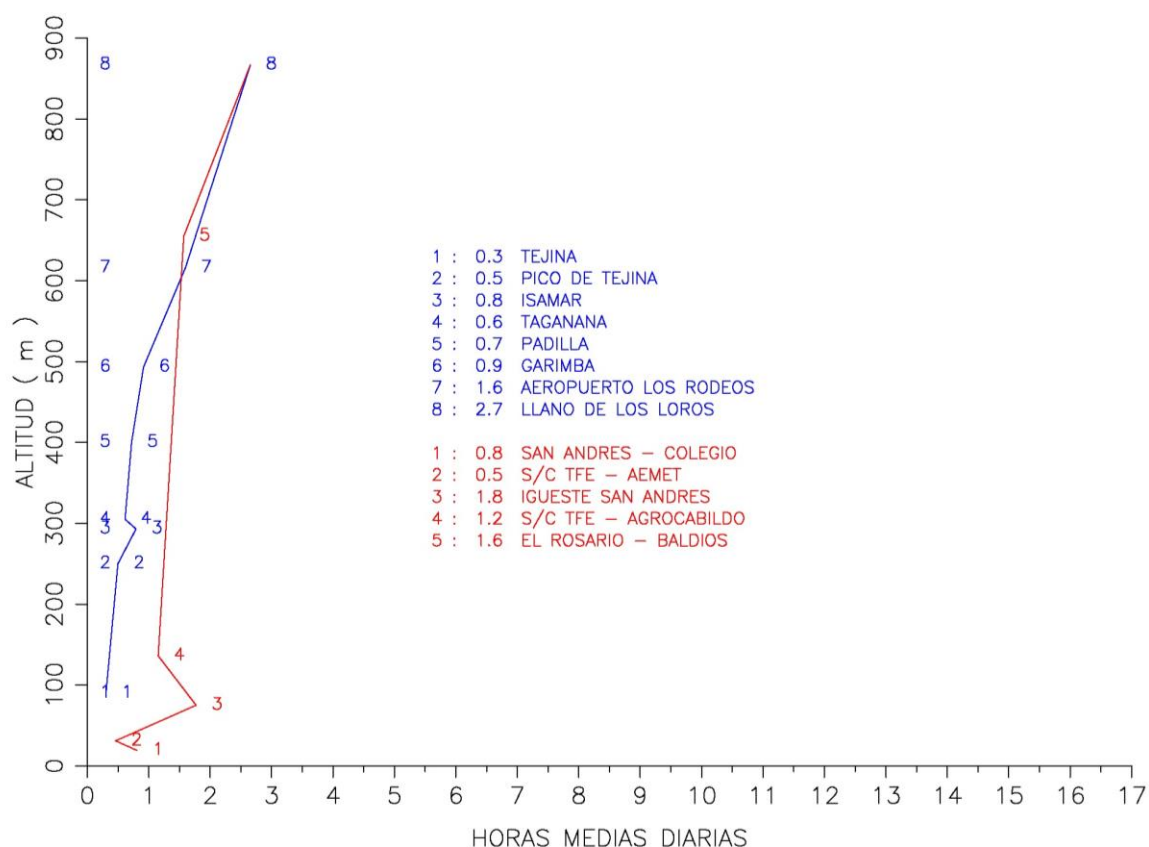


Presentamos las **horas semisecas** media acumulada anual en costa y medianías opuestas como el número de horas donde la humedad relativa del aire es inferior a la **humedad de referencia 55%** recogidas en los puntos de observación de cada vertiente.

Las horas semisecas media anual estimada en la vertiente a barlovento es 1.87 hora/día mientras que a sotavento es 4.32 horas/día, por tanto, el número de horas semisecas en la vertiente a sotavento es superior un 57% a las observadas en la vertiente a barlovento, porcentaje que nos indica el contraste de los diferentes pisos de vegetación en altitudes similares. En costa y medianía, el número de horas semisecas acumuladas anual estimada en la vertiente a barlovento es 684 horas/año y en la vertiente a sotavento es 1578 horas/año; mientras en zonas de crestería, las horas semisecas son próximas a 1500 horas/año. Es notable las horas semisecas medias registradas en Igueste de San Andrés, 1960 horas/año, lugar de observación encajado entre las laderas áridas de un valle cerrado.

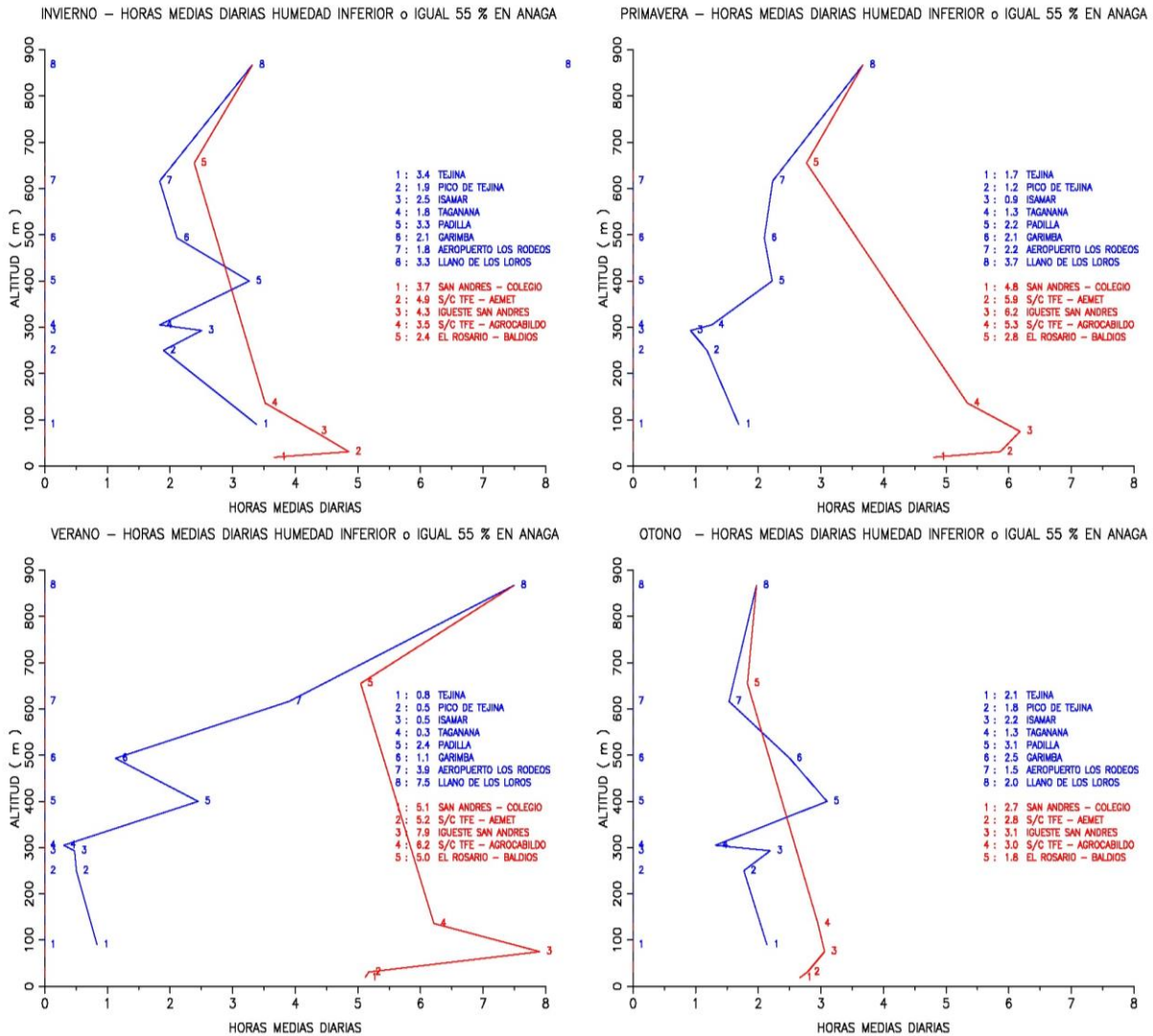
La cantidad de horas semisecas están estrechamente relacionadas por el **efecto Föhn**, el aire húmedo asciende por las laderas de orientación norte, en la cumbre el contenido acuoso en el aire es máximo la mayor parte de los días del año, posteriormente, en las laderas opuestas, el aire desciende y pierde progresivamente su contenido acuoso hasta llegar a puntos cercanos a la costa; también, las **invasiones de aire sahariano**, vientos procedentes del sector este a sur, cuyos efectos se hacen sentir con mayor intensidad en las laderas del macizo opuestas a las mismas direcciones.

PERFIL VERTICAL DE HORAS DE HUMEDAD INFERIOR A 40 % EN ANAGA



Presentamos las **horas secas** media acumulada anual en costa y medianías opuestas como el número de horas donde la humedad relativa del aire es inferior a la **humedad de referencia 40%** recogidas en los puntos de observación de cada vertiente.

Las horas secas media anual estimada en la vertiente a barlovento es 0.78 horas/día mientras que a sotavento es 1.15 horas/día, por tanto, el número de horas secas en la vertiente a sotavento es superior un 33% a las observadas en la vertiente a barlovento, porcentaje similares En costa y medianía, el número de horas secas acumuladas anual estimada en la vertiente a barlovento es 283 horas/año, mientras que a sotavento es 421 horas/año; mientras en zonas de crestería, las horas secas son próximas a 970 horas/año. Son notables las horas secas registradas en Igueste de San Andrés, 650 horas/año; las horas secas registradas en la cumbre son superiores a las registradas en lugares cercanos a la costa debido a la influencia de las invasiones de aire sahariano, vientos secos que se desplazan por encima de la superficie de mar; este fenómeno meteorológico es típico los días con fuerte inversión térmica donde se puede mostrar gráficamente por medio de los sondeos atmosféricos realizados en un lugar de la costa sureste de Tenerife.

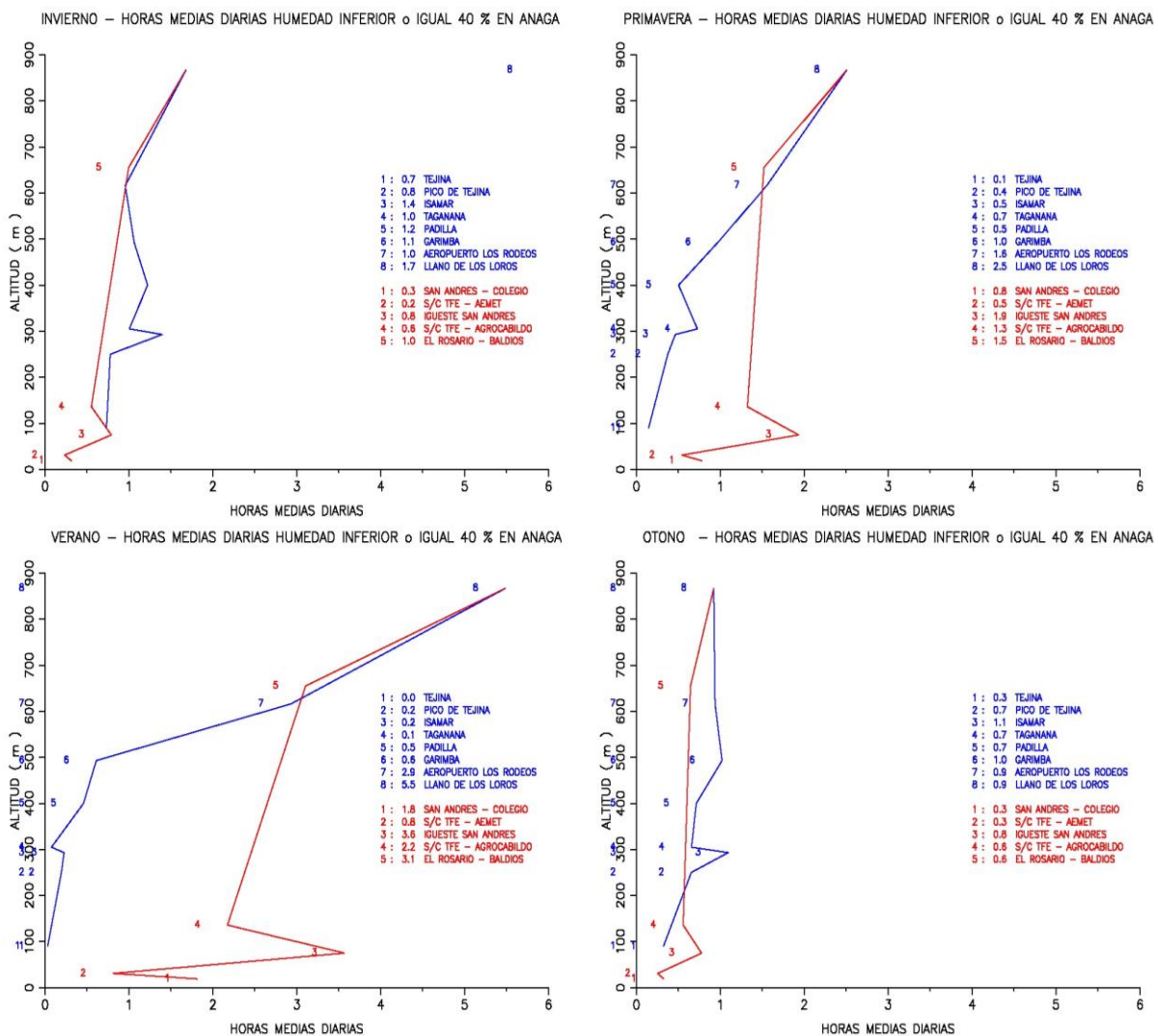


Perfiles de horas semisecas medias estacionales a barlovento y sotavento en Anaga

Presentamos el análisis de los transectos de **horas semisecas** estacionales en **costa y medianía**, lugares donde se aprecian las diferencias de la humedad atmosférica en ambas vertientes. Las horas **semisecas invernal** media estimada en la vertiente a barlovento son 2.4 horas, mientras que a sotavento son 3.75 horas, por lo tanto, las horas semisecas a sotavento son aproximadamente un 36% superiores a las de barlovento; las horas semisecas en las cresterías son próximas a 3.3 horas/día (298 horas/trim), y en las costas son 2.14 h/día (237 horas/trim) y 4.09 h/día (368 horas/trim). Las horas **semiseca primaveral** media estimada a barlovento son 1.66 horas, mientras que a sotavento son 5 horas, por tanto, las horas semisecas a sotavento son aproximadamente un 67% superiores a las de barlovento; las horas semisecas en las cresterías son próximas a 3.67 horas/día (334 horas/trim), y en las costas son 1.43 h/día (130 horas/trim) y 5.355 h/día (505 horas/trim). Las horas **semisecas estival** media estimada a barlovento son 1.37 horas, mientras que a sotavento son 5.89 horas, por tanto, las horas semisecas a sotavento aproximadamente un 77% superiores a las de barlovento; las horas semisecas en las cresterías son próximas a 7.5 horas/día (690 h/tr), y en las costas son 0.67 h/día (60 horas/trim) y 6.1 h/día (560 horas/trim). Las horas **semisecas otoñal** media estimada a barlovento son 2.08 horas, mientras que a sotavento son 2.66 horas, por tanto, las horas semisecas a sotavento son aproximadamente un 22% superiores a las de barlovento; las horas semisecas en las cresterías son próximas a 1.98 horas/día (181 horas/trim), y en las costas son 1.95 h/día (180 horas/trim) y 2.86 h/día (264 horas/trim).

Las horas semisecas en costa y medianías a sotavento son **moderadamente superiores** a las horas semisecas a barlovento en invierno y otoño, lo contrario son **notablemente superiores** en primavera y verano. La costa a sotavento, cotas inferiores a 250 m registra horas semisecas **notablemente superiores** a las registradas en la costa a barlovento y en zona de crestería. Son notables las horas semisecas medias registradas en verano en Igueste de San Andrés, 7,9 h/día.

En general las horas semisecas en **verano son superiores a las registradas en invierno** a causa de las ocasionales invasiones de aire sahariano, viento seco del sector este - sur que se hace sentir notablemente en áreas de montaña. Las costas expuestas hacia el sector este a sur registran horas semisecas superiores a las expuestas hacia otras direcciones.



Perfiles de horas secas medias estacionales a barlovento / sotavento en Anaga

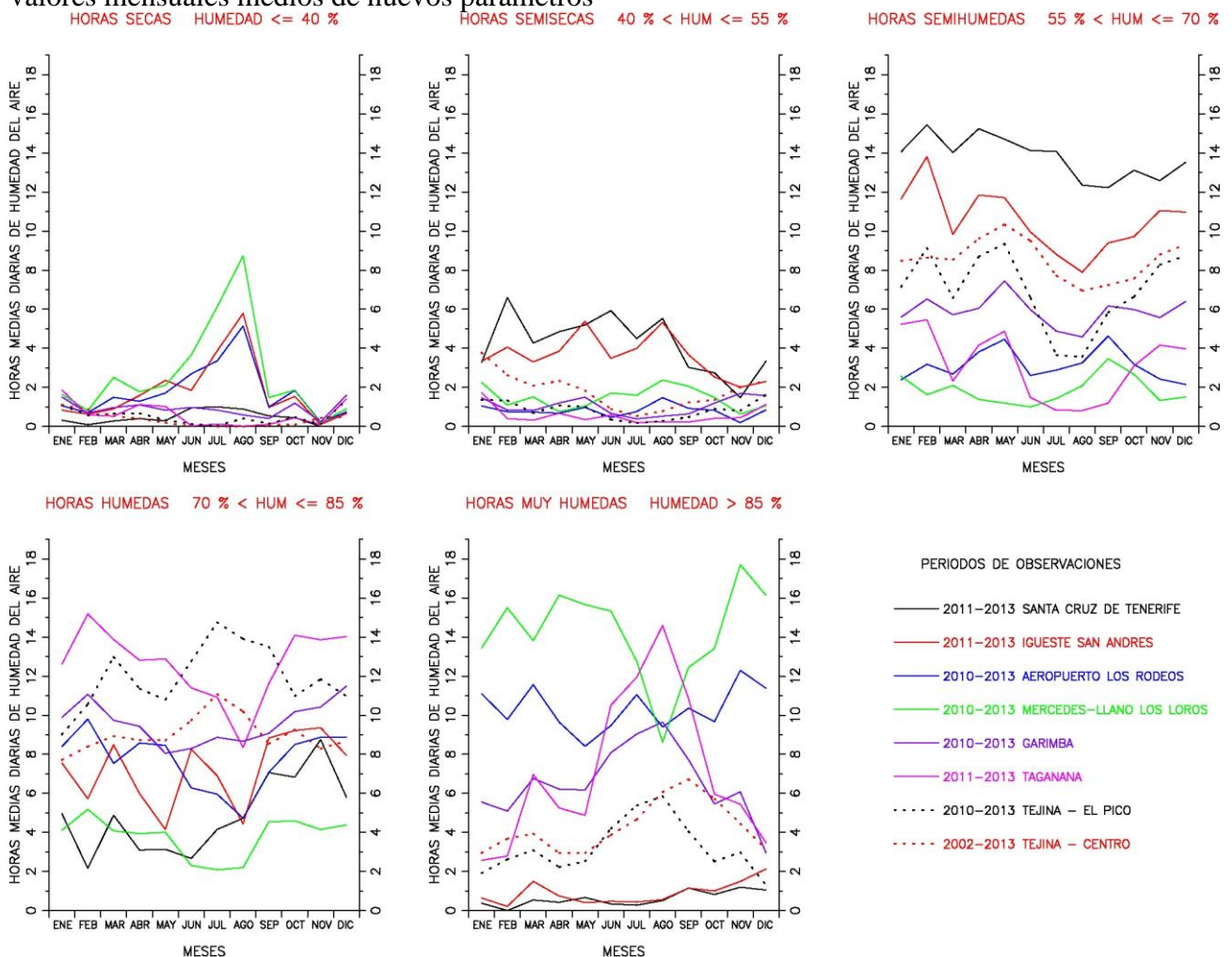
Presentamos el análisis de los transectos de **horas secas** estacionales en **costa y medianía**. Las horas **secas invernal** media estimada en la vertiente a barlovento son 1.02 horas, mientras que a sotavento son 0.58 horas, por lo tanto, las horas secas a sotavento son aproximadamente un 76% inferiores a las de barlovento; las horas secas en las cresterías son próximas a 1.68 horas/día (151 horas/trim), y en las costas son 0.75 horas/día (68 horas/trim) y 0.47 horas/día (43 horas/trim). Las horas **seca primaveral** media estimada a barlovento son 0.68 horas, mientras que a sotavento son

1.22 horas, por tanto, las horas secas a sotavento son aproximadamente un 45% superiores a las de barlovento; las horas secas en las cresterías son próximas a 2.5 horas/día (228 horas/trim), y en las costas son 0.26 h/día (24 horas/trim) y 1.14 horas/día (104 horas/trim). Las horas **secas estival** media estimada a barlovento son 0.65 horas, mientras que a sotavento son 2.29 horas, por tanto, las horas secas a sotavento aproximadamente un 72% superiores a las de barlovento; las horas secas en las cresterías son próximas a 5.5 horas/día (504 horas/trim), y en las costas son 0.11 horas/día (10 horas/trimestre) y 2.09 horas/día (192 horas/trim). Las horas **secas otoñal** media estimada a barlovento son 0.77 horas, mientras que a sotavento son 0.5 horas, por tanto, las horas secas a sotavento son aproximadamente un 54% inferiores a las de barlovento; las horas secas en las cresterías son próximas a 0.92 horas/día (85 horas/trim), y en las costas son 0.49 horas/día (45 horas/trim) y 0.48 horas/día (44 horas/trim).

Las horas secas en costa y medianías a sotavento son **moderadamente inferiores** a las horas secas a barlovento en invierno y otoño, lo contrario son **notablemente superiores** en primavera y verano. La costa a sotavento, cotas inferiores a 250 m, las horas secas son irrelevantes, excepto en verano donde son apreciables, y en zona de crestería son superiores a 80 horas/trimestre. En general las **horas secas son irrelevantes**, excepto en verano donde son apreciables, 211 horas/trimestre debido las invasiones ocasionales de aire sahariano que se hacen sentir en áreas de montaña. Son notables las horas semisecas medias registradas en verano en Igueste de San Andrés, 3.57 horas/día.

15 HORAS DE HUMEDAD PARA DIFERENTES REFERENCIAS HIGROMÉTRICAS

Definidos nuevos conceptos higrométricos relacionados con periodos de tiempo de observación me permite exponer gráficamente nuevos criterios de clasificación climática, en las cuáles trazamos el **número de horas higrométricas**, donde la humedad del aire permanece acotada en un intervalo de humedad previamente seleccionado cada día. El procedimiento novedoso consiste en escrutar las series de observaciones obtenidas en las estaciones meteorológicas modernas, y así mostrar los distintos contrastes climáticos del territorio en función de una escala temporal. Cada lugar de observación tiene una línea quebrada propia que corresponde a la unión de valores mensuales medios de nuevos parámetros



Horas higrométricas medias mensuales presentadas por medio de líneas quebradas

Las gráficas muestran el número de horas higrométricas medias mensuales en todos los intervalos de referencia en las estaciones meteorológicas automáticas instaladas en la región del noreste de Tenerife. He elegido cinco niveles de humedades referencia que definen los pisos higrométricos: inferior o igual al 40 %, **horas secas**; superior al 40 % e inferior o igual al 55 % **horas semisecas**; superior al 55 % e inferior o igual al 70 % **horas semihúmedas**; superior al 70 % e inferior o igual al 85 % **horas húmedas**; y superior al 85 % **horas muy húmedas**. Las horas higrométricas en los intervalos seleccionados obviamente debe sumar 24 horas. La cumbre, costa y medianía a sotavento durante el verano registran las condiciones climáticas más secas, horas secas superiores a 4 horas/día; mientras la medianía a barlovento durante el verano y la cumbre durante el

resto de estaciones registran las condiciones climáticas más húmedas, horas muy húmedas superiores a 11 horas/día. La costa y medianía a barlovento las podemos considerar **zona climática poco seca** durante el año, horas secas inferiores a 1.5 horas/día, por tanto, siguiendo el mismo criterio de clasificación, también es **zona climática húmeda** durante el año, horas húmedas superiores a 9 horas/día. La costa a sotavento la podemos considerar **zona climática semihúmeda** durante el año, horas semihúmedas superiores a 8 horas/día.

	ENE	FEB	MAR	ABR	MAY	JUN	JUL	AGO	SEP	OCT	NOV	DIC
HORAS SECAS HUMEDAD <= 40 %												
SCTE	0.32	0.09	0.28	0.40	0.29	0.95	1.00	0.89	0.54	0.45	0.00	0.31
IGSA	0.83	0.63	0.90	1.58	2.36	1.85	3.86	5.78	0.97	1.54	0.11	0.66
AROD	1.06	0.70	1.49	1.29	1.71	2.69	3.35	5.14	1.00	1.84	0.22	0.74
MLLO	1.64	0.81	2.51	1.78	2.11	3.65	6.12	8.73	1.48	1.85	0.18	0.91
GARI	1.50	0.68	0.96	1.10	0.84	0.98	0.83	0.59	0.40	1.19	0.25	1.60
TAGA	1.86	0.59	0.53	1.11	1.02	0.04	0.11	0.02	0.10	0.44	0.09	1.42
PICO	1.08	0.57	0.66	0.67	0.33	0.12	0.04	0.40	0.14	0.48	0.11	1.36
TEJI	1.10	0.88	0.53	0.40	0.18	0.00	0.01	0.00	0.08	0.09	0.45	0.49
HORAS SEMISECAS 40 % < HUM <= 55 %												
SCTE	3.27	6.60	4.27	4.85	5.20	5.93	4.49	5.53	3.02	2.75	1.47	3.34
IGSA	3.34	4.06	3.30	3.85	5.38	3.49	3.99	5.33	3.67	2.53	2.00	2.30
AROD	1.04	0.75	0.73	0.68	0.97	0.46	0.76	1.47	0.93	0.82	0.20	0.85
MLLO	2.25	1.09	1.51	0.75	1.03	1.71	1.60	2.37	2.06	1.48	0.63	1.06
GARI	1.47	0.84	0.82	1.20	1.50	0.67	0.39	0.52	0.64	1.19	1.69	1.57
TAGA	1.73	0.40	0.32	0.67	0.35	0.58	0.20	0.25	0.23	0.41	0.44	1.12
PICO	1.36	1.33	0.70	1.06	1.01	0.34	0.18	0.28	0.47	0.90	0.81	1.63
TEJI	3.77	2.62	2.08	2.34	1.84	0.89	0.54	0.79	1.23	1.36	2.01	2.35
HORAS SEMIHUMEDAS 55 % < HUM <= 70 %												
SCTE	14.05	15.44	14.02	15.24	14.71	14.12	14.08	12.35	12.22	13.12	12.58	13.52
IGSA	11.64	13.81	9.83	11.84	11.71	9.95	8.80	7.89	9.39	9.71	11.05	10.97
AROD	2.40	3.18	2.68	3.81	4.46	2.61	2.88	3.25	4.63	3.17	2.42	2.15
MLLO	2.57	1.62	2.10	1.38	1.19	1.00	1.43	2.08	3.47	2.67	1.33	1.50
GARI	5.59	6.53	5.72	6.05	7.44	5.98	4.88	4.58	6.17	5.98	5.57	6.40
TAGA	5.23	5.46	2.32	4.16	4.87	1.48	0.83	0.81	1.19	3.10	4.16	3.97
PICO	7.15	9.13	6.57	8.69	9.35	6.58	3.66	3.56	5.83	6.64	8.27	8.75
TEJI	8.47	8.64	8.53	9.60	10.34	9.50	7.72	6.95	7.24	7.56	8.80	9.31
HORAS HUMEDAS 70 % < HUM <= 85 %												
SCTE	4.96	2.16	4.88	3.10	3.13	2.67	4.15	4.72	7.06	6.83	8.75	5.78
IGSA	7.55	5.72	8.48	5.99	4.15	8.25	6.90	4.44	8.83	9.22	9.36	7.94
AROD	8.40	9.80	7.53	8.58	8.46	6.28	5.95	4.73	7.07	8.50	8.87	8.89
MLLO	4.10	5.18	4.08	3.94	4.00	2.31	2.09	2.20	4.54	4.59	4.14	4.39
GARI	9.88	11.07	9.74	9.43	8.04	8.30	8.87	8.67	9.07	10.18	10.42	11.49
TAGA	12.61	15.19	13.87	12.81	12.88	11.40	10.92	8.34	11.63	14.09	13.86	14.03
PICO	9.01	10.56	12.98	11.35	10.79	12.76	14.75	13.91	13.50	10.98	11.84	10.97
TEJI	7.71	8.39	8.93	8.72	8.71	9.73	11.07	10.19	8.54	9.26	8.29	8.69
HORAS MUY HUMEDAS HUMEDAD 70 % < HUM <= 85 %												
SCTE	0.38	0.00	0.54	0.42	0.67	0.34	0.28	0.51	1.15	0.82	1.20	1.05
IGSA	0.64	0.21	1.50	0.74	0.41	0.47	0.44	0.56	1.14	1.00	1.48	2.13
AROD	11.10	9.78	11.56	9.65	8.41	9.47	11.05	9.40	10.36	9.67	12.29	11.37
MLLO	13.43	15.51	13.81	16.14	15.66	15.33	12.76	8.61	12.44	13.41	17.71	16.14
GARI	5.55	5.09	6.76	6.22	6.17	8.08	9.03	9.65	7.72	5.46	6.08	2.94
TAGA	2.57	2.79	6.96	5.25	4.88	10.51	11.94	14.58	10.85	5.96	5.44	3.46
PICO	1.92	2.62	3.09	2.22	2.52	4.19	5.38	5.85	4.05	2.51	2.98	1.28
TEJI	2.95	3.68	3.93	2.93	2.93	3.87	4.67	6.07	6.71	5.72	4.45	3.15

Tabla de horas higrométricas medias mensuales en cinco intervalos diferentes

Estos datos son la base de las gráficas precedentes. Antes de analizar los datos expongo un ejemplo aclaratorio: Tejina (costa) tiene 7.71 horas húmedas en enero, el dato significa que el conjunto de registros durante doce años donde las humedades del aire son superiores al 70 % e inferiores o iguales al 85 % están constituidos por 14341 observaciones. Tejina en enero ha permanecido 172092 minutos en estas condiciones (cada registro corresponde a 12 minutos); el tiempo medio mensual es 14341 minutos/mes, cantidad minutaria media que corresponde a 462.6 minutos/día, por tanto, 7.71 horas/día es la hora húmeda media.

El datalogger de la estación Tejina escruta la atmósfera cada 12 minutos. Además la tabla indica que estación Tejina registra las siguientes horas higrométricas medias diarias en enero: 1.10 horas secas, 3.77 horas semisecas, 8.47 horas semihúmedas, 7.71 horas húmedas y 2.95 horas muy húmedas, por tanto la suma de las cuantías horarias corresponde a 24 horas.

Horas secas

- La franja costera a barlovento las horas higrométricas son escasas, en invierno y otoño son apreciables, y el resto de estaciones son testimoniales
- La franja costera a sotavento las horas son escasas, en invierno y otoño son apreciables, y el resto de estaciones destacan, particularmente en verano.
- La medianía a barlovento las horas son escasas; en verano son testimoniales, y el resto de estaciones son apreciables.
- La medianía a sotavento las horas son escasas; en invierno y otoño son apreciables, y el resto de estaciones destacan, particularmente en verano.
- La cumbre – crestería las horas son significativas; en invierno y otoño destacan, y el resto de estaciones son notables, particularmente en verano.

Horas semisecas

- La franja costera a barlovento las horas higrométricas son apreciables, en invierno y otoño destacan
- La franja costera a sotavento las horas son significativas, en invierno y primavera destacan, y el resto de estaciones son apreciables.
- Las medianías las horas son apreciables; en enero y diciembre destacan.
- La cumbre – crestería las horas son apreciables; en verano destacan.

Horas semihúmedas

- La franja costera a barlovento las horas higrométricas son relevantes, en primavera son importantes
- La franja costera a sotavento las horas son importantes, en verano son notables y el resto de las estaciones son ligeramente superiores.
- La medianía a barlovento las horas son notables; en verano destacan, y el resto de estaciones son ligeramente superiores.
- La medianía a sotavento las horas son significativas; en primavera son notables, y el resto de estaciones destacan.
- La cumbre – crestería las horas son apreciables; en invierno destacan.

Horas húmedas

- La franja costera a barlovento las horas higrométricas son relevantes, en verano son importantes
- La franja costera a sotavento las horas son significativas durante el año.

- Las medianías las horas son importantes; en verano son notables, y el resto de estaciones son ligeramente superiores.
- La cumbre – crestería las horas son significativas; en verano son apreciables, y el resto de estaciones destacan.

Horas muy húmedas

- La franja costera a barlovento las horas higrométricas son significativas, en verano son notables, y el resto de estaciones destacan.
- La franja costera a sotavento las horas son apreciables, en diciembre destacan.
- La medianía a barlovento las horas son notables; en verano y septiembre son importantes.
- La medianía a sotavento las horas son importantes.
- La cumbre – crestería las horas son relevantes; entre agosto y octubre son importantes, y el resto de los meses son muy importantes, particularmente en abril y noviembre.

La justificación a estos contrastes higrométricos la encontramos en los regímenes de vientos alisios, vientos húmedos que soplan dominantes en el sector norte a noreste; vientos saharianos, vientos secos que soplan dominantes en el sector noreste a sur y en el efecto higrométrico sobre el relieve.

CONCLUSIÓN GENERAL

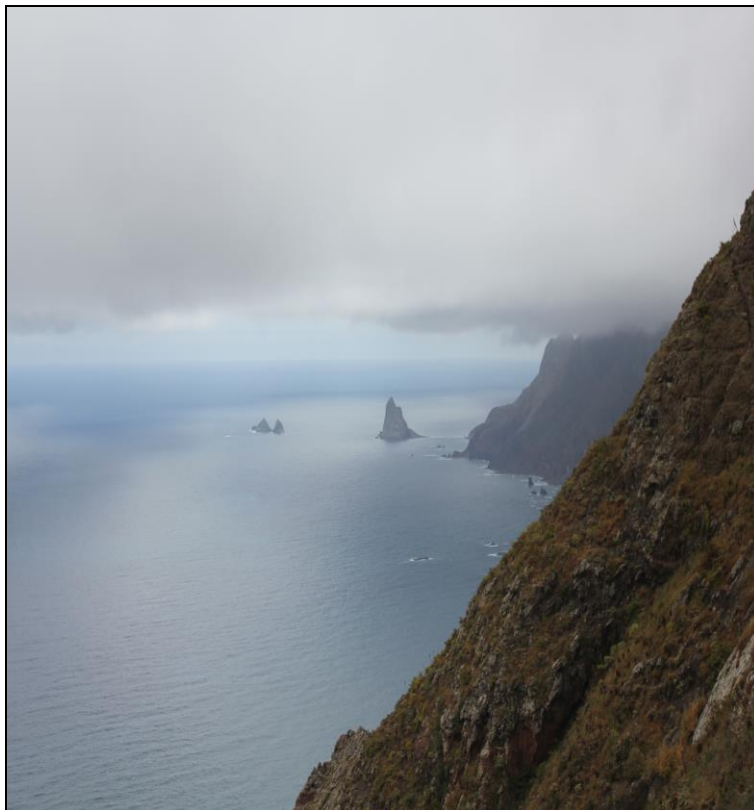
- Las horas secas son escasas, solamente destacan en la cumbre y zona costera a sotavento en verano.
- Las horas semisecas son poco significativas, solamente destacan en zona costera a sotavento.
- Las horas semihúmedas son notables en la costa a sotavento y relevantes en la costa a barlovento; destacan en las medianías y son apreciables en la cumbre.
- Las horas húmedas son notables en costa y medianías a barlovento, relevantes en costa y medianías a sotavento y destacan en la cumbre.
- Las horas muy húmedas son muy importantes en la cumbre, a pesar de su descenso estival; destacan en las medianías, principalmente en la ladera a barlovento en verano; son apreciables en la costa a barlovento y testimoniales en la costa a sotavento.

Abreviaturas: **SCTE** : Santa Cruz de Tenerife (AEMET), 36 m ; **IGSA** : Igueste de San Andrés (Agrocabildo), 75 m; **AROD** : Aeropuerto de Los Rodeos (AEMET), 616 m; **MLLO** : Las Mercedes – Llanos de los Loros (AEMET), 867 m; **GARI** : Garimba (ICIA), 493 m; **TAGA** (Agrocabildo), 305 m; **PICO** : Tejina – El Pico (ICIA), 256 m; **TEJI** : Tejina – Centro urbano (Agrocabildo), 90 m.

La franja costera está constituida por las estaciones: SCTE, IGSA (sotavento), PICO y TEJI (barlovento). Las medianías están constituidas: AROD (sotavento), GARI y TAGA (barlovento). La cumbre está constituida por MLLO (sotavento/barlovento)

16 ANÁLISIS CLIMÁTICO DE DIAS HÚMEDOS

16.1 CAPA HÚMEDA ENTRE LA COSTA Y CUMBRES DE ANAGA



Ambiente húmedo y costa escarpada en la vertiente septentrional del macizo de Anaga

Nubes orográficas estratiformes en las medianías altas.

Fotos: Julio Muñiz Padilla y Cristóbal Rodríguez Piñero.

PORCENTAJES MENSUALES DE DÍAS CON HUMEDADES DEL AIRE SUPERIORES A HUMEDADES DE REFERENCIAS. TRANSECTO INTERIOR DE LA PENÍNSULA DE ANAGA

1	2	3	ENE	FEB	MAR	ABR	MAY	JUN	JUL	AGO	SEP	OCT	NOV	DIC	TOTAL
65%	65%	65%	33.9	37.5	41.9	35.0	22.6	38.3	33.9	8.1	44.4	55.9	63.3	60.2	39.5
OBS ACUMULA			21	21	26	21	14	23	21	5	40	52	57	56	
70%	65%	65%	30.6	37.5	37.1	35.0	22.6	38.3	33.9	8.1	41.1	50.5	63.3	59.1	38.0
OBS ACUMULA			19	21	23	21	14	23	21	5	37	47	57	55	
70%	70%	65%	29.0	35.7	37.1	35.0	21.0	38.3	33.9	8.1	41.1	47.3	57.8	57.0	36.7
OBS ACUMULA			18	20	23	21	13	23	21	5	37	44	52	53	
70%	70%	70%	11.3	12.5	16.1	11.7	4.8	21.7	4.8	0.0	18.9	19.4	35.6	31.2	15.6
OBS ACUMULA			7	7	10	7	3	13	3	0	17	18	32	29	
80%	70%	70%	11.3	12.5	14.5	11.7	4.8	21.7	3.2	0.0	15.6	17.2	33.3	31.2	14.7
OBS ACUMULA			7	7	9	7	3	13	2	0	14	16	30	29	
80%	75%	70%	9.7	8.9	14.5	11.7	4.8	21.7	3.2	0.0	15.6	14.0	31.1	26.9	13.5
OBS ACUMULA			6	5	9	7	3	13	2	0	14	13	28	25	
80%	80%	70%	8.1	7.1	4.8	10.0	1.6	21.7	3.2	0.0	11.1	6.5	23.3	19.4	9.7
OBS ACUMULA			5	4	3	6	1	13	2	0	10	6	21	18	
85%	70%	70%	11.3	8.9	12.9	10.0	3.2	21.7	3.2	0.0	11.1	15.1	33.3	30.1	13.4
OBS ACUMULA			7	5	8	6	2	13	2	0	10	14	30	28	
90%	70%	70%	11.3	5.4	9.7	8.3	1.6	21.7	3.2	0.0	8.9	10.8	25.6	22.6	10.7
OBS ACUMULA			7	3	6	5	1	13	2	0	8	10	23	21	
95%	70%	70%	6.5	3.6	4.8	6.7	0.0	18.3	1.6	0.0	2.2	2.2	15.6	15.1	6.3
OBS ACUMULA			4	2	3	4	0	11	1	0	2	2	14	14	
85%	75%	70%	9.7	7.1	12.9	10.0	3.2	21.7	3.2	0.0	11.1	14.0	31.1	25.8	12.5
OBS ACUMULA			6	4	8	6	2	13	2	0	10	13	28	24	
85%	80%	70%	8.1	7.1	4.8	8.3	1.6	21.7	3.2	0.0	10.0	6.5	23.3	19.4	9.5
OBS ACUMULA			5	4	3	5	1	13	2	0	9	6	21	18	
85%	85%	70%	8.1	3.6	1.6	6.7	0.0	15.0	3.2	0.0	6.7	2.2	11.1	6.5	5.3
OBS ACUMULA			5	2	1	4	0	9	2	0	6	2	10	6	
85%	75%	75%	1.6	3.6	9.7	6.7	0.0	5.0	0.0	0.0	6.7	7.5	12.2	11.8	5.4
OBS ACUMULA			1	2	6	4	0	3	0	0	6	7	11	11	
85%	80%	75%	1.6	3.6	4.8	5.0	0.0	5.0	0.0	0.0	5.6	3.2	8.9	8.6	3.8
OBS ACUMULA			1	2	3	3	0	3	0	0	5	3	8	8	
90%	75%	75%	1.6	3.6	8.1	5.0	0.0	5.0	0.0	0.0	5.6	5.4	8.9	11.8	4.6
OBS ACUMULA			1	2	5	3	0	3	0	0	5	5	8	11	
90%	80%	75%	1.6	3.6	4.8	3.3	0.0	5.0	0.0	0.0	4.4	2.2	6.7	8.6	3.3
OBS ACUMULA			1	2	3	2	0	3	0	0	4	2	6	8	
80%	80%	80%	0.0	0.0	4.8	1.7	0.0	0.0	0.0	0.0	4.4	1.1	1.1	5.4	1.6
OBS ACUMULA			0	0	3	1	0	0	0	0	4	1	1	5	
90%	80%	80%	0.0	0.0	4.8	1.7	0.0	0.0	0.0	0.0	4.4	1.1	1.1	5.4	1.6
OBS ACUMULA			0	0	3	1	0	0	0	0	4	1	1	5	
MESES OBSERV			2	2	2	2	2	2	2	2	3	3	3	3	

La tabla está constituida por los porcentajes mensuales de días en la cual la humedad del aire media diaria tiene que cumplir unas condiciones higrométricas impuestas. Las humedades son obtenidas a partir de las estaciones automáticas localizadas en **transectos interiores** a la península de Anaga. Los **transectos** están formados cada uno de ellos por tres únicas estaciones disponibles, costa y crestería, y representativos del territorio oriental donde se registran fuertes contrastes entre las observaciones realizadas en vertientes opuestas para diferentes altitudes. La localización de las

estaciones meteorológicas se asemeja a un triángulo donde en su base se encuentran los observatorios costeros con distinta orientación y en su vértice superior el observatorio común de crestería e independiente de la orientación del relieve. El **transecto** es representativo de un corte transversal a un relieve inclinado con laderas muy abruptas.

Las filas están constituidas de **porcentajes de días** de cada mes que cumplen un “**episodio higrométrico concreto**”, es decir, el porcentaje de días en las cuales las humedades medias diarias de las estaciones del transecto elegido tienen que cumplir las condiciones de ser **superiores** a la terna de humedades de referencias previamente seleccionadas en cada fila. Los porcentajes se han calculado en periodos mensuales diferentes según la disponibilidad de **observaciones simultáneas** en cada terna de estaciones. Los meses comunes de observaciones de la terna se indican en la fila inferior de la tabla.

Un ejemplo de interpretación de la tabla: el primer elemento de la tabla de la primera fila es 33.9%. La cifra indica el **porcentaje de días** en enero que cumple una **condición meteorológica concreta**; la segunda fila, observaciones acumuladas, la cifra 21 es el número de días en 2 meses de observaciones (fila inferior de la tabla) donde cada terna de estaciones poseen datos; por tanto, 33.9% es el porcentaje de 21 días frente a $2 * 31$ días, periodo completo de observaciones; la cifra obtenida representa el **porcentaje medio de días**, en las cuales las humedades medias diarias registradas en enero durante dos años cumplen la condición higrométrica de ser **superiores a las humedades relativas del aire** 65% Llanos de los loros, 65% Taganana y 65% Igueste San Andrés **simultáneamente** en la terna de estaciones del transecto y humedades referencias elegidas, respectivamente. Recordamos que la humedad diaria se obtiene a partir de un conjunto de observaciones recogidas en el data logger cada estación automática en un periodo de tiempo de escrutación según el criterio del Organismo Oficial responsable de su conservación; 120 observaciones diarias en Agrocabildo y 144 observaciones en AEMET.

La clasificación mensual de porcentajes con criterio **de menor exigencia en el contenido de agua atmosférica** es la terna de referencia 65%, 65% y 65%; lo opuesto, el criterio de **mayor exigencia** en el contenido de agua es una terna que contenga la referencia de 90%.

El análisis de la tabla, independiente de la terna referencia elegida, desvela que la troposfera es **más húmeda** en noviembre y diciembre y **marcadamente menos húmeda** en agosto. Estas afirmaciones higrométricas deben aceptarse con **ciertas reservas**, ya que la muestra de observaciones está constituida con pocos meses. La tabla es un esquema aproximado del comportamiento higrométrico de la troposfera de Anaga. Esperamos en un futuro no muy lejano afirmar con mayor certeza la realidad higrométrica de esta región de Tenerife.

1. Llanos los Loros: zona boscosa de crestería (867 m)
2. Taganana: medianía baja a barlovento (305 m)
3. Igueste San Andrés: costa a sotavento (75 m)

PORCENTAJES MEDIOS MENSUALES DE DÍAS CON HUMEDADES DEL AIRE SUPERIORES A HUMEDADES DE REFERENCIAS. TRANSECTO EXTERIOR DE LA PENÍNSULA DE ANAGA

1	2	3	ENE	FEB	MAR	ABR	MAY	JUN	JUL	AGO	SEP	OCT	NOV	DIC	TOTAL
65%	65%	65%	34.7	37.5	37.1	32.5	31.5	30.0	39.5	31.5	42.5	49.2	40.0	34.7	36.7
OBS ACUMULA			43	42	46	39	39	36	49	39	51	61	48	43	
70%	65%	65%	33.1	33.9	33.1	32.5	31.5	29.2	39.5	28.2	39.2	46.0	40.0	33.9	35.0
OBS ACUMULA			41	38	41	39	39	35	49	35	47	57	48	42	
70%	70%	65%	26.6	32.1	32.3	30.0	31.5	29.2	39.5	28.2	38.3	38.7	37.5	30.6	32.9
OBS ACUMULA			33	36	40	36	39	35	49	35	46	48	45	38	
70%	70%	70%	11.3	17.0	12.9	11.7	10.5	6.7	6.5	2.4	14.2	17.7	19.2	17.7	12.3
OBS ACUMULA			14	19	16	14	13	8	8	3	17	22	23	22	
80%	70%	70%	8.9	15.2	12.1	11.7	9.7	6.7	5.6	2.4	11.7	14.5	17.5	17.7	11.1
OBS ACUMULA			11	17	15	14	12	8	7	3	14	18	21	22	
80%	75%	70%	8.1	11.6	9.7	7.5	4.8	6.7	5.6	2.4	8.3	12.1	12.5	12.1	8.4
OBS ACUMULA			10	13	12	9	6	8	7	3	10	15	15	15	
80%	80%	70%	5.6	8.9	2.4	2.5	1.6	5.8	5.6	2.4	4.2	3.2	8.3	4.0	4.5
OBS ACUMULA			7	10	3	3	2	7	7	3	5	4	10	5	
85%	70%	70%	8.9	12.5	10.5	10.0	8.1	6.7	5.6	2.4	9.2	13.7	17.5	16.9	10.1
OBS ACUMULA			11	14	13	12	10	8	7	3	11	17	21	21	
90%	70%	70%	8.9	8.0	8.9	5.8	5.6	6.7	5.6	1.6	5.8	8.9	11.7	13.7	7.6
OBS ACUMULA			11	9	11	7	7	8	7	2	7	11	14	17	
95%	70%	70%	5.6	5.4	4.0	4.2	4.0	5.8	4.0	1.6	0.8	4.0	7.5	9.7	4.7
OBS ACUMULA			7	6	5	5	5	7	5	2	1	5	9	12	
85%	75%	70%	8.1	10.7	8.1	6.7	4.0	6.7	5.6	2.4	7.5	11.3	12.5	11.3	7.9
OBS ACUMULA			10	12	10	8	5	8	7	3	9	14	15	14	
85%	80%	70%	5.6	8.0	1.6	2.5	0.8	5.8	5.6	2.4	4.2	3.2	8.3	4.0	4.3
OBS ACUMULA			7	9	2	3	1	7	7	3	5	4	10	5	
85%	85%	70%	1.6	1.8	0.0	0.8	0.8	3.3	1.6	0.8	0.0	2.4	1.7	0.0	1.2
OBS ACUMULA			2	2	0	1	1	4	2	1	0	3	2	0	
85%	75%	75%	1.6	4.5	2.4	4.2	1.6	0.0	0.0	0.0	5.0	6.5	5.0	5.6	3.0
OBS ACUMULA			2	5	3	5	2	0	0	0	6	8	6	7	
85%	80%	75%	1.6	4.5	0.0	1.7	0.0	0.0	0.0	0.0	3.3	1.6	2.5	2.4	1.4
OBS ACUMULA			2	5	0	2	0	0	0	0	4	2	3	3	
90%	75%	75%	1.6	2.7	2.4	2.5	1.6	0.0	0.0	0.0	3.3	5.6	3.3	5.6	2.4
OBS ACUMULA			2	3	3	3	2	0	0	0	4	7	4	7	
90%	80%	75%	1.6	2.7	0.0	1.7	0.0	0.0	0.0	0.0	1.7	1.6	1.7	2.4	1.1
OBS ACUMULA			2	3	0	2	0	0	0	0	2	2	2	3	
80%	80%	80%	0.0	2.7	0.0	0.8	0.0	0.0	0.0	0.0	0.0	0.8	0.0	1.6	0.5
OBS ACUMULA			0	3	0	1	0	0	0	0	0	1	0	2	
90%	80%	80%	0.0	0.9	0.0	0.8	0.0	0.0	0.0	0.0	0.0	0.8	0.0	1.6	0.3
OBS ACUMULA			0	1	0	1	0	0	0	0	0	1	0	2	
MESES OBSERV			4	4	4	4	4	4	4	4	4	4	4	4	

Los **transectos exteriores** son representativos de un relieve poco accidentado donde se asienta la mayor población de la región oriental de Tenerife.

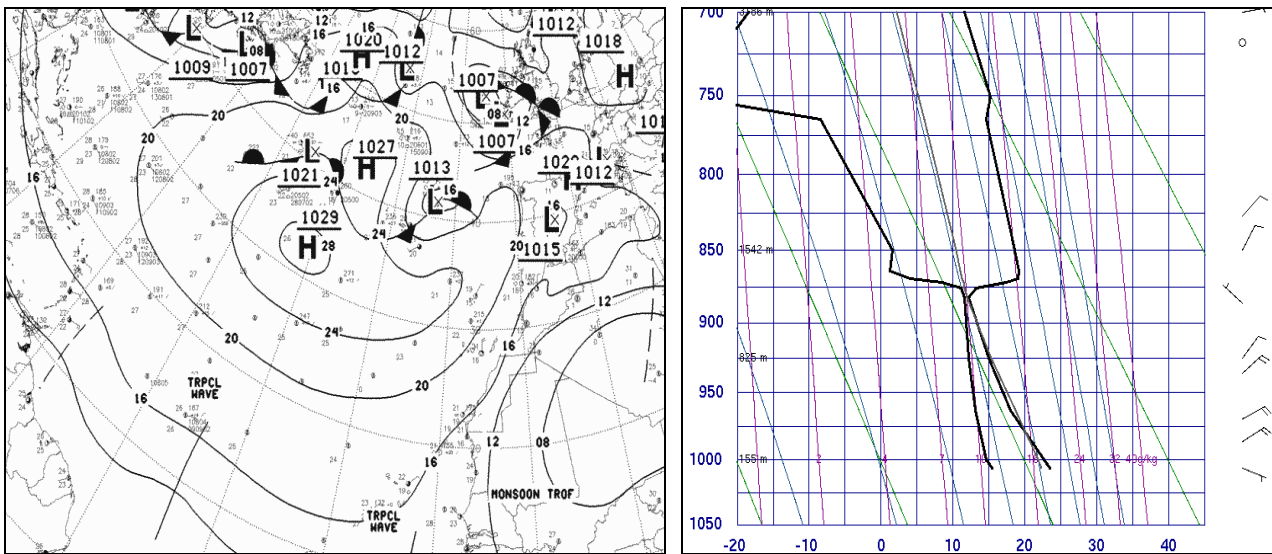
El análisis de la tabla independiente de la terna referencia desvela que la troposfera es **más húmeda** en octubre, noviembre y diciembre y **ligeramente menos húmeda** en mayo, junio, y en particular agosto. Estas afirmaciones higrométricas deben aceptarse con **ciertas reservas**.

1. Llanos los Loros: zona boscosa de crestería (867 m)
2. Pico de Tejina: medianía baja a barlovento (250 m)
3. San Andrés: costa a sotavento (19 m)

CONCLUSIÓN

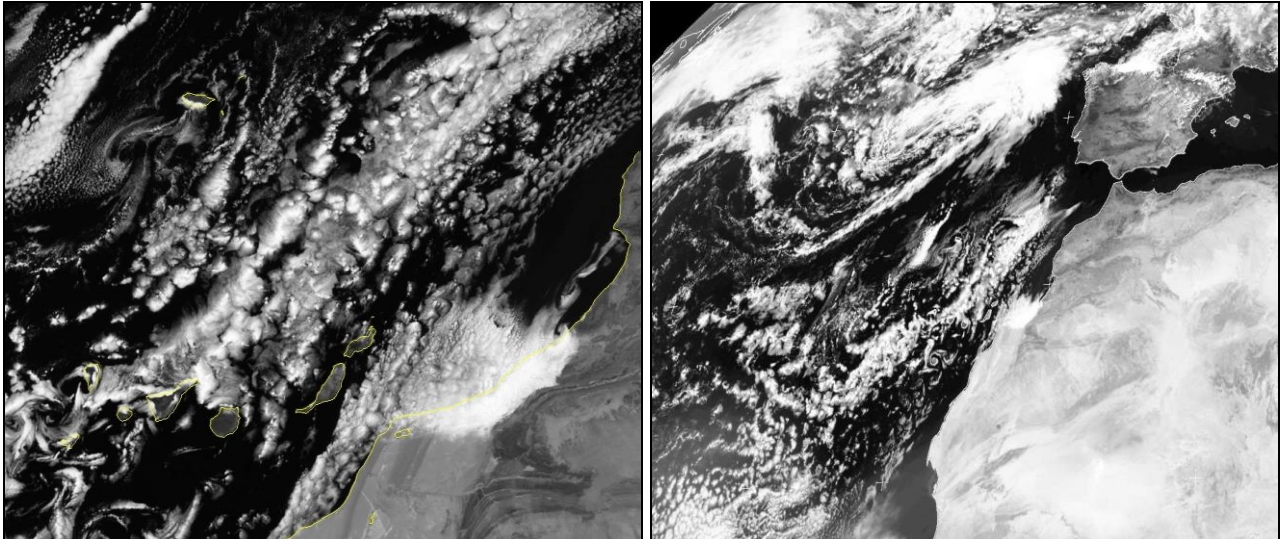
La comparación de los porcentajes entre ambas tablas nos indica que la parte central de la península de Anaga es ligeramente más húmeda que su lateral occidental. Los vientos marítimos superficiales que llegan a la costa y soplan en las direcciones noroeste a noreste tienen mayor incidencia en el relieve escarpado en una naturaleza menos alterada que en las superficies urbanas y zonas cultivadas de su borde occidental.

En ambos transectos, la **capa húmeda**, troposfera húmeda de Anaga está bien definida cuando la terna de humedad de referencia está formada por algunos de los valores 65% o 70%; además, las posibilidades de encontrar días cuyas terna de humedades de referencia incluya valores superiores al 80% son de menor importancia, episodios meteorológicos probables en días de lluvias intensas cuando las escasas depresiones atlánticas o frentes nubosos septentrionales visitan la isla. Las explicaciones de los porcentajes mensuales de menor cuantía la podemos encontrar en la sección de capa húmeda en costa y seca en medianía alta, episodio higrométrico con mayor incidencia entre junio a septiembre cuando la distribución del campo de presión atmosférica en la región canaria está formado de en una extensa superficie de altas presiones atlánticas intensas y bajas presiones poco profundas, depresión sahariana, situada normalmente al sur de Argelia; situación barométrica típica que transporta grandes cantidades de arena sahariana caliente y seca en altura hacia Canarias.

DÍAS QUE CONFIRMAN UNA TROPOSFERA HÚMEDA**27 DE JUNIO DE 2014****Mapa sinóptico el 27 junio 2014 y radiosondeo a 12 h. Vientos húmedos en cotas <900 m**

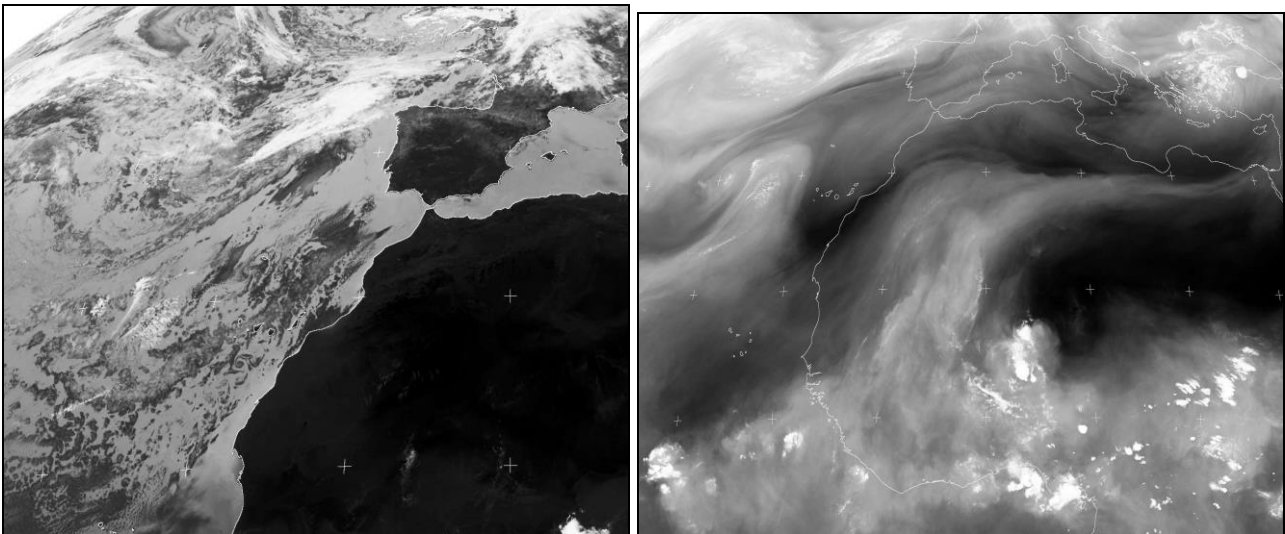
El mapa sinóptico indica altas presiones intensas (1029 mb) centradas al oeste del archipiélago de las Azores y una extensa área depresionaria (1008 mb) en el sur de Argelia y Mauritania. Esta situación barométrica perdura varios días en la última semana de junio, el aire estacionario sobre las arenas del Sahara, aire seco y muy caliente se desplaza hacia Canarias con velocidad débil a moderada en cotas superiores a 1200 m, y la presencia de la **barrera de aire fresco y húmedo** típico en la troposfera entre las islas Canarias orientales y la costa africana sirve de “trampolín” del aire seco y caliente desplazándose en cotas elevadas, la **inversión térmica en altura**. El flanco este del anticiclón no alcanza la costa sahariana, por tanto impide el reforzamiento de vientos de origen sahariano. La invasión de aire sahariano seco y muy caliente sopla en altura en el sector norte a noreste y no capaz de disolver la **capa húmeda superficial**.

Curva de estado real a mediodía: la temperatura desciende entre 105 m (vientos del ESE 23.4 °C, 61%) y 1230 m (vientos del NW 12.2 °C, 96%), a partir de esa cota se observa un ascenso muy brusco de la temperatura hasta alcanzar 1400 m, (vientos del N, 19.2 °C, 30%), **inversión térmica**. Desarrollo de una **capa delgada de estratocúmulos**; sobre esta cota, la temperatura de la atmósfera desciende suavemente (2450 m, vientos suaves del NNE, 14.6 °C, 20%). La curva de **estado saturado**, curva de temperatura de punto rocío, muestra un **suave descenso** 105 m (15.4 °C) y 1230 m (11.6 °C), la humedad del aire asciende desde 61% a 96%; **notable descenso** hasta 1400 m (1.2 °C), la humedad desciende desde 96% a 30%; **moderado descenso** hasta 2450 m (-8.6 °C), la humedad desciende desde 30% a 20%. Durante el día o es notable la presencia de polvo sahariano a causa de los vientos de componente NE suaves y la depresión sahariana no es profunda.



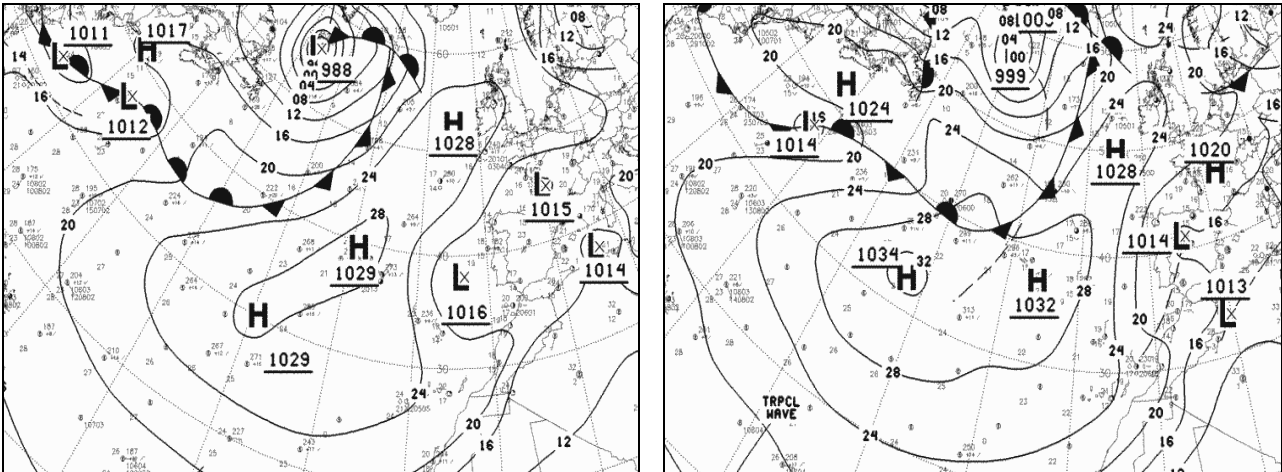
Imágenes del Meteosat 9 el 27 de junio de 2014 a las 12 h

Imágenes Meteosat 9 (visible) recogidas a las 12 h en la región canaria. En ambas imágenes apreciamos la nubosidad sobre la costa africana en Tarfaya debido al afloramiento de aguas profundas más frías por efecto de los vientos alisios. Nubosidad sobre las medianías de las vertientes noroeste a este en las islas de mayor relieve por efecto de la irrupción de aire fresco y húmedo expulsado por el anticiclón.



Imágenes Meteosat (infrarrojo y vapor de agua) a las 12 h. En ambas imágenes apreciamos el contenido acuoso de la atmósfera. La **imagen infrarroja** nos indica nubes **estratiformes de escaso espesor** impulsadas por el anticiclón, superficie nubosa irregular, nubes y claros en la región canaria. La **imagen vapor de agua** nos indica la distribución del contenido acuoso atmosférico, zonas de diferentes intensidades cromáticas, diferentes tonalidades en forma de tenues manchas blanquecinas; la troposfera canaria contiene menor cantidad de agua en comparación con otras zonas marítimas septentrionales.

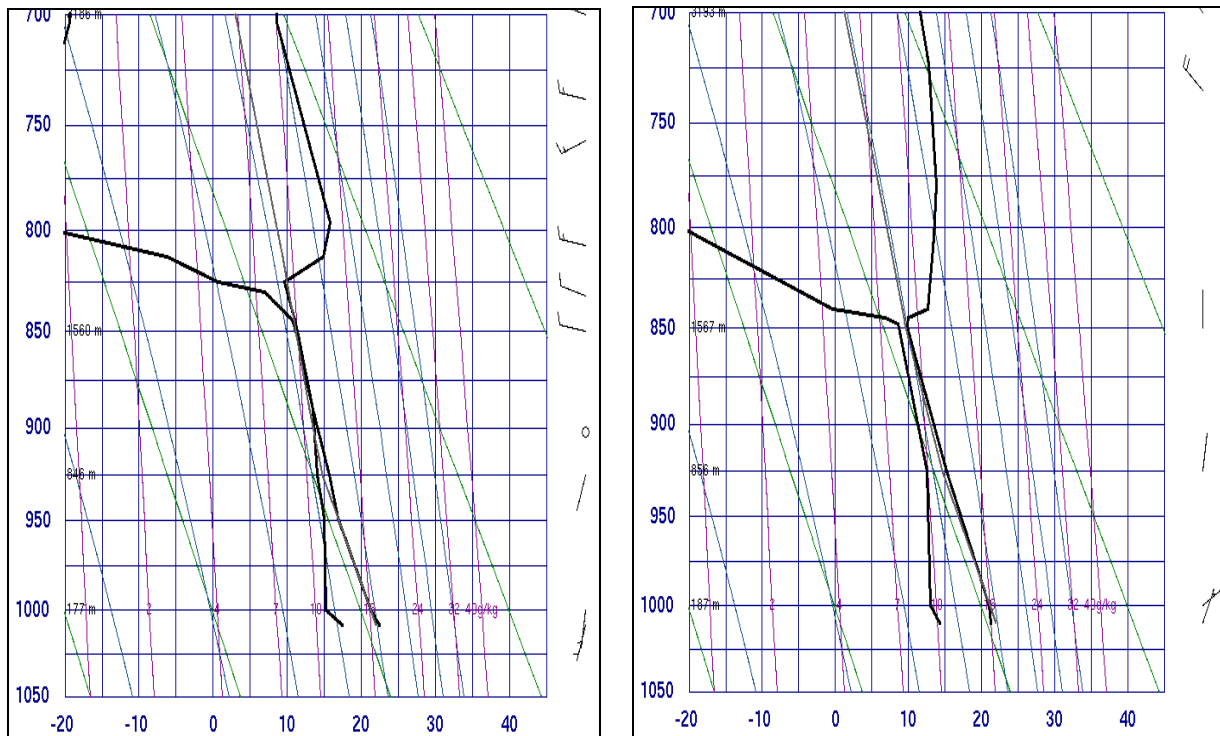
23 Y 24 DE JUNIO DE 2014



Mapas sinópticos 23 y 24 de junio de 2014. Vientos húmedos del norte en Canarias

El mapa sinóptico del día 23 de junio indica altas presiones intensas (1029 mb) centradas al suroeste de las Azores, y un área depresionaria (1016 mb) poco profunda al oeste de Portugal. Esta situación barométrica promueve el movimiento de aire oceánico fresco y húmedo de componente norte con desplazamiento débil a moderado hacia Canarias en cotas inferiores a 1800 m. Las islas están inmersas en un ambiente de contenido acuoso alto. El desplazamiento de aire húmedo alcanza las laderas insulares, provoca la formación de abundante nubosidad orográfica acompañada de nieblas y ligeros chubascos en los periodos nocturno y matutino. La invasión de aire sahariano no se hace sentir en estas condiciones atmosféricas.

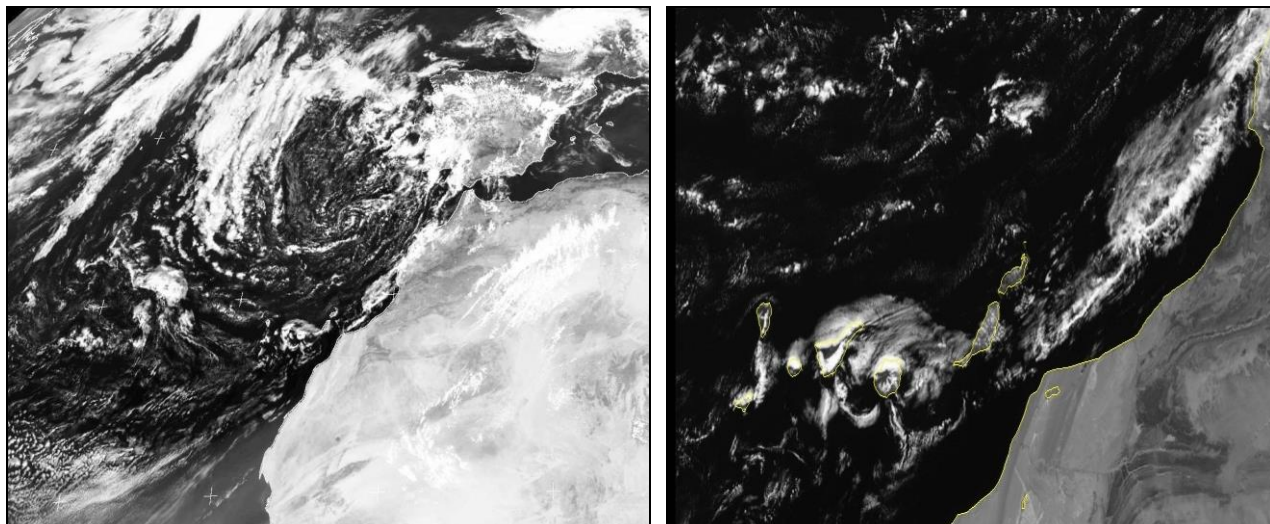
El mapa sinóptico del día 24 de junio indica altas presiones muy intensas (1034 mb y 1032 mb) en el océano Atlántico central y próximas a las islas Azores, áreas depresionarias (1013 mb) al noreste de Marruecos y (1012 mb) al sur de Argelia. Esta situación barométrica promueve el movimiento de aire oceánico fresco y húmedo de componente norte con desplazamiento moderado hacia Canarias en cotas inferiores a 1600 m. Las islas están inmersas en un ambiente de contenido acuoso alto. El desplazamiento de aire húmedo alcanza las laderas insulares, provoca la formación de abundante nubosidad orográfica acompañada de nieblas y lloviznas en el periodo nocturno. La invasión de aire sahariano no se hace sentir en estas condiciones atmosféricas.



Radiosondeos el 23 (12 h) y 24 (0 h) de junio 2014. Vientos débiles y húmedos del norte

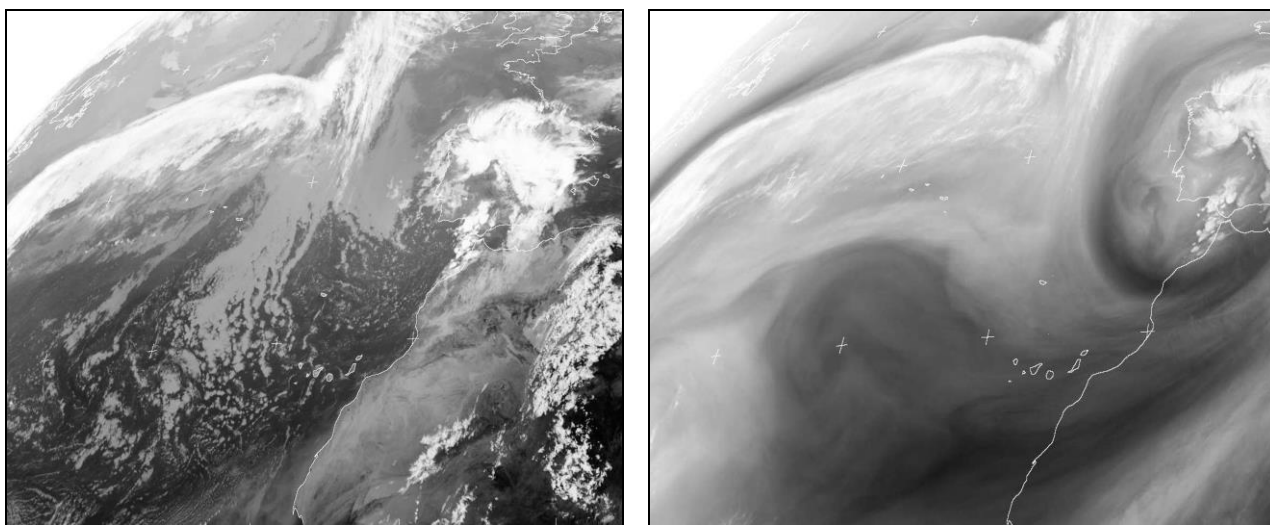
Curva de estado real a mediodía: la temperatura desciende entre 105 m (vientos suaves del SW 22.4 °C, 73%) y 1800 m (vientos del WNW 9.6 °C, 53%), a partir de esa cota se observa un ascenso brusco de la temperatura hasta alcanzar 2100 m (vientos del W, 15.8 °C, 4%), **inversión térmica**. Desarrollo de una **capa gruesa de estratocúmulos** entre 1060 m y 1620 m; en la medianía alta y crestería, formación de **nubosidad orográfica** abundante y **lloviznas**. La curva de **estado saturado**, muestra un **suave descenso** 105 m (17.4 °C) y 1170 m (13.4 °C), la humedad del aire asciende desde 73% a 100%; **ligero descenso** hasta 1620 m (10.7 °C), la humedad desciende desde 100% a 98%; **moderado descenso** hasta 1760 m (6.9 °C), la humedad desciende desde 98% a 81%, a partir de esta cota, **brusco descenso**. Durante el día no existe presencia de polvo sahariano debido a los vientos suaves de componente W.

Curva de estado real a medianoche: la temperatura desciende entre 105 m (vientos suaves del NNE 21.2 °C, 64%) y 1570 m (vientos suaves del N, 9.8 °C, 93%), a partir de esa cota se observa la temperatura estacionaria hasta alcanzar 1590 m, (vientos suaves del W, 9.8 °C, 92%), desarrollo de una **capa delgada de estratocúmulos**; en la crestería, formación de **nubosidad orográfica** y **lloviznas**. La curva de **estado saturado**, muestra un **suave descenso** 105 m (14.2 °C) y 1570 m (8.7 °C), la humedad del aire asciende desde 64% a 93%; **ligero descenso** hasta 1590 m (8.6 °C), la humedad desciende desde 93% a 92%; **brusco descenso** de la temperatura a partir de esta cota. Durante el día no existe presencia de polvo sahariano debido a los vientos suaves del sector NNW a NNE.



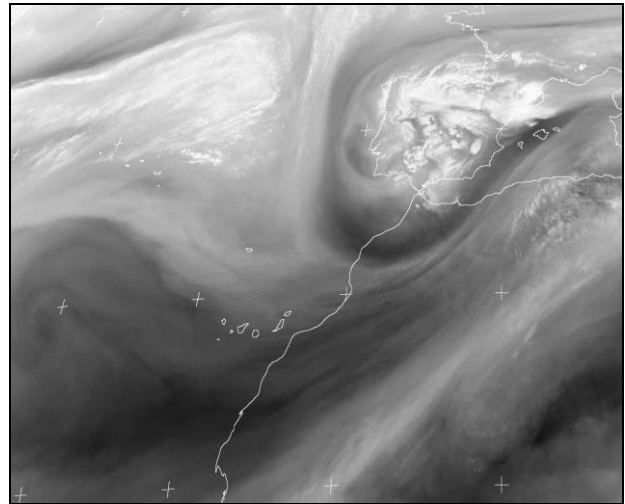
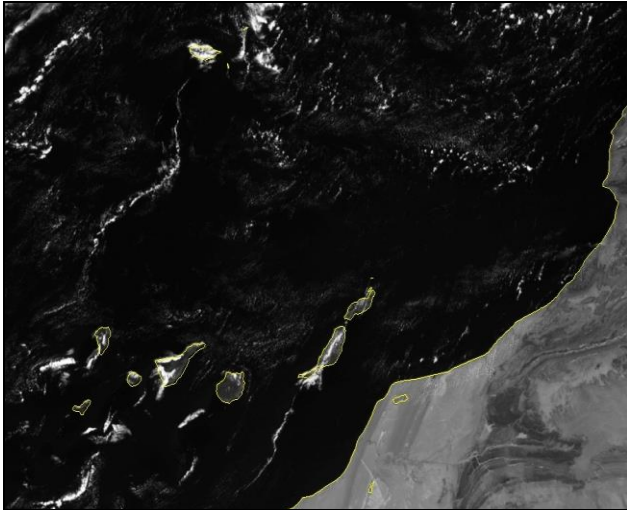
Imágenes Meteosat 9 el 23 de junio de 2014 a las 12h. Nubes estratiformes sobre las islas

Imágenes Meteosat 9 (visible) recogidas a las 12 h en la región canaria. En ambas imágenes no apreciamos la nubosidad típica de Tarfaya a causa de los vientos alisios. Nubosidad generalizada sobre la costa y medianías en todas las vertientes de las islas de mayor relieve por efecto de la irrupción de aire fresco y húmedo de componente norte expulsado por el anticiclón, y a su vez impulsado por la depresión al suroeste de la península ibérica.



Imágenes Meteosat 9 el 24 de junio a las 6 h. Contenido acuoso en la madrugada

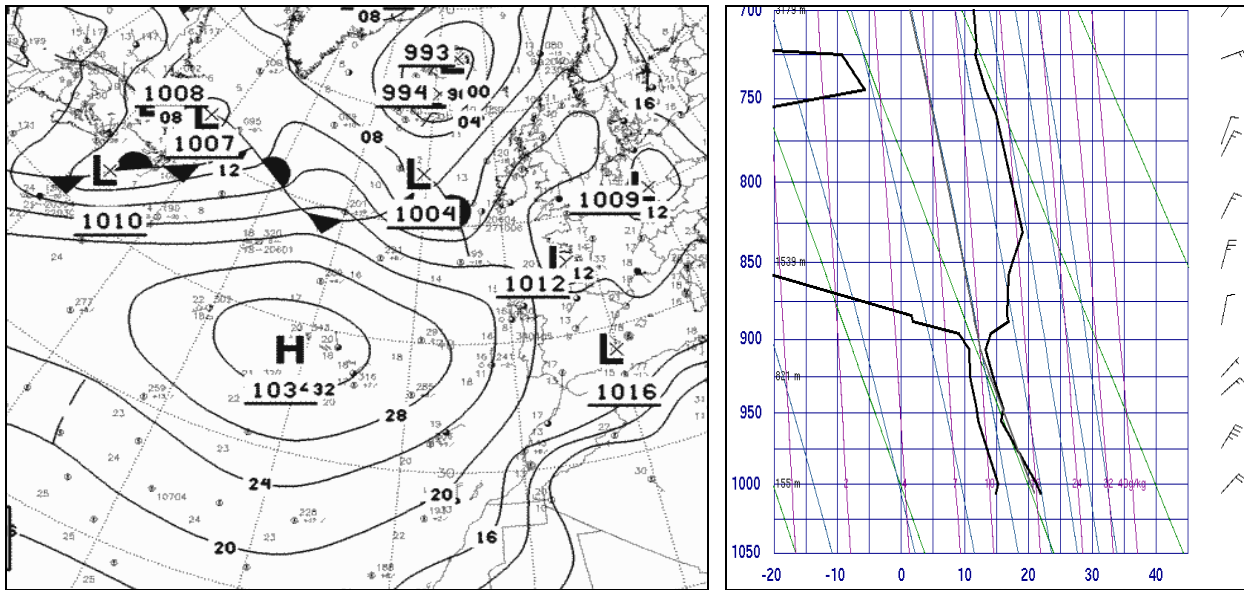
Imágenes Meteosat (infrarrojo y vapor de agua) a las 6 h. En ambas imágenes apreciamos el contenido acuoso de la atmósfera. La **imagen infrarroja** nos indica nubes **estratiformes de espesor notable** al noroeste de Canarias, superficie nubosa irregular al norte, nubes y claros en la región canaria. La **imagen de vapor de agua** nos indica la distribución del contenido acuoso atmosférico, zonas de diferentes intensidades cromáticas en forma de tenues manchas blanquecinas; la troposfera canaria contiene escasa cantidad de agua en comparación con otras zonas marítimas septentrionales.



Imágenes Meteosat 9 el 24 de junio a las 12h. Contenido acuoso al mediodía

Imágenes Meteosat (visible y vapor de agua) a las 12 h. En ambas imágenes apreciamos el contenido acuoso de la atmósfera. La **imagen visible** nos indica nubes **estratiformes de notable espesor** en las vertientes de orientación sur a norte en las islas de mayor altitud. La **imagen de vapor de agua** nos indica la distribución del contenido acuoso atmosférico, masas nubosas con mayor contenido acuoso se aproximan al archipiélago; la troposfera canaria ha aumentado su contenido acuoso por efecto de las irrupciones de aire húmedo que se desplazan en altura en el sector noroeste a norte.

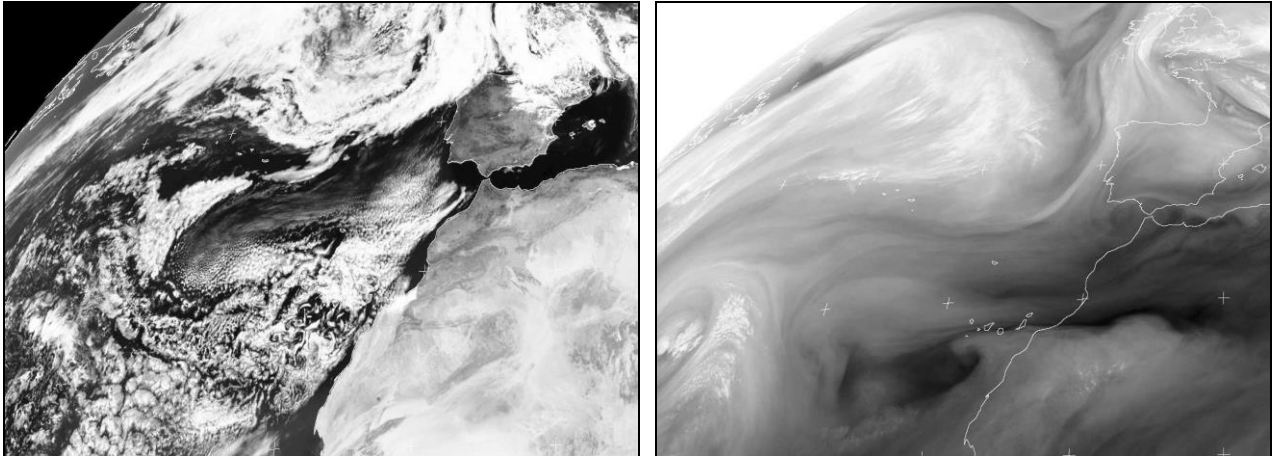
20 DE JUNIO DE 2013



Mapa sinóptico el 20 junio 2013 y radiossoneo a 12 h. Vientos húmedos en cotas < 900 m

El mapa sinóptico indica altas presiones muy intensas (1032 mb) centradas en las Azores, áreas depresionarias (1016 mb) centradas al sureste de la península Ibérica y (1012 mb) al sur de Argelia. Esta situación barométrica promueve el movimiento de aire oceánico fresco y húmedo con desplazamiento débil a moderado de componente noreste hacia Canarias en cotas inferiores a 1100 m. La costa y medianías de las islas están inmersas en un ambiente de notable contenido acuoso. El desplazamiento de aire húmedo sobre las laderas de medianía alta y cresterías provoca la formación de nubosidad orográfica acompañada de nieblas y lloviznas en los periodos nocturno y matutino.

Curva de estado real a mediodía: la temperatura desciende entre 105 m (vientos débiles del W 19.8 °C, 60%) y 1100 m (vientos del NNE, 11.2 °C, 71%), a partir de esa cota se observa un ascenso brusco de la temperatura hasta alcanzar 1230 m (vientos del N, 15.2 °C, 33%), inversión térmica. Desarrollo de una **capa delgada de estratocúmulos** entre 1100 m y 1230 m; en las cresterías formación de **nubosidad orográfica** y **lloviznas**. La curva de **estado saturado**, muestra un **suave descenso** 105 m (11.8 °C) y 1100 m (6.2 °C), la humedad del aire asciende desde 60% a 71%; **brusco descenso** hasta 1230 m (-0.8 °C), la humedad desciende desde 71% a 33%; **brusco descenso** hasta 1940 m (-8.3 °C), la humedad desciende entre 33% y 27%, a partir de esta cota, **muy brusco descenso**. Durante el día no existe presencia de polvo sahariano debido a los vientos suaves del sector SSW a NNW.



Imágenes Meteosat 9 el 20 de junio de 2013 a 12 h. Nubes estratiformes y vientos NW a N

Imágenes Meteosat (visible y vapor de agua) recogidas a las 12 h en la región canaria. En ambas imágenes apreciamos la nubosidad típica de Tarfaya por efecto de los alisios. Nubosidad estratiforme generalizada en la región canaria, por tanto sobre la costa y medianías en todas las vertientes de las islas de mayor relieve por efecto de la irrupción de aire fresco y húmedo de componente norte expulsado por el anticiclón. La **imagen de vapor de agua** nos indica la distribución del contenido acuoso atmosférico. Una tenue mancha blanquecina cubre las islas, sobretodo en el sector sureste a oeste; la troposfera canaria ha aumentado su contenido acuoso.

OBSERVACIONES METEOROLÓGICAS EL 20 DE JUNIO DE 2013

COMARCAS DE ACENTEJO Y VALLE DE LA OROTAVA								
PLUVIÓMETRO	TEM	HUM	VEL	RAD	PREC	ETP	D1	D2
LA LAGUNA - TEJINA	19.3	74.9	8.6	12.0	0.0	3.0	NE	N
SANTA ÚRSULA - EL MALPAÍS	18.8	77.6	5.6	19.8	0.0	3.7	NE	E
VALLE GUERRA - ISAMAR	17.3	80.0	3.9	9.1	0.6	2.0		
TACORONTE - EXTENSIÓN AGRARIA	17.4	82.9	7.9		0.6	0.8		
TEGUESTE - LA PADILLA	17.1	85.7	7.8	9.1	0.4	2.1		
VALLE GUERRA - GARIMBA	15.5	86.9	6.9	7.7	0.8	1.8		
SANTA ÚRSULA - LAS TIERRAS	16.7	83.0	4.3	14.2	0.0	2.7	NE	E
SANTA ÚRSULA - LA CORUJERA	16.0	86.3	6.0	13.4	0.0	2.4		
LA VICTORIA - DEPÓSITO MARRERO	15.9	82.6	8.3		0.2	0.0		
TACORONTE - AGUA GARCÍA	13.8	99.1	4.2	7.6	1.9	1.4		
LA VICTORIA - EL LOMO	15.3	92.4	5.1	18.3	0.0	3.0		
LA MATANZA - CRUZ DEL CAMINO	13.9	97.6	1.5	12.1	1.4	2.1		
EL SAUZAL - RAVELO	12.2	97.3	3.3	7.7	2.5	1.4		
LA VICTORIA - GAITERO	14.1	35.6	23.6	35.7	0.0	7.2	NW	N
PUERTO DE LA CRUZ - BOTÁNICO	19.3	69.3	1.9	18.1	0.0	3.3		
LA OROTAVA - EL RINCÓN	18.2	76.9	5.3	19.2	0.0	3.4	NE	N
LA OROTAVA - LA PERDOMA RATINO	17.4	84.1	4.5	11.1	0.0	2.2		
LA OROTAVA - LA PERDOMA - SUERTE	15.4	85.5	6.3	8.4	0.0	1.7		
LOS REALEJOS - PALO BLANCO	14.6	89.6	7.3	8.1	0.0	1.6		
LA OROTAVA - BENIJOS	11.8	98.8	7.2	6.8	0.0	1.1		
LA OROTAVA - AGUAMANSA	10.7	94.2	3.1	10.1	0.0	1.7	N	SW

COMARCAS DE ICODEN Y DAUTE								
PLUVIÓMETRO	TEM	HUM	VEL	RAD	PREC	ETP	D1	D2
LA GUANCHA - CHARCO DEL VIENTO	20.3	74.7	4.8	12.6	0.0	2.9	E	SE
ICOD DE LOS VINOS - PARQUE DRAGO	18.6	73.3	4.8	10.9	0.0	2.6	SE	E
SAN JUAN RAMBLA - EL MIRADOR	16.6	83.9	22.9		0.0			
ICOD - LOS VINOS - SANTA BÁRBARA	16.9	92.9	3.2	8.5	0.0	1.5		
ICOD - LOS VINOS - REDONDO	15.0	87.5	2.4	7.0	0.0	1.5		
LOS REALEJOS - ICOD EL ALTO	14.2	99.9	13.8	7.2	0.0	1.0		
BUENAVISTA DEL NORTE - ICIA	19.8	69.2	15.8	16.2	0.0	4.2	SE	
BUENAVISTA DEL NORTE	20.0	71.8	17.5	17.0	0.0	4.3	E	
LOS SILOS - TIERRA DEL TRIGO	17.0	86.8	6.5	8.6	0.0	2.0		
BUENAVISTA DEL NORTE - PALMAR	15.4	86.5	12.6	10.1	0.0	2.1		
EL TANQUE - RUIGÓMEZ	12.8	98.4	12.5	8.8	0.0	1.3		

COMARCAS DE ISORA Y ABONA								
PLUVIÓMETRO	TEM	HUM	VEL	RAD	PREC	ETP	D1	D2
GUÍA DE ISORA - CUEVA DEL POLVO	20.8	68.1	4.6	29.3	0.2	5.1	E	
GUÍA ISORA - PLAYA DE ALCALÁ	21.5	71.8	1.1	25.9	0.0	4.5	S	SW
ARONA - LAS GALLETAS	20.4	65.4	2.5	19.6	0.0	3.7	S	N
ADEJE - LA CALDERA	20.9	67.9	5.8		0.0			
GUÍA DE ISORA	18.4	76.6	8.5	22.1	0.0	3.9	S	SE
GUÍA DE ISORA - EL POZO	16.8	84.3	5.8	25.1	0.0	3.9		
GUÍA DE ISORA - CHIO	15.5	82.8	5.4	21.1	0.0	3.4		
SANTIAGO DEL TEIDE - VALLE ARRIBA	13.5	79.8	19.7	28.5	0.0	3.7		
GUÍA DE ISORA - ARIPE - LLANITOS	14.3	69.1	4.1	29.8	0.0	4.6		
GUÍA DE ISORA - CHAVAO	18.2	21.8	6.7	35.0	0.0	6.6	E	NE
ARICO - LLANOS DE SAN JUAN	19.9	73.0	30.6	29.7	0.0	5.5	NE	N
ARICO - ICOR	16.7	74.4	9.6	27.5	0.0	4.5	NE	E
ARICO - TEGUEDITE - EL VISO	17.2	86.5	21.8	27.8	0.0	3.8		
ARICO - LA DEGOLLADA	17.9	76.8	23.0		0.0			
GÜIMAR - LOMO MENA	18.0	75.8	7.6	29.5	0.0	4.9		
GRANADILLA - CHARCO PINO	16.6	87.3	10.3	27.0	0.0	4.0		
GRANADILLA - EL PINALETE	15.2	76.4	6.6	30.4	0.0	4.7		
ARICO - EL BUENO - LOS HELECHOS	16.3	60.6	8.9	27.1	0.0	4.7	NE	N
VILAFLO - EL FRONTÓN	16.6	55.1	5.2	31.8	0.0	5.3	NW	SE
ARICO - LOS PICACHOS	18.7	25.0	18.1	36.2	0.0	8.1	NE	N

COMARCA DE VALLE DE GÜIMAR Y SURESTE - ANAGA								
PLUVIÓMETRO	TEM	HUM	VEL	RAD	PREC	ETP	D1	D2
GÜIMAR - TOPO NEGRO	20.2	70.8	7.8	30.0	0.0	5.		
GÜIMAR - BARRANCO BADAJOZ	19.5	69.6	8.4	29.5	0.0	5.2		
CANDELARIA - LAS CUEVECITAS	19.3	60.3	14.1		0.0			
CANDELARIA - ARAYA	20.1	51.3	4.9	33.1	0.0	6.0	N	SW
ARAFO - ANAVINGO	19.0	58.6	7.2	30.5	0.0	5.5		
SANTA CRUZ TENERIFE - CRUZ SEÑOR	19.9	67.3	8.0	23.0	0.0	4.6	NE	N
SANTA CRUZ DE TENERIFE	20.4	63.4	8.7		0.0			
AEROPUERTO DE LOS RODEOS	14.9	92.6	34.1		0.0	1.4	NW	
EL ROSARIO - LOS BALDÍOS	12.7	97.8	20.6	15.0	1.5	1.7		
SANTA CRUZ - IGUESTE SAN ANDRÉS	19.6	70.8	8.9	12.6	0.2	3.3	NW	N
SANTA CRUZ - SAN ANDRÉS	20.4	67.8	9.9		0.0			
ANAGA - TAGANANA	17.2	84.3	9.3	7.4	0.0	1.9	NW	N
ANAGA - LLANOS DE LOS LOROS	12.1	100.0	24.2		2.8		NW	

PARQUE NACIONAL DEL TEIDE								
PLUVIÓMETRO	TEM	HUM	VEL	RAD	PREC	ETP	D1	D2
TIRO GUANCHE	18.2	20.0	2.2		0.0			
RISCO VERDE	16.9	19.1	7.5		0.0			
PARADOR TURISMO	18.0	21.2	16.0		0.0			

COMPORTAMIENTO DE LA DIRECCIÓN DEL VIENTO Y DE SU CONTENIDO ACUOSO

SANTA CRUZ TFE – TAGANANA

20 / JUNIO

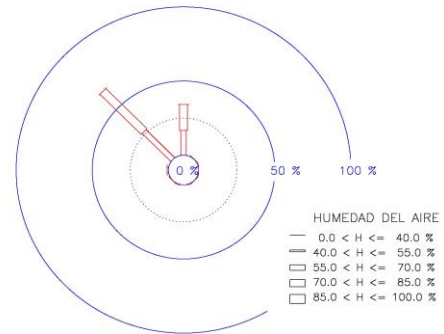
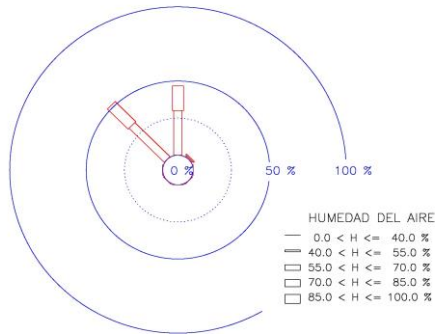
/

2013

SANTA CRUZ TFE – IGUESTE SAN ANDRES

20 / JUNIO

/ 2013



Rosas de humedades en la costa

Igueste San Andrés, los **vientos semihúmedos** y los **vientos húmedos** soplan en el sector NW a N y son frecuentes. Humedad del aire media diaria 71%, 8.9 km/h, ligeramente ventoso, nubes y claros y 0.2 mm, llovizna.

Taganana, los **vientos húmedos** y los **vientos muy húmedos** soplan en el sector NW a N y son frecuentes. Humedad del aire media diaria 84%, 9.3 km/h, ligeramente ventoso y cubierto.

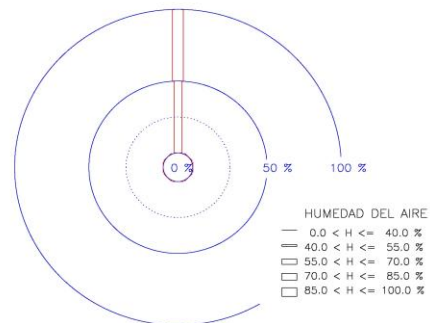
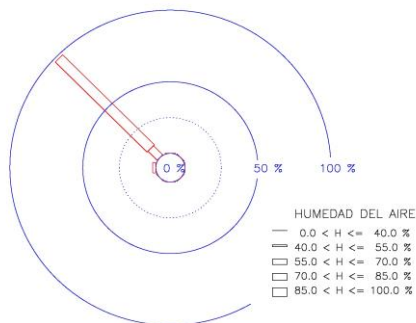
AEROPUERTO TENERIFE NORTE – LOS RODEOS 20 / JUNIO

/

2013

LA LAGUNA – VALLE GUERRA – GARIMBA 20 / JUNIO

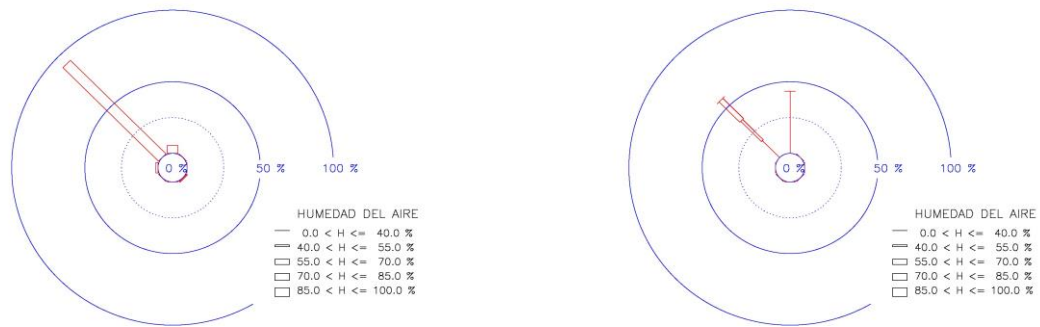
/ 2013



Rosas de humedades en la medianía baja

Garimba, **vientos muy húmedos** dominantes del norte. Humedad del aire media diaria 87%, 6.9 km/h, ligeramente ventoso, cubierto y 0.8 mm, llovizna.

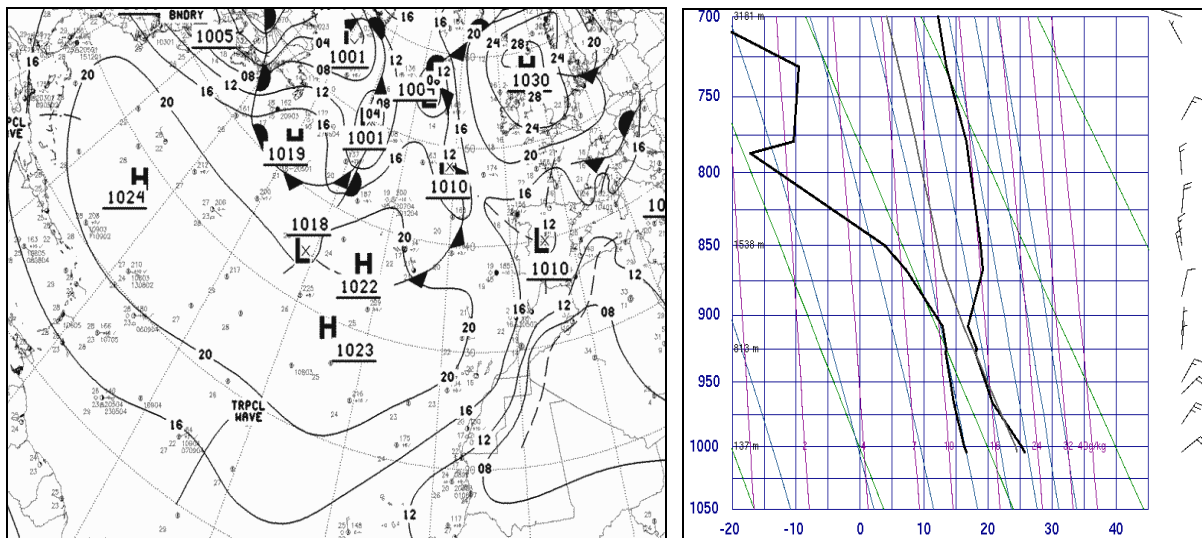
Aeropuerto de los Rodeos, los **vientos húmedos** soplan en la dirección NW y son poco frecuentes. Los **vientos muy húmedos** soplan en la dirección NW son dominantes. Humedad del aire media diaria 93% y 34.4 km/h, muy ventoso.



Rosas de humedades en las cresterías de la medianía alta y alta montaña

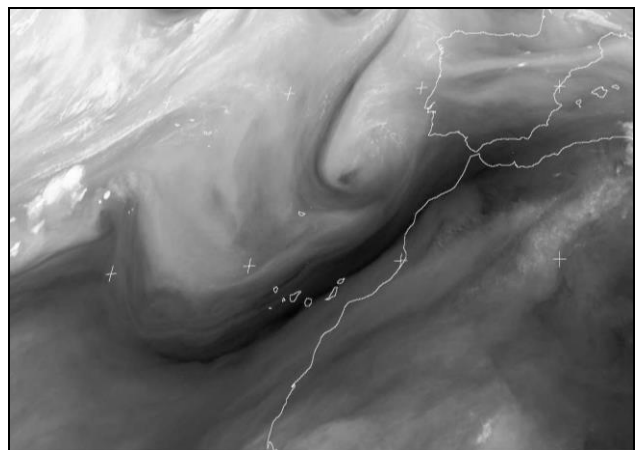
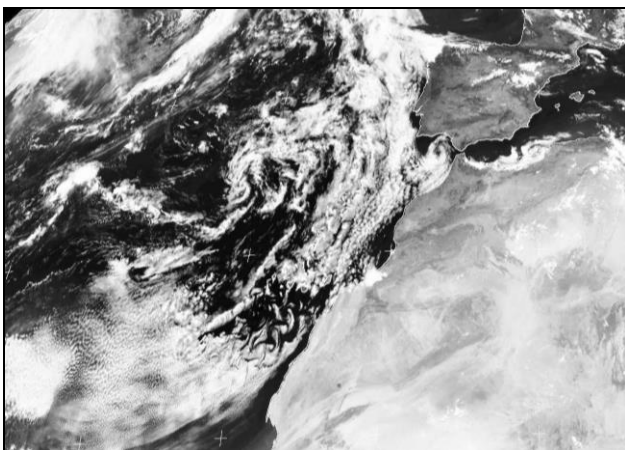
Llanos de los Loros, los **vientos muy húmedos** soplan en el sector NW a N y en la dirección NW son dominantes. Humedad del aire media diaria 100%, 24.2 km/h, muy ventoso y 2.8 mm, chubasco.

El **Gaitero**, los vientos soplan en el sector NW a N, los **vientos secos** soplan en el sector NW a N, en la dirección NW son frecuentes y en la dirección N son dominantes; los **vientos semisecos** y **vientos semihúmedos** soplan en la dirección NW y son frecuentes. Humedad del aire media diaria 36%, 23.6 km/h, muy ventoso y soleado.

20 DE JULIO DE 2013**Mapa sinóptico el 20 julio 2013 y radiosondeo a 12 h. Vientos húmedos en cotas < 1000 m**

El mapa sinóptico indica altas presiones poco intensas (1023 mb) centradas al oeste de las Azores, área depresionaria (1008 mb) centrada al oeste de Argelia; el flanco oriental del anticiclón no se extiende en el Sahara. Esta situación barométrica promueve el movimiento de aire oceánico fresco y húmedo con desplazamiento débil a moderado de componente noreste hacia Canarias en cotas inferiores a 1000 m. La costa y medianías de las islas están inmersas en un ambiente de contenido acuoso moderado. El desplazamiento de aire húmedo sobre las laderas de medianía alta y cresterías provoca la formación de nubosidad orográfica acompañada de nieblas, lloviznas y ligeros chubascos sobre las vertientes orientadas en el sector noroeste a noreste en horas matinales

Curva de estado real a mediodía: la temperatura desciende entre 105 m (vientos fuertes del ENE, 25.6 °C, 58%) y 970 m (vientos débiles del N, 16.8 °C, 78%), a partir de esa cota se observa un ascenso ligero de la temperatura hasta alcanzar 1370 m (vientos del N, 19.2 °C, 46%), **inversión térmica**. **Nubes estratiformes** de escaso desarrollo vertical; en la crestería, formación de **nubosidad orográfica**. La curva de **estado saturado**, muestra un **suave descenso** 105 m (16.6 °C) y 970 m (12.9 °C), la humedad del aire asciende desde 58% a 78%; **brusco descenso** de la humedad hasta 2040 m (-12.4 °C), la humedad desciende desde 78% a 12%. Presencia de polvo sahariano en concentración moderada; el viento sopla notablemente en dirección NE sobre el mar.

**Imágenes Meteosat 9 el 20 de julio de 2013 a 12 h. Nubes estratiformes y vientos N a NE**

Imágenes Meteosat (visible y vapor de agua) recogidas a las 12 h en la región canaria. Apreciamos la nubosidad típica de Tarfaya por efecto de los alisios. Nubosidad estratiforme generalizada en la región canaria, por tanto sobre la costa y medianías en todas las vertientes de las islas de mayor relieve por efecto de la irrupción de aire fresco y húmedo de componentes norte a noreste expulsado por el anticiclón y reforzado por la presencia de la baja sahariana. La **imagen de vapor de agua** nos indica la distribución del contenido acuoso atmosférico. Una tenue mancha blanquecina al norte de las islas; la troposfera canaria no contiene cantidades importantes de agua.

OBSERVACIONES METEOROLÓGICAS EL 20 DE JULIO DE 2013

COMARCAS DE ACENTEJO Y VALLE DE LA OROTAVA									
PLUVIÓMETRO	TEM	HUM	VEL	RAD	PREC	ETP	D1	D2	
LA LAGUNA - TEJINA	21.9	80.9	2.8	15.9	0.6	3.2	N		
SANTA ÚRSULA - EL MALPAÍS	22.0	76.5	4.7	26.2	0.0	4.8	NE	E	
VALLE GUERRA - ISAMAR	19.9	82.4	4.5	14.0	1.6	2.8	S		
TACORONTE - S.E.A.	20.6	81.7	6.3		1.2	0.7			
TEGUESTE - LA PADILLA	19.6	91.1	6.3	10.8	2.2	2.3			
VALLE GUERRA - GARIMBA	18.4	87.4	5.3	13.0	2.0	2.5	S		
SANTA ÚRSULA - LAS TIERRAS	19.7	81.5	4.4	14.4	0.0	3.0	N	SE	
SANTA ÚRSULA - LA CORUJERA	19.4	82.2	5.7	15.4	0.0	3.3			
LA VICTORIA - DEPÓSITO MARRERO	19.0	80.9	8.6		0.4	1.1			
TACORONTE - AGUA GARCÍA	16.9	96.7	4.7	10.2	1.7	1.9			
LA VICTORIA - EL LOMO	18.4	90.8	4.4	15.3	0.1	2.9			
LA MATANZA - CRUZ DEL CAMINO	17.4	94.5	2.0	18.1	1.2	3.1			
EL SAUZAL - RAVELO	15.2	95.7	4.7	10.6	3.1	1.9			
LA VICTORIA - GAITERO	14.1	59.0	28.9	34.0	0.0	5.6	W	NW	
PUERTO DE LA CRUZ - BOTÁNICO	22.1	71.2	1.4	18.7	0.0	3.6	SE		
LA OROTAVA - EL RINCÓN	21.1	76.8	4.2	13.5	0.0	3.0	N	NE	
LA OROTAVA - LA PERDOMA RATINO	20.7	80.2	4.4	12.5	0.0	2.7			
LA OROTAVA - LA PERDOMA - SUERTE	18.5	83.4	5.7	9.8	0.0	2.2			
LOS REALEJOS - PALO BLANCO	17.9	85.8	7.5	10.5	0.0	2.2			
LA OROTAVA - BENIJOS	15.3	97.0	7.1	8.5	0.0	1.5			
LA OROTAVA - AGUAMANSA	14.2	88.7	2.9	11.4	0.0	2.0			

COMARCAS DE ICODEN Y DAUTE									
PLUVIÓMETRO	TEM	HUM	VEL	RAD	PREC	ETP	D1	D2	
LA GUANCHA - CHARCO DEL VIENTO	23.3	75.8	3.6	16.3	0.0	3.5	E	SE	
ICOD DE LOS VINOS - PARQUE DRAGO	21.9	70.8	5.0	14.4	0.0	3.3	SE	NW	
SAN JUAN RAMBLA - EL MIRADOR	19.4	83.7	17.7		0.0				
ICOD - LOS VINOS - STA BÁRBARA	20.4	88.0	3.5	12.4	0.0	2.5			
ICOD - LOS VINOS - REDONDO	18.6	81.8	2.7	10.9	0.0	2.3			
LOS REALEJOS - ICOD EL ALTO	17.5	97.4	11.5	9.5	0.0	1.7			
BUENAVISTA DEL NORTE - ICIA	22.5	69.9	13.0	21.2	0.0	5.0	SE		
BUENAVISTA DEL NORTE AGROCABILDO	22.8	73.3	11.7	23.2	0.0	5.0	E	NE	
LOS SILOS - TIERRA DEL TRIGO	20.5	81.1	6.1	15.1	0.0	3.3			
BUENAVISTA DEL NORTE - PALMAR	18.7	83.3	11.3	16.9	0.0	3.3			
EL TANQUE - RUIGÓMEZ	16.2	94.3	12.0	12.6	0.0	2.0			

COMARCAS DE ISORA Y ABONA								
PLUVIÓMETRO	TEM	HUM	VEL	RAD	PREC	ETP	D1	D2
GUÍA DE ISORA - CUEVA DEL POLVO	22.5	74.3	4.0	24.9	0.0	4.6	E	
GUÍA ISORA - PLAYA DE ALCALÁ	22.9	76.1	1.3	24.1	0.0	4.4	S	SW
ARONA - LAS GALLETAS	23.0	66.8	3.5	19.5	0.0	4.0	S	W
ADEJE - LA CALDERA	22.4	74.1	6.4		0.0			
GUÍA DE ISORA	20.1	79.3	8.4	19.2	0.0	3.7	S	SE
GUÍA DE ISORA - EL POZO	18.8	85.5	5.6	20.2	0.0	3.5		
GUÍA DE ISORA - CHIO	17.7	83.9	5.5	18.7	0.0	3.3		
SANTIAGO DEL TEIDE - VALLE ARRIBA	17.2	74.7	20.4	29.0	0.0	4.6		
GUÍA DE ISORA - ARIPE - LLANITOS	16.9	79.2	4.0	28.7	0.0	4.6		
GUÍA DE ISORA - CHAVAO	18.0	32.1	5.2	34.0	0.0	6.1	NE	S
ARICO - LLANOS DE SAN JUAN	21.9	51.7	20.5	27.6	0.0	7.0	NE	SW
AEROPUERTO REINA SOFIA	23.7	70.1	21.6		0.0			
ARICO - ICOR	19.2	77.2	9.6	26.5	0.0	4.6	SW	E
ARICO - TEGUEDITE - EL VISO	19.5	89.4	11.6	25.3	0.0	4.0		
ARICO - LA DEGOLLADA	20.3	78.9	15.2		0.0			
GÜIMAR - LOMO MENA	20.4	82.7	7.1	29.0	0.0	5.0		
GRANADILLA - CHARCO PINO	19.5	89.3	8.3	24.3	0.0	4.1		
GRANADILLA - EL PINALETE	18.0	80.4	6.8	27.0	0.0	4.5		
ARICO - EL BUENO - LOS HELECHOS	18.4	71.6	5.6	26.5	0.0	4.6	NE	E
VILAFLOR - EL FRONTÓN	18.6	52.6	6.0	31.2	0.0	5.6	NW	SE

COMARCA DE VALLE DE GÜIMAR Y SURESTE - ANAGA								
PLUVIÓMETRO	TEM	HUM	VEL	RAD	PREC	ETP	D1	D2
GÜIMAR - TOPO NEGRO	22.8	76.7	6.6	28.7	0.0	5.4		
GÜIMAR - BARRANCO BADAJOZ	22.1	75.7	6.8	26.9	0.0	5.0		
CANDELARIA - LAS CUEVECITAS	21.6	67.2	9.7		0.0			
CANDELARIA - ARAYA	22.0	64.6	2.3	31.9	0.0	5.7	SW	NE
ARAFO - ANAVINGO	20.7	78.7	6.1	29.2	0.0	5.1		
SANTA CRUZ TENERIFE - CRUZ SEÑOR	22.4	70.2	10.2	24.3	0.0	5.2	N	NE
SANTA CRUZ DE TENERIFE	23.4	65.4	8.9		0.0			
EL ROSARIO - LOS BALDÍOS	15.8	89.3	22.5	21.3	3.4	3.0		
AEROPUERTO DE LOS RODEOS	17.3	97.3	34.8		1.7		NW	N
SANTA CRUZ - IGUESTE SAN ANDRÉS	22.5	71.6	8.9	15.7	0.0	3.9	N	NW
SANTA CRUZ - SAN ANDRÉS	22.9	70.6	9.6	0.0	0.0			
ANAGA - TAGANANA	19.1	92.0	11.8	8.6	1.4	1.8	NW	W
ANAGA - LLANOS DE LOS LOROS	14.9	99.7	30.7		5.4		NW	

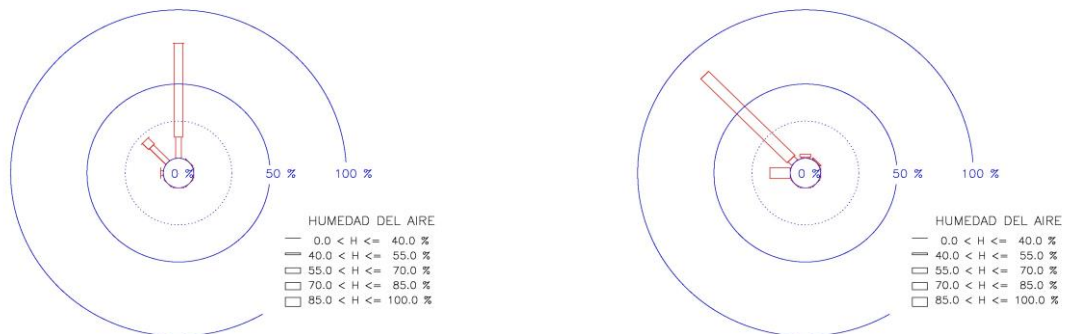
PARQUE NACIONAL DEL TEIDE								
PLUVIÓMETRO	TEM	HUM	VEL	RAD	PREC	ETP	D1	D2
RISCO VERDE	15.9	34.5	13.6		0.0			
PARADOR TURISMO	17.6	30.4	12.9		0.0			

COMPORTAMIENTO DE LA DIRECCIÓN DEL VIENTO Y DE SU CONTENIDO ACUOSO

SANTA CRUZ TFE – IGUESTE SAN ANDRES 20 / JULIO

/ 2013 SANTA CRUZ TFE – TAGANANA

20 / JULIO / 2013



Rosas de humedades en la costa

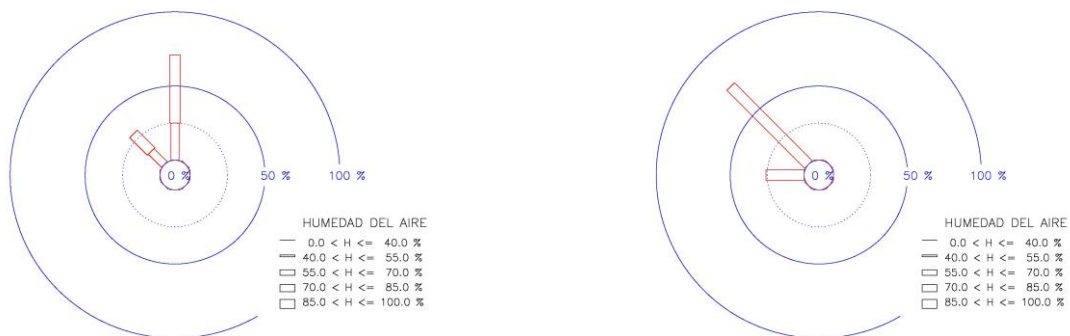
Igueste San Andrés, los vientos **semihúmedos** soplan en el sector NW a N y son poco frecuentes; los **vientos húmedos** soplan en el sector NW a N y en la dirección N son dominantes. Humedad del aire media diaria 72%, 8.9 km/h, ligeramente ventoso, nubes y claros.

Taganana, los **vientos húmedos** soplan en el sector NW a N y son poco frecuentes. Los **vientos muy húmedos** soplan en el sector W a NW y en la dirección NW son dominantes. Humedad del aire media diaria 92%, 11.8 km/h, moderadamente ventoso, cubierto y 1.4 mm, lloviznoso.

LA LAGUNA – VALLE GUERRA – GARIMBA 20 / JULIO

/ 2013 AEROPUERTO TENERIFE NORTE – LOS RODEOS 20 / JULIO

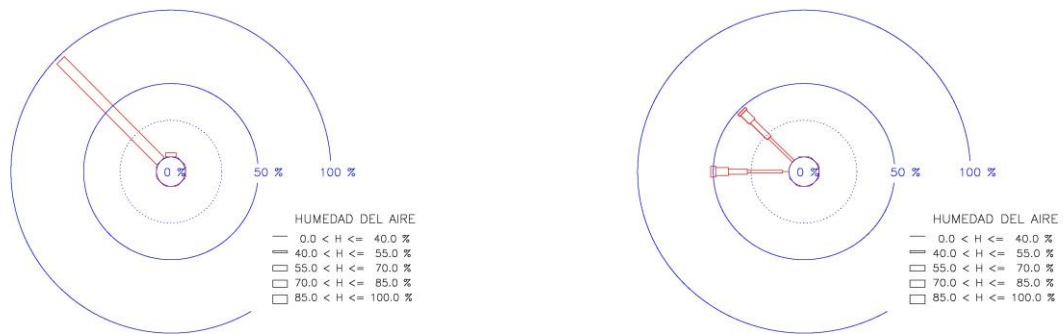
/ 2013



Rosas de humedades en la medianía baja

Garimba, los **vientos húmedos** soplan en el sector NW a N y en la dirección N son frecuentes. Los **vientos muy húmedos** soplan en el sector NW a N y en la dirección N son dominantes. Humedad del aire media diaria 87%, 5.3 km/h, poco ventoso, cubierto y 2 mm, lloviznoso.

Aeropuerto de los Rodeos, los **vientos muy húmedos** soplan en el sector W y NW, en la dirección W son frecuentes y en la dirección NW son dominantes. Humedad del aire media diaria 97% y 34.8 km/h, muy ventoso y 1.7 mm, lloviznoso.



Rosas de humedades en las cresterías de la medianía alta y alta montaña

Llanos de los Loros, los **vientos muy húmedos** soplan en el sector NW a N y en la dirección NW son dominantes. Humedad del aire media diaria 100%, 20.7 km/h, muy ventoso y 5.4 mm, ligeros chubascos.

El **Gaitero**, los vientos soplan en el sector W a NW, los **vientos secos** soplan en la dirección W y son poco frecuentes. Los **vientos semisecos** soplan el sector W a NW y son frecuentes. Los **vientos semihúmedos, húmedos y muy húmedos** soplan en el sector W a NW y son poco frecuentes. Humedad del aire media diaria 59%, 28.9 km/h, muy ventoso y soleado.

16.2 CAPA SEMIHÚMEDA EN COSTA Y CAPA MUY HÚMEDA EN MEDIANÍA ALTA



Cascada de nubes en las cresterías de las Cumbres de Anaga.

Los vientos marinos llegan a la costa del macizo de Anaga frecuentemente en el sector noroeste a noreste, ascienden por las laderas boscosas, peinan la vegetación de la crestería, y posterior son obligados a descender por la ladera opuesta formando una auténtica cascada nubosa que en muchas ocasiones van acompañadas de lloviznas. El manto nuboso se deshace cuando alcanza las cotas más bajas. El viento es más cálido y semihúmedo en la orilla opuesta. Foto: Julio Muñiz Padilla



Aspecto del interior del bosque cuando la masa nubosa atraviesa el arbolado. La **precipitación de niebla** sobre todos los obstáculos es importante durante el periodo diurno; y la **precipitación de rocío** tiene importancia hidrológica durante el periodo nocturno. El bosque expuesto a los vientos húmedos adquiere su máximo esplendor, vegetación exuberante sobre suelos fértiles rebosantes de agua. La espesura de la vegetación oscurece el interior de la masa boscosa. Foto: Cristóbal Rodríguez Piñero.

La elección de esta sección muestra la frecuencia de episodios higrométricos extremos, grandes contrastes de humedad entre la costa y la crestería; la costa en situación poco probable de llovizna y la crestería envuelta en un manto nuboso, cascada de nubes orográficas típica en Anaga

PORCENTAJES MENSUALES DE DÍAS CON HUMEDADES DEL AIRE INFERIORES A 70% EN LA COSTA Y SUPERIORES A 80% EN CRESTERÍA. TRANSECTO INTERIOR DE LA PENÍNSULA DE ANAGA

1	2	3	ENE	FEB	MAR	ABR	MAY	JUN	JUL	AGO	SEP	OCT	NOV	DIC	TOTAL
85%	70%	70%	3.2	8.9	0.0	8.3	11.3	1.7	0.0	0.0	0.0	1.1	1.1	4.3	3.1
OBS ACUMULA			2	5	0	5	7	1	0	0	0	1	1	4	
85%	70%	65%	3.2	8.9	0.0	8.3	11.3	1.7	0.0	0.0	0.0	0.0	1.1	3.2	2.8
OBS ACUMULA			2	5	0	5	7	1	0	0	0	0	1	3	
85%	65%	65%	0.0	1.8	0.0	0.0	0.0	0.0	0.0	0.0	0.0	0.0	1.1	0.0	0.2
OBS ACUMULA			0	1	0	0	0	0	0	0	0	0	1	0	
85%	65%	60%	0.0	1.8	0.0	0.0	0.0	0.0	0.0	0.0	0.0	0.0	0.0	0.0	0.1
OBS ACUMULA			0	1	0	0	0	0	0	0	0	0	0	0	
80%	70%	70%	6.5	14.3	0.0	10.0	12.9	1.7	0.0	0.0	0.0	1.1	3.3	7.5	4.5
OBS ACUMULA			4	8	0	6	8	1	0	0	0	1	3	7	
80%	70%	65%	6.5	14.3	0.0	10.0	11.3	1.7	0.0	0.0	0.0	0.0	2.2	6.5	4.0
OBS ACUMULA			4	8	0	6	7	1	0	0	0	0	2	6	
80%	65%	65%	1.6	3.6	0.0	1.7	0.0	0.0	0.0	0.0	0.0	0.0	2.2	2.2	0.9
OBS ACUMULA			1	2	0	1	0	0	0	0	0	0	2	2	
80%	65%	60%	0.0	3.6	0.0	1.7	0.0	0.0	0.0	0.0	0.0	0.0	0.0	2.2	0.6
OBS ACUMULA			0	2	0	1	0	0	0	0	0	0	0	2	
MESES OBSERV			2	3	3	3	3								

Transecto interior, el análisis de la tabla independiente de la terna referencia elegida, desvela que la troposfera tiene **moderados contrastes higrométricos** en febrero, abril y mayo, y **contrastos menos definidos** en marzo, julio, agosto y septiembre donde no registran ningún episodio con características climáticas previamente seleccionadas. Estas afirmaciones higrométricas deben aceptarse con **ciertas reservas**, ya que la muestra de observaciones está formada con pocos meses. La tabla es un esquema aproximado del comportamiento de la troposfera de Anaga.

1. Llanos los Loros
2. Taganana
3. Igueste San Andrés



Borde noroccidental del macizo de Anaga, valle de Tegueste. Superficie poco accidentada e inclinación suave. Zonas urbana y agraria. Fotografía realizada en sentido paralelo al eje de la cordillera de Anaga este a oeste. Foto: Julio Muñoz Padilla.

PORCENTAJES MENSUALES DE DÍAS CON HUMEDADES DEL AIRE INFERIORES A 70% EN LA COSTA Y SUPERIORES A 80% EN CRESTERÍA. TRANSECTO EXTERIOR DE LA PENÍNSULA DE ANAGA

1	2	3	ENE	FEB	MAR	ABR	MAY	JUN	JUL	AGO	SEP	OCT	NOV	DIC	TOTAL
85%	70%	70%	19.4	25.9	12.1	23.3	28.2	16.7	2.4	1.6	4.2	11.3	16.7	19.4	15.0
OBS ACUMULA			24	29	15	28	35	20	3	2	5	14	20	24	
85%	70%	65%	16.1	25.0	11.3	22.5	28.2	16.7	2.4	1.6	4.2	10.5	16.7	16.9	14.2
OBS ACUMULA			20	28	14	27	35	20	3	2	5	13	20	21	
85%	65%	65%	4.8	8.9	0.8	6.7	9.7	2.5	0.8	0.0	0.8	1.6	5.0	2.4	3.6
OBS ACUMULA			6	10	1	8	12	3	1	0	1	2	6	3	
85%	65%	60%	2.4	8.0	0.8	6.7	9.7	2.5	0.8	0.0	0.8	1.6	2.5	1.6	3.1
OBS ACUMULA			3	9	1	8	12	3	1	0	1	2	3	2	
80%	70%	70%	21.0	33.0	12.9	27.5	30.6	16.7	2.4	1.6	4.2	12.9	18.3	23.4	16.9
OBS ACUMULA			26	37	16	33	38	20	3	2	5	16	22	29	
80%	70%	65%	17.7	31.2	12.1	26.7	30.6	16.7	2.4	1.6	4.2	10.5	17.5	21.0	15.9
OBS ACUMULA			22	35	15	32	38	20	3	2	5	13	21	26	
80%	65%	65%	5.6	14.3	1.6	7.5	10.5	2.5	0.8	0.0	0.8	1.6	5.0	4.0	4.5
OBS ACUMULA			7	16	2	9	13	3	1	0	1	2	6	5	
80%	65%	60%	2.4	10.7	1.6	7.5	10.5	2.5	0.8	0.0	0.8	1.6	2.5	2.4	3.6
OBS ACUMULA			3	12	2	9	13	3	1	0	1	2	3	3	
MESES OBSERV			4	4	4	4	4	4	4	4	4	4	4	4	

Transecto exterior, desvela una la troposfera con **notables contrastes higrométricos** en febrero, abril, mayo y diciembre, y **contrastos menos definidos** en julio, agosto y septiembre, donde agosto no registra ningún episodio. Estas afirmaciones higrométricas deben aceptarse con **ciertas reservas**.

1. Llanos los Loros
2. Pico de Tejina
3. San Andrés

CONCLUSIÓN

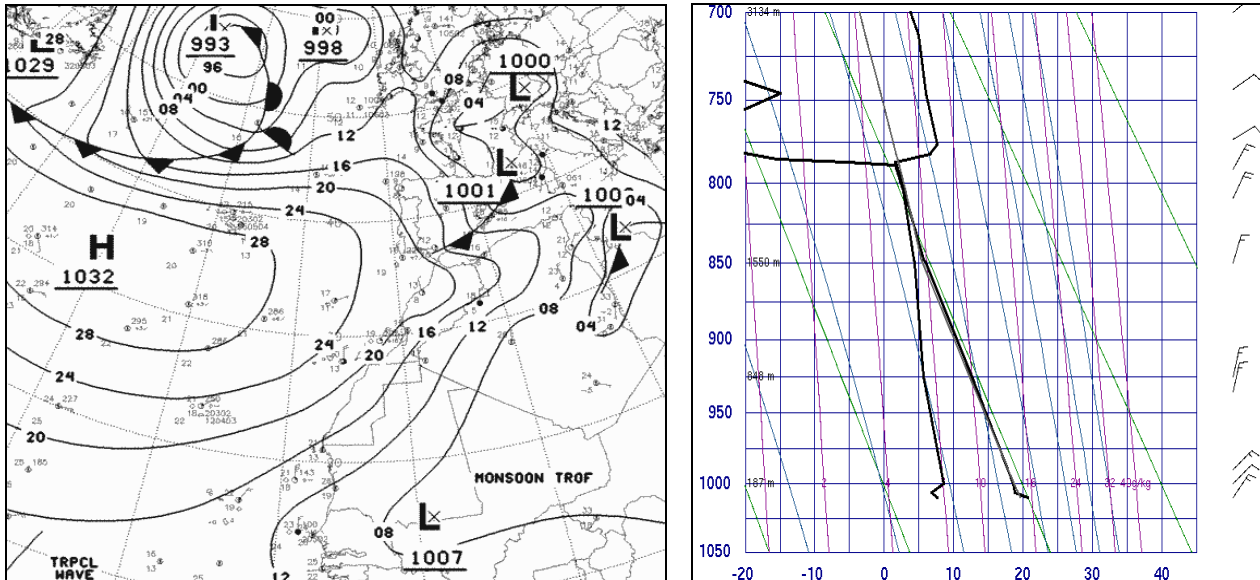
La comparación de porcentajes entre ambas tablas nos indica que la parte central de la península de Anaga es ligeramente más húmeda que su borde occidental. **La costa occidental del macizo es notablemente “menos húmeda” que la costa central del macizo.** Los vientos marítimos superficiales que llegan a la costa tienen mayor incidencia en el relieve escarpado que en las superficies urbanas y zonas cultivadas.

En ambos transectos, los contrastes entre **la capa semihúmeda costera y capa muy húmeda de cumbre** está bien definida cuando la terna de humedad de referencia está formada por los valores 80% (cumbre) y 70% (costa); lo contrario, las posibilidades de encontrar días cuyas terna de humedades de referencia incluya valores superiores al 85% (cumbre) e inferiores al 65% (costa) son de menor importancia, episodios meteorológicos menos probables en días de intensa nubosidad orográfica, “mar de nubes bravo” y la costa permanece soleada, cálida con vientos muy débiles a moderados. Las causas de porcentajes mensuales de mayor cuantía los podemos encontrar en situaciones barométricas donde los vientos son húmedos a cierta altura sobre el mar, mientras la costa recibe vientos suaves moderadamente húmedos y calientes, probablemente acompañados de arena sahariana. No podemos asegurar que estos episodios sucedan siempre cuando soplan los alisios, ya que en la costa septentrional de Tenerife los vientos soplan frecuentemente en el sector noroeste a noreste. La situación barométrica típica sucede cuando altas presiones intensas está centrada al oeste de las Azores y un área depresionaria extensa está localizada entre el sur de Argelia y oeste de Mauritania. Esta situación barométrica promueve el movimiento de aire ligeramente húmedo con desplazamiento débil a moderado de componente noreste hacia Canarias en cotas inferiores a 2000 m.

En ambos transectos, los episodios higrométricos en las condiciones previamente seleccionadas suceden en pocas ocasiones y sus efectos se hacen notar moderadamente en febrero, abril y mayo; lo contrario, sus efectos son irrelevantes en julio, agosto y septiembre. Los días efectivos de estos episodios tienen lugar cuando alcanzan la isla las irrupciones atlánticas septentrionales de aire húmedo y fresco que se desplaza moderadamente sobre un “colchón de aire” menos húmedo y cálido procedente del núcleo de altas presiones noroccidental del continente africano.

DÍAS QUE CONFIRMAN UNA TROPOPOSA CON NOTABLE CONTRASTE HIGROMÉTRICO ENTRE LA COSTA Y CRESTERÍA

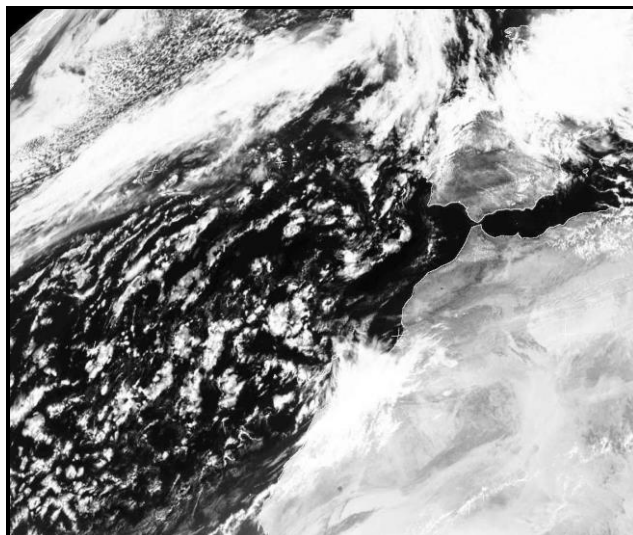
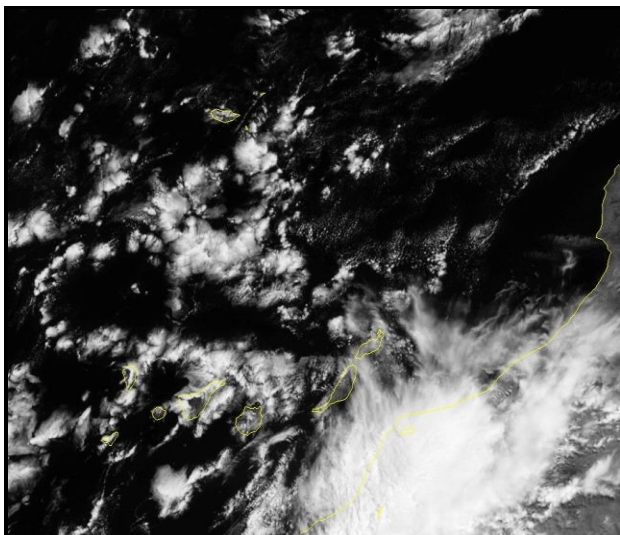
21 DE MAYO DE 2012



Mapa sinóptico el 21 mayo 2012 y radiosondeo a 12 h. Vientos húmedos en cotas < 250 m

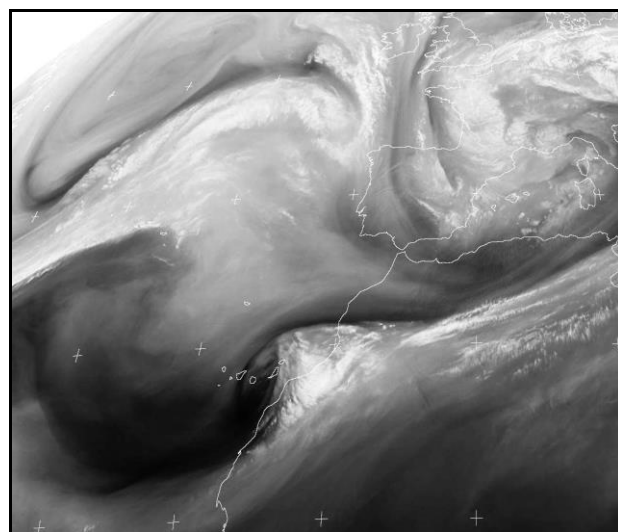
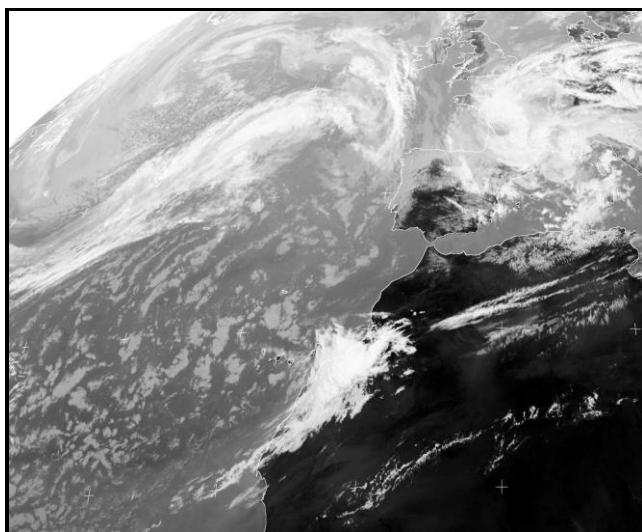
El mapa sinóptico indica altas presiones intensas (1032 mb) centradas al oeste de las Azores, área depresionaria extensa (1008 mb) en el sur de Argelia y oeste de Mauritania; el flanco oriental del anticiclón se extiende sobre la superficie noroccidental del continente africano. Esta situación barométrica promueve el movimiento de aire ligeramente húmedo con desplazamiento débil a moderado de componente noreste hacia Canarias en cotas inferiores a 2200 m. La costa y medianías de las islas están inmersas en un ambiente de contenido acuoso moderado, excepto en zonas de medianías altas y cresterías donde está presente la nubosidad orográfica acompañada de nieblas en el relieve orientado en el sector noroeste a noreste en horas matinales.

Curva de estado real a mediodía: la temperatura desciende entre 105 m (vientos moderados del NE, 20.6 °C, 45%) y 2160 m (vientos moderados del NE, 1.8 °C, 99%), a partir de esa cota se observa un ascenso brusco de la temperatura hasta alcanzar 2375 m (vientos del ENE, 7.1 °C, 5%), inversión térmica. Nubes estratiformes de escaso desarrollo vertical; en la medianía alta y crestería, formación de **nubosidad orográfica**. La curva de **estado saturado**, muestra un **suave descenso** 105 m (7.6 °C) y 2160 m (-5.6 °C), la humedad del aire asciende uniforme desde 45% a 99%; **descenso muy brusco** de la humedad hasta 2325 m (-29.8 °C), la humedad desciende desde 99% a 5%. Presencia de polvo sahariano en concentración moderada; el viento sopla notablemente en dirección NE sobre la superficie marina.



Imágenes Meteosat 9 el 21 de mayo de 2012 a 12 h. Nubes estratiformes y vientos N a NE

Imágenes Meteosat (visible) recogidas a las 12 h en la región canaria. En ambas imágenes apreciamos la nubosidad de Tarfaya a causa de los vientos alisios. Nubosidad estratiforme generalizada en la región canaria, por tanto sobre la costa y medianías en todas las vertientes de las islas de mayor relieve por efecto de la irrupción de aire fresco y húmedo de componente norte a noreste procedente principalmente del extenso anticiclón atlántico



Imágenes Meteosat (infrarrojo y vapor de agua) a las 12 h. En ambas imágenes apreciamos el contenido acuoso de la atmósfera. La **imagen infrarroja** nos indica nubes **estratiformes de escaso espesor** en las islas occidentales, superficie nubosa irregular, nubes y claros en la región canaria. La **imagen vapor de agua** nos indica la distribución del contenido acuoso atmosférico, zonas de diferentes tonalidades en forma de tenues manchas blanquecinas; la troposfera canaria contiene menor cantidad de agua en comparación con la zona costera africana.

OBSERVACIONES METEOROLÓGICAS EL 21 DE MAYO DE 2012

COMARCAS DE ACENTEJO Y VALLE DE LA OROTAVA								
PLUVIÓMETRO	TEM	HUM	VEL	RAD	PREC	ETP	D1	D2
LA LAGUNA - TEJINA	18.9	61.0	11.2	20.5	0.0	2.2	N	NE
SANTA ÚRSULA - EL MALPAÍS	17.8	60.8	5.3	16.1	0.0	1.1	NE	E
VALLE GUERRA - ISAMAR	17.1	64.8	5.2	21.0	0.0	1.0	SE	
TACORONTE - S.E.A.	17.6	64.8	14.4		0.0	2.4		
TEGUESTE - LA PADILLA	16.8	66.0	8.3	16.6	0.1	1.5		
VALLE GUERRA - GARIMBA	15.5	67.1	9.3	19.8	0.0	1.6	SE	
SANTA ÚRSULA - LAS TIERRAS	15.2	72.8	4.8	14.1	0.4	0.8	N	E
SANTA ÚRSULA - LA CORUJERA	14.8	73.3	6.3	12.3	0.0	0.8		
LA VICTORIA - DEPÓSITO MARRERO	14.4	72.1	10.4		0.0			
TACORONTE - AGUA GARCÍA	10.9	73.8	7.8	18.3	0.1	0.8		
LA VICTORIA - EL LOMO	13.7	70.4	5.4	12.9	0.0	0.9		
LA MATANZA - CRUZ DEL CAMINO	12.9	73.5	3.6	16.2	0.2	0.6		
EL SAUZAL - RAVELO	11.1	89.1	5.8	13.8	0.6	0.4	N	NW
LA VICTORIA - GAITERO	4.7	92.8	29.6	12.4	0.3	0.6	NW	W
PUERTO DE LA CRUZ - BOTÁNICO	18.3	62.2	2.1	17.1	0.0	0.4	NW	
LA OROTAVA - EL RINCÓN	17.4	63.7	4.9	14.2	0.0	0.9	NE	E
LA OROTAVA - LA PERDOMA RATINO	16.4	68.7	5.0	13.3	0.2	0.8		
LA OROTAVA - LA PERDOMA - SUERTE	14.3	74.2	7.5	11.8	0.0	0.8		
LOS REALEJOS - PALO BLANCO	13.5	77.0	7.7	10.5	0.5	0.7		
LA OROTAVA - BENIJOS	10.5	83.7	9.7	9.6	0.1	0.4		
LA OROTAVA - AGUAMANSA	9.7	90.8	3.7	10.0	0.0	0.1	N	S

COMARCAS DE ICODEN Y DAUTE								
PLUVIÓMETRO	TEM	HUM	VEL	RAD	PREC	ETP	D1	D2
LA GUANCHA - CHARCO DEL VIENTO	19.4	64.4	5.0	18.3	0.0	1.1	E	SE
SAN JUAN RAMBLA - EL MIRADOR	16.9	89.9	17.7		0.2			
ICOD - LOS VINOS - STA BÁRBARA	15.9	63.9	4.0	16.7	0.6	0.7		
ICOD - LOS VINOS - REDONDO	13.7	79.4	3.5	14.2	0.4	0.4		
LOS REALEJOS - ICOD EL ALTO	12.9	81.6	13.5	9.9	0.7	0.9		
BUENAVISTA DEL NORTE - ICIA	19.2	59.5	13.7	23.3	0.0	2.6	SE	
BUENAVISTA DEL NORTE - AGROCABILDO	19.5	61.4	14.5	22.4	0.0	2.8	E	NE
LOS SILOS	20.0	62.7	25.2		0.0	3.8		
LOS SILOS - TIERRA DEL TRIGO	16.2	73.8	6.6	18.5	0.2	0.9		
BUENAVISTA DEL NORTE - PALMAR	14.6	75.5	13.1	19.4	0.1	1.4		
EL TANQUE - RUIGÓMEZ	11.8	89.3	13.1	15.8	0.5	0.6		

COMARCAS DE ISORA Y ABONA								
PLUVIÓMETRO	TEM	HUM	VEL	RAD	PREC	ETP	D1	D2
GUÍA DE ISORA - CUEVA DEL POLVO	20.1	55.0	3.5	19.7	0.0	1.0	E	
ARONA - LAS GALLETAS	19.9	54.1	12.7	14.0	0.0	2.9	E	
GUÍA ISORA - PLAYA DE ALCALÁ	20.1	52.3	1.0	20.4	0.0	0.4	SW	E
ARONA - LAS GALLETAS	19.7	50.0	6.2	15.4	0.0	1.8	N	NE
ADEJE - LA CALDERA	20.2	55.5	5.4		0.0			
GUÍA DE ISORA	16.9	62.8	5.0	16.6	0.0	1.0	SW	S
GUÍA DE ISORA - EL POZO	15.2	69.4	5.9	13.3	0.0	1.0		
GUÍA DE ISORA - CHIO	13.9	69.0	5.8	13.4	0.0	0.9		
SANTIAGO DEL TEIDE - VALLE ARRIBA	10.8	76.5	20.3	15.0	0.0	1.5		
GUÍA DE ISORA - ARIPE - LLANITOS	11.4	77.6	3.3	11.3	0.0	0.4		
GUÍA DE ISORA - CHAVAO	10.0	39.2	4.6	27.4	0.0	1.1	E	NW
ARICO - LLANOS DE SAN JUAN	19.1	67.5	29.7	28.5	0.0	3.3	NE	N
AEROPUERTO REINA SOFIA	20.6	53.0	33.4		0.0	5.4		
ARICO - ICOR	15.9	62.7	8.3	25.2	0.0	1.6	NE	E
ARICO - TEGUEDITE - EL VISO	15.9	62.2	19.2	25.0	0.0	2.9		
ARICO - LA DEGOLLADA	16.7	65.4	21.2		0.0			
GÜIMAR - LOMO MENA	16.3	65.5	9.4	26.2	0.0	1.7		
GRANADILLA - CHARCO PINO	15.8	79.4	15.9	25.3	0.0	1.5		
GRANADILLA - EL PINALETE	12.8	73.2	11.7	24.1	0.0	1.4		
ARICO - EL BUENO - LOS HELECHOS	11.9	78.2	9.4	22.4	0.0	1.0	NE	NW
VILAFLOR - EL FRONTÓN	10.6	66.3	6.3	24.1	0.0	0.8	NW	S
ARICO - LOS PICACHOS	8.9	65.8	13.5	20.7	0.0	1.4	NE	E

COMARCA DE VALLE DE GÜIMAR Y SURESTE - ANAGA								
PLUVIÓMETRO	TEM	HUM	VEL	RAD	PREC	ETP	D1	D2
GÜIMAR - TOPO NEGRO	18.0	59.5	14.4	23.8	0.0	2.5		
GÜIMAR - LA PLANTA	19.2	54.5	16.1	23.7	0.0	3.2	NE	
GÜIMAR - BARRANCO BADAJOZ	17.4	61.8	9.0	18.8	0.0	1.8		
CANDELARIA - LAS CUEVECITAS	16.8	42.3	15.9		0.0			
CANDELARIA - ARAYA	16.5	57.2	6.3	23.1	0.0	1.5	S	N
ARAFO - ANAVINGO	15.1	60.4	8.2	25.9	0.0	4.5		
SANTA CRUZ TENERIFE - CRUZ SEÑOR	19.0	56.4	6.4	19.1	0.0	1.6	NE	N
SANTA CRUZ DE TENERIFE	19.5	53.9	8.2		0.0			
EL ROSARIO - LOS BALDÍOS	12.8	69.4	11.5	17.9	0.3	1.5		
AEROPUERTO DE LOS RODEOS	14.5	72.1	20.3		0.1		N	NW
SANTA CRUZ - IGUESTE SAN ANDRÉS	19.3	58.5	7.3	15.2	0.2	3.9	NW	N
SANTA CRUZ - SAN ANDRÉS	19.9	56.1	8.5		0.0			
ANAGA - TAGANANA	16.6	70.0	11.1	13.2	0.0	3.2	NE	N
ANAGA - LLANOS DE LOS LOROS	11.0	90.2	10.2		1.4		N	NW

PARQUE NACIONAL DEL TEIDE								
PLUVIÓMETRO	TEM	HUM	VEL	RAD	PREC	ETP	D1	D2
LA OROTAVA - OBSERVATORIO IZANA	8.1	25.7	14.1					
TIRO GUANCHE	10.7	31.0	4.1		0.0			
RISCO VERDE	10.1	20.2	5.9		0.0			
PARADOR TURISMO	11.2	16.0	14.3		0.0			

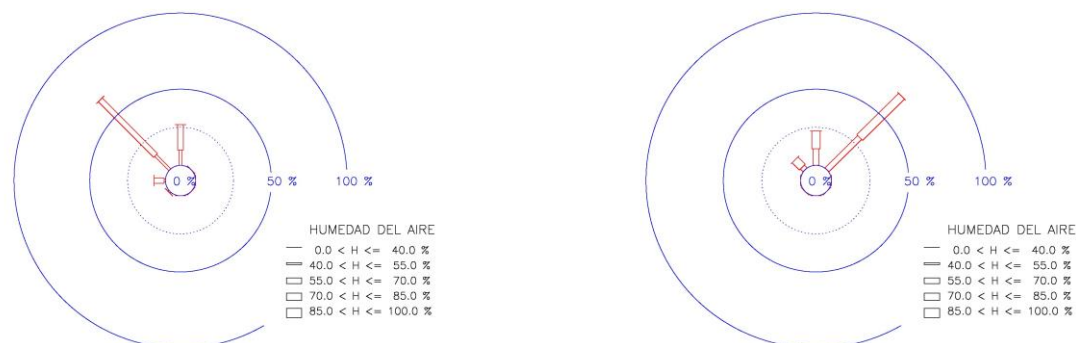
COMPORTAMIENTO DE LA DIRECCIÓN DEL VIENTO Y DE SU CONTENIDO ACUOSO

SANTA CRUZ TFE – IGUESTE SAN ANDRES 21 / MAYO

/ 2012 SANTA CRUZ TFE – TAGANANA

21 / MAYO

/ 2012



Rosas de humedades en la costa

Igueste San Andrés, los vientos **semisecos** soplan en el sector NW a N y en la dirección NW son frecuentes; los **vientos semihúmedos** soplan en el sector W a N, en la dirección N son frecuentes y en la dirección NW son dominantes. Humedad del aire media diaria 59%, 7.3 km/h, ligeramente ventoso, nubes y claros y 0.2 mm, llovizna.

Taganana, los **vientos semihúmedos** y **vientos húmedos** soplan en el sector NW a NE y en la dirección NE son frecuentes. Humedad del aire media diaria 70%, 11.1 km/h, moderadamente ventoso y cubierto.

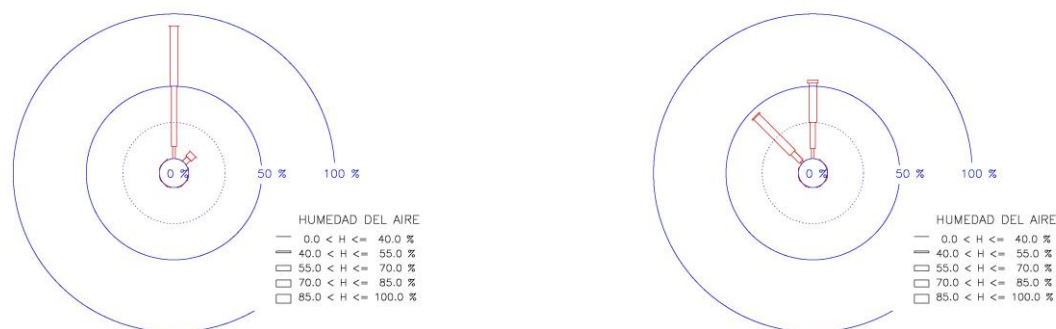
LA LAGUNA – VALLE GUERRA – GARIMBA

G21 / MAYO

/ 2012 AEROPUERTO TENERIFE NORTE – LOS RODEOS

21 / MAYO

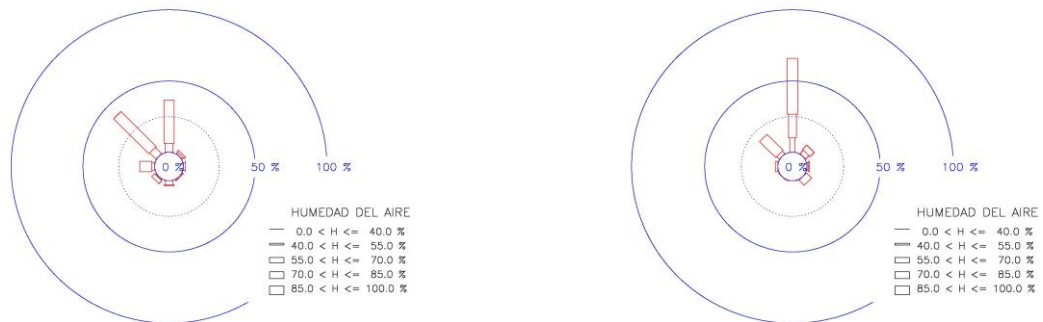
/ 2012



Rosas de humedades en la medianía baja

Garimba, los **vientos semisecos** soplan en la dirección N y son poco frecuentes. Los **vientos semihúmedos** soplan en el sector N a NE y en la dirección N son dominantes. Los **vientos húmedos** soplan en el sector N a NE y en la dirección N son frecuentes. Humedad del aire media diaria 67%, 9.3 km/h, poco ventoso y soleado.

Aeropuerto de los Rodeos, los **vientos semisecos** soplan en el sector NW a N y son poco frecuentes. Los **vientos semihúmedos** soplan en el sector NW a N y en la dirección N son frecuentes. Los **vientos húmedos** soplan en el sector NW y W, y son frecuentes. Los **vientos muy húmedos** soplan en el sector NW a N y son irrelevantes. Humedad del aire media diaria 72% y 20.3 km/h, ventoso.

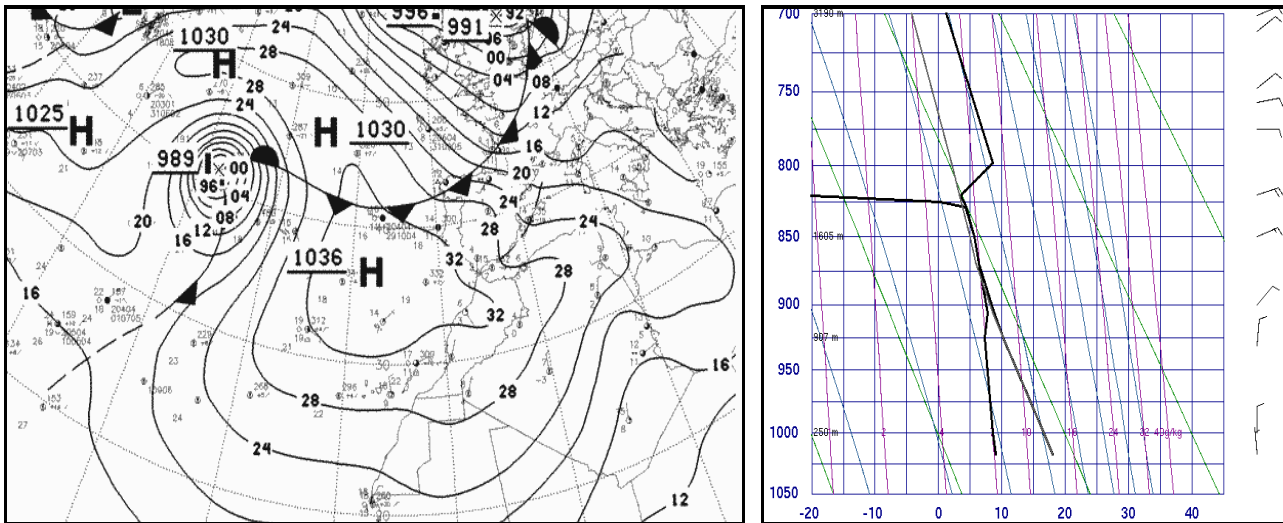


Rosas de humedades en la medianía alta

Llanos de los Loros, los **vientos húmedos** soplan en todas las direcciones y el sector NW a N son poco frecuentes. Los **vientos muy húmedos** soplan en el sector W a N, en el sector NW a N son frecuentes. Humedad del aire media diaria 90%, 10.2 km/h, moderadamente ventoso y 1.4 mm, lloviznoso.

Ravelo, los **vientos semihúmedos** soplan en la dirección N y son poco frecuentes. Los **vientos húmedos** soplan en el sector NW a NE y en la dirección N son frecuentes. Los **vientos muy húmedos** soplan en el sector W y SE, en la dirección NW son frecuentes y en la dirección N son dominantes. Humedad del aire media diaria 89% y 5.8 km/h, poco ventoso, cubierto y 0.6 mm, lloviznoso.

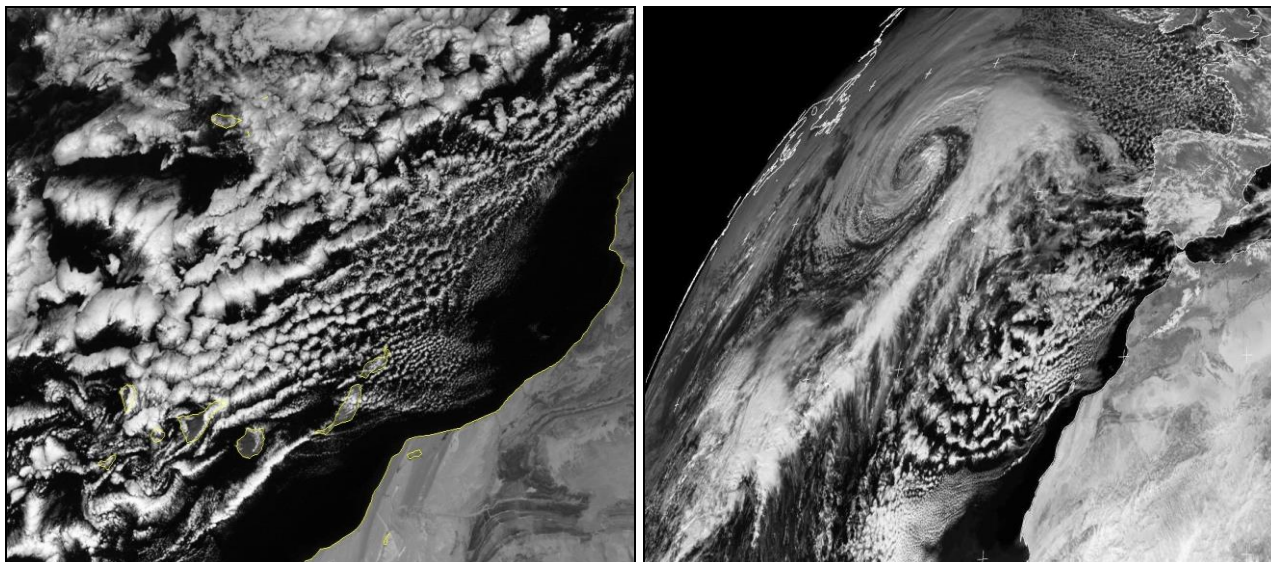
4 DE DICIEMBRE DE 2012



Mapa sinóptico el 4 diciembre 2012 y radiosondeo a 12 h. Vientos húmedos.

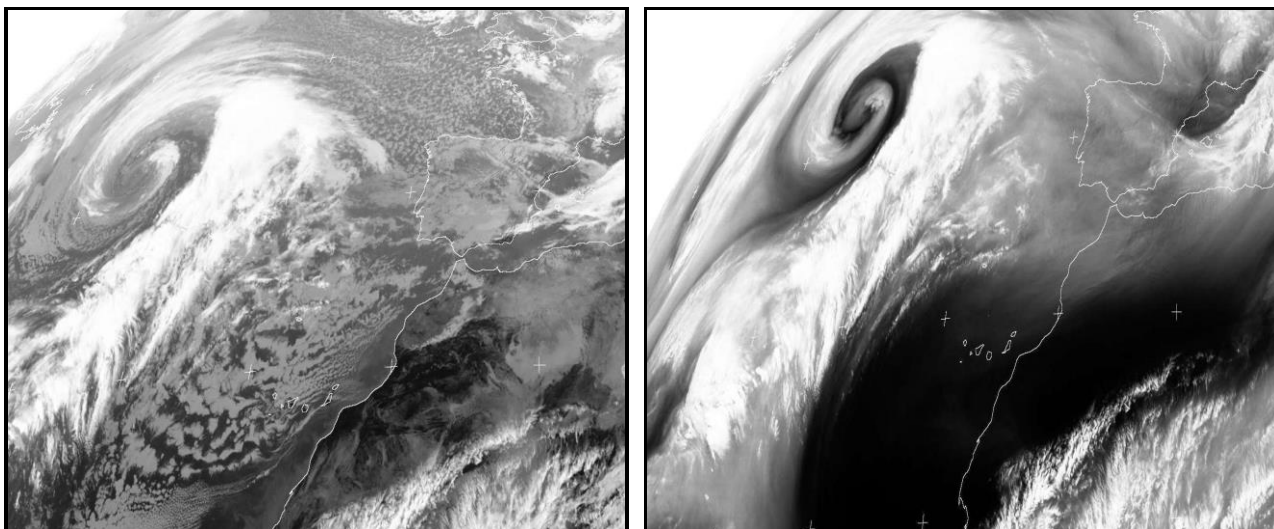
El mapa sinóptico indica altas presiones muy intensas (1036 mb) centradas en las Azores, área depresionaria extensa (1012 mb) sobre Níger; el flanco oriental del anticiclón se extiende sobre la superficie noroccidental del continente africano. Esta situación barométrica promueve el movimiento de aire ligeramente húmedo con desplazamiento débil de componente norte sobre la superficie del mar hacia Canarias en cotas inferiores a 1000 m. La costa y medianías de las islas están inmersas en ambiente de contenido acuoso moderado, excepto la medianía alta y crestería donde está presente la nubosidad orográfica acompañada de nieblas y lloviznas en el relieve orientado en el sector noroeste a noreste en horas matinales.

Curva de estado real a mediodía: la temperatura desciende entre 105 m (vientos débiles del N, 18 °C, 56%) y 1890 m (viento del ENE, 3.6 °C, 14%), a partir de esa cota se observa un ascenso brusco de la temperatura hasta alcanzar 2120 m (vientos del E, 8.6 °C, 10%), inversión térmica; es muy importante la capa muy húmeda entre las cotas 1075 m y 1810 m, **nubosidad de gran desarrollo vertical**; en medianía alta y crestería, formación de **nubosidad orográfica** y **precipitaciones débiles**. La curva de **estado saturado**, muestra un **suave descenso** 105 m (9 °C) y 1810 m (4.3 °C), la humedad del aire asciende uniforme desde 56% a 99%; **descenso muy brusco** de la humedad hasta 1890 m (-21.6 °C), la humedad desciende desde 99% a 14%. Presencia de polvo sahariano en concentración moderada en cotas superiores a 1000 m; el viento sopla notablemente en dirección ENE en cotas elevadas.



Imágenes Meteosat 9 el 4 de diciembre de 2012. Nubes estratiformes y vientos NE a SE

Imágenes Meteosat (visible) recogidas a las 12 h en la región canaria. No apreciamos la nubosidad típica de Tarfaya. Nubosidad estratiforme generalizada en la región canaria con **escaso contenido acuoso** sobre la costa y medianías en todas las vertientes de las islas de mayor relieve por efecto de la irrupción de aire húmedo de componente noreste a sureste procedente principalmente del anticiclón atlántico.



Imágenes Meteosat (infrarrojo y vapor de agua) a las 12 h. En ambas imágenes apreciamos el contenido acuoso de la atmósfera. La **imagen infrarroja** nos indica nubes estratiformes de escaso espesor, superficie nubosa irregular, nubes y claros en la región canaria. La **imagen vapor de agua** nos indica la distribución del contenido acuoso atmosférico; inapreciables manchas blanquecinas en la troposfera canaria donde contiene menor cantidad de agua en comparación con la zona atlántica noroccidental.

OBSERVACIONES METEOROLÓGICAS EL 4 DE DICIEMBRE DE 2012

COMARCAS DE ACENTEJO Y VALLE DE LA OROTAVA									
PLUVIÓMETRO	TEM	HUM	VEL	RAD	PREC	ETP	D1	D2	
LA LAGUNA - TEJINA	17.4	66.9	6.8	14.4	0.0	1.4	E	NE	
SANTA ÚRSULA - EL MALPAÍS	15.9	55.7	7.3	13.9	0.0	1.6	SE	E	
VALLE GUERRA - ISAMAR	15.6	65.4	9.4	11.2	0.0	1.5	SE		
TACORONTE - S.E.A.	15.1	71.5	16.0		0.0	2.0			
TEGUESTE - LA PADILLA	14.6	74.9	4.8	8.9	0.0	0.6			
VALLE GUERRA - GARIMBA	13.8	67.8	7.6	10.3	0.0	1.1	SE		
SANTA ÚRSULA - LAS TIERRAS	13.9	65.6	4.8	12.6	0.0	0.9	S	SE	
SANTA ÚRSULA - LA CORUJERA	13.3	71.8	6.4	12.7	0.0	0.9			
LA VICTORIA - DEPÓSITO MARRERO	13.4	70.1	9.5		0.0	1.5			
TACORONTE - AGUA GARCÍA	12.1	83.6	11.2	12.3	0.0	0.8			
LA VICTORIA - EL LOMO	11.7	74.3	5.8	13.5	0.0	0.9			
LA MATANZA - CRUZ DEL CAMINO	11.4	74.3	3.6	11.6	0.0	0.5			
EL SAUZAL - RAVELO	10.0	85.3	8.4	12.5	0.0	0.6	E	SE	
LA VICTORIA - GAITERO	5.6	59.2	21.5	11.7	0.1	1.8	E	SE	
PUERTO DE LA CRUZ - BOTÁNICO	15.6	67.3	0.8	11.9	0.0	0.2	NW		
LA OROTAVA - EL RINCÓN	15.2	64.7	3.6	13.4	0.0	0.8	S	SE	
LA OROTAVA - LA PERDOMA RATINO	15.0	65.6	6.9	12.7	0.0	1.3			
LA OROTAVA - LA PERDOMA - SUERTE	12.9	69.8	9.0	12.7	0.0	1.2			
LOS REALEJOS - PALO BLANCO	12.3	70.6	6.4	12.0	0.0	0.9			
LA OROTAVA - BENIJOS	8.6	78.3	11.8	12.6	0.0	0.9			
LA OROTAVA - AGUAMANSA	6.3	92.3	4.5	13.4	0.0	0.3	S	N	

COMARCAS DE ICODEN Y DAUTE									
PLUVIÓMETRO	TEM	HUM	VEL	RAD	PREC	ETP	D1	D2	
LA GUANCHA - CHARCO DEL VIENTO	17.7	65.7	1.8	9.2	0.0	0.5	SE	S	
ICOD DE LOS VINOS - PARQUE DRAGO	16.0	65.2	5.1	9.3	0.0	1.0	SE	NW	
SAN JUAN RAMBLA - EL MIRADOR	16.0	73.8	19.8		0.0				
ICOD - LOS VINOS - STA BÁRBARA	13.5	71.8	4.0	9.4	0.0	0.6			
ICOD - LOS VINOS - REDONDO	11.5	80.4	4.7	9.6	0.0	0.6			
LOS REALEJOS - ICOD EL ALTO	11.8	83.4	10.6	11.4	0.0	0.7			
BUENAVISTA DEL NORTE - ICIA	17.4	62.4	6.4	8.1	0.0	1.3	SE		
BUENAVISTA DEL NORTE AGROCABILDO	17.5	63.2	3.5	10.4	0.0	0.8	E	NE	
LOS SILOS	18.4	61.0	14.1		0.0				
LOS SILOS - TIERRA DEL TRIGO	14.6	76.4	5.0	8.6	0.0	0.7			
BUENAVISTA DEL NORTE - PALMAR	13.0	78.5	5.0	8.1	0.0	0.5			
EL TANQUE - RUIGÓMEZ	10.7	86.3	6.4	9.6	0.0	0.4			

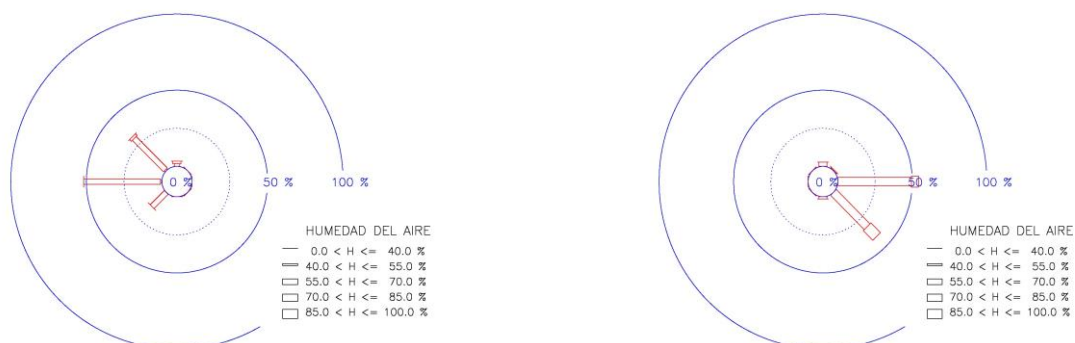
COMARCAS DE ISORA Y ABONA								
PLUVIÓMETRO	TEM	HUM	VEL	RAD	PREC	ETP	D1	D2
GUÍA DE ISORA - CUEVA DEL POLVO	17.2	57.6	4.1	11.2	0.0	1.0	E	
GUÍA ISORA - PLAYA DE ALCALÁ	17.7	65.2	0.4	10.6	0.0	0.1	NE	W
ARONA - LAS GALLETAS	17.8	54.3	6.8	14.0	0.0	1.7	N	NE
ADEJE - LA CALDERA	17.0	61.7	6.2		0.0			
GUÍA DE ISORA	13.9	67.6	8.4	9.6	0.0	1.3	NE	SW
GUÍA DE ISORA - EL POZO	12.8	72.9	7.8	7.6	0.0	1.0		
GUÍA DE ISORA - CHIO	10.9	75.6	10.5	8.7	0.0	0.9		
SANTIAGO DEL TEIDE – VALLE ARRIBA	9.4	75.7	7.3	11.0	0.0	0.8		
GUÍA DE ISORA - ARIPE - LLANITOS	7.6	80.4	3.9	7.8	0.1	0.4		
GUÍA DE ISORA - CHAVAO	9.2	18.8	9.2	17.5	0.0	2.5	E	NE
ARICO - LLANOS DE SAN JUAN	17.7	66.4	21.7	10.7	0.0	2.8	NE	N
AEROPUERTO REINA SOFIA	18.5	54.0	22.0		0.0			
ARICO – ICOR	14.1	66.5	6.6	10.0	0.0	1.1	NE	E
ARICO - TEGUEDITE - EL VISO	14.4	79.0	17.7	13.4	0.0	1.4		
ARICO - LA DEGOLLADA	14.7	68.9	19.0		0.0			
GÜIMAR - LOMO MENA	14.7	71.3	7.6	11.6	0.0	1.2		
GRANADILLA - CHARCO PINO	13.9	85.9	15.8	15.1	0.0	1.0		
GRANADILLA - EL PINALETE	10.1	78.6	13.0	15.2	0.0	1.0		
ARICO - EL BUENO - LOS HELECHOS	10.1	81.9	9.1	14.1	0.0	0.8	NE	N
VILAFLOR - EL FRONTÓN	7.4	57.2	6.0	14.7	0.0	1.1	NW	SE
ARICO - LOS PICACHOS	10.0	24.5	14.2	18.2	0.0	3.1	NE	N

COMARCA DE VALLE DE GÜIMAR Y SURESTE - ANAGA								
PLUVIÓMETRO	TEM	HUM	VEL	RAD	PREC	ETP	D1	D2
GÜIMAR - LA PLANTA	17.0	59.3	7.1	8.9	0.0	1.5	NE	
GÜIMAR - TOPO NEGRO	15.9	67.2	8.5	6.2	0.0	1.4		
GÜIMAR - BARRANCO BADAJOZ	15.1	72.6	6.1	5.2	0.0	0.8		
CANDELARIA – LAS CUEVECITAS	14.1	68.0	10.8		0.0			
CANDELARIA - ARAYA	13.9	70.8	5.1	10.1	0.0	0.9	N	SW
ARAFO – ANAVINGO	12.4	73.6	5.7	5.3	0.0	1.4		
SANTA CRUZ TENERIFE - CRUZ SEÑOR	17.2	61.8	3.9	6.6	0.0	0.8	SE	E
SANTA CRUZ DE TENERIFE	17.9	58.8	6.6		0.0			
EL ROSARIO - LOS BALDÍOS	10.4	90.3	5.6	5.1	0.0	0.2		
AEROPUERTO DE LOS RODEOS	12.4	83.0	12.1		0.0		E	SE
SANTA CRUZ - IGUESTE SAN ANDRÉS	17.9	60.8	6.7	5.8	0.0	2.1	W	NW
SANTA CRUZ - SAN ANDRÉS	17.8	61.5	4.8		0.0			
ANAGA - TAGANANA	15.8	67.9	7.7	4.8	0.0	1.8	E	SE
ANAGA - LLANOS DE LOS LOROS	10.6	87.2	14.5		0.0		E	SE

PARQUE NACIONAL DEL TEIDE								
PLUVIÓMETRO	TEM	HUM	VEL	RAD	PREC	ETP	D1	D2
LA OROTAVA – OBSERVATORIO IZANA	4.9	15.1	20.6		0.0			
TIRO GUANCHE	7.5	21.3	4.3		0.0			
RISCO VERDE	5.9	18.5	6.9		0.0			
PARADOR TURISMO	6.8	17.9	15.5		0.0			

COMPORTAMIENTO DE LA DIRECCIÓN DEL VIENTO Y DE SU CONTENIDO ACUOSO

SANTA CRUZ TFE – IGUESTE SAN ANDRES 4 / DICIEMBRE / 2012 AEROPUERTO TENERIFE NORTE – LOS RODEOS 4 / DICIEMBRE / 2012

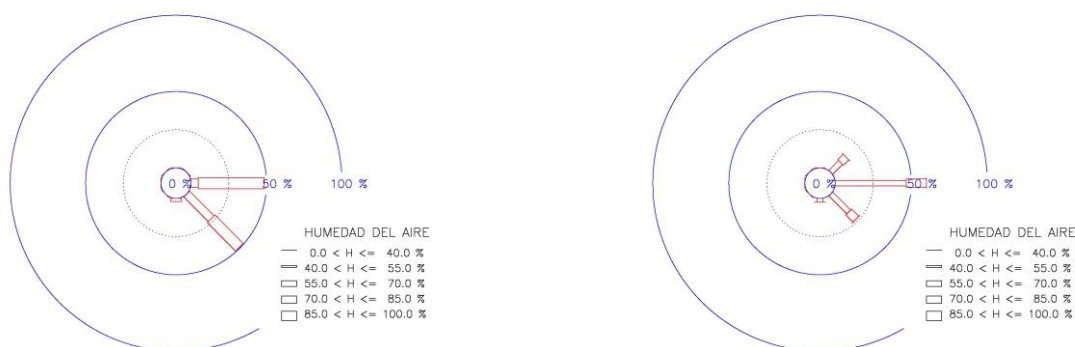


Rosas de humedades en la costa

Iguste San Andrés, los vientos **semisecos** soplan en el sector W a NW y son irrelevantes. Los **vientos semihúmedos** soplan en el sector SW a N, en el sector SW a NW son frecuentes y en la dirección NW son dominantes. Los **vientos húmedos** soplan en la dirección NW y son irrelevantes. Humedad del aire media diaria 61%, 6.7 km/h, ligeramente ventoso y cubierto.

Taganana, los **vientos semihúmedos** soplan en el sector NE a S, en la dirección SE son frecuentes y en la dirección E son dominantes. Los **vientos húmedos** soplan en el sector NE a SE y son poco frecuentes. Humedad del aire media diaria 68%, 4.8 km/h, poco ventoso y cubierto.

LA LAGUNA – LAS MERCEDES – LLANO LOROS 4 / DICIEMBRE / 2012 SANTA CRUZ TFE – TAGANANA 4 / DICIEMBRE / 2012

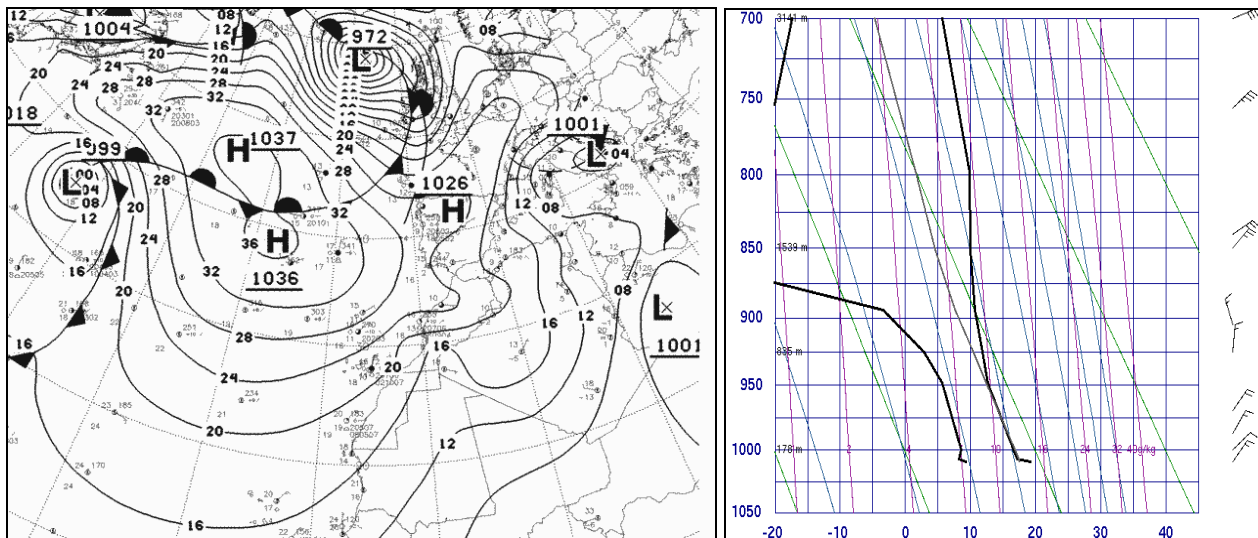


Rosas de humedades en las medianías

Aeropuerto de los Rodeos, los **vientos húmedos** soplan en el sector N a S, en la dirección SE son frecuentes y en la dirección E son dominantes. Los **vientos muy húmedos** soplan en el sector E a SE y son poco frecuentes. Humedad del aire media diaria 82% y 12.1 km/h, moderadamente ventoso.

Llanos de los Loros, los **vientos húmedos** soplan en el sector E a SE y en la dirección SE son frecuentes. Los **vientos muy húmedos** soplan en el sector E a S y en el sector E a SE son frecuentes. Humedad del aire media diaria 87% y 14.5 km/h, moderadamente ventoso.

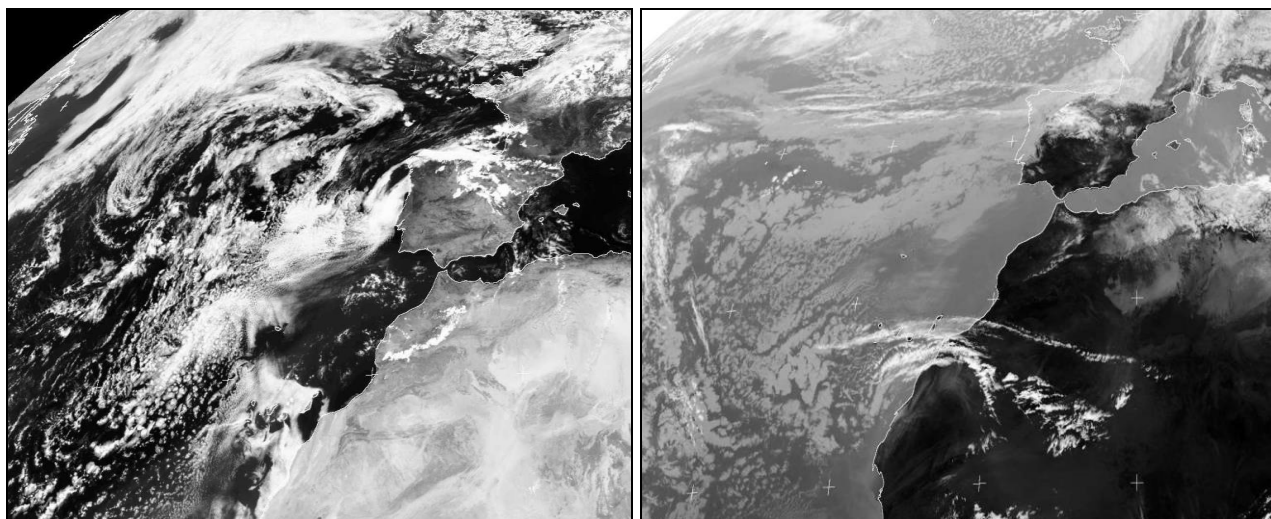
17 DE ABRIL DE 2012



Mapa sinóptico el 17 de abril 2012 y radiosondeo a 12 h. Vientos húmedos.

El mapa sinóptico indica altas presiones muy intensas (1036 mb) centradas en las Azores, área depresionaria extensa (1012 mb) centrada al sureste de Argelia; el flanco oriental del anticiclón se extiende sobre la superficie noroccidental del continente africano. Esta situación barométrica promueve el movimiento de aire ligeramente húmedo con desplazamiento moderado de componente noreste sobre la superficie marina hacia Canarias en cotas inferiores a 1000 m. La costa y medianías de las islas están inmersas en ambiente de contenido acuoso moderado, excepto en zonas de medianías altas y cresterías donde está presente la nubosidad orográfica acompañada de nieblas en el relieve orientado en el sector noroeste a noreste en horas matinales.

Curva de estado real a mediodía: la temperatura desciende 105 m (vientos moderados a fuertes del NE, 19.2 °C, 52%), 2500 m (viento muy fuerte del NE, 8.1 °C, 11%), a partir de esa cota se observa un descenso continuo de la temperatura, inexistencia de inversión térmica; es notable la **capa semihúmeda** entre las cotas 290 m y 630 m, **nubosidad orográfica** en las cresterías. La curva de **estado saturado**, muestra un suave descenso 105 m (9.2 °C) y 630 m (5.6 °C), la humedad del aire asciende uniforme desde 52% a 62%; descenso muy brusco de la humedad a partir de esa altitud, a 2500 m es 11%. Presencia de polvo sahariano con concentración moderada sobre la superficie hasta cotas elevadas, el viento sopla notablemente en dirección NE.



Imágenes Meteosat 9 el 17 de abril de 2012 a 12 h. Nubes estratiformes y vientos NE a SE

Imagen visible recogida a las 12 h en la región canaria. Apreciamos ligera nubosidad en Tarfaya. Nubosidad estratiforme generalizada en la región canaria con **escaso contenido acuoso** sobre la costa y medianías en todas las vertientes de las islas de mayor relieve por efecto de la irrupción de aire húmedo de componente noreste a sureste procedente del anticiclón atlántico. La **imagen infrarroja** nos indica **nubes estratiformes de escaso espesor**, banda nubosa estrecha y alargada que se extiende longitudinalmente de forma irregular sobre Canarias, nubes y claros en las vertientes de orientación noroeste a este de las islas.

OBSERVACIONES METEOROLÓGICAS EL 17 DE ABRIL DE 2012

COMARCAS DE ACENTEJO Y VALLE DE LA OROTAVA								
PLUVIÓMETRO	TEM	HUM	VEL	RAD	PREC	ETP	D1	D2
LA LAGUNA - TEJINA	17.2	64.3	13.7	24.4	0.0	2.2	N	NE
SANTA ÚRSULA - EL MALPAÍS	15.7	68.0	8.0	19.1	0.0	1.2	NE	E
VALLE GUERRA - ISAMAR	15.2	70.2	6.1	23.4	0.0	0.9	SE	
TACORONTE - S.E.A.	15.5	72.2	16.1		0.0	2.0		
TEGUESTE - LA PADILLA	15.2	68.2	12.0	22.2	0.0	1.7		
VALLE GUERRA - GARIMBA	13.4	74.8	10.6	22.4	0.0	1.2	SE	
SANTA ÚRSULA - LAS TIERRAS	13.2	76.7	6.6	13.0	0.0	0.7	E	NE
SANTA ÚRSULA - LA CORUJERA	12.9	79.7	6.6	11.4	0.0	0.6		
LA VICTORIA - DEPÓSITO MARRERO	12.9	77.8	10.4		0.0	1.1		
TACORONTE - AGUA GARCÍA	9.6	77.7	7.9	23.6	0.0	0.8		
LA VICTORIA - EL LOMO	12.3	72.6	6.5	15.6	0.0	0.9		
LA MATANZA - CRUZ DEL CAMINO	11.6	76.4	5.0	23.6	0.1	0.6		
EL SAUZAL - RAVELO	9.9	92.1	5.8	22.5	0.0	0.3	N	NE
LA VICTORIA - GAITERO	7.5	54.2	15.9	28.2	0.3	1.8	NW	E
PUERTO DE LA CRUZ - BOTÁNICO	16.2	67.4	2.2	14.8	0.0	0.4	NW	
LA OROTAVA - EL RINCÓN	15.0	66.2	4.9	12.8	0.0	0.8	NE	E
LA OROTAVA - LA PERDOMA RATINO	14.5	72.6	6.9	13.9	0.0	0.9		
LA OROTAVA - LA PERDOMA - SUERTE	12.4	78.1	8.6	9.5	0.0	0.7		
LOS REALEJOS - PALO BLANCO	11.6	78.4	10.0	7.6	0.1	0.7		
LA OROTAVA - BENIJOS	8.5	87.2	9.4	7.0	0.0	0.3		
LA OROTAVA - AGUAMANSA	7.3	97.8	3.9	8.9	0.0	0.0	S	N

COMARCAS DE ICODEN Y DAUTE								
PLUVIÓMETRO	TEM	HUM	VEL	RAD	PREC	ETP	D1	D2
LA GUANCHA - CHARCO DEL VIENTO	17.2	69.7	6.5	12.0	0.0	1.0	E	SE
SAN JUAN RAMBLA - EL MIRADOR	17.4	80.1	7.4		4.4			
ICOD - LOS VINOS - SANTA BÁRBARA	13.6	69.9	4.1	9.1	0.0	0.5		
ICOD - LOS VINOS - REDONDO	11.1	85.6	3.6	7.1	0.0	0.2		
LOS REALEJOS - ICOD EL ALTO	11.0	85.1	19.5	7.2	0.3	0.8		
BUENAVISTA DEL NORTE - ICIA	16.9	65.9	15.5	11.6	0.0	2.1	SE	
BUENAVISTA DEL NORTE - AGROCABILDO	17.2	67.9	17.0	14.6	0.0	2.2	E	NE
LOS SILOS	17.6	68.8	30.7		0.0	3.0		
LOS SILOS - TIERRA DEL TRIGO	13.8	81.9	8.3	7.1	0.0	0.6		
BUENAVISTA DEL NORTE - PALMAR	12.1	85.5	16.8	7.0	0.0	0.8		
EL TANQUE - RUIGÓMEZ	9.6	96.1	14.5	6.4	0.0	0.1		

COMARCAS DE ISORA Y ABONA								
PLUVIÓMETRO	TEM	HUM	VEL	RAD	PREC	ETP	D1	D2
GUÍA DE ISORA - CUEVA DEL POLVO	18.1	59.9	3.6	26.1	0.0	0.8	E	
ARONA - LAS GALLETAS - ICIA	18.0	57.3	9.9	19.8	0.0	1.9	E	
GUÍA ISORA - PLAYA DE ALCALÁ	18.1	58.8	1.1	24.7	0.0	0.3	SW	NE
ARONA - LAS GALLETAS	17.0	61.0	3.2	20.5	0.0	0.7	N	NW
ADEJE - LA CALDERA	17.4	63.6	4.5		0.0			
GUÍA DE ISORA	14.9	70.1	6.0	26.0	0.0	0.9	SW	NE
GUÍA DE ISORA - EL POZO	13.6	72.7	6.7	24.3	0.0	0.8		
GUÍA DE ISORA - CHIO	12.7	68.0	7.6	26.5	0.0	1.0		
SANTIAGO DEL TEIDE - VALLE ARRIBA	8.7	80.5	27.7	11.4	0.0	1.1		
GUÍA DE ISORA - ARIPE - LLANITOS	10.5	68.3	4.8	26.5	0.0	0.6		
GUÍA DE ISORA - CHAVAO	12.2	17.0	11.1	30.4	0.0	3.4	E	NE
ARICO - LLANOS DE SAN JUAN	16.9	72.8	39.3	24.6	0.0	2.9	NE	N
AEROPUERTO REINA SOFIA	18.3	55.4	38.3		0.0			
ARICO - ICOR	13.9	65.6	13.9	24.8	0.0	1.7	NE	E
ARICO - TEGUEDITE - EL VISO	13.9	72.9	27.5	22.9	0.0	2.2		
ARICO - LA DEGOLLADA	14.5	70.1	28.8		0.0			
GÜIMAR - LOMO MENA	14.9	66.4	9.1	27.2	0.0	1.4		
GRANADILLA - CHARCO PINO	13.7	68.1	16.0	25.7	0.0	2.0		
GRANADILLA - EL PINALETE	11.9	67.6	9.9	24.1	0.0	1.4		
ARICO - EL BUENO - LOS HELECHOS	12.1	62.2	12.0	26.5	0.0	1.9	NE	N
VILAFLO - EL FRONTÓN	11.6	46.7	7.5	23.6	0.0	1.5	S	N
ARICO - LOS PICACHOS	12.8	16.1	27.2	30.3	0.0	5.6	NE	E

COMARCA DE VALLE DE GÜIMAR Y SURESTE - ANAGA								
PLUVIÓMETRO	TEM	HUM	VEL	RAD	PREC	ETP	D1	D2
GÜIMAR - TOPO NEGRO	16.2	56.1	10.5	25.2	0.0	2.0		
GÜIMAR - LA PLANTA	17.4	57.4	15.1	24.6	0.0	2.7	NE	
GÜIMAR - BARRANCO BADAJOZ	15.7	63.5	6.8	22.6	0.0	1.2		
CANDELARIA - LAS CUEVECITAS	15.1	45.7	14.0		0.0			
CANDELARIA - ARAYA	15.5	50.6	5.8	27.4	0.0	1.5	S	N
ARAFO - ANAVINGO	13.8	53.3	6.7	24.6	0.0	4.0		
SANTA CRUZ TENERIFE - CRUZ SEÑOR	17.5	58.5	5.8	25.8	0.0	1.3	NE	E
SANTA CRUZ DE TENERIFE	17.8	61.0	8.1		0.0			
EL ROSARIO - LOS BALDÍOS	11.4	71.2	14.5	23.8	0.0	1.7		
AEROPUERTO DE LOS RODEOS	13.0	74.6	21.0		0.0		N	NW
SANTA CRUZ - IGUESTE SAN ANDRÉS	17.5	63.5	8.3	18.5	1.4	3.9	N	NW
SANTA CRUZ - SAN ANDRÉS	17.9	60.9	11.1		0.0			
ANAGA - TAGANANA	14.8	76.6	11.0	12.2	0.0	2.5	NE	N
ANAGA - LLANOS DE LOS LOROS	9.4	93.2	21.1		0.0		N	NW

PARQUE NACIONAL DEL TEIDE								
PLUVIÓMETRO	TEM	HUM	VEL	RAD	PREC	ETP	D1	D2
LA OROTAVA – OBSERVATORIO IZANA	7.2	13.6	37.8		0.0			
TIRO GUANCHE	12.9	11.9	12.7		0.0			
RISCO VERDE	10.4	13.2	7.6		0.0			
PARADOR TURISMO	10.9	13.9	27.5		0.0			

COMPORTAMIENTO DE LA DIRECCIÓN DEL VIENTO Y DE SU CONTENIDO ACUOSO

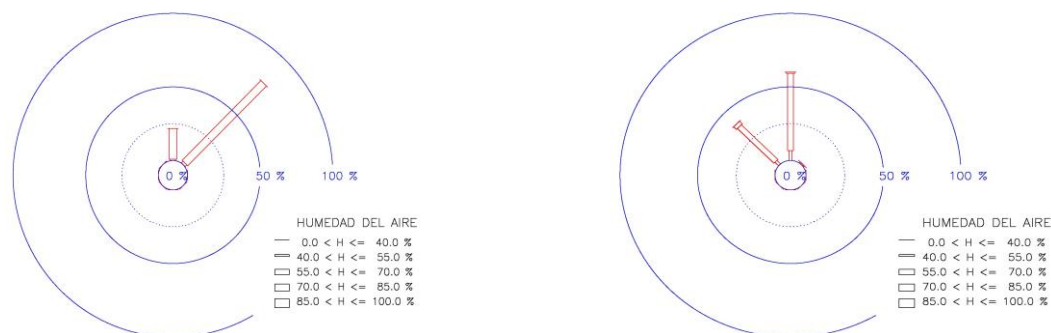
SANTA CRUZ TFE – TAGANANA

17 / ABRIL

/ 2012 SANTA CRUZ TFE – IGUESTE SAN ANDRES

17 / ABRIL

/ 2012



Rosas de humedades en la costa

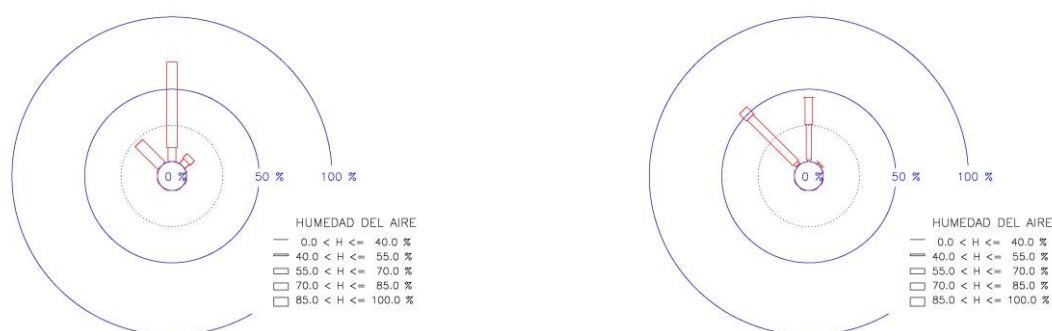
Igueste San Andrés, los vientos **semisecos** soplan en el sector NW a W y son poco frecuentes. Los **vientos semihúmedos** soplan en el sector NW a N, en la dirección NW son frecuentes y en la dirección N son dominantes. Los **vientos húmedos** soplan en el sector NW a N y son irrelevantes. Humedad del aire media diaria 64%, 8.3 km/h, ligeramente ventoso, nubes y claros, y 1.4 mm, llovizna.

Taganana, los **vientos semihúmedos** soplan en el sector N a NE y son irrelevantes. Los **vientos húmedos** soplan en el sector N a NE, en la dirección N son frecuentes y en la dirección NE son dominantes. Humedad del aire media diaria 77%, 11 km/h, moderadamente ventoso y cubierto.

LA LAGUNA – LAS MERCEDES – LLANO LOROS 17 / ABRIL

/ 2012 AEROPUERTO TENERIFE NORTE – LOS RODEOS 17 / ABRIL

/ 2012



Rosas de humedades en las medianías

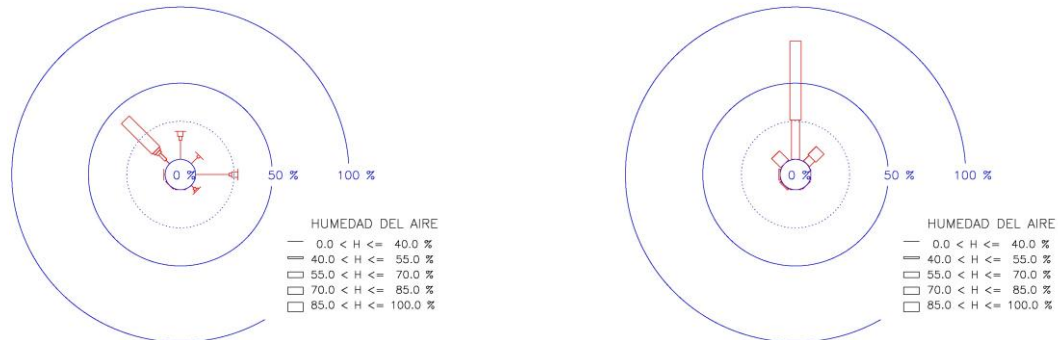
Aeropuerto de los Rodeos, los **vientos semisecos** soplan en la dirección N y son irrelevantes. Los **vientos semihúmedos** soplan en el sector NW a NE, y en la dirección N son frecuentes. Los **vientos húmedos** soplan en el sector NW a N, en la dirección N son frecuentes y en la dirección NW son dominantes. Los **vientos muy húmedos** soplan en la dirección NW y son poco frecuentes. Humedad del aire media diaria 75% y 21 km/h, ventoso.

Llanos de los Loros, los **vientos húmedos** soplan en el sector N a NE y son poco frecuentes. Los **vientos muy húmedos** soplan en el sector NW a NE, en la dirección NW son frecuentes y en la dirección N son dominantes. Humedad del aire media diaria 93% y 21.1 km/h, ventoso.

LA VICTORIA – EL GAITERO

17 / ABRIL / 2012 EL SAUZAL – RAVELO

17 / ABRIL / 2012



Ravelo, los **vientos húmedos** soplan en el sector N a NE, y en la dirección N son frecuentes. Los **vientos muy húmedos** soplan en el sector NW a NW, y en la dirección N son frecuentes. Humedad del aire media diaria 92% y 5.8 km/h, poco ventoso.

El Gaitero los **vientos secos** soplan en el sector NW a SE, en las direcciones N y E son frecuentes. Los **vientos semisecos** y **vientos semihúmedos** soplan en el sector NW a SE y son poco frecuentes. Los **vientos húmedos** soplan en la dirección NW a NE y son frecuentes. Humedad del aire media diaria 54% y 15.9 km/h, ventoso.

16.3 CAPA SEMISECA EN COSTA Y CAPA HÚMEDA EN MEDIANÍA ALTA

La elección de esta sección muestra la frecuencia de la presencia de episodios higrométricos extremos, grandes contrastes de humedad desde la costa hasta la cumbre. La franja costera soleada, cálida, vientos del noroeste a noreste, ausencias de lloviznas y la crestería cubierta de nubosidad.



Laderas de medianías están cubiertas de nubosidad orográfica en cualquier época del año. La costa permanece soleada. Notable contraste higrométrico y radiación solar entre la costa y cumbres. Fotos: Abigail Ramírez

PORCENTAJES MENSUALES DE DÍAS CON HUMEDADES DEL AIRE INFERIORES A 60% EN LA COSTA Y SUPERIORES A 70% EN CRESTERÍA. TRANSECTO INTERIOR DE LA PENÍNSULA DE ANAGA

1	2	3	ENE	FEB	MAR	ABR	MAY	JUN	JUL	AGO	SEP	OCT	NOV	DIC	TOTAL
70%	60%	55%	0.0	0.0	0.0	0.0	0.0	0.0	0.0	0.0	0.0	0.0	0.0	1.1	0.1
OBS ACUMULA			0	0	0	0	0	0	0	0	0	0	0	1	
70%	60%	60%	0.0	0.0	0.0	0.0	0.0	0.0	0.0	0.0	0.0	0.0	0.0	2.2	0.2
OBS ACUMULA			0	0	0	0	0	0	0	0	0	0	0	2	
MESES OBSERV			2	2	2	2	2	2	2	2	3	3	3	3	

La tabla desvela una troposfera con **contraste higrométrico muy acusado** únicamente en diciembre y poco significativo; el resto del año no se registra este tipo de episodio. Esta afirmación higrométrica debe aceptarse con **ciertas reservas**, ya que la muestra de observaciones está formada con pocos meses. La tabla es un esquema aproximado del comportamiento de la troposfera en Anaga con las características higrométricas previamente seleccionadas.

Transecto interior Anaga:

1. Llanos los Loros
2. Taganana
3. Iguste San Andrés

PORCENTAJES MENSUALES DE DÍAS CON HUMEDADES DEL AIRE INFERIORES A 60% EN LA COSTA Y SUPERIORES A 70% EN CRESTERÍA. TRANSECTO EXTERIOR DE LA PENÍNSULA DE ANAGA

1	2	3	ENE	FEB	MAR	ABR	MAY	JUN	JUL	AGO	SEP	OCT	NOV	DIC	TOTAL
70%	60%	55%	0.0	3.6	0.0	1.7	1.6	0.0	0.0	0.0	0.0	0.0	0.0	0.0	0.5
OBS ACUMULA			0	4	0	2	2	0	0	0	0	0	0	0	
70%	60%	60%	0.0	3.6	0.8	2.5	1.6	0.0	0.0	0.0	0.0	0.0	0.0	1.6	0.8
OBS ACUMULA			0	4	1	3	2	0	0	0	0	0	0	2	
MESES OBSERV			4	4	4	4	4	4	4	4	4	4	4	4	

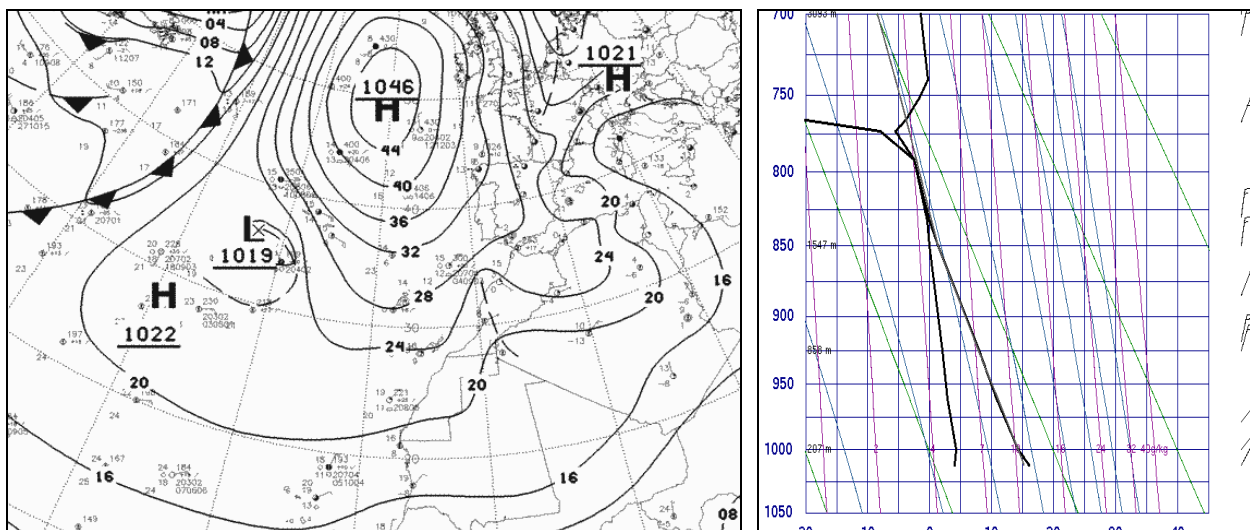
La tabla desvela una troposfera con **contrastes higrométricos muy acusados** únicamente en febrero, abril, mayo y diciembre, y son poco significativos; el resto del año no registra este tipo de episodio. Esta afirmación higrométrica debe aceptarse con **ciertas reservas**.

La comparación de porcentajes entre ambas tablas nos indica que la costa occidental de Anaga es ligeramente más seca que su parte central. **La costa de occidental del macizo es ligeramente “más seca” que la costa más oriental del macizo.** Los vientos marinos superficiales que llegan a la costa tienen mayor incidencia en el relieve escarpado que en las superficies cultivadas.

En ambos transectos, los contrastes entre **la capa semiseca costera y capa húmeda de cumbre** están definida cuando la terna de humedad de referencia está formada por los valores 70% (cumbre) y 60% (costa). Las referencias escogidas muestran que los episodios higrométricos son **poco relevantes** para estas condiciones higrométricas y casi nulas para el resto de las opciones escogidas.

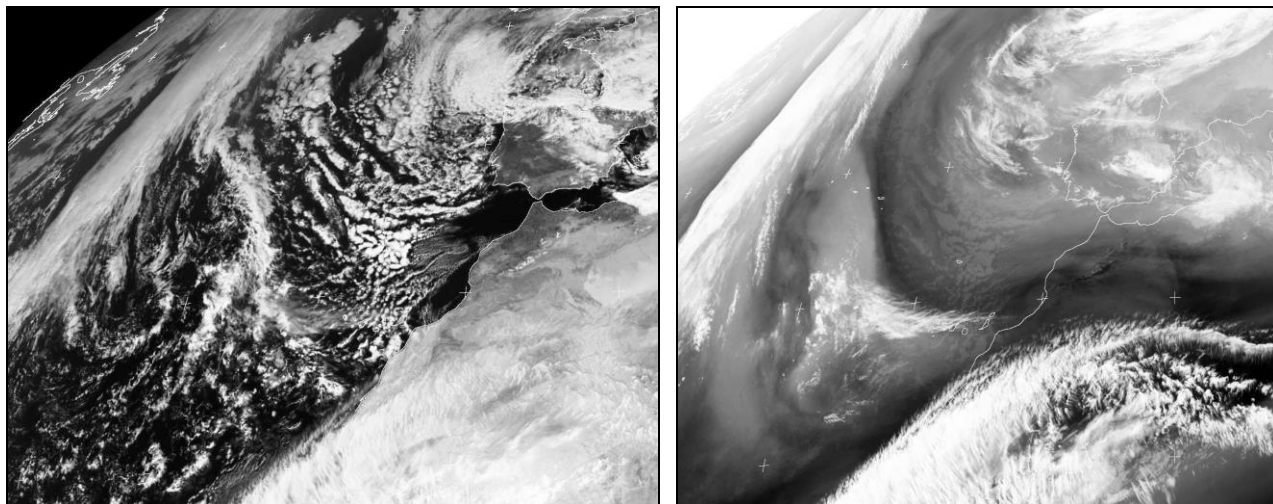
Las causas de porcentajes mensuales en los días de mayor cuantía la podemos encontrar en situaciones barométricas donde los vientos son húmedos a cierta altura sobre el mar, mientras la costa recibe vientos suaves moderadamente húmedos y cálidos, probablemente acompañados de arena sahariana. La situación barométrica típica sucede cuando las altas presiones moderadamente intensas está centrada al oeste del archipiélago de las Azores y un área depresionaria extensa está localizada al sur de Argelia. Esta situación barométrica promueve el movimiento de aire ligeramente húmedo con desplazamiento débil a moderado de componente noreste hacia Canarias en cotas inferiores a 2000 m.

En ambos transectos, los episodios higrométricos en las condiciones climáticas seleccionadas suceden en pocas ocasiones y sus efectos se hacen notar ligeramente en febrero, abril y mayo; lo contrario, sus efectos son irrelevantes entre junio a noviembre. Los días efectivos de estos episodios tiene lugar cuando alcanzan la isla las irrupciones atlánticas septentrionales de aire húmedo y fresco que se desplaza ligeramente sobre un “colchón de aire” moderadamente seco y cálido procedente del movimiento de aire previamente asentado sobre la región sahariana y desplazado hacia el oeste por la acción de las altas presiones septentrionales.

**DÍAS QUE CONFIRMAN UNA TROPOPOSA CON NOTABLE CONTRASTE
HIGROMÉTRICO ENTRE LA COSTA Y MEDIANÍA**
14 DE FEBRERO DE 2012

Mapa sinóptico el 14 febrero 2012 y radiosondeo a 12 h. Vientos húmedos

El mapa sinóptico indica altas presiones muy intensas (1046 mb) centradas al oeste de Gran Bretaña, área depresionaria extensa (1008 mb) centrada en Níger; el flanco oriental del anticiclón se extiende sobre la superficie noroccidental del continente africano. Esta situación barométrica promueve el movimiento de aire ligeramente húmedo con desplazamiento débil a moderado de componente noreste sobre la superficie marina hacia Canarias en cotas inferiores a 2000 m. La costa y medianía baja de las islas están inmersas en ambiente de contenido acuoso moderado, excepto en zonas de medianía alta y crestería donde está presente la nubosidad orográfica acompañada de nieblas y lloviznas en las laderas orientadas en la dirección noroeste.

Curva de estado real a mediodía: la temperatura desciende entre 105 m (vientos moderados a fuertes del NE, 16 °C, 45%) y 2110 m (vientos fuertes del NNE, 2.5 °C, 100%); continua el descenso de la temperatura hasta 2300 m (vientos fuertes del NNE, -5.5 °C, 83%); a partir de esa cota se observa un ascenso brusco de la temperatura hasta alcanzar 2650 m (vientos del NNE, -0.3 °C, 5%), inversión térmica, capa de estratocúmulos con contenido acuoso escaso; capa muy húmeda entre las cotas 1550 m y 2100 m. **nubosidad estratiforme** con contenido acuoso importante. La curva de **estado saturado**, muestra un **suave descenso** 105 m (4 °C) y 2100 m (-2.5 °C), la humedad del aire asciende uniforme desde 45% a 100%; **descenso muy brusco** de la humedad a partir de la cota 2300 m. Presencia escasa de polvo sahariano y vientos que soplan notablemente en el sector N a NE.



Imágenes Meteosat 9 el 14 de febrero de 2012 a 12 h. Nubes estratiformes y vientos N a E

Imagen visible recogida a las 12 h en la región canaria. Apreciamos ligera nubosidad en Tarfaya. Nubosidad estratiforme generalizada en la región canaria con **notable contenido acuoso** sobre la costa y medianías en las islas de mayor relieve por efecto de la irrupción de aire húmedo en altura de componente norte expulsado por el anticiclón atlántico. La **imagen infrarroja** nos indica de **nubosidad estratiforme bien desarrollada**, banda nubosa alargada que se extiende longitudinalmente de forma regular, nubes y claros en las vertientes de orientación noroeste a este; masa nubosa con gran contenido acuoso al sur de Canarias.

OBSERVACIONES METEOROLÓGICAS EL 14 DE FEBRERO DE 2012

COMARCAS DE ACENTEJO y VALLE DE LA OROTAVA

COMARCAS DE ACENTEJO Y VALLE DE LA OROTAVA									
PLUVIÓMETRO	TEM	HUM	VEL	RAD	PREC	ETP	D1	D2	
LA LAGUNA - TEJINA	15.0	57.3	11.7	13.2	0.4	2.2	N	NE	
SANTA ÚRSULA - EL MALPAÍS	13.7	61.8	7.5	9.6	0.2	1.2	NE	SE	
VALLE GUERRA - ISAMAR	13.0	60.7	6.0	11.8	0.0	1.1	SE		
TACORONTE - S.E.A.	13.0	62.9	15.3		0.0	2.1			
TEGUESTE - LA PADILLA	12.6	64.9	9.1	10.1	0.0	1.3			
VALLE GUERRA - GARIMBA	11.1	64.7	9.0	11.4	0.2	1.2	N	NE	
SANTA ÚRSULA - LAS TIERRAS	11.1	69.8	6.4	8.5	0.1	0.8	E	NE	
SANTA ÚRSULA - LA CORUJERA	11.0	72.9	7.2	8.4	0.2	0.8			
LA VICTORIA - DEPÓSITO MARRERO	10.2	69.9	8.7		0.2				
TACORONTE - AGUA GARCÍA	7.1	69.9	7.1	10.7	0.1	0.7			
LA VICTORIA - EL LOMO	9.5	70.6	5.7	7.0	0.1	0.6			
LA MATANZA - CRUZ DEL CAMINO	8.6	70.6	4.3	8.2	0.0	0.5			
EL SAUZAL - RAVELO	7.1	84.2	5.8	9.2	0.2	0.3	N	NE	
LA VICTORIA - GAITERO	0.0	100.0	35.9	7.0	0.6	0.0	NW		
PUERTO DE LA CRUZ - BOTÁNICO	14.4	57.0	1.5	9.9	0.0	0.4	NW		
LA OROTAVA - EL RINCÓN	13.2	65.9	3.1	9.3	0.2	0.6	E	NE	
LA OROTAVA - LA PERDOMA RATINO	12.8	67.6	7.8	9.6	0.4	1.2			
LA OROTAVA - LA PERDOMA - SUERTE	10.7	71.1	7.8	8.7	0.4	0.9			
LOS REALEJOS - PALO BLANCO	10.0	71.3	8.8	8.9	0.7	1.0			
LA OROTAVA - BENIJOS	7.0	77.8	10.0	8.0	0.6	0.7			
LA OROTAVA - AGUAMANSA	5.7	84.4	4.0	6.6	0.5	0.2	N	SW	

COMARCAS DE ICODEN Y DAUTE								
PLUVIÓMETRO	TEM	HUM	VEL	RAD	PREC	ETP	D1	D2
LA GUANCHA - CHARCO DEL VIENTO	15.8	63.5	5.8	11.8	0.0	1.2	E	SE
SAN JUAN RAMBLA - EL MIRADOR	15.1	82.9	6.3		2.6			
ICOD - LOS VINOS - SANTA BÁRBARA	12.2	61.4	4.8	11.7	0.3	0.9		
ICOD - LOS VINOS - REDONDO	9.9	74.7	4.4	12.9	1.3	0.6		
LOS REALEJOS - ICOD EL ALTO	9.5	72.7	15.3	9.9	0.7	1.3		
BUENAVISTA DEL NORTE - ICIA	15.4	53.8	13.6	14.7	0.0	2.6	SE	
BUENAVISTA DEL NORTE AGROCABILDO	15.5	62.0	14.9	13.3	0.1	2.3	E	NE
LOS SILOS	16.3	58.1	29.0		0.0			
LOS SILOS - TIERRA DEL TRIGO	12.6	70.3	7.9	13.2	0.0	1.1		
BUENAVISTA DEL NORTE - PALMAR	10.9	71.4	16.3	15.6	0.0	1.5		
EL TANQUE - RUIGÓMEZ	8.3	80.6	14.8	15.5	0.0	0.9		

COMARCAS DE ISORA Y ABONA								
PLUVIÓMETRO	TEM	HUM	VEL	RAD	PREC	ETP	D1	D2
GUÍA DE ISORA - CUEVA DEL POLVO	15.7	49.8	4.0	12.7	0.0	1.1	E	
ARONA - LAS GALLETAS - ICIA	15.9	49.1	13.3	14.4	0.0	2.8	E	
GUÍA ISORA - PLAYA DE ALCALÁ	15.6	53.9	0.6	15.5	0.0	0.2	NE	E
ARONA - LAS GALLETAS	15.5	51.8	6.8	14.1	0.0	1.8	N	NE
ADEJE - LA CALDERA	15.1	56.1	5.2		0.0			
GUÍA DE ISORA	12.3	61.2	8.9	12.9	0.0	1.4	NE	SW
GUÍA DE ISORA - EL POZO	10.7	67.3	8.5	10.3	0.0	1.1		
GUÍA DE ISORA - CHIO	9.6	64.3	8.9	11.8	0.0	1.3		
SANTIAGO DEL TEIDE - VALLE ARRIBA	7.0	72.0	25.9	17.9	0.5	1.7		
GUÍA DE ISORA - ARIPE - LLANITOS	6.1	69.6	2.6	9.8	0.0	0.3		
GUÍA DE ISORA - CHAVAO	0.7	71.1	4.5	15.4	0.0	0.4	E	SE
ARICO - LLANOS DE SAN JUAN	14.9	63.5	30.4	19.2	0.0	3.1	NE	N
AEROPUERTO REINA SOFIA	15.6	50.3	31.6		0.0			
ARICO - ICOR	12.0	55.1	9.2	19.7	0.0	1.6	E	NE
ARICO - TEGUEDITE - EL VISO	11.6	62.3	22.0	19.1	0.0	2.2		
ARICO - LA DEGOLLADA	12.2	61.7	23.3		0.0			
GÜIMAR - LOMO MENA	12.4	61.3	8.2	17.3	0.0	1.4		
GRANADILLA - CHARCO PINO	11.5	58.9	18.4	18.7	0.0	2.3		
GRANADILLA - EL PINALETE	8.0	68.8	10.2	13.1	0.0	1.0		
ARICO - EL BUENO - LOS HELECHOS	8.0	67.7	13.2	21.1	0.0	1.3	NE	N
VILAFLOR - EL FRONTÓN	4.6	72.6	7.3	10.1	0.0	0.7	N	SW
ARICO - LOS PICACHOS	3.0	69.7	22.4	23.8	0.0	1.5	NW	NE

COMARCA DE VALLE DE GÜIMAR Y SURESTE - ANAGA								
PLUVIÓMETRO	TEM	HUM	VEL	RAD	PREC	ETP	D1	D2
GÜIMAR - TOPO NEGRO	14.2	49.8	17.8	15.8	0.0	3.2		
GÜIMAR - LA PLANTA	14.9	49.8	12.8	13.2	0.0	2.6	NE	
GÜIMAR - BARRANCO BADAJOZ	13.4	57.8	7.7	14.8	0.0	1.4		
CANDELARIA - LAS CUEVECITAS	12.5	49.7	17.1		0.0			
CANDELARIA - ARAYA	12.0	55.7	6.6	14.2	0.0	1.4	SW	NW
ARAFO - ANAVINGO	10.5	58.6	11.3	16.1	0.0	2.8		
SANTA CRUZ TENERIFE - CRUZ SEÑOR	14.9	53.2	6.0	11.0	0.0	1.3	NE	E
SANTA CRUZ DE TENERIFE	15.4	54.1	7.3		0.0			
EL ROSARIO - LOS BALDÍOS	8.7	66.8	8.8	10.7	0.1	1.1		
AEROPUERTO DE LOS RODEOS	10.1	68.3	17.2		0.0		N	NW
SANTA CRUZ - IGUESTE SAN ANDRÉS	15.4	53.7	6.7	11.1	0.0	2.7	NW	N
SANTA CRUZ - SAN ANDRÉS	15.7	53.8	8.7		0.0			
ANAGA - TAGANANA	12.9	63.7	12.0	6.7	0.0	2.3	NE	N
ANAGA - LLANOS DE LOS LOROS	7.4	85.2	9.4		0.2		NW	N

PARQUE NACIONAL DEL TEIDE								
PLUVIÓMETRO	TEM	HUM	VEL	RAD	PREC	ETP	D1	D2
LA OROTAVA – OBSERVATORIO IZANA	-3.5	93.1	8.3		0.0			
TIRO GUANCHE	0.7	65.4	2.5		0.0			
RISCO VERDE	-1.8	83.9	17.0		0.0			
PARADOR TURISMO	0.8	51.8	20.5		0.0			

COMPORTAMIENTO DE LA DIRECCIÓN DEL VIENTO Y DE SU CONTENIDO ACUOSO

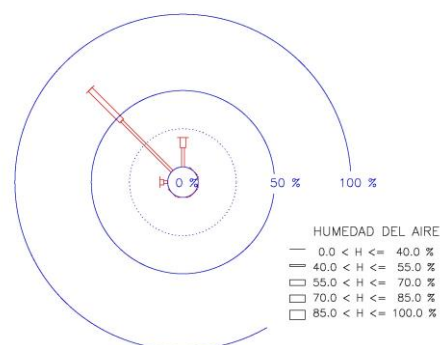
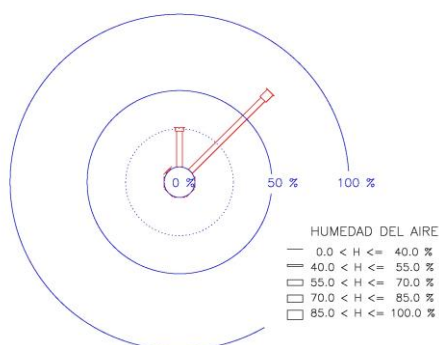
SANTA CRUZ TFE – TAGANANA

14 / FEBRERO

/ 2012

SANTA CRUZ TFE – IGUESTE SAN ANDRES

14 / FEBRERO



Rosas de humedades en la costa

Iguete San Andrés, los vientos **semisecos** soplan en el sector W a N, en la dirección N son frecuentes y en la dirección NW son dominantes. Los **vientos semihúmedos** soplan en el sector W a N y en la dirección NW son frecuentes. Los **vientos húmedos** soplan en la dirección NW y son irrelevantes. Humedad del aire media diaria 54%, 6.7 km/h, ligeramente ventoso y nubes y claros.

Taganana, los **vientos semihúmedos** soplan en el sector N a NE, en la dirección N son frecuentes y en la dirección NE son dominantes. Los **vientos húmedos** soplan en el sector N a NE y son irrelevantes. Humedad del aire media diaria 64%, 12 km/h, moderadamente ventoso y cubierto.

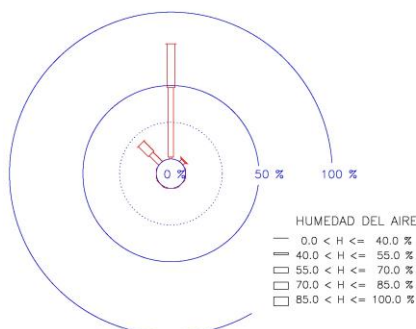
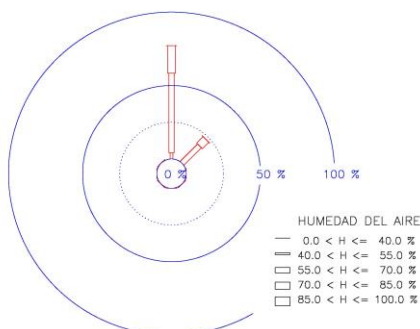
LA LAGUNA – VALLE GUERRA – GARIMBA

14 / FEBRERO

/ 2012

AEROPUERTO TENERIFE NORTE – LOS RODEOS

14 / FEBRERO



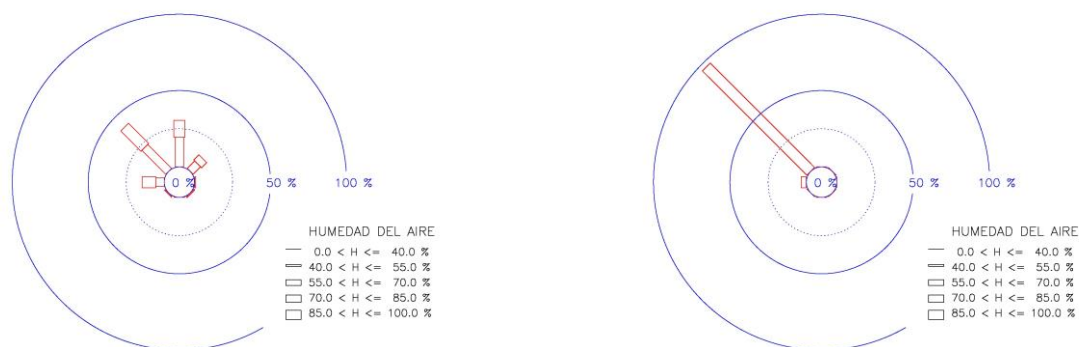
Rosas de humedades en la medianía baja

Aeropuerto de los Rodeos, los vientos **semisecos** soplan en la dirección N y son irrelevantes. Los **vientos semihúmedos** soplan en el sector NW a NE, en la dirección NW son poco frecuentes y en la dirección N son dominantes. Los **vientos húmedos** soplan en el sector NW a N, en la dirección NW son poco frecuentes y en la dirección N son frecuentes. Humedad del aire media diaria 68%, 17.2 km/h, ventoso y cubierto.

Garimba, los **vientos semisecos** soplan en la dirección N y son irrelevantes. Los **vientos semihúmedos** soplan en el sector N a NE, en la dirección NE son frecuentes y en la dirección N son dominantes. Los **vientos húmedos** soplan en el sector N a NE, y en la dirección N son frecuentes. Humedad del aire media diaria 65%, 9 km/h, poco ventoso, nubes y claros, 0.2 mm, ligera llovizna.

LA LAGUNA – LAS MERCEDES – LLANO LOROS 14 / FEBRERO / 2012 LA VICTORIA – EL GAITERO

14 / FEBRERO / 2012



Rosas de humedades en las cresterías

Llanos de los Loros, los **vientos húmedos** y los **vientos muy húmedos** soplan en el sector W a NE, en el sector NW a N son frecuentes. Humedad del aire media diaria 85% y 9.4 km/h, ligeramente ventoso.

El Gaitero, los **vientos muy húmedos** soplan en el sector W a NW, en la dirección W son irrelevantes y en la dirección NW son dominantes. Humedad del aire media diaria 100%, 35.9 km/h, muy ventoso, cubierto y 0.6 mm, lloviznoso.

16.4 CAPA HÚMEDA EN COSTA Y CAPA SECA EN MEDIANÍA ALTA

La elección de esta sección muestra la frecuencia de la presencia de episodios higrométricos extremos, grandes contrastes de humedad entre la costa y cumbre. La franja costera cubierta, cálida, vientos débiles que soplan en el sector noroeste a norte; la medianía baja cubierta de un manto nuboso en las vertientes abiertas hacia el norte y probable presencia de llovizna, y la crestería soleada, seca y vientos moderados.



La crestería de Anaga emerge del mar de nubes. Cumbre vista desde Chinobre

Vientos marinos húmedos de componente noroeste se superponen otros vientos en altura moderadamente secos de componente sureste en las cumbres de Anaga. Foto Julio Muñiz

PORCENTAJES MENSUALES DE DÍAS CON HUMEDADES DEL AIRE INFERIORES A 55% EN LA CRESTERÍA Y SUPERIORES A 65% EN COSTA. TRANSECTO INTERIOR DE LA PENÍNSULA DE ANAGA

1	2	3	ENE	FEB	MAR	ABR	MAY	JUN	JUL	AGO	SEP	OCT	NOV	DIC	TOTAL
55%	65%	65%	6.5	0.0	6.5	3.3	3.2	5.0	6.5	8.1	6.7	5.4	0.0	1.1	4.2
OBS ACUMULA			4	0	4	2	2	3	4	5	6	5	0	1	
55%	70%	65%	6.5	0.0	6.5	3.3	3.2	5.0	6.5	8.1	5.6	5.4	0.0	1.1	4.1
OBS ACUMULA			4	0	4	2	2	3	4	5	5	5	0	1	
55%	70%	70%	0.0	0.0	4.8	1.7	1.6	3.3	3.2	8.1	3.3	2.2	0.0	1.1	2.3
OBS ACUMULA			0	0	3	1	1	2	2	5	3	2	0	1	
50%	70%	65%	3.2	0.0	4.8	3.3	0.0	5.0	4.8	8.1	4.4	1.1	0.0	1.1	2.8
OBS ACUMULA			2	0	3	2	0	3	3	5	4	1	0	1	
50%	70%	70%	0.0	0.0	4.8	1.7	0.0	3.3	3.2	8.1	2.2	0.0	0.0	1.1	1.9
OBS ACUMULA			0	0	3	1	0	2	2	5	2	0	0	1	
45%	70%	65%	0.0	0.0	4.8	3.3	0.0	1.7	3.2	6.5	3.3	1.1	0.0	0.0	1.9
OBS ACUMULA			0	0	3	2	0	1	2	4	3	1	0	0	
45%	70%	70%	0.0	0.0	4.8	1.7	0.0	0.0	1.6	6.5	2.2	0.0	0.0	0.0	1.3
OBS ACUMULA			0	0	3	1	0	0	1	4	2	0	0	0	
40%	65%	65%	0.0	0.0	3.2	3.3	0.0	1.7	3.2	6.5	3.3	1.1	0.0	0.0	1.8
OBS ACUMULA			0	0	2	2	0	1	2	4	3	1	0	0	
40%	70%	65%	0.0	0.0	3.2	3.3	0.0	1.7	3.2	6.5	3.3	1.1	0.0	0.0	1.8
OBS ACUMULA			0	0	2	2	0	1	2	4	3	1	0	0	
40%	70%	70%	0.0	0.0	3.2	1.7	0.0	0.0	1.6	6.5	2.2	0.0	0.0	0.0	1.2
OBS ACUMULA			0	0	2	1	0	0	1	4	2	0	0	0	
MESES OBSERV			2	3	3	3	3								

El análisis de la tabla independiente de la terna referencia elegida, desvela que la troposfera sobre la superficie marina es **ligeramente más húmeda** en enero, julio, agosto y septiembre; lo contrario, los porcentajes de febrero, mayo, noviembre y diciembre son casi nulos, por tanto los episodios higrométricos en las condiciones climáticas seleccionadas son irrelevantes. Estas afirmaciones higrométricas deben aceptarse con **ciertas reservas**, ya que la muestra de observaciones está formada con pocos meses. La tabla es un esquema aproximado del comportamiento en Anaga.

1. Llanos los Loros
2. Taganana
3. Igueste San Andrés

PORCENTAJES MENSUALES DE DÍAS CON HUMEDADES DEL AIRE INFERIORES A 55% EN LA CRESTERÍA Y SUPERIORES A 65% EN COSTA. TRANSECTO EXTERIOR DE LA PENÍNSULA DE ANAGA

1	2	3	ENE	FEB	MAR	ABR	MAY	JUN	JUL	AGO	SEP	OCT	NOV	DIC	TOTAL
55%	65%	65%	3.2	0.0	5.6	2.5	1.6	3.3	2.4	7.3	5.0	4.0	0.0	1.6	3.1
OBS ACUMULA			3	0	7	3	2	4	3	9	6	5	0	2	
55%	70%	65%	3.2	0.0	5.6	1.7	1.6	3.3	2.4	7.3	5.0	3.2	0.0	0.8	2.9
OBS ACUMULA			3	0	7	2	2	4	3	9	6	4	0	1	
55%	70%	70%	3.2	0.0	4.0	0.8	0.8	1.7	1.6	3.2	2.5	1.6	0.0	0.8	1.7
OBS ACUMULA			3	0	5	1	1	2	2	4	3	2	0	1	
50%	70%	65%	2.2	0.0	4.8	0.8	0.0	3.3	2.4	6.5	4.2	0.0	0.0	0.8	2.1
OBS ACUMULA			2	0	6	1	0	4	3	8	5	0	0	1	
50%	70%	70%	2.2	0.0	4.0	0.8	0.0	1.7	1.6	3.2	1.7	0.0	0.0	0.8	1.4
OBS ACUMULA			2	0	5	1	0	2	2	4	2	0	0	1	
45%	70%	65%	0.0	0.0	4.0	0.8	0.0	0.8	1.6	4.8	3.3	0.0	0.0	0.0	1.4
OBS ACUMULA			0	0	5	1	0	1	2	6	4	0	0	0	
45%	70%	70%	0.0	0.0	4.0	0.8	0.0	0.0	0.8	2.4	1.7	0.0	0.0	0.0	0.9
OBS ACUMULA			0	0	5	1	0	0	1	3	2	0	0	0	
40%	65%	65%	0.0	0.0	1.6	1.7	0.0	0.8	1.6	4.0	2.5	0.8	0.0	0.0	1.1
OBS ACUMULA			0	0	2	2	0	1	2	5	3	1	0	0	
40%	70%	65%	0.0	0.0	1.6	0.8	0.0	0.8	1.6	4.0	2.5	0.0	0.0	0.0	1.0
OBS ACUMULA			0	0	2	1	0	1	2	5	3	0	0	0	
40%	70%	70%	0.0	0.0	1.6	0.8	0.0	0.0	0.8	2.4	1.7	0.0	0.0	0.0	0.6
OBS ACUMULA			0	0	2	1	0	0	1	3	2	0	0	0	
MESES OBSERV			3	4	4	4	4	4	4	4	4	4	4	4	

El análisis de la tabla independiente de la terna referencia elegida, desvela que la troposfera sobre la superficie marina es **ligeramente más húmeda** en marzo, agosto y septiembre; lo contrario, los porcentajes febrero, mayo, noviembre y diciembre son casi nulos, por tanto los episodios higrométricos en las condiciones climáticas seleccionadas son irrelevantes. Estas afirmaciones higrométricas deben aceptarse con **ciertas reservas**.

1. Llanos los Loros
2. Pico de Tejina
3. San Andrés

La comparación de porcentajes entre ambas tablas nos indica que zona costera de las partes central y oriental de Anaga son ligeramente más húmedas que el costado occidental del macizo de Anaga. **La costa occidental es ligeramente “más seca” que la costa más oriental del macizo.** Los vientos marinos superficiales que llegan a la costa tienen mayor incidencia en el relieve escarpado que sobre las superficies urbanas y cultivadas.

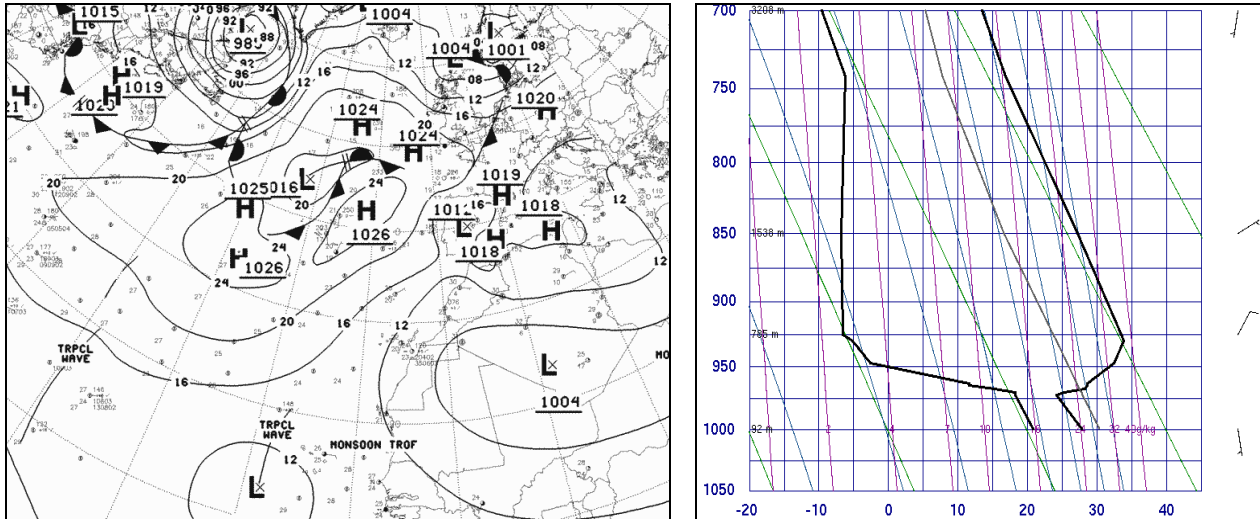
En ambos transectos, los contrastes entre la **capa húmeda costera** y **capa semiseca / seca de cumbre** están definida cuando la terna de humedad de referencia está formada por los valores 55% (cumbre) y 70% (costa). Las referencias escogidas muestran que los episodios higrométricos son **poco importantes** para estas condiciones higrométricas e irrelevantes para el resto de las opciones.

Las causas de porcentajes mensuales en los días de mayor cuantía la podemos encontrar en situaciones barométricas donde los vientos húmedos soplan sobre el mar en cotas bajas, mientras en cotas de medianía alta o zona de montaña soplan vientos débiles de componente noreste, gracias a la **barrera de aire fresco y húmedo** típica entre las islas Canarias Orientales y la costa africana, y sirve de “trampolín” del aire seco y caliente de origen en la depresión sahariana desplazándose a altitudes que no llegan a ser pronunciadas, **inversión térmica a media altura**. La situación barométrica típica sucede cuando las altas presiones intensas están centradas en las Azores, área depresionaria extensa moderadamente profunda localizada al sur de Argelia y el flanco oriental del anticiclón no se extiende sobre el continente africano. Esta situación barométrica promueve el movimiento de aire ligeramente húmedo con desplazamiento débil a moderado de componentes noreste hacia Canarias en cotas inferiores a 500 m.

En ambos transectos, los episodios higrométricos en las condiciones climáticas seleccionadas suceden en pocas ocasiones y sus efectos se hacen notar ligeramente en agosto y marzo; lo contrario, sus efectos son irrelevantes, prácticamente nulos, en febrero, mayo, noviembre y diciembre. Los días efectivos de estos episodios tiene lugar cuando alcanza la isla las irrupciones atlánticas septentrionales de aire húmedo y fresco que se desplaza sobre la superficie del mar y superpuesta a esta capa marina una nueva capa de aire moderadamente seco y caliente procedente de la depresión sahariana, movimiento ciclónico del aire previamente asentado sobre la región sahariana casi estacionaria del continente africano.

DÍAS QUE CONFIRMAN UNA TROPOSFERA CON NOTABLE CONTRASTE HIGROMÉTRICO ENTRE COSTA Y MEDIANÍA ALTA

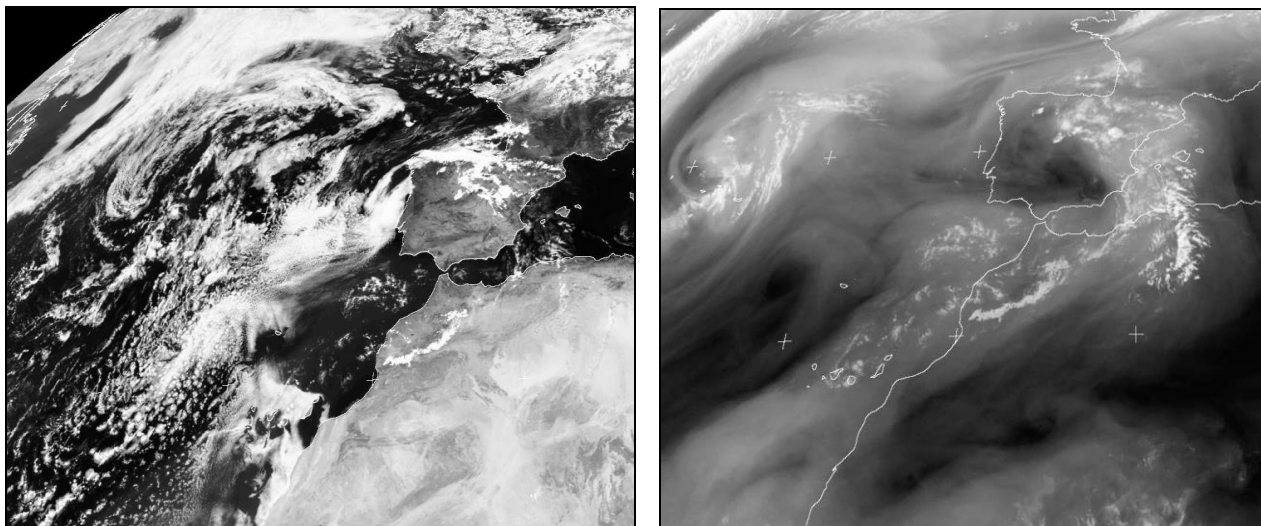
12 DE AGOSTO DE 2013



Mapa sinóptico 12 agosto 2013 y radiosondeo 12 h. Vientos semihúmedos en cotas < 360 m

El mapa sinóptico indica altas presiones intensas (1026 mb) centradas en las Azores, área depresionaria moderadamente profunda (1004 mb) centrada al sur de Argelia; el flanco oriental del anticiclón no se extiende sobre el continente africano. Esta situación barométrica promueve el movimiento de aire moderadamente húmedo con desplazamiento débil de componente noreste sobre la superficie marina hacia Canarias en cotas inferiores a 365 m, y gracias a la **barrera de aire fresco y húmedo** típica entre Canarias y la costa africana sirve de “trampolín” del aire seco y caliente desplazándose en altitudes que no llegan ser pronunciadas, **inversión térmica a media altura**. Las costas isleñas están inmersas en ambiente de contenido acuoso moderado; mientras que las medianías reciben vientos calientes saharianos.

Curva de estado real a mediodía: la temperatura desciende entre 105 m (vientos débiles del SSE, 27.8 °C, 66%) y 365 m (vientos débiles del ESE, 25.2 °C, 65%); ascenso brusco de la temperatura. inversión térmica hasta 785 m (vientos débiles del ENE, 33.4 °C, 7%); a partir de esa cota se observa un descenso continuo de la temperatura, en la cota 2715 m alcanza 16.8 °C (vientos débiles del SSE, 20%); capa húmeda en cotas inferiores a 360 m, **inexistencia de nubosidad orográfica**. La curva de **estado saturado**, muestra un **ligero descenso** 105 m (20.8 °C) y 365 m (18.2 °C), la humedad del aire es uniforme desde 65% a 69%; **descenso muy brusco** de la humedad a partir de la cota 360 m. Presencia de polvo sahariano notable en las medianías.



Imágenes Meteosat 9 el 12 de agosto de 2013 a 12 h. Nubes estratiformes y vientos N a E

Imagen visible recogida a las 12 h en la región canaria. Apreciamos ligera nubosidad sobre Tarfaya. Nubosidad estratiforme generalizada en la región canaria con **escaso contenido acuoso** sobre la costa y medianías en las vertientes de las islas de mayor relieve por efecto de la **irrupción de aire húmedo**, viento del norte a noreste que sopla sobre la superficie marina expulsado por el anticiclón atlántico y reforzado por la depresión sahariana. La **imagen infrarroja** nos indica **nubosidad estratiforme poca desarrollada**; una tenue mancha blanquecina cubre las islas; masa nubosa con importante contenido acuoso al suroeste del archipiélago.

OBSERVACIONES METEOROLÓGICAS EL 13 DE AGOSTO DE 2013

COMARCAS DE ACENTEJO Y VALLE DE LA OROTAVA									
PLUVIÓMETRO	TEM	HUM	VEL	RAD	PREC	ETP	D1	D2	
LA LAGUNA - TEJINA	22.7	85.3	1.9	15.8	0.0	3.1	N	NE	
SANTA ÚRSULA - EL MALPAÍS	21.9	88.2	2.3	17.2	0.0	3.3	NE	E	
VALLE GUERRA - ISAMAR	20.8	86.5	2.5	20.5	0.0	3.7	S		
TACORONTE - EXTENSIÓN AGRARIA	20.8	90.4	3.6		0.0	0.3			
TEGUESTE - LA PADILLA	21.6	85.5	2.3	20.3	0.0	3.8			
VALLE GUERRA - GARIMBA	20.5	80.4	2.8	22.2	0.2	3.9	S		
SANTA ÚRSULA - LAS TIERRAS	23.7	64.5	1.8	20.6	0.0	4.0	N	SE	
SANTA ÚRSULA - LA CORUJERA	24.4	57.3	4.5	18.6	0.0	4.1			
LA VICTORIA - DEPÓSITO MARRERO	24.9	50.5	6.1		0.0	1.5			
TACORONTE - AGUA GARCÍA	24.8	49.8	4.0	5.8	0.0	2.7			
LA VICTORIA - EL LOMO	26.4	52.5	4.0	17.8	0.0	4.6			
LA MATANZA - CRUZ DEL CAMINO	25.2	46.3	2.1	19.9	0.0	4.3			
EL SAUZAL - RAVELO	26.6	34.0	6.3	20.8	0.0	6.4			
LA VICTORIA - GAITERO	26.2	16.9	8.5	22.2	0.0	7.1	NW	N	
PUERTO DE LA CRUZ - BOTÁNICO	22.3	81.1	1.1	16.7	0.0	3.2	SE		
LA OROTAVA - EL RINCÓN	21.3	92.2	1.4	17.9	0.0	3.3	N	NW	
LA OROTAVA - LA PERDOMA RATINO	21.3	90.4	2.0	17.1	0.0	3.2			
LA OROTAVA - LA PERDOMA - SUERTE	24.5	55.2	4.3	17.7	0.0	4.1			
LOS REALEJOS - PALO BLANCO	25.3	52.8	4.1	19.2	0.0	4.5			
LA OROTAVA - BENIJOS	29.1	24.0	9.1	17.4	0.0	6.9			
LA OROTAVA - AGUAMANSA	26.5	25.6	5.4	22.2	0.0	6.0			

COMARCAS DE ICODEN Y DAUTE								
PLUVIÓMETRO	TEM	HUM	VEL	RAD	PREC	ETP	D1	D2
LA GUANCHA - CHARCO DEL VIENTO	23.3	89.9	0.6	12.3	0.0	2.5	E	NE
ICOD DE LOS VINOS - PARQUE DRAGO	21.5	87.3	3.3	18.1	0.0	3.3	NW	SE
SAN JUAN RAMBLA - EL MIRADOR	19.5	98.2	6.1		0.0			
ICOD - LOS VINOS - STA BÁRBARA	20.9	93.5	2.1	20.0	0.0	3.6		
ICOD - LOS VINOS - REDONDO	25.9	46.8	4.6	21.3	0.0	5.2		
LOS REALEJOS - ICOD EL ALTO	30.7	30.0	7.9	21.0	0.0	7.1		
BUENAVISTA DEL NORTE - ICIA	22.3	80.2	2.5	16.5	0.0	3.2	SE	
BUENAVISTA DEL NORTE - AGROCABILDO	22.9	82.5	7.0	13.2	0.0	3.1	E	
LOS SILOS - TIERRA DEL TRIGO	21.5	83.1	1.5	19.6	0.0	3.6		
BUENAVISTA DEL NORTE - PALMAR	24.6	52.8	3.3	20.2	0.0	4.3		
EL TANQUE - RUIGÓMEZ	29.3	20.6	6.5	23.6	0.0	6.9		

COMARCAS DE ISORA Y ABONA								
PLUVIÓMETRO	TEM	HUM	VEL	RAD	PREC	ETP	D1	D2
GUÍA DE ISORA - CUEVA DEL POLVO	23.3	83.5	3.0	19.6	0.0	3.8	E	
GUÍA ISORA - PLAYA DE ALCALÁ	23.7	84.0	0.8	19.5	0.0	3.7	SE	S
ARONA - LAS GALLETAS	23.5	79.0	2.7	24.9	0.0	4.7	SE	NE
ADEJE - LA CALDERA	23.6	82.3	5.0		0.0			
GUÍA DE ISORA	25.9	58.9	4.6	20.0	0.0	4.4	SW	SE
GUÍA DE ISORA - EL POZO	31.3	33.6	4.6	20.0	0.0	5.6		
GUÍA DE ISORA - CHIO	30.5	33.6	7.1	20.3	0.0	6.3		
SANTIAGO DEL TEIDE - VALLE ARRIBA	30.4	21.0	7.8	21.5	0.0	7.2		
GUÍA DE ISORA - ARIPE - LLANITOS	29.0	26.6	4.8	19.4	0.0	5.6		
GUÍA DE ISORA - CHAVAO	24.5	17.6	4.3	24.6	0.0	5.5	W	E
ARICO - LLANOS DE SAN JUAN	23.6	72.7	9.6	25.4	0.0	5.2	S	SW
AEROPUERTO REINA SOFIA	24.3	80.6	9.0		0.0			
ARICO - ICOR	24.7	61.9	2.5	23.6	0.0	4.7	N	S
ARICO - TEGUEDITE - EL VISO	27.3	57.8	4.4	23.6	0.0	5.5		
ARICO - LA DEGOLLADA	27.9	49.2	5.3		0.0			
GÜIMAR - LOMO MENA	29.1	43.6	4.8	23.8	0.0	5.9		
GRANADILLA - CHARCO PINO	27.0	45.4	4.5	24.6	0.0	5.7		
GRANADILLA - EL PINALETE	31.3	25.9	7.4	25.2	0.0	7.4		
ARICO - EL BUENO - LOS HELECHOS	32.3	21.1	4.5	24.3	0.0	6.3	E	NW
VILAFLORES - EL FRONTÓN	28.3	28.5	7.7	24.9	0.0	7.1	NW	SE
ARICO - LOS PICACHOS	27.5	16.0	10.4	26.5	0.0	8.0	N	E

COMARCA DE VALLE DE GÜIMAR Y SURESTE - ANAGA								
PLUVIÓMETRO	TEM	HUM	VEL	RAD	PREC	ETP	D1	D2
GÜIMAR - TOPO NEGRO	25.1	69.8	3.2	20.9	0.0	4.4		
GÜIMAR - BARRANCO BADAJOZ	27.8	61.3	3.3	22.4	0.0	4.9		
CANDELARIA - CUEVECITAS	27.0	48.8	4.2		0.0			
CANDELARIA - ARAYA	29.0	39.8	1.4	24.0	0.0	4.8	S	NE
ARAFO - ANAVINGO	32.4	30.7	3.8	21.5	0.0	5.0		
SANTA CRUZ TENERIFE - CRUZ SEÑOR	24.0	82.3	3.2	22.8	0.0	4.4	SE	S
SANTA CRUZ DE TENERIFE	24.0	81.2	4.5		0.0			
EL ROSARIO - LOS BALDÍOS	28.8	29.9	11.8	21.6	0.0	8.5		
AEROPUERTO DE LOS RODEOS	28.5	31.6	18.9		0.0		W	
SANTA CRUZ - IGUESTE SAN ANDRÉS	23.5	85.1	4.7	21.7	0.0	4.1	S	SE
SANTA CRUZ - SAN ANDRÉS	24.4	80.1	4.3		0.0			
ANAGA - TAGANANA	20.4	94.3	4.4	11.9	0.0	2.2	NW	N
ANAGA - LLANOS DE LOS LOROS	29.4	20.3	18.1		0.0		N	NW

PARQUE NACIONAL DEL TEIDE								
PLUVIÓMETRO	TEM	HUM	VEL	RAD	PREC	ETP	D1	D2
LA OROTAVA - OBSERVATORIO IZANA	21.2		18.3		0.0			
RISCO VERDE	22.8	16.5	4.1		0.0			
PARADOR TURISMO	22.3	22.5	7.7		0.0			

COMPORTAMIENTO DE LA DIRECCIÓN DEL VIENTO Y DE SU CONTENIDO ACUOSO

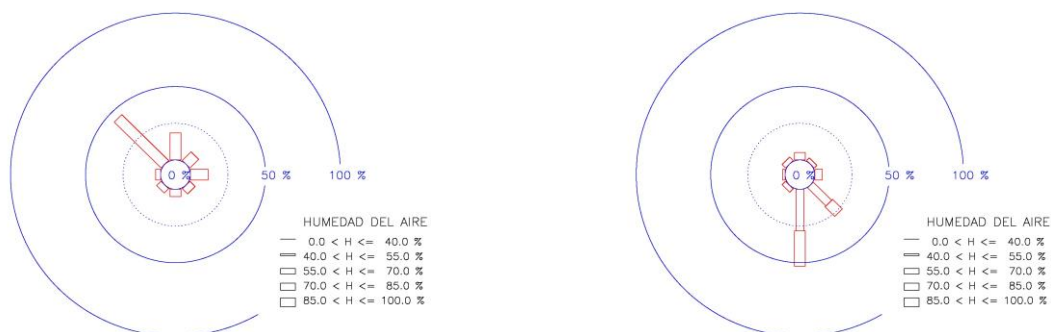
SANTA CRUZ TFE – TAGANANA

12 / AGOSTO

/ 2013 SANTA CRUZ TFE – IGUESTE SAN ANDRES

12 / AGOSTO

/ 2013



Rosas de humedades en la costa

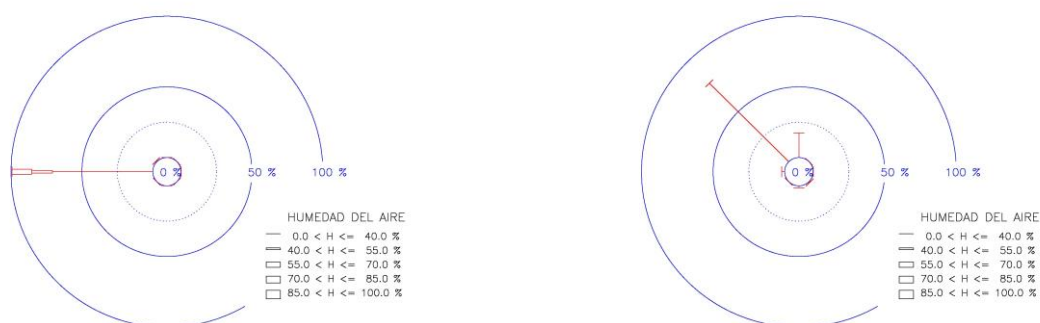
Igueste San Andrés, los vientos **húmedos** soplan en todas las direcciones y en el sector SE a S son frecuentes. Los **vientos muy húmedos** soplan en el sector NW a SW, en la dirección SE son poco frecuentes y en la dirección S son frecuentes. Humedad del aire media diaria 85%, 4.7 km/h, poco ventoso y soleado.

Taganana, los **muy vientos húmedos** soplan en todas las direcciones, en el sector N a E son frecuentes y en la dirección W son dominantes. Humedad del aire media diaria 94%, 4.4 km/h, poco ventoso y cubierto.

AEROPUERTO TENERIFE NORTE – LOS RODEOS 12 / AGOSTO

/ 2013 LA LAGUNA – LAS MERCEDES – LLANO LOROS 12 / AGOSTO

/ 2013

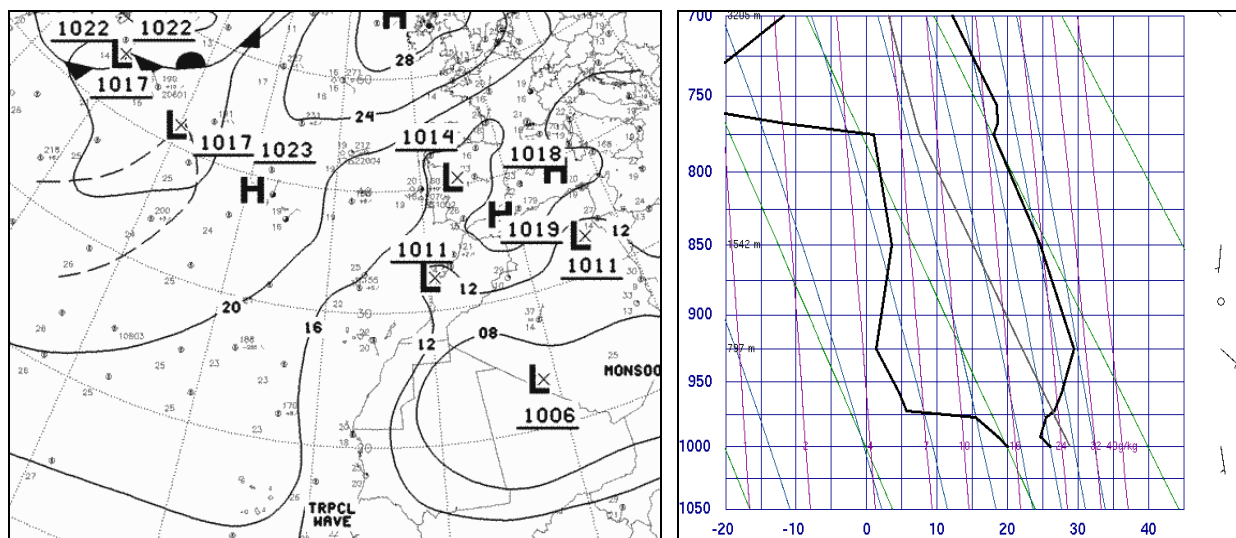


Rosas de humedades en las medianías.

Aeropuerto de los Rodeos, los **vientos secos** soplan en la dirección W y son dominantes. Los **vientos semisecos** y los **vientos semihúmedos** soplan en la dirección W y son frecuentes. Humedad del aire media diaria 32% y 18.9 km/h, ventoso

Los **Llanos de los Loros**, los **vientos secos** soplan en el sector NW a N, en la dirección N son frecuentes y en la dirección NW son dominantes. Humedad del aire media diaria 20% y 18.1 km/h, ventoso.

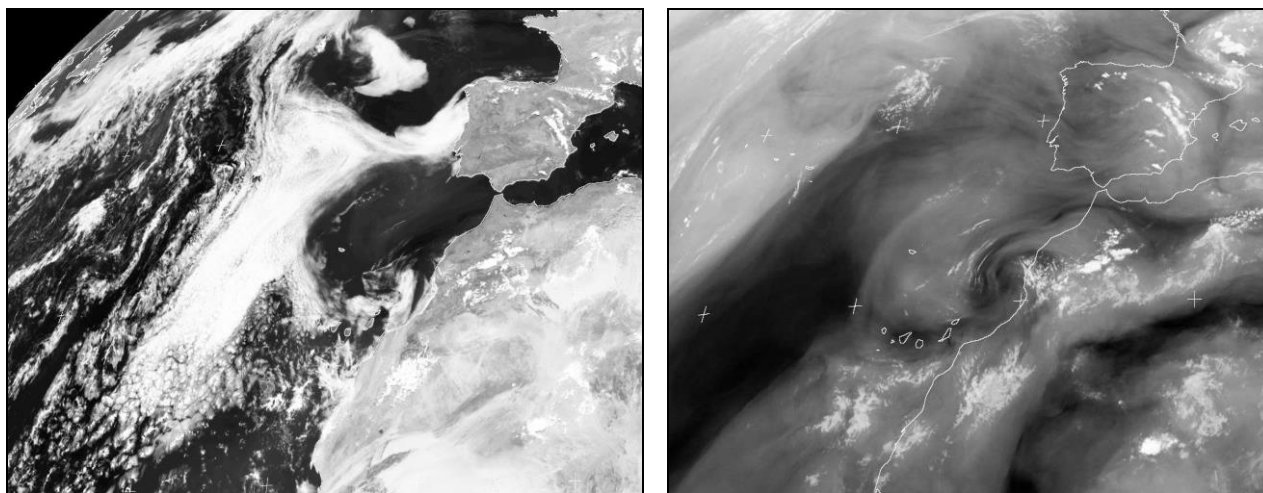
10 DE JULIO DE 2013



Mapa sinóptico el 10 julio 2013 y radiossondeo a 12 h. Vientos húmedos en cotas < 175 m

El mapa sinóptico indica altas presiones intensas (1022 mb) centradas en las Azores, áreas depresionaria poco profundas (1011 mb) y depresión sahariana (1006 mb) moderadamente profunda centrada al suroeste de Argelia; el flanco oriental del anticiclón atlántico está alejado del continente africano. Esta situación barométrica promueve el movimiento de aire moderadamente húmedo con desplazamiento débil de componente noreste sobre la superficie marina hacia Canarias en cotas inferiores a 175 m, la **barrera de aire fresco y húmedo** típica proyecta el aire sahariano seco y caliente en cotas próximas a la costa y medianía, altitudes que no llegar ser pronunciadas, **inversión térmica a media altura**. Las costas isleñas están inmersas en ambiente de contenido acuoso moderado.

Curva de estado real a mediodía: la temperatura desciende entre 105 m (vientos débiles del SSE, 26 °C, 70%) y 175 m (vientos débiles del ESE, 24.6 °C, 69%), **capa húmeda superficial muy delgada**; ascenso suave de la temperatura. inversión térmica hasta 800 m (vientos débiles del SE, 29.4 °C, 16%); a partir de 800 m se observa un descenso continuo de la temperatura, en la cota 2340 m alcanza 18 °C (vientos débiles del WSW, 32%); **inexistencia de nubosidad orográfica**. La curva de **estado saturado**, muestra un **ligero descenso** 105 m (20 °C) y 310 m (15.2 °C), descenso suave de la humedad del aire desde 70% a 54%; **descenso muy brusco** de la humedad a partir de la cota 310 m. Presencia de polvo sahariano notable en la troposfera canaria.



Imágenes Meteosat 9 el 10 de julio de 2013 a las 12 h. Nubes estratiformes y vientos N a E

Imagen visible recogida a las 12 h en la región canaria. En ambas imágenes apreciamos la nubosidad típica de Tarfaya. Nubosidad estratiforme generalizada en la región canaria con **escaso contenido acuoso** sobre la costa y medianías en las vertientes orientadas al noroeste a este por efecto de la **irrupción de aire húmedo**, viento suave del noroeste a noreste que soplan sobre la superficie marina expulsado por el anticiclón atlántico y reforzado por la depresión sahariana. La **imagen infrarroja** nos indica **nubosidad estratiforme poca desarrollada**; una tenue mancha blanquecina cubre las islas; masa nubosa con importante contenido acuoso al suroeste del archipiélago.

COMARCAS DE ACENTEJO Y VALLE DE LA OROTAVA									
PLUVIÓMETRO	TEM	HUM	VEL	RAD	PREC	ETP	D1	D2	
LA LAGUNA - TEJINA	21.8	85.7	4.6	24.2	0.0	4.3	N		
SANTA ÚRSULA - EL MALPAÍS	21.2	87.2	2.3	16.1	0.0	3.1	N	NE	
VALLE GUERRA - ISAMAR	20.4	85.1	4.1	29.9	0.0	5.0	S		
TACORONTE - S.E.A.	20.0	91.3	4.9		0.0	0.3			
TEGUESTE - LA PADILLA	21.3	83.4	2.8	26.5	0.0	4.7			
VALLE GUERRA - GARIMBA	21.2	72.1	3.6	30.1	0.0	5.4	NW	N	
SANTA ÚRSULA - LAS TIERRAS	22.5	71.7	2.2	29.1	0.0	5.2	NW	N	
SANTA ÚRSULA - LA CORUJERA	22.5	71.1	4.1	27.4	0.0	5.1			
LA VICTORIA - DEPÓSITO MARRERO	22.9	67.8	5.1		0.0				
TACORONTE - AGUA GARCÍA	23.2	62.8	4.4	28.7	0.0	5.5			
LA VICTORIA - EL LOMO	23.5	67.7	3.6	25.0	0.0	4.8			
LA MATANZA - CRUZ DEL CAMINO	22.9	69.7	2.2	28.3	0.0	5.2			
EL SAUZAL - RAVELO	26.1	39.6	6.1	28.6	0.0	6.6			
LA VICTORIA - GAITERO	23.8	31.1	13.8	32.3	0.0	8.9	SE	E	
PUERTO DE LA CRUZ - BOTÁNICO	21.7	81.4	0.9	18.4	0.0	3.4	SE		
LA OROTAVA - EL RINCÓN	20.8	89.7	1.4	21.8	0.0	3.9	N	NW	
LA OROTAVA - LA PERDOMA RATINO	21.3	85.6	2.9	25.1	0.0	4.5			
LA OROTAVA - LA PERDOMA - SUERTE	22.2	70.1	5.3	27.7	0.0	5.3			
LOS REALEJOS - PALO BLANCO	22.7	67.9	4.5	28.5	0.0	5.4			
LA OROTAVA - BENIJOS	27.0	34.9	9.4	28.0	0.0	7.4			
LA OROTAVA - AGUAMANSA	25.7	37.6	5.8	31.2	0.0	6.9			

COMARCAS DE ICODEN Y DAUTE								
PLUVIÓMETRO	TEM	HUM	VEL	RAD	PREC	ETP	D1	D2
LA GUANCHA - CHARCO DEL VIENTO	22.4	86.6	0.2	12.5	0.0	2.5	NE	N
ICOD DE LOS VINOS - PARQUE DRAGO	20.6	86.9	3.8	19.3	0.0	3.5	NW	W
SAN JUAN RAMBLA - EL MIRADOR	19.8	91.1	3.5		0.0			
ICOD - LOS VINOS - SANTA BÁRBARA	20.6	90.9	2.7	26.2	0.0	4.6		
ICOD - LOS VINOS - REDONDO	23.3	62.4	3.8	27.7	0.0	5.3		
LOS REALEJOS - ICOD EL ALTO	28.1	40.2	7.6	28.9	0.0	7.0		
BUENAVISTA DEL NORTE - ICIA	21.7	80.0	5.2	18.4	0.0	3.7	SE	
BUENAVISTA DEL NORTE AGROCABILDO	22.0	82.2	5.5	15.4	0.0	3.2	E	NE
LOS SILOS - TIERRA DEL TRIGO	21.2	83.0	2.8	25.1	0.0	4.5		
BUENAVISTA DEL NORTE - PALMAR	22.2	68.3	3.4	27.8	0.0	5.1		
EL TANQUE - RUIGÓMEZ	27.3	35.2	6.3	31.8	0.0	7.1		

COMARCAS DE ISORA Y ABONA								
PLUVIÓMETRO	TEM	HUM	VEL	RAD	PREC	ETP	D1	D2
GUÍA DE ISORA - CUEVA DEL POLVO	22.9	79.3	4.0	26.3	0.0	4.9	E	
GUÍA ISORA - PLAYA DE ALCALÁ	23.2	80.9	2.1	25.9	0.0	4.8	SE	NW
ARONA - LAS GALLETAS	23.9	73.5	3.2	27.5	0.0	5.4	W	E
ADEJE - LA CALDERA	23.0	79.6	5.9		0.0			
GUÍA DE ISORA	24.9	60.2	5.7	28.0	0.0	5.7	S	E
GUÍA DE ISORA - EL POZO	29.6	34.5	5.8	27.8	0.0	6.9		
GUÍA DE ISORA - CHIO	28.7	35.2	7.6	28.6	0.0	7.4		
SANTIAGO DEL TEIDE - VALLE ARRIBA	27.1	37.0	5.5	28.6	0.0	6.7		
GUÍA DE ISORA - ARIPE - LLANITOS	26.5	39.5	5.1	28.5	0.0	6.5		
GUÍA DE ISORA - CHAVAO	22.4	30.1	7.8	33.7	0.0	7.3	E	W
ARICO - LLANOS DE SAN JUAN	22.9	36.2	8.3	27.7	0.0	6.7	S	SW
AEROPUERTO REINA SOFIA	24.0	79.2	8.7		0.0			
ARICO - ICOR	23.2	64.6	2.6	26.3	0.0	5.0	SE	N
ARICO - TEGUEDITE - EL VISO	25.8	63.4	4.1	26.5	0.0	5.5		
ARICO - LA DEGOLLADA	26.2	61.2	6.1		0.0			
GÜIMAR - LOMO MENA	27.9	53.3	5.0	26.9	0.0	6.0		
GRANADILLA - CHARCO PINO	26.1	60.8	5.6	27.5	0.0	5.9		
GRANADILLA - EL PINALETE	28.9	35.4	8.1	28.3	0.0	7.5		
ARICO - EL BUENO - LOS HELECHOS	29.0	32.3	5.4	27.0	0.0	6.8	NW	E
VILAFLORES - EL FRONTÓN	26.1	41.0	7.6	29.8	0.0	7.0	NW	SE
ARICO - LOS PICACHOS	24.5	30.9	9.6	31.5	0.0	7.6	N	SE

COMARCA DE VALLE DE GÜIMAR Y SURESTE - ANAGA								
PLUVIÓMETRO	TEM	HUM	VEL	RAD	PREC	ETP	D1	D2
GÜIMAR - TOPO NEGRO	24.8	77.2	3.6	26.5	0.0	5.3		
GÜIMAR - BARRANCO BADAJOZ	26.8	63.3	4.2	26.4	0.0	5.6		
CANDELARIA - LAS CUEVECITAS	25.8	60.0	5.8		0.0			
CANDELARIA - ARAYA	27.6	50.7	2.1	30.0	0.0	5.9	N	S
ARAFO - ANAVINGO	29.6	45.6	5.0	27.0	0.0	6.4		
SANTA CRUZ TENERIFE - CRUZ SEÑOR	23.6	80.5	3.4	29.6	0.0	5.4	SE	S
SANTA CRUZ DE TENERIFE	23.3	81.9	5.8		0.0			
EL ROSARIO - LOS BALDÍOS	26.4	35.8	7.3	28.7	0.0	6.8		
AEROPUERTO DE LOS RODEOS	26.5	42.6	13.1	0.0	W			
SANTA CRUZ - IGUESTE SAN ANDRÉS	22.6	84.9	5.3	27.5	0.0	4.9	S	SE
SANTA CRUZ - SAN ANDRÉS	23.8	79.4	4.9		0.0			
ANAGA - TAGANANA	20.0	90.4	7.0	24.5	0.0	4.1	NW	E
ANAGA - LLANOS DE LOS LOROS	27.3	33.0	10.6		0.0		NW	SE

PARQUE NACIONAL DEL TEIDE								
PLUVIÓMETRO	TEM	HUM	VEL	RAD	PREC	ETP	D1	D2
LA OROTAVA - OBSERVATORIO IZANA	19.9		18.3		0.0			
RISCO VERDE	20.7	30.2	6.3		0.0			
PARADOR TURISMO	21.4	26.1	10.8		0.0			

COMPORTAMIENTO DE LA DIRECCIÓN DEL VIENTO Y DE SU CONTENIDO ACUOSO

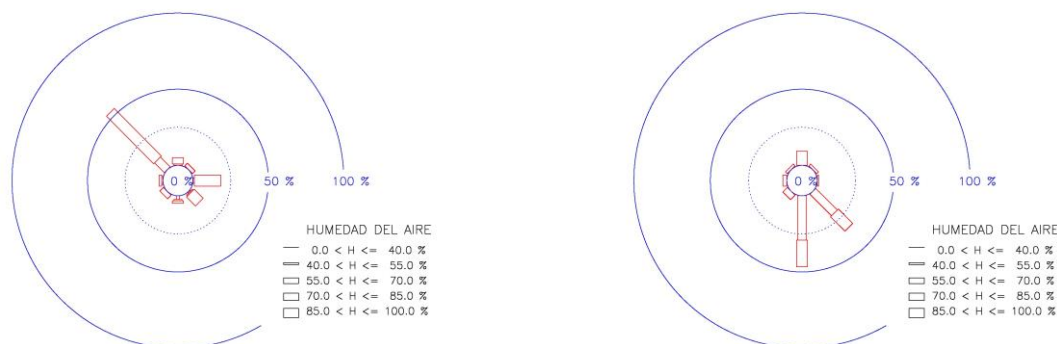
SANTA CRUZ TFE – TAGANANA

10 / JULIO

/ 2013 SANTA CRUZ TFE – IGUESTE SAN ANDRES

10 / JULIO

/ 2013



Rosas de humedades en la costa

Igueste San Andrés, los vientos **húmedos** soplan en el sector SE a W y en el sector SE a S son frecuentes. Los **vientos muy húmedos** soplan en el sector SE a N y en el sector SE a S son frecuentes. Humedad del aire media diaria 85%, 5.3 km/h, poco ventoso y soleado.

Taganana, los **vientos semisecos** soplan en el sector E a S y son irrelevantes. Los vientos **húmedos** soplan en el sector E a NW y en la dirección NW son poco frecuentes. Los **vientos muy húmedos** soplan en todas las direcciones, en la dirección E son frecuentes y en la dirección NW son dominantes. Humedad del aire media diaria 90%, 7.4 km/h, ligeramente ventoso y cubierto.

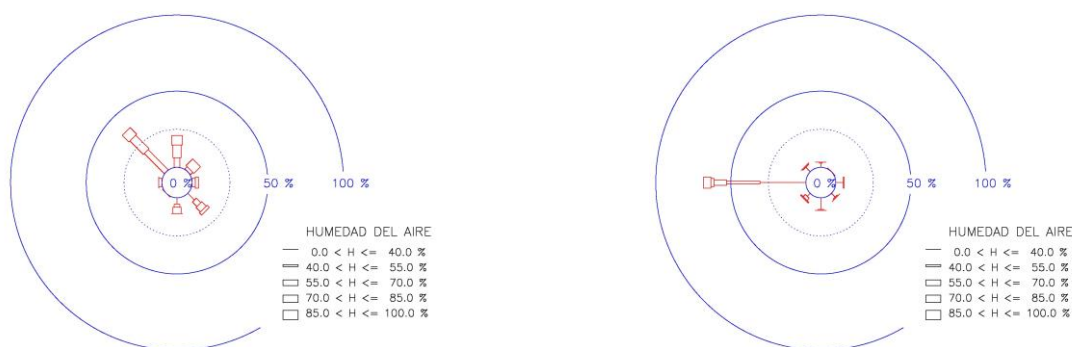
LA LAGUNA – VALLE GUERRA – GARIMBA

10 / JULIO

/ 2013 AEROPUERTO TENERIFE NORTE – LOS RODEOS

10 / JULIO

/ 2013



Rosas de humedades en la medianía baja

Garimba, los **vientos secos** soplan en el sector SE a S y son poco frecuentes. Los **vientos semihúmedos** soplan en los sectores SE a S y NW a N, y en la dirección NW son frecuentes. Los **vientos húmedos** soplan en el sector NW a S y en la dirección NW son frecuentes. Los **vientos muy húmedos** soplan en el sector NW a S y son poco frecuentes. Humedad del aire media diaria 72%, 3.6 km/h, poco ventoso y soleado.

Aeropuerto de los Rodeos, los **vientos secos** soplan en el sector E a N y en la dirección W son dominantes. Los **vientos semisecos** soplan en la dirección W y son frecuentes. Los vientos semihúmedos soplan en el sector SW a W y son poco frecuentes. Los vientos húmedos y muy húmedos soplan en la dirección W y son irrelevantes. Humedad del aire media diaria 43% y 13.9 km/h, moderadamente ventoso.

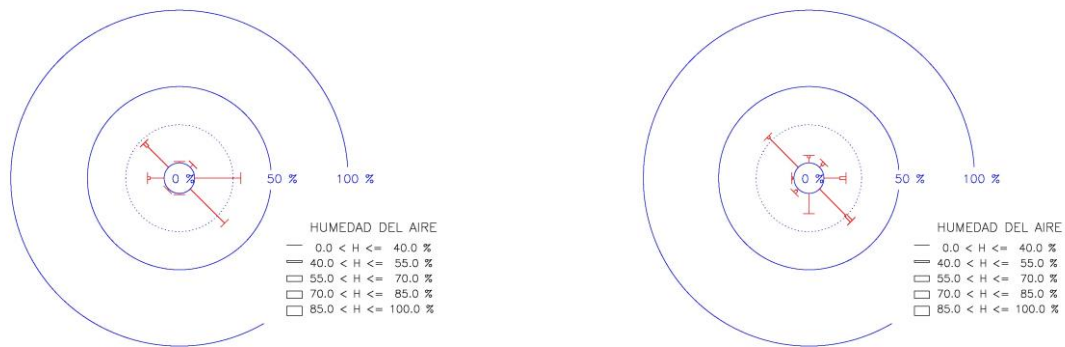
LA VICTORIA – EL GAITERO

10 / JULIO

/ 2013 LA LAGUNA – LAS MERCEDES – LLANO LOROS

10 / JULIO

/ 2013



Rosas de humedades en las cresterías

Llanos de los Loros, los **vientos secos** soplan en el sector NW a SW, en el sector E a S y en la dirección NW son frecuentes. Los **vientos semisecos** soplan en el sector SW a SE y son poco frecuentes. Humedad del aire media diaria 33% y 10.6 km/h, moderadamente ventoso.

El Gaitero, los **vientos secos** soplan en todas las direcciones y en los sectores E a SE y W a NW son frecuentes. Los **vientos semisecos** soplan en el sector W a NW y son poco frecuentes. Humedad del aire media diaria 31%, 13.6 km/h, moderadamente ventoso y soleado.

17 CARACTERÍSTICAS METEOROLÓGICAS DE DÍAS CALIMOSOS

¿QUÉ ES LA CALIMA?

La calima es el término local con el que en Canarias se describe la presencia de polvo en suspensión procedente del continente africano (principalmente del desierto sahariano). Cuando hay calima el aire toma un aspecto denso reduciéndose la visibilidad. En los episodios más fuertes el aire se vuelve de un color rojizo.

Una gran parte de las partículas minerales que constituyen la calima procede de los ríos primitivos africanos que hoy en día están secos y tiene gran cantidad de limos y arcillas en su lecho. Una de las fuentes más importantes es la región de la **depresión de Bodele** al norte del Lago Chad. Estos sedimentos se ponen en suspensión con una pequeña brisa o con los procesos convectivos de aire generados por la temperatura elevada del suelo que actúan como un aspirador creando un flujo ascendente arrastrando consigo estos materiales.

Las características de las invasiones de aire caliente las constituyen las altas temperaturas muy superiores a los valores normales, la sequedad y enturbiamiento del aire producido por calima más o menos densa. Los valores máximos mensuales de temperatura han tenido lugar durante dichas invasiones. En casos extremos la visibilidad del aire puede quedar reducida a menos de un kilómetro.

HUMEDAD MEDIA MENSUAL

	PERIODO	ENE	FEB	MAR	ABR	MAY	JUN	JUL	AGO	SEP	OCT	NOV	DIC
TEJINA	02-13	68.1	69.5	71.1	70.0	70.2	72.8	75.1	75.5	75.2	74.8	72.0	70.1
TAGANANA	11-13	69.9	74.0	78.9	75.2	74.8	82.4	84.1	85.9	83.0	78.1	77.3	72.9
MERCEDES	09-13	80.2	85.1	80.0	84.6	83.0	79.9	72.1	61.2	79.1	81.2	88.2	86.6
IGUESTE	11-13	64.9	63.2	66.6	62.6	59.0	63.4	58.8	54.4	65.9	65.7	69.1	67.8
CRUZ SEÑ	11-13	65.8	62.9	67.4	64.0	62.3	61.3	60.4	58.6	66.0	65.9	67.8	67.3
RODEOS	09-13	81.7	81.2	79.9	79.4	75.8	77.4	74.2	70.7	79.3	78.4	82.8	82.5

La tabla presenta las humedades medias mensuales en lugares destacados de la península y borde occidental de Anaga. Las series higrométricas no tienen el mismo periodo de observación. El análisis de las humedades medias mensuales muestra conclusiones interesantes. Las humedades medias extremas oscilan entre 54% en la costa a sotavento frente a los vientos estivales del norte y 88% en zona de crestería a barlovento frente a vientos de componentes noroeste a norte muy frecuentes, situaciones higrométricas opuestas y en particular agosto a causa de distintas situaciones barométricas.

La humedad del aire en la costa de orientación norte es inferior desde diciembre a febrero que desde julio a septiembre. Los vientos frescos marinos con elevado contenido acuoso son expulsados por el anticiclón atlántico y alcanzan frecuentemente la costa en verano, mientras que el anticiclón atlántico se desplaza frecuentemente hacia el sureste en invierno, los vientos marinos húmedos tienen un contenido acuoso menos acusados que en verano. Los alisios, vientos húmedos, soplan en la región canaria con mayor frecuencia en verano que en invierno; lo contrario, la humedad del aire en la costa de orientación este a suroeste es ligeramente superior en otoño e invierno que el resto del

año debido a la mayor presencia de la depresión sahariana centrada al sur de Argelia que induce movimientos de aire ascendente seco y caliente cargado de partículas de arena.

La humedad del aire en las medianías de orientación noroeste a noreste tiene la humedad media mensual elevada, superior al 70% y alcanza notable contenido acuoso desde junio a septiembre. **La humedad del aire en las medianías de orientación este a oeste tienen la humedad media mensual inferior a las medianías de las vertientes opuestas en cotas similares.** El aire húmedo fresco asciende sobre las laderas a barlovento, atraviesa las cresterías, se cubren de nubosidad orográfica frecuentemente, el aire con menor contenido acuoso desciende sobre las laderas a sotavento. Muchos días en verano sucede un proceso inverso, las zonas más elevadas del macizo registran humedades notablemente inferiores a la costa a causa de la invasión de aire sahariano en cotas elevadas debido a la depresión saharianas cuando se aproxima a la costa africana.

HORAS MEDIAS DIARIAS HUMEDAD <= 40%

	ENE	FEB	MAR	ABR	MAY	JUN	JUL	AGO	SEP	OCT	NOV	DIC
TEJINA	0.9	0.8	0.6	0.3	0.2	0.0	0.0	0.0	0.1	0.1	0.4	0.5
TAGANANA	1.9	0.6	0.5	1.1	1.0	0.0	0.1	0.0	0.1	0.4	0.1	1.4
MERCEDES	1.6	0.8	2.5	1.8	2.1	3.7	6.1	8.7	1.5	1.5	0.4	0.8
IGUESTE SA	0.8	0.6	0.9	1.6	2.4	1.8	3.9	5.8	1.0	1.5	0.1	0.7
CRUZ SEÑOR	0.8	0.4	0.4	0.9	1.2	1.9	2.3	3.3	0.9	0.9	0.0	0.8
RODEOS SOT	0.8	0.6	1.4	1.0	1.5	2.2	3.5	4.4	0.8	1.5	0.6	0.7

La tabla presenta las horas medias diarias en la cual la humedad relativa del aire es inferior o igual a la humedad de referencia 40%, humedad del aire correspondiente a una atmósfera con escaso contenido acuoso, estado higrométrico no considerado extremadamente seco, pero eso sí, poco frecuente en el macizo. La humedad del aire en costa y medianía a barlovento es irrelevante al estar expuesta a los vientos húmedos del norte, lo contrario, la humedad del aire en costa y medianía a sotavento tiene la misma cuantía que a barlovento, excepto desde mayo a septiembre, los vientos húmedos llegan a la costa a barlovento descargan su contenido acuoso una vez que hayan atravesado la cumbre, además en la crestería desde junio a agosto se hace notar la influencia de las invasiones de aire sahariano.

HORAS MEDIAS DIARIAS HUMEDAD <= 55%

	ENE	FEB	MAR	ABR	MAY	JUN	JUL	AGO	SEP	OCT	NOV	DIC
TEJINA	4.3	3.3	2.6	2.4	1.8	0.9	0.5	0.8	1.2	1.4	2.3	2.8
TAGANANA	3.6	1.0	0.8	1.8	1.4	0.6	0.3	0.3	0.3	0.9	0.5	2.5
MERCEDES	3.9	1.9	4.0	2.5	3.1	5.4	7.7	11.1	3.5	2.8	1.3	1.8
IGUESTE SA	4.2	4.6	4.2	5.4	7.7	5.3	7.9	11.1	4.6	4.1	2.1	3.0
CRUZ SEÑOR	3.4	4.6	2.7	4.3	5.7	6.0	6.5	8.1	3.9	3.6	2.4	2.9
RODEOS SOT	1.7	1.2	2.5	1.6	2.5	2.6	4.4	5.7	1.5	2.2	1.0	1.4

La tabla presenta las horas medias diarias de la cual la humedad relativa del aire es inferior o igual a la humedad de referencia 55%, humedad del aire correspondiente a una atmósfera con moderado contenido acuoso, estado higrométrico no considerado seco, pero eso sí, frecuente en ciertas áreas del macizo. La humedad del aire es seca en costa y medianías a barlovento, lo contrario, la humedad del aire en costa y medianías a sotavento es moderadamente seca sobre todo desde abril a agosto. Con este criterio de clasificación higrométrico destacamos la humedad ambiental en costa y medianías a barlovento son inferiores en diciembre y enero.

NÚMERO DE DÍAS MEDIOS CON HUMEDAD MEDIA DIARIA INFERIOR O IGUAL AL 40%

	PERIODO	ENE	FEB	MAR	ABR	MAY	JUN	JUL	AGO	SEP	OCT	NOV	DIC
TEJINA	02-13	0.40	0.42	0.40	0.25	0.10	0.00	0.00	0.00	0.00	0.00	0.24	0.10
TAGANANA	11-13	2.00	0.50	0.00	1.00	0.50	0.00	0.00	0.00	0.00	0.33	0.00	1.00
MERCEDES	09-13	1.25	0.50	2.25	1.75	2.25	4.75	7.25	10.25	1.00	1.80	0.40	0.60
IGUESTE	11-13	0.50	0.50	0.50	1.50	1.50	1.50	4.00	8.00	1.00	2.00	0.00	0.33
RODEOS	09-13	0.59	0.20	0.59	1.00	1.61	2.61	3.60	4.59	0.39	1.40	0.39	0.59

La tabla presenta el número de días medios cada mes en la cual la humedad relativa del aire media diaria es inferior o igual a la humedad de referencia 40%. La medianía a barlovento es ligeramente más seca en diciembre y enero que el resto del año; la influencia del aire húmedo del norte se hace notar en verano; lo contrario, la costa y medianías a sotavento son ligeramente más secas en julio y agosto que el resto del año, y la sequedad ambiental carece de relevancia desde noviembre y marzo.

NÚMERO DE DÍAS MEDIOS CON HUMEDAD MEDIA DIARIA INFERIOR O IGUAL AL 55%

	ENE	FEB	MAR	ABR	MAY	JUN	JUL	AGO	SEP	OCT	NOV	DIC
TEJINA	3.25	1.82	1.09	0.33	0.25	0.00	0.10	0.00	0.00	0.10	0.93	1.58
TAGANANA	4.00	1.00	0.50	2.00	1.50	0.50	0.00	0.33	0.00	0.67	0.00	3.00
MERCEDES	2.80	1.40	3.40	2.20	3.20	4.80	7.60	10.80	2.80	3.20	1.40	1.80
IGUESTE	2.00	2.50	2.50	3.00	7.00	3.50	8.00	13.00	2.33	3.33	0.00	2.33
RODEOS	1.40	0.59	2.60	1.59	2.39	3.39	5.21	7.20	1.41	2.39	1.00	1.21

La tabla presenta el número de días medios cada mes en la cual la humedad relativa del aire media diaria es inferior o igual a la humedad de referencia 55%. Esta tabla nos permite considerar una clasificación higrométrica en el cual el aire tiene ligeramente mayor contenido acuoso. La interpretación de los resultados es similar a la expuesta en la tabla precedente, por tanto nos confirma las conclusiones climáticas obtenidas.

PORCENTAJE MEDIO DE DÍAS CON HUMEDAD MEDIA DIARIA INFERIOR O IGUAL AL 40%

	PERIODO	ENE	FEB	MAR	ABR	MAY	JUN	JUL	AGO	SEP	OCT	NOV	DIC
TEJINA	02-13	1.3	1.5	1.3	0.8	0.3	0.0	0.0	0.0	0.0	0.0	0.8	0.3
TEJIN PICO	10-13	3.2	1.8	1.6	1.7	0.8	0.0	0.0	0.8	0.0	1.6	0.0	4.3
TAGANANA	11-13	6.5	1.8	0.0	3.3	1.6	0.0	0.0	0.0	0.0	1.1	0.0	3.2
ISAMAR	06-13	7.3	1.3	2.4	2.9	2.0	0.0	0.4	0.4	0.0	0.8	4.2	3.2
GARIMBA	10-13	4.0	0.9	2.4	3.3	1.6	2.5	2.4	0.8	0.8	3.2	0.0	4.8
RAVELO	01-13	9.7	7.4	11.2	5.6	4.5	4.9	13.9	13.4	3.1	4.2	4.1	3.7
MERCEDES	09-13	3.2	0.7	5.2	4.7	5.8	12.7	18.7	25.8	2.7	4.5	1.3	1.9
SANT CRUZ	11-13	0.0	0.0	0.0	0.0	0.0	1.1	0.0	4.3	0.0	0.0	0.0	0.0
IGUESTE	11-13	1.6	1.8	1.6	5.0	4.8	5.0	12.9	25.8	3.3	6.5	0.0	1.1
CRUZ SEÑOR	11-13	1.1	0.0	0.0	3.3	0.0	3.3	7.5	8.6	2.2	1.1	0.0	1.1
RODEOS SOT	09-13	1.9	0.7	1.9	3.3	5.2	8.7	11.6	14.8	1.3	4.5	1.3	1.9

PORCENTAJE MEDIO DE DÍAS CON HUMEDAD MEDIA DIARIA INFERIOR O IGUAL AL 55%

	PERIODO	ENE	FEB	MAR	ABR	MAY	JUN	JUL	AGO	SEP	OCT	NOV	DIC
TEJINA	02-13	10.5	6.5	3.5	1.1	0.8	0.0	0.3	0.0	0.0	0.3	3.1	5.1
TEJ PICO	10-13	8.6	2.7	3.2	3.3	2.4	0.0	0.0	2.4	0.0	2.4	0.0	8.6
TAGANANA	11-13	12.9	3.6	1.6	6.7	4.8	1.7	0.0	1.1	0.0	2.2	0.0	9.7
ISAMAR	06-13	17.7	4.9	4.4	3.8	3.2	0.0	1.2	1.6	1.2	3.6	8.8	8.5
GARIMBA	10-13	8.1	2.7	4.8	8.3	4.8	4.2	4.0	1.6	2.5	5.6	4.2	9.7
RAVELO	01-13	21.1	15.4	21.8	9.7	10.9	11.8	23.1	25.8	9.2	9.9	8.7	11.7
MERCEDES	09-13	9.0	5.0	11.0	7.3	10.3	16.0	24.5	34.8	9.3	10.3	4.7	5.8
SANT CRUZ	11-13	9.7	19.0	8.6	10.0	6.5	16.7	11.8	18.3	6.7	5.4	1.1	12.9
IGUESTE	11-13	6.5	8.9	8.1	10.0	22.6	11.7	25.8	41.9	7.8	10.8	0.0	7.5
CRUZ SEÑO	11-13	7.5	7.1	4.3	4.4	14.0	14.4	17.2	28.0	5.6	9.7	1.1	8.6
RODEOS ST	09-13	4.5	2.1	8.4	5.3	7.7	11.3	16.8	23.2	4.7	7.7	3.3	3.9

Las tablas de porcentajes medios de días con humedades medias diarias inferior o igual a una humedad relativa del aire de referencia se obtienen a partir de las dos tablas anteriores con los números de días medios cada mes, por tanto, presentamos las observaciones siguiendo una expresión matemática diferente donde el 100% significa que el suceso ocurre todos los días del mes. El análisis de los porcentajes conduce a los mismos resultados de las tablas precedentes.

PORCENTAJE MEDIO DE DÍAS CON DIRECCIONES DOMINANTES COMPRENDIDAS EN EL SECTOR E A S

	PERIODO	ENE	FEB	MAR	ABR	MAY	JUN	JUL	AGO	SEP	OCT	NOV	DIC
TEJINA	02-13	33.3	25.3	18.8	16.9	8.9	5.8	11.3	14.2	13.6	22.6	33.1	39.5
TEJIN PICO	10-13	40.9	19.6	13.7	8.3	1.6	0.0	0.0	0.0	6.7	12.1	21.1	48.4
TAGANANA	11-13	37.1	5.4	8.1	6.7	1.6	0.0	0.0	0.0	2.2	18.3	23.3	46.2
ISAMAR	06-13	41.1	23.2	14.1	7.1	1.2	0.4	0.4	0.4	4.2	9.3	35.8	55.2
GARIMBA	10-13	55.6	32.1	19.4	9.2	6.5	0.8	0.0	0.8	5.8	19.4	32.5	49.2
RAVELO	01-13	38.5	29.4	20.8	10.0	5.5	5.4	9.2	10.2	11.8	21.3	25.1	37.2
MERCEDES	09-13	34.8	19.3	14.8	9.3	5.2	8.0	5.8	12.9	9.3	8.4	21.3	47.1
IGUESTE	11-13	0.0	0.0	8.1	1.7	3.2	1.7	9.7	8.1	8.9	0.0	2.2	5.4
SANTA CRUZ	11-13	0.0	0.0	5.4	10.0	16.1	22.2	29.0	40.9	21.1	6.5	4.4	4.3
CRUZ SEÑOR	11-13	14.0	11.9	11.8	10.0	12.9	8.9	11.8	20.4	16.7	7.5	7.8	22.6
RODEOS SOT	09-13	37.4	20.7	13.5	7.3	0.6	6.7	5.2	3.9	10.0	10.3	20.0	43.2

La tabla de porcentaje medio de días con **direcciones dominantes** comprendidas en un sector concreto de la rosa de vientos se ha realizado teniendo en cuenta solamente criterios anemométricos.

Los vientos que soplan dominantes en el **sector este a sur**, segundo cuadrante de la rosa de vientos son notables en las vertientes de orientaciones noroeste a noreste, vertientes a barlovento, en el periodo otoñal e invernal; los porcentajes son superiores al 33%, un tercio de los días de **diciembre y enero**. La costa de orientación este a sursureste no destacan los vientos del segundo cuadrante en otoño e invierno, e incluso son irrelevantes en enero y febrero; lo contrario su influencia se hace notar desde mayo a septiembre, siendo notable desde julio a septiembre, la franja costera está expuesta a la influencia de los vientos de procedencia sahariana. Las medianías de orientación este a sursureste, vertientes a sotavento, los vientos soplan con características similares a las de laderas a barlovento; las medianías en ambas vertientes son muy próximas.

**PORCENTAJE MEDIO DE DÍAS CON DIRECCIONES DOMINANTES EN EL SECTOR
E A S Y HUMEDAD $\leq 55\%$**

	PERIODO	ENE	FEB	MAR	ABR	MAY	JUN	JUL	AGO	SEP	OCT	NOV	DIC
TEJINA	02-13	8.3	3.9	1.9	0.6	0.5	0.0	0.0	0.0	0.0	0.0	2.5	4.3
TEJIN PICO	10-13	4.3	1.8	3.2	0.8	0.8	0.0	0.0	0.0	0.0	1.6	0.0	5.4
TAGANANA	11-13	11.3	1.8	0.0	5.0	1.6	0.0	0.0	0.0	0.0	2.2	0.0	8.6
ISAMAR	06-13	11.3	3.6	2.0	2.5	1.2	0.0	0.4	0.4	0.0	2.0	6.7	4.8
GARIMBA	10-13	8.1	1.8	2.4	5.0	3.2	0.8	0.0	0.8	0.0	2.4	2.5	6.5
RAVELO	01-13	14.6	11.3	10.9	5.1	3.7	3.3	7.9	6.9	3.6	6.7	5.6	8.7
MERCEDES	09-13	6.5	3.6	4.5	3.3	3.9	7.3	5.8	11.0	1.3	3.9	3.3	5.2
IGUESTE	11-13	0.0	0.0	0.0	0.0	1.6	0.0	1.6	0.0	0.0	0.0	0.0	1.1
SANTA CRUZ	11-13	0.0	0.0	0.0	1.1	1.1	3.3	6.5	6.5	0.0	0.0	0.0	2.2
CRUZ SEÑOR	11-13	0.0	0.0	0.0	1.1	3.2	4.4	6.5	6.5	1.1	0.0	0.0	0.0
RODEOS SOT	09-13	3.9	2.1	3.9	3.3	0.6	4.7	5.2	3.9	0.7	3.2	2.7	3.2

La tabla muestra los porcentajes medios de días que reúnen dos condiciones meteorológicas simultáneas. Cada día elegido tiene la humedad inferior o igual al 55% y las frecuencias relativas de las dos direcciones más frecuentes, una de ella la dominante, están comprendidas en el sector este a sureste. Los porcentajes obtenidos siguiendo este criterio son inferiores a los presentados en la tabla anterior, ya que puede darse las circunstancias atmosféricas de días donde el viento sopla dominante del segundo cuadrante y la humedad del aire corresponde a días húmedos.

Las conclusiones obtenidas solapando las dos condiciones meteorológicas conducen afirmar con cierta reserva que corresponden a días **calimosos secos o calinosos secos**. Este criterio de clasificación meteorológico no es riguroso, ya que las invasiones de aire turbio sahariano afectan a todas las capas de la troposfera canaria. El método preciso para identificar días calimosos se realizarían con nueva instrumentación instaladas en lugares alejados de la influencia humana, tales como son el observatorio astrofísico de alta montaña. De todos modos presentamos un análisis meteorológico con supuestos días calimosos en el macizo de Anaga.

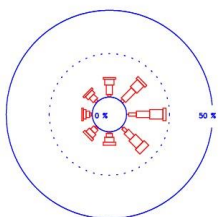
La distribución mensual de días calimosos es distinta en las vertientes con diferentes orientaciones, además de diferentes altitudes. La costa y medianía baja de las vertientes norte a noreste los porcentajes presentan valores apreciables desde octubre a marzo y destaca en enero, mientras que raramente se detectan valores que se puedan mencionar relevantes desde mayo a septiembre debido a los vientos marinos que soplan principalmente en el sector noroeste a noreste; lo contrario, la costa y medianía baja de las vertientes este a sursureste, los porcentajes presentan valores apreciables desde mayo a agosto y son notables en julio y agosto. La medianía alta en ambas vertientes y cresterías, los porcentajes presentan valores apreciables todos los meses y **destacan desde junio a agosto**; las laderas expuestas a los vientos saharianos tienen efectos similares a zonas de alta montaña donde las invasiones de polvo se hacen más perceptibles.

CONCLUSIÓN

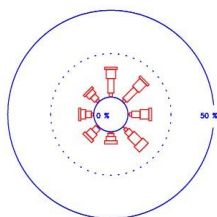
“Los días supuestamente con calima seca seleccionados con criterio higo - anemométrico no son apreciables durante el año, solamente en el periodo estival son relevantes en áreas montañosas donde su presencia no supera el promedio de tres o cuatro días cada mes”.

COMPORTAMIENTO DE LA DIRECCIÓN DEL VIENTO Y DE SU CONTENIDO ACUOSO

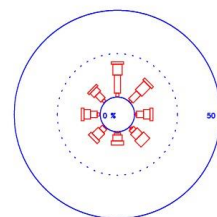
2002 / 2013 – ENERO LAGUNA – TEJINA



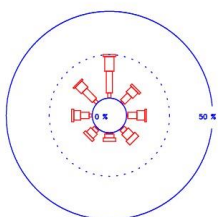
2002 / 2013 – FEBRERO LAGUNA – TEJINA



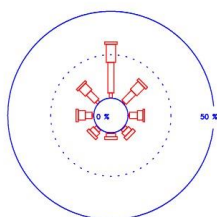
2002 / 2013 – MARZO LAGUNA – TEJINA



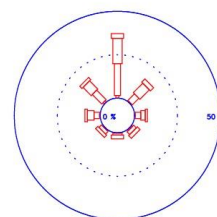
2002 / 2013 – ABRIL LAGUNA – TEJINA



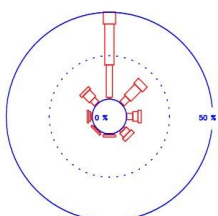
2002 / 2013 – MAYO LAGUNA – TEJINA



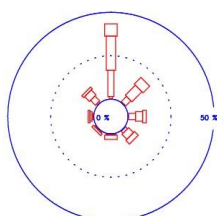
2002 / 2013 – JUNIO LAGUNA – TEJINA



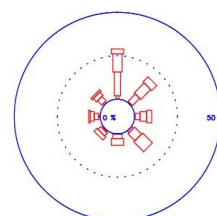
2002 / 2013 – JULIO LAGUNA – TEJINA



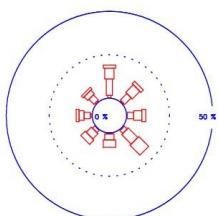
2002 / 2013 – AGOSTO LAGUNA – TEJINA



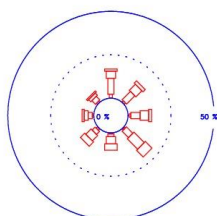
2002 / 2013 – SEPTIEMBRE LAGUNA – TEJINA



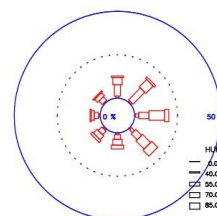
2002 / 2013 – OCTUBRE LAGUNA – TEJINA



2002 / 2013 – NOVIEMBRE LAGUNA – TEJINA



2002 / 2013 – DICIEMBRE LAGUNA – TEJINA



HUMEDAD DEL AIRE

- 40.0 < H <= 40.0 %
- 40.0 < H <= 50.0 %
- 50.0 < H <= 70.0 %
- 70.0 < H <= 85.0 %
- 85.0 < H <= 100.0 %

Rosas de humedades de mensuales representativa de la costa noroeste: TEJINA

Las rosas mensuales en Tejina, costa noroeste a 90 m de altitud, muestran vientos que soplan en todas las direcciones con frecuencias relevantes entre septiembre a marzo, además las direcciones son importantes en el sector este a sureste entre noviembre a enero; lo contrario los vientos que soplan en el sector oeste a este desde abril a agosto son frecuentes, en la dirección noreste son importante y en la dirección norte son dominantes, además los vientos que soplan en el sector sur a suroeste son poco relevantes. Las humedades medias mensuales:

68.1% ene, 69.5% feb, 71.1% mar, 70% abr, 70.2% may, 72.8% jun, 75.1% jul, 75.5% ago, 75.2% sep, 74.8% oct, 72% nov y 70.1% dic; la diferencia entre las humedades medias mensuales extrema es 7.4%. Julio, agosto y septiembre son meses húmedos; lo contrario enero y febrero son meses semihúmedo. La humedad del aire en Tejina no presenta variabilidad climática mensual notable por efecto de su cercanía al mar.

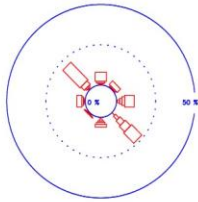
Los **vientos secos** (humedades inferiores al 40%) soplan en el sector este a sureste entre enero y febrero, y son apreciables. Los **vientos semisecos** (humedades comprendidas entre 40% y 55%) soplan todos los meses y su presencia no es destacable, solamente en la dirección este en enero y

febrero son apreciables; lo contrario, en el sector sureste a suroeste desde abril a agosto son inapreciables. Los vientos **semihúmedos** (humedades comprendida entre 55% y 70%) soplan en todas las direcciones; en invierno en el sector norte a este son frecuentes; en primavera en el sector noroeste a este son frecuentes y en la dirección norte son dominantes; en verano en la dirección norte son dominantes; en otoño en el sector norte a noreste son frecuentes. Los **vientos húmedos** (humedades comprendidas entre 70% y 85%) soplan en todas las direcciones; en invierno en el sector norte a este son frecuentes; en primavera en el sector noroeste a noreste son frecuentes; en verano en el sector norte a noreste son frecuentes, particularmente en julio son dominantes; en otoño en el sector noreste a sureste son frecuentes. Los **vientos muy húmedos** (humedades superiores al 85%) soplan en todas las direcciones; en invierno en la dirección sureste destacan; en primavera son irrelevantes; en verano en el sector norte a sureste destacan; en otoño en la dirección sureste destacan.

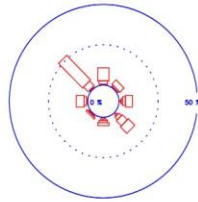
HORA	ENE	FEB	MAR	ABR	MAY	JUN	JUL	AGO	SEP	OCT	NOV	DIC
HUMEDAD MED (3 h) %	74	75	78	77	78	82	83	84	85	82	77	75
HUMEDAD MED (6 h) %	73	75	78	78	78	82	83	84	85	82	77	75
COEFICIE VARIACION %	19	18	16	14	13	10	10	9	9	12	17	16
HUMEDAD MED (9 h) %	73	73	72	71	70	72	75	75	76	76	75	73
HUMEDAD MED (12 h) %	59	60	61	61	61	63	66	64	61	62	62	61
COEFICIE VARIACION %	20	20	18	15	14	9	10	11	13	14	18	18
HUMEDAD MED (15 h) %	57	58	60	59	60	62	64	63	61	62	62	60
HUMEDAD MED (18 h) %	64	64	65	64	63	65	68	68	67	70	70	68
COEFICIE VARIACION %	18	17	16	15	13	11	11	12	11	12	15	15
HUMEDAD MED (21 h) %	73	74	77	74	75	77	79	81	81	81	76	75
HUMEDAD MED (24 h) %	73	75	78	77	78	81	82	84	85	82	77	74
COEFICIE VARIACION %	18	17	15	12	12	9	9	8	8	11	15	16

La tabla muestra las humedades del aire medias horarias registradas a una hora concreta y es el valor medio de cinco observaciones registradas cada doce minutos. Hemos escogidos periodos horarios representativos de diferentes intervalos de cada día. En la **madrugada**, 73% y 85%, y desde junio a octubre alcanzan sus valores más altos. En el **periodo matutino**, las humedades descienden notablemente a lo largo de la mañana; las humedades son homogéneas a primera hora, 73% y 76%, y desde julio a noviembre son ligeramente superiores; las humedades son ligeramente variables en instantes próximos al mediodía, 59% y 66%, y en verano son ligeramente superiores. En las **primeras horas de la tarde**, las humedades ascienden ligeramente en relación a las registradas al mediodía; 57% y 70%, y desde julio a noviembre alcanzan sus valores más altos. En el **periodo nocturno anterior a medianoche**, las humedades son ligeramente superiores a las registradas en madrugada, 73% y 85%, y desde junio a octubre alcanzan sus valores más altos. El **coeficiente de variación** muestra mayor variabilidad de la humedad del aire desde noviembre a marzo.

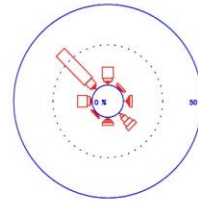
2009 / 2013 – ENERO LA LAGUNA – LAS MERCEDES – LLANO LO



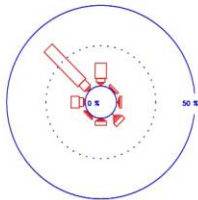
2009 / 2013 – FEBRERO LA LAGUNA – LAS MERCEDES – LLANO LO



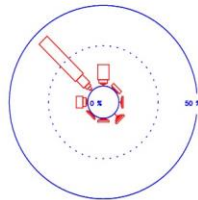
2009 / 2013 – MARZO LA LAGUNA – LAS MERCEDES – LLANO LO



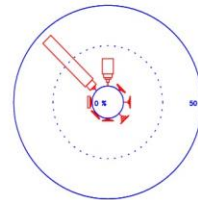
2009 / 2013 – ABRIL LA LAGUNA – LAS MERCEDES – LLANO LO



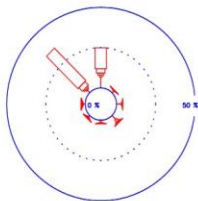
2009 / 2013 – MAYO LA LAGUNA – LAS MERCEDES – LLANO LO



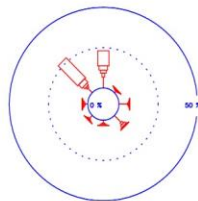
2009 / 2013 – JUNIO LA LAGUNA – LAS MERCEDES – LLANO LO



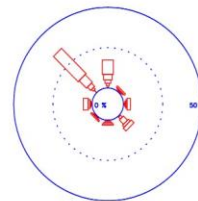
2009 / 2013 – JULIO LA LAGUNA – LAS MERCEDES – LLANO LO



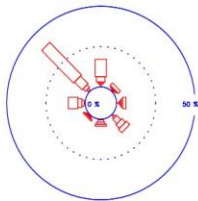
2009 / 2013 – AGOSTO LA LAGUNA – LAS MERCEDES – LLANO LO



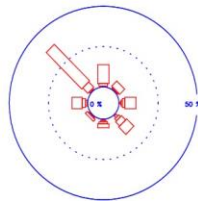
2009 / 2013 – SEPTIEMBRE LA LAGUNA – LAS MERCEDES – LLANO LO



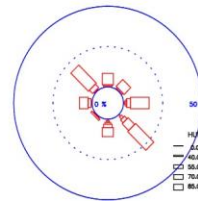
2009 / 2013 – OCTUBRE LA LAGUNA – LAS MERCEDES – LLANO LO



2009 / 2013 – NOVIEMBRE LA LAGUNA – LAS MERCEDES – LLANO LO



2009 / 2013 – DICIEMBRE LA LAGUNA – LAS MERCEDES – LLANO LO

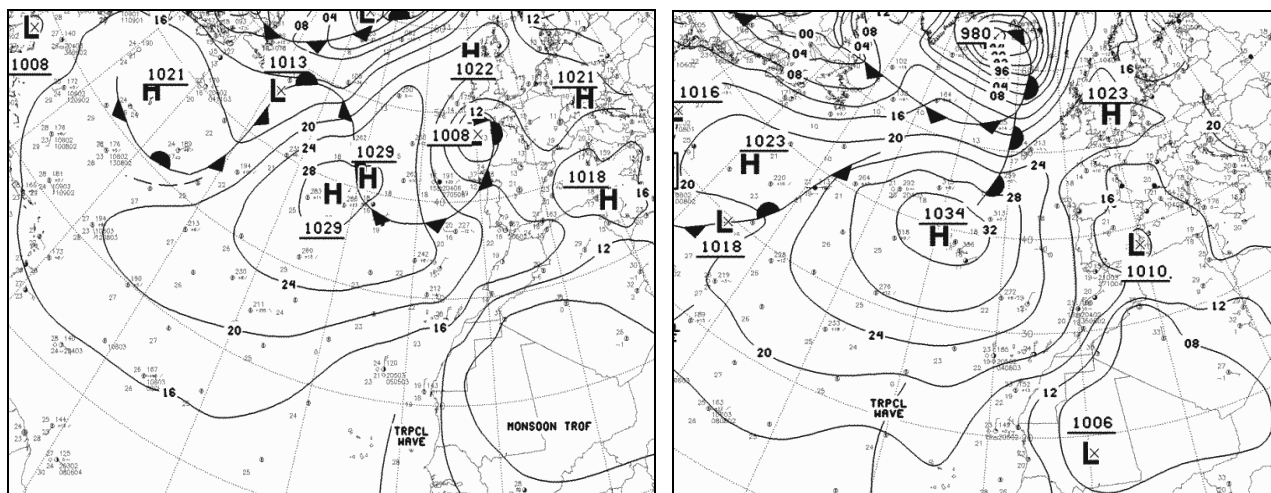

HUMEDAD DEL AIRE
 — 40.0 <= H <= 45.0 %
 - - - 45.0 <= H <= 50.0 %
 ... 50.0 <= H <= 55.0 %
 . . . 55.0 <= H <= 60.0 %
 / / / 60.0 <= H <= 65.0 %
 \ \ \ 65.0 <= H <= 70.0 %
 \ \ \ 70.0 <= H <= 75.0 %
 / / / 75.0 <= H <= 80.0 %
 / / / 80.0 <= H <= 85.0 %
 / / / 85.0 <= H <= 90.0 %

Las rosas mensuales en **Llano de los Loros** – Monte de las Mercedes, **zona de crestería** nornoroeste a 867 m de altitud, muestran vientos que soplan en todas las direcciones, en las direcciones norte y sureste son frecuentes y en la dirección noroeste es dominante; en el sector este a sureste son frecuentes entre noviembre a marzo; en el sector este a sur son poco relevantes desde abril a septiembre. Las humedades medias mensuales: 80.2% ene, 85.1% feb, 80% mar, 84.6% abr, 83% may, 79.9% jun, 72.1% jul, 61.2% ago, 79.1% sep, 81.2% oct, 88.2% nov y 86.6% dic; la diferencia entre las humedades medias mensuales extrema es 27%. Noviembre, diciembre y febrero son muy húmedos; lo contrario agosto es semihúmedo. La humedad del aire presenta variabilidad climática mensual importante. La influencia de las invasiones de aire sahariano en la medianía alta y crestería se hace notar en julio y agosto.

Los **vientos secos** soplan todos los meses; en el sector este a sureste desde noviembre a mayo son apreciables; en el sector noroeste a sureste en junio y octubre son apreciables; en el sector noroeste a norte en septiembre son apreciables; en la dirección norte y en el sector este a sureste en julio y agosto son **frecuentes**. Los **vientos húmedos** soplan en el sector noroeste a norte y son apreciables todos los meses en el sector noreste a suroeste son inapreciables desde mayo a agosto. Los vientos **muy húmedos** soplan en los sectores noroeste a norte y este a sureste son frecuentes y en la dirección noroeste son dominantes desde noviembre a febrero; en la dirección norte son frecuentes y en la dirección noroeste son dominantes desde marzo a octubre; en el sector sur a suroeste entre octubre a junio son apreciables y entre julio a septiembre son inexistentes.

18 ANÁLISIS CLIMÁTICO DE DÍAS CALIMOSOS

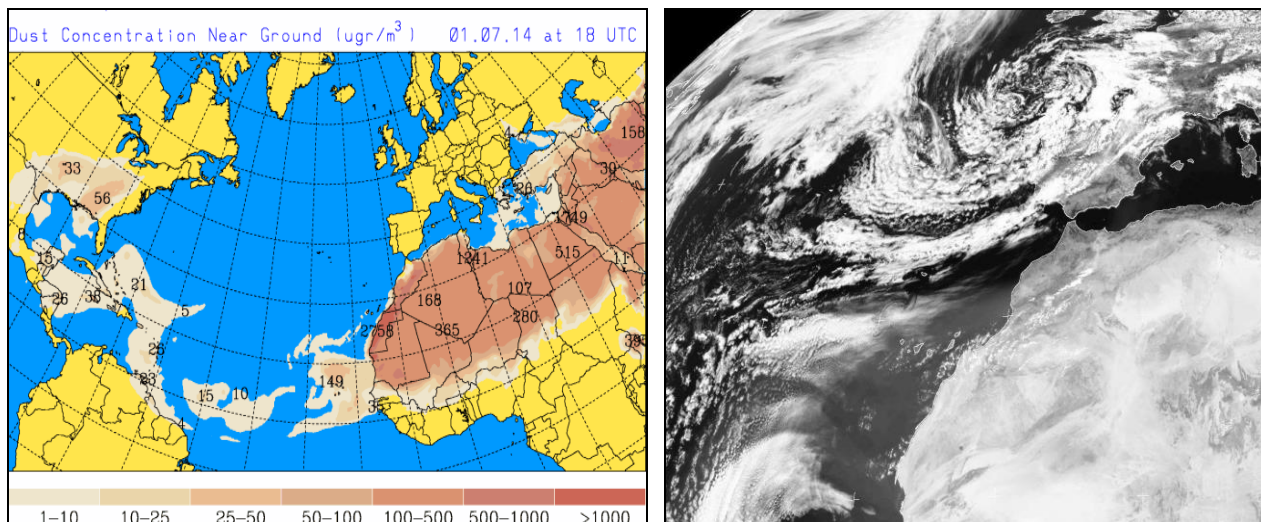
Los días elegidos presentan una atmósfera cuyo contenido acuoso desciende acusadamente con el ascenso altitudinal. La troposfera está constituida por una capa semihúmeda superficial donde se superpone otra capa más seca debido a la advecciones de aire sahariano.



Mapas sinópticos el 1 y 2 de julio de 2014

El mapa sinóptico el 1 de julio indica altas presiones intensas (1029 mb) centradas en el archipiélago de las Azores y una extensa área depresionaria (1008 mb) sobre sur Argelia y Mauritania. Esta situación barométrica perdura varios días a final de junio, el aire estacionario sobre las arenas ardientes del Sahara, aire seco y muy caliente se desplaza hacia Canarias con velocidad débil a moderada y disuelve la inversión térmica en altura típica en esta época del año, la inversión se establece en contacto con la superficie del mar. El flanco este del anticiclón no alcanza la costa sahariana. La invasión de aire sahariano seco y muy caliente sopla en el sector norte a noreste e **interrumpe el régimen normal de vientos alisios húmedos y cálidos; la baja troposfera canaria es seca.**

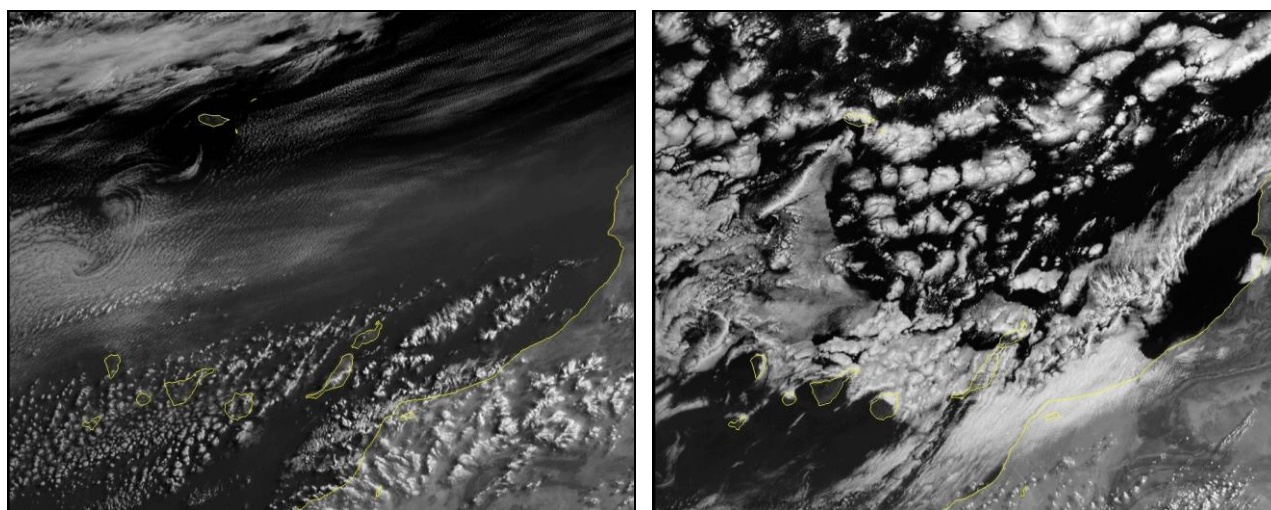
Al día siguiente, altas presiones muy intensas (1034 mb) centradas en Azores y una extensa área depresionaria ligeramente debilitada (1006 mb) al sur de Argelia y centro de Mauritania. Esta situación barométrica desarrolla vientos moderados, ligeramente superiores al día precedente. A las costas canarias llegan vientos más frescos y húmedos, reaparece la inversión térmica en altura, la invasión de aire sahariano seco y caliente sopla en el sector norte a noreste en las medianías, el **régimen normal de vientos alisios se reestablece; la baja troposfera canaria es ligeramente más húmeda y menos seca.**



Calima en la región del Sahara e imagen (visible) del Meteosat el 1 de julio de 2014

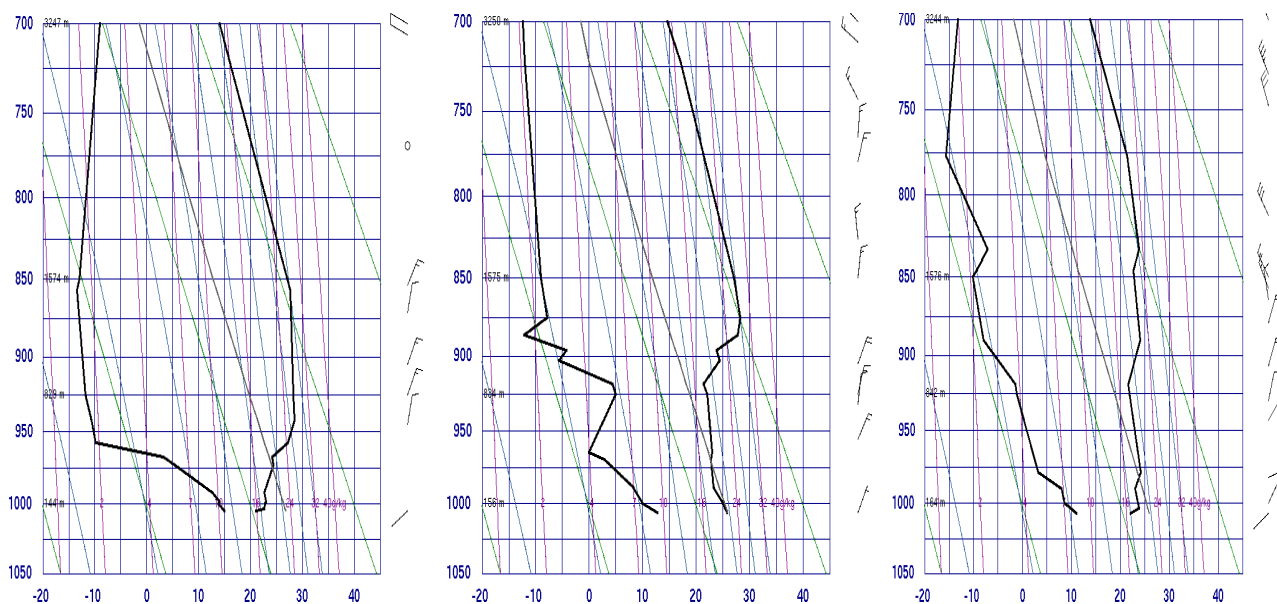
El mapa (Universidad de Atenas) indica la extensión de la superficie afectada con arena en suspensión. La concentración cerca del suelo en zonas cercanas a Canarias adquiere valores máximos próximos a 2750 microgramos/m³; esta concentración es muy superior a valores típicos de días donde soplan los **vientos alisios**, valores inferiores a 50 microgramos/m. Por tanto, el 1 de julio es un día seco y muy calimoso, la invasión de aire sahariano está acompañada de una gran concentración de arena de grano diminuto que impide una correcta visibilidad.

La imagen (visible) del satélite Meteosat a las 12 h muestra cielos despejados de nubosidad en Canarias y la sombra tenue blanquecina de la superficie afectada por la invasión de polvo sahariano.



Imágenes del Meteosat 9 el 1 de julio de 2014 y el 2 de julio de 2014 a las 8 h.

Imágenes Meteosat (visible) recogidas en la región canaria a la misma hora. Entre ambas imágenes apreciamos los contrastes de nubosidad, por tanto, la diferenciación del contenido acuoso de la atmósfera en días con diferentes características atmosféricas. El 2 de julio, observamos mayor nubosidad en la costa africana por el afloramiento de aguas profundas frías debida a los **efectos de los vientos alisios** en contacto con la superficie marina; también nubes estratiformes desarrolladas a causa de la irrupción de aire más fresco y húmedo de componente expulsado por el potente anticiclón, además acentuada por los efectos orográficos insulares.



Sondeos atmosféricos en Güímar 2014: 1 de julio a 0 h, 1 julio a 12 h y 2 julio a 0 h

Curva de estado real a medianoche (1 de julio): la temperatura asciende entre 105 m (vientos del SW 21 °C, 69%) y 670 m (vientos del NNE 28.4 °C, 7%), inversión térmica superficial, a partir de esa cota se observa un descenso muy suave de la temperatura hasta alcanzar 1575 m (vientos del NE, 27 °C, 6%). La curva de **estado saturado**, curva de temperatura de punto rocío muestra un **moderado descenso** 105 m (15 °C) y 215 m (12.6 °C), la humedad del aire desciende desde 69% a 53%; **notable descenso** hasta 440 m (3.2 °C), la humedad desciende desde 53% a 25%; **brusco descenso** hasta 530 m (-9.8 °C) la humedad desciende desde 25% a 8% (en este estrato tiene lugar el mayor efecto de la invasión de aire sahariano extremadamente seco); y **leve descenso** hasta 1575 m (-13 °C) la humedad permanece estacionaria, oscila desde 8% a 6%.

Curva de estado real a mediodía (1 de julio): la temperatura desciende entre 105 m (vientos del NNE a NE (25.8 °C, 44%) y 900 m (vientos del N a NNE 21.4 °C, 33%). A partir de esa cota se observa una inversión térmica, ascenso moderado de la temperatura hasta alcanzar 1320 m (vientos del N a NNE, 28 °C, 9%). Nuevo descenso de temperatura hasta 2500 m (vientos del N, 20.5 °C y 11%). La curva de **estado saturado** muestra un **moderado descenso** 105 m (12.8 °C) y 475 m (0 °C), la humedad del aire desciende desde 44% a 22%; **moderado ascenso** hasta 835 m (5 °C), la humedad asciende desde 22% a 33%; **brusco descenso** hasta 1210 m (-12.2 °C) la humedad desciende desde 33% a 6% (en este estrato tiene lugar el mayor efecto de la invasión de aire sahariano).

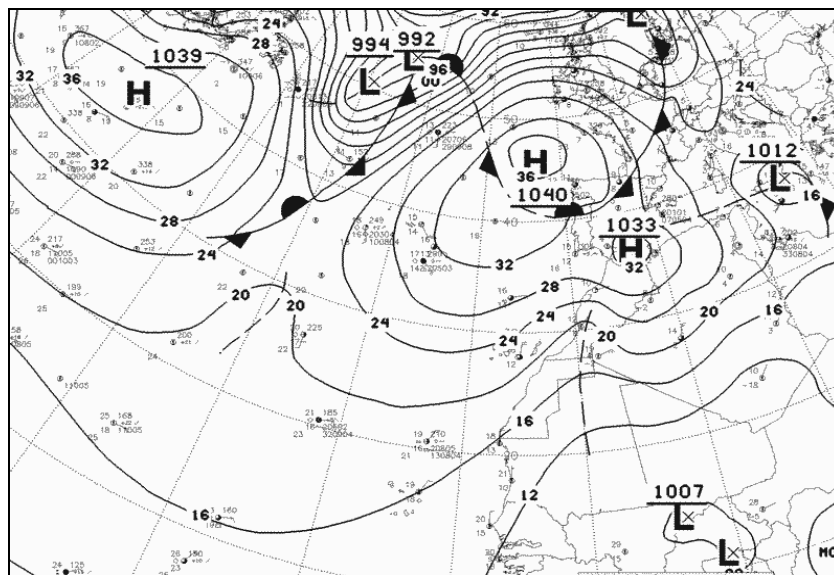
Curva de estado real a medianoche (2 de julio): la temperatura oscila ligeramente y permanece casi constante entre 139 m (vientos del NW 23.8 °C, 41%) y 1750 m (vientos del NW a NNE 23.8 °C, 12%), la variación altitudinal no supera 2 °C. A partir de 1750 m se observa un descenso suave de la temperatura hasta alcanzar 2360 m (vientos del NW, 21.4 °C, 7%). La curva de **estado saturado**, muestra un **moderado descenso** 139 m (23.8 °C) y 1750 m (-7.2 °C), la humedad del aire desciende desde 41% a 12%. La troposfera es húmeda hasta los 700 m, los vientos húmedos se hacen sentir formando nubes orográficas sobre las laderas y cresterías a barlovento.



NASA el 8 de marzo y Puerto de Santa Cruz de Tenerife 9 de marzo de 2012

El Observatorio de la Tierra de la NASA nos muestra la extensa nube polvorienta al sureste de las islas Canarias. Los efectos de la depresión sahariana sobre Canarias son mucho más notables en las islas orientales. La invasión alcanza las capas altas de la troposfera acompañada de vientos que soplan del sector este a sur.

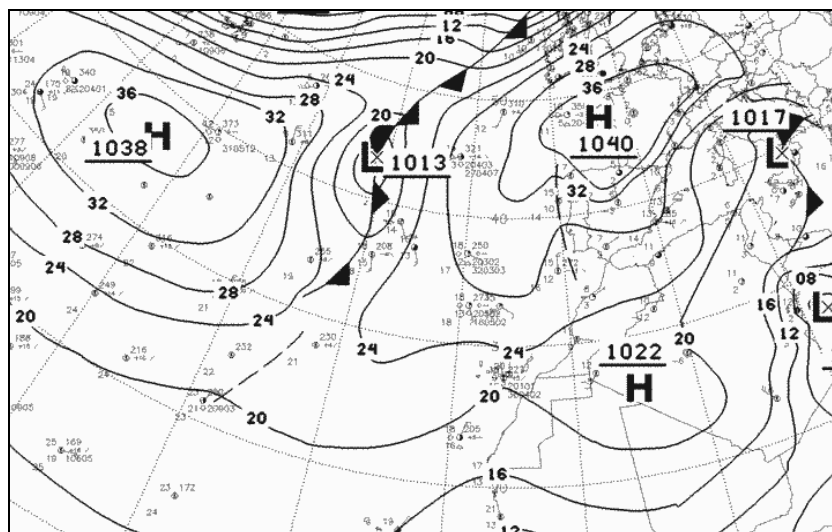
Presencia de calima en los barrios marineros de Santa Cruz de Tenerife. Disminución de la visibilidad atmosférica



Mapa sinóptico a la 0 h UTC el 8 de marzo de 2012

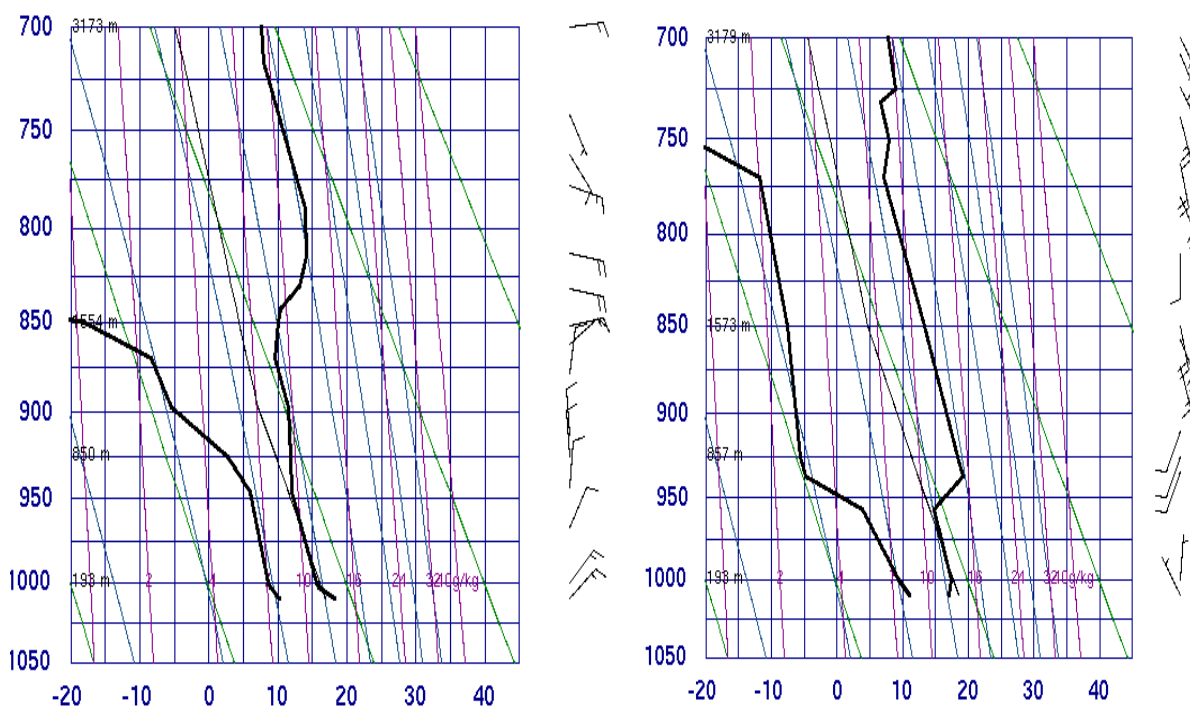
El mapa sinóptico indica altas presiones muy intensas (1040 mb) centradas en el golfo de Vizcaya y altas presiones intensas (1033 mb) centradas en el sureste peninsular, ausencia del anticiclón de las Azores, la región canaria registran presiones atmosféricas moderadas (1024 mb a 1020 mb). Depresión sahariana extensa poco profunda centrada en el Sahara sur occidental (1007

mb). El efecto de las bajas presiones sahariana expulsa aire caliente en contacto con la superficie ardiente. Vientos débiles a moderados soplan en el sector NE a SE en costa y vientos débiles a fuertes soplan en el sector SE a S en medianía. La invasión de aire sahariano seco y caliente interrumpe el régimen normal de vientos alisios húmedos y cálidos.



Mapa sinóptico a la 0 h UTC el 9 de marzo de 2012

El mapa sinóptico indica altas presiones muy intensas (1040 mb) centradas en Francia (no afecta directamente al régimen de vientos en Canarias) y altas presiones moderadamente intensas (1022 mb) centradas al este de Marruecos, ausencia del anticiclón de las Azores, la región canaria registra presiones atmosféricas moderadas (1024 mb a 1020 mb). El efecto de las altas presiones sahariana transporta aire caliente y en contacto con la superficie ardiente del desierto. Vientos débiles soplan en el sector NE a E en costa y vientos débiles a fuertes soplan en el sector E a S en medianía. La invasión de aire sahariano seco y caliente permanece estacionario y su efecto se hace notar entre las medianías y zonas de montañas.



Sondeos atmosféricos los días 8 (12 UTC) y 9 (0 UTC) de marzo de 2012

Curva de estado real a mediodía: la temperatura desciende entre 105 m (vientos del noreste 18.2 °C, 60%, 28 km/h) y 1360 m (vientos NNE 9.6 °C, 27%, 16.7 km/h), a partir de esa cota se observa una **inversión térmica** hasta alcanzar 1960 m. Los vientos soplan de dirección noreste entre el suelo y 970 m, dirección norte hasta los 1100 m. No hay formación de nubosidad. La atmósfera desciende moderadamente su contenido acuoso a partir de 890 m, los vientos tienen componente sur, presencia de la **invasión de aire sahariano**.

Curva de estado real a medianoche: la temperatura desciende entre 105 m (vientos del noroeste (17 °C, 67%, 5.6 km/h) y 567 m (vientos del oestesuroeste 14.8 °C, 48%, 16.7 km/h), a partir de esa cota se observa una inversión térmica hasta alcanzar 747 m (vientos del suroeste, 19.2 °C, 19%); la temperatura descienden y soplan en el sector sursureste a sursuroeste. No hay formación de nubosidad. La atmósfera desciende bruscamente su contenido acuoso a partir de 560 m, los vientos tienen componente sur, **notable presencia de la invasión de aire sahariano**.

8 DE MARZO DE 2012

VERTIENTE A BARLOVENTO								
PLUVIÓMETRO	TEM	HUM	VEL	RAD	PREC	ETP	D1	D2
LA LAGUNA - TEJINA	17.5	72.4	9.1	24.6	0.0	1.4	NE	SW
ANAGA – TAGANANA	15.7	73.5	10.3	21.6	0.0	3.5	E	NE
VALLE GUERRA - ISAMAR	16.1	67.3	8.4	25.5	0.0	1.4	SE	
VALLE GUERRA - GARIMBA	14.7	67.7	6.9	24.3	0.0	1.2	SE	
ANAGA - LLANOS DE LOS LOROS	13.1	70.2	18.1		0.0	2.0		
TACORONTE - AGUA GARCÍA	10.9	72.7	8.2	24.5	0.0	0.9		
EL SAUZAL - RAVELO	13.7	57.7	9.5	24.0	0.0	1.7	E	W
LA VICTORIA – GAITERO	9.1	35.2	35.7	25.7	0.0	3.9	SE	E

VERTIENTE A SOTAVENTO								
PLUVIÓMETRO	TEM	HUM	VEL	RAD	PREC	ETP	D1	D2
SANTA CRUZ DE TENERIFE	17.5	67.8	5.7		0.0	0.9		
SANTA CRUZ - SAN ANDRÉS	17.9	64.8	5.3		0.0	0.9		
SANTA CRUZ TENERIFE - CRUZ SENOR	17.0	68.6	4.6	19.5	0.0	0.7	SE	NW
SANTA CRUZ - IGUESTE SAN ANDRÉS	17.7	63.9	7.6	17.6	0.0	3.3	NW	S
EL ROSARIO - LOS BALDÍOS	11.8	71.4	10.0	18.8	0.2	1.3		
AEROPUERTO DE LOS RODEOS	13.5	74.4	15.0		0.0	1.8		

El **periodo nocturno** presenta una troposfera constituida por una capa semihúmeda superficial en la cual se superpone una capa muy húmeda entre 800 m y 1200 m y sobre esta otra nueva capa delgada semihúmeda; el **periodo diurno** presenta una troposfera constituida por una capa semihúmeda y a partir de 825 m se superpone capa semiseca y capa seca debido a la advección de aire turbio sahariano seco.

9 DE MARZO DE 2012

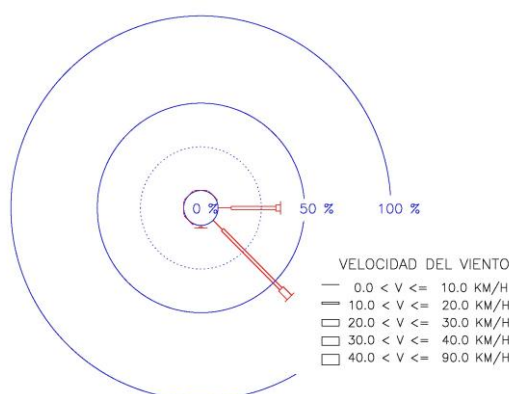
VERTIENTE A BARLOVENTO								
PLUVIÓMETRO	TEM	HUM	VEL	RAD	PREC	ETP	D1	D2
LA LAGUNA - TEJINA	17.4	70.7	7.6	24.9	0.0	1.1	NE	E
ANAGA - TAGANANA	17.4	57.3	5.4	22.6	0.0	3.8	W	NW
VALLE GUERRA - ISAMAR	19.7	31.7	9.7	25.5	0.0	3.2	SE	
VALLE GUERRA - GARIMBA	19.1	19.1	7.8	25.5	0.0	3.3	SE	E
LAS MERCEDES - LLANOS LOROS	16.4	30.3	13.9		0.0		SE	E
TACORONTE - AGUA GARCÍA	15.7	22.7	11.4	25.0	0.0	3.4		
EL SAUZAL - RAVELO	16.9	26.7	9.1	23.8	0.0	3.2	SE	E
LA VICTORIA - GAITERO	12.0	18.9	24.0	25.7	0.0	4.9	SE	E

VERTIENTE A SOTAVENTO								
PLUVIÓMETRO	TEM	HUM	VEL	RAD	PREC	ETP	D1	D2
SANTA CRUZ DE TENERIFE	18.0	62.2	4.8		0.0		E	W
SANTA CRUZ - SAN ANDRÉS	17.8	52.8	6.1		0.0		N	S
SANTA CRUZ TENERIFE - CRUZ SENOR	18.4	53.0	3.5	24.5	0.0	0.9	SE	NW
SANTA CRUZ - IGUESTE SAN ANDRÉS	20.1	35.1	3.9	23.3	0.0	4.2	N	NW
EL ROSARIO - LOS BALDÍOS	15.1	27.0	5.5	24.0	0.0	2.0		
AEROPUERTO DE LOS RODEOS	17.0	24.5	12.2		0.0		SE	S

El **periodo nocturno** presenta una troposfera constituida por una capa semihúmeda superficial en la cual se superpone una capa delgada semiseca entre 500 m y 600 m y a partir de esta cota el contenido de agua de la atmósfera desciende bruscamente debido a la estacionalidad de la invasión de aire muy seco sahariano que había penetrado en el periodo vespertino del día anterior. El **periodo diurno** presenta una troposfera constituida por capas semisecas y capas secas alternantes y a partir de 400 m se superpone una capa muy seca debido a la estacionalidad de la invasión de aire muy seco sahariano.

COMPORTAMIENTO DE LA VELOCIDAD Y DIRECCIÓN DEL VIENTO Y DE SU CONTENIDO ACUOSO

_LA LAGUNA – LAS MERCEDES – LLANO LOROS 9 / MARZO / 2012

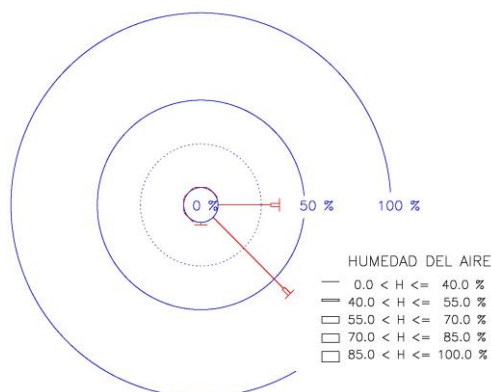


Rosa de viento diaria en Las Mercedes el 9 de marzo 2012

Las Mercedes – Llano de los Loros a 867 m situada en zona de crestería rodeada de bosque de laurisilva. Las estación meteorológica está instalada cerca de la Cumbre en la vertiente a sotavento. Los **vientos débiles** ($V \leq 10$ km/h) soplan en el sector E a SE y son poco frecuentes. Los **vientos moderados** ($10 < V \leq 20$ km/h) soplan en el sector E a SE, en la dirección E son frecuentes y en

la dirección SE son dominantes. Los **vientos fuertes** ($20 < V \leq 30$ km/h) soplan en el sector E a SE y son poco frecuentes: El día es caluroso (16.9 °C), seco (30%) y moderadamente ventoso (13.9 km/h).

LA LAGUNA – LAS MERCEDES – LLANO LOROS 9 / MARZO / 2012

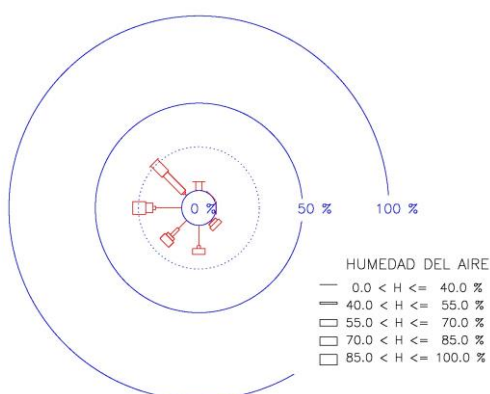


Rosa de humedad diaria en Las Mercedes el 9 de marzo 2012

Los **vientos secos** soplan en el sector E a SE, en la dirección E son frecuentes y en la dirección SE son dominantes. Los **vientos semisecos** soplan en el sector E a SE y son poco frecuentes. El día es seco (30%); el lugar está afectado por invasión de aire sahariano y se encuentra en la capa seca por encima de la típica inversión de temperatura de la troposfera canaria.

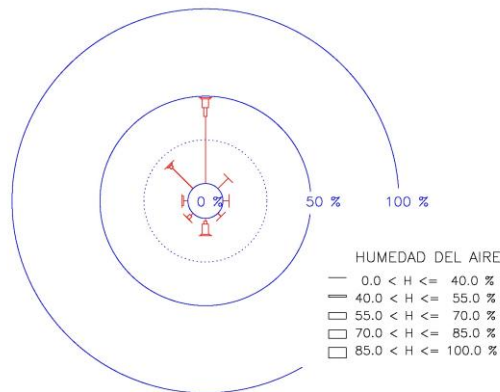
SANTA CRUZ TFE – TAGANANA

9 / MARZO / 2012



Rosa de humedad diaria en Taganana el 9 de marzo 2012

Taganana a 305 m. Las observaciones son representativas de la medianía baja en vertiente a barlovento. Los **vientos secos** soplan en el sector S a NW y en las direcciones S y W son frecuentes. Los **vientos semisecos** soplan en el sector S a NW y son poco frecuentes. Los **vientos semihúmedos** soplan en la dirección SW y en el sector NW a N y en la dirección NW son frecuentes. Los **vientos húmedos** soplan en la dirección SE y en el sector SW a NW y en la dirección NW son frecuentes. Los **vientos muy húmedos** soplan en el sector SW a W y son poco frecuentes. El día es caluroso (17.4 °C), semiseco (57%), ligeramente ventoso (5.7 km/h), soleado (23.6 MJ/m²) y ETP muy baja (1.5 mm.%); el lugar está afectado por la influencia del aire marino fresco y húmedo y se encuentra dentro de la capa húmeda de la troposfera canaria.

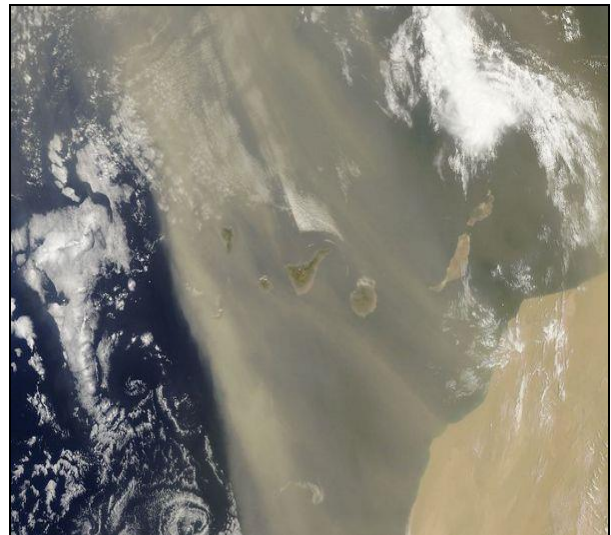
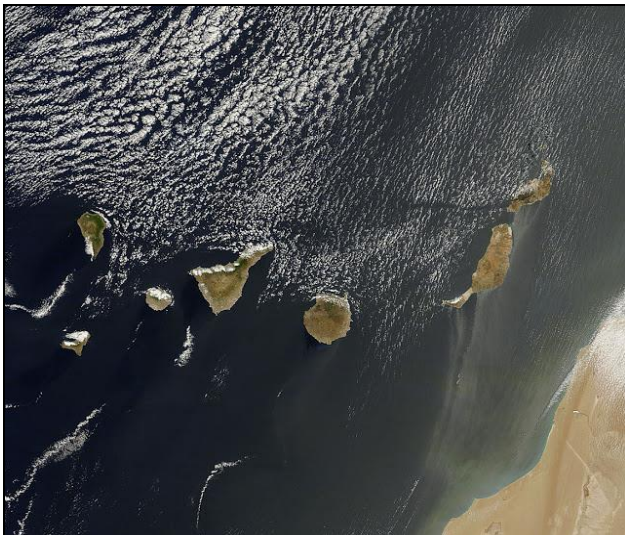


Rosa de humedad diaria en Igueste de San Andrés el 9 de marzo 2012

Igueste de San Andrés a 75 m. Las observaciones meteorológicas son representativas de la costa este-sureste a sotavento. Los **vientos secos** soplan en todas las direcciones; en las direcciones NE y NW son frecuentes. Los **vientos semihúmedos** y vientos húmedos soplan en las direcciones N y S, y son poco frecuentes. El día es caliente (20.3 °C), seco (35%), poco ventoso (3.9 km/h), soleado (23.3 MJ/m²) y ETP baja (4.2 mm.%); el lugar está afectado por el descenso de aire seco por el cauce del barranco y se encuentra dentro de la capa húmeda de la troposfera canaria.

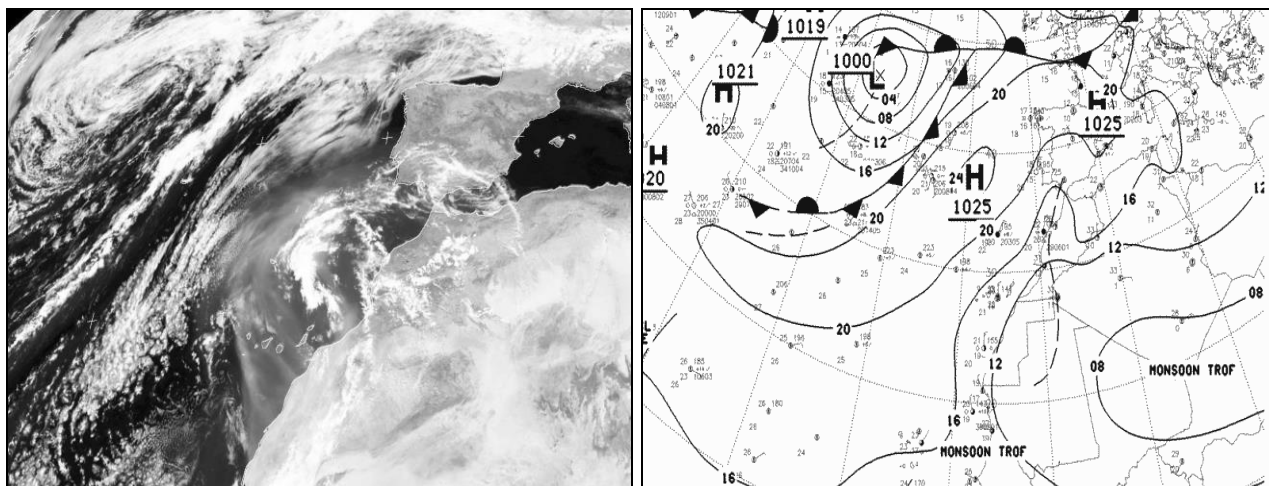
18.1 DÍAS QUE CONFIRMAN CALIMA HÚMEDA

23 Y 25 JUNIO DE 2012



Calimas el 23 y 25 de junio de 2012

El Observatorio de la Tierra de la NASA nos muestra la tenue nube polvorienta que se aproxima a Canarias: La nube alcanza su máximo apogeo en Canarias pocos días después. Los efectos de la depresión sahariana son notables en todo el archipiélago. La invasión de aire sahariano es más efectiva en medianías y zonas de montaña donde los vientos soplan del sector este a sur.



Satélite Meteosat a 12 h UTC y mapa sinóptico el 25 de junio de 2012

La imagen diurna nos indica una extensa nube polvorienta en el Atlántico y cubre los archipiélagos de Canarias y Madeira, cielos despejados en Marruecos y Mauritania. El mapa sinóptico indica una franja de altas presiones poco intensa (1025 mb) situada entre el oeste de Portugal y noreste peninsular y una depresión sahariana poco profunda (1008 mb) centrada al sur de Argelia. La región canaria registra presiones atmosféricas poco intensas 1016 mb a 1012 mb). Las altas presiones sahariana transporta aire caliente y húmedo en contacto con la superficie marina y el efecto de la depresión transporta aire caliente y seco a zonas de medianías y alta montaña.. Vientos débiles soplan en el sector NE a E en costa y vientos débiles a fuertes soplan en el sector E a S en medianía alta y montaña. La invasión de aire sahariano seco y caliente permanece estacionario y su efecto se hace notar durante varios días.

23 DE JUNIO DE 2012

PLUVIÓMETRO	VERTIENTE A BARLOVENTO							
	TEM	HUM	VEL	RAD	PREC	ETP	D1	D2
LA LAGUNA - TEJINA	21.6	69.1	9.6	26.1	0.0	1.7	N	NE
ANAGA - TAGANANA	19.3	80.9	8.5	15.0	0.1	3.1	N	NW
VALLE GUERRA - ISAMAR	19.7	74.2	4.2	23.4	0.0	0.6	SE	
VALLE GUERRA - GARIMBA	18.1	78.3	8.1	18.8	0.0	1.0	SE	
TACORONTE - AGUA GARCÍA	13.8	82.3	4.0	22.1	0.1	0.4		
EL SAUZAL - RAVELO	15.0	86.9	3.8	29.7	0.2	0.3	N	SE
ANAGA - LLANOS DE LOS LOROS	14.0	96.9	32.6		0.2	0.5		
LA VICTORIA - GAITERO	17.3	19.3	18.3	34.5	0.0	5.1	NW	N

PLUVIÓMETRO	VERTIENTE A SOTAVENTO							
	TEM	HUM	VEL	RAD	PREC	ETP	D1	D2
SANTA CRUZ DE TENERIFE	23.3	56.4	7.2		0.0	1.9		
SANTA CRUZ - SAN ANDRÉS	22.5	64.9	12.2		0.0	2.3		
SANTA CRUZ - IGUESTE SAN ANDRÉS	22.3	64.7	9.3	27.4	0.0	5.8	N	NW
SANTA CRUZ TENERIFE - CRUZ SENOR	22.0	62.2	13.4	33.6	0.0	2.7	N	NE
EL ROSARIO – LOS BALDÍOS	15.5	78.0	22.6	30.6	0.2	1.9		
AEROPUERTO DE LOS RODEOS	17.7	87.1	34.6		0.0	2.7		

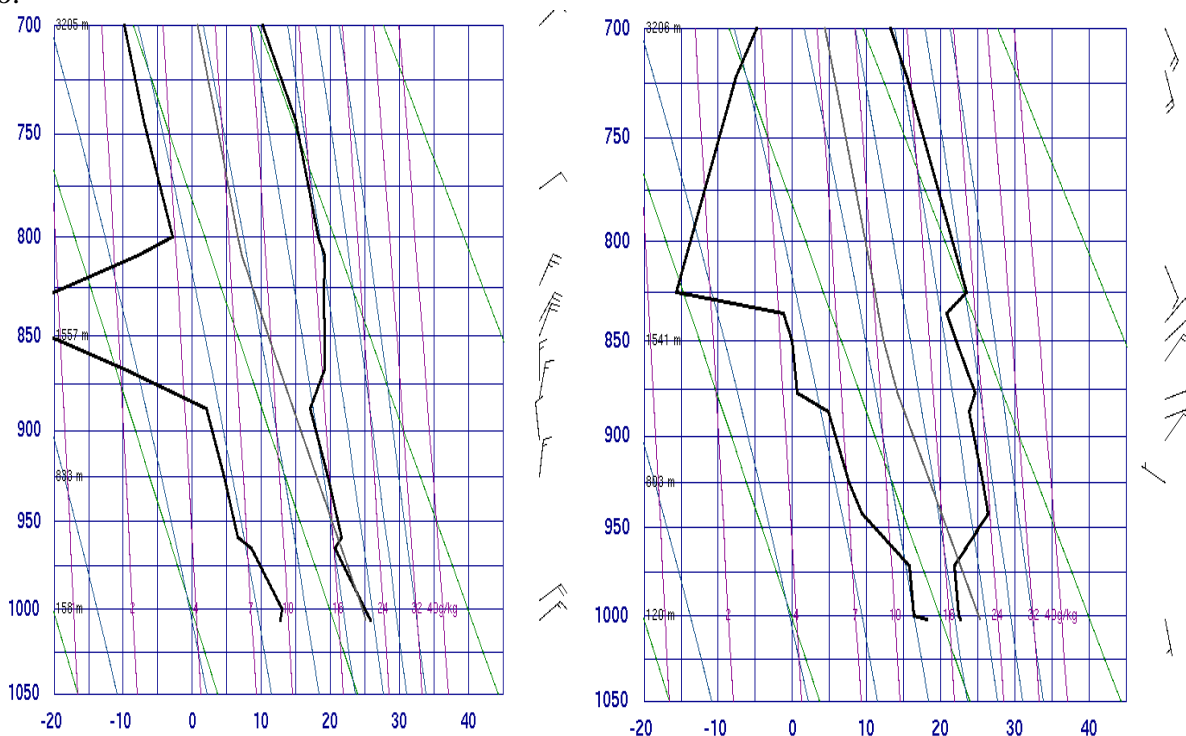
El periodo nocturno presenta una troposfera constituida por una capa húmeda superficial y a partir de 625 m se superpone una capa seca; el periodo diurno presenta una troposfera constituida por una capa semiseca y a partir de 500 m una capa seca debido a la advección de aire turbio sahariano muy seco.

25 DE JUNIO DE 2012

VERTIENTE A BARLOVENTO								
PLUVIÓMETRO	TEM	HUM	VEL	RAD	PREC	ETP	D1	D2
LA LAGUNA - TEJINA	23.1	81.6	2.9	21.9	0.0	0.4	N	NE
ANAGA - TAGANANA	21.9	85.3	3.7	20.5	0.0	4.0	N	NW
VALLE GUERRA - ISAMAR	21.7	82.6	2.8	23.6	0.0	0.4	NW	N
VALLE GUERRA - GARIMBA	22.6	72.6	3.5	23.0	0.0	0.7	N	SE
ANAGA - LLANOS DE LOS LOROS	26.0	46.8	16.1		0.0		SE	E
EL SAUZAL - RAVELO	25.8	42.0	8.5	23.2	0.0	2.5	SE	W
LA VICTORIA - GAITERO	21.8	36.7	28.4	27.2	0.0	5.7	E	SE

VERTIENTE A SOTAVENTO								
PLUVIÓMETRO	TEM	HUM	VEL	RAD	PREC	ETP	D1	D2
SANTA CRUZ DE TENERIFE	24.7	75.0	4.5		0.0		S	SE
SANTA CRUZ - SAN ANDRÉS	24.9	73.4	4.2		0.0		S	SE
SANTA CRUZ - IGUESTE SAN ANDRÉS	24.2	75.4	5.1	21.8	0.0	4.5	S	SE
SANTA CRUZ TENERIFE - CRUZ SENOR	25.6	69.7	2.7	23.4	0.0	0.6	SE	S
EL ROSARIO - LOS BALDÍOS	25.5	43.0	4.8	23.0	0.0	1.6		
AEROPUERTO DE LOS RODEOS	26.9	45.4	8.6		0.0		E	SE

El periodo nocturno presenta una troposfera constituida por una capa húmeda superficial y a partir de 380 m se superpone una capa muy seca debido a la presencia de aire turbio sahariano muy seco.



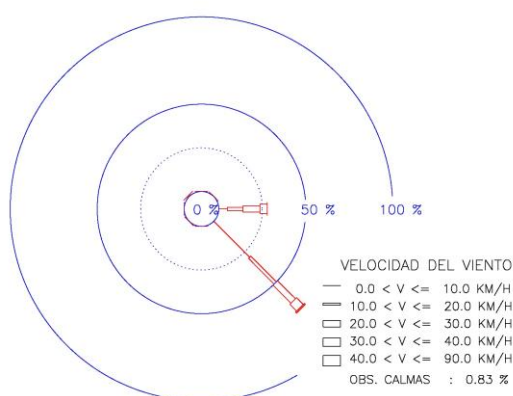
Radiosondeos en Güímar el 23 (12 h) y 25 (0 h) de junio de 2012

Curva de estado real a mediodía: la temperatura desciende moderadamente entre 105 m (vientos del noreste, 25.8 °C, 44%, 27 km/h) y 1183 m (vientos noreste 17 °C, 36%, 22 km/h), a partir de esa cota se observa una ligera inversión térmica hasta alcanzar 1560 m. Los vientos soplan en dirección noreste entre el suelo y 800 m, y en cotas superiores en dirección noreste. No hay formación de nubosidad. La atmósfera desciende moderadamente su contenido acuoso. La troposfera es seca, presencia de **invasión de aire sahariano**.

Curva de estado real a medianoche la temperatura desciende entre 105 m (vientos del sursureste, 22.6 °C, 76%, 11 km/h) y 377 m (vientos del suroeste, 21.8 °C, 64%, 5.5 km/h), a partir de esa cota se observa una notable **inversión térmica** hasta alcanzar 643 m (vientos del oeste, 26.4 °C, 34%, 0 km/h); la temperatura desciende moderadamente hasta alcanzar 1170 m (vientos estenoreste, 23.8 °C, 29%, 25.6 km/km). No hay formación de nubosidad. La troposfera es húmeda próxima al suelo y a partir de 380 m la atmósfera desciende bruscamente su contenido acuoso, **presencia de la invasión de aire sahariano**.

COMPORTAMIENTO DE LA VELOCIDAD Y DIRECCIÓN DEL VIENTO Y DE SU CONTENIDO ACUOSO

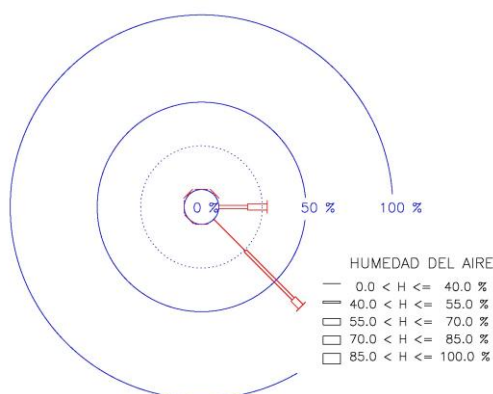
LA LAGUNA – LAS MERCEDES – LLANO LOROS 25 / JUNIO / 2012



Rosa de viento diaria en Las Mercedes el 25 de junio 2012

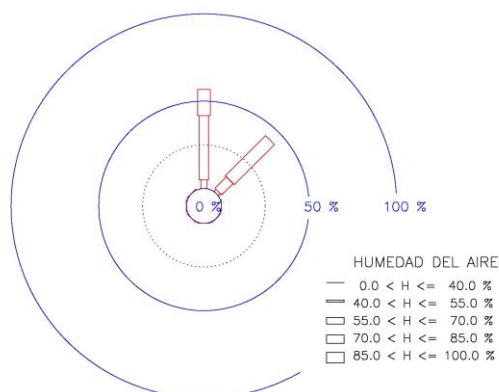
Los **vientos débiles** soplan en el sector E a SE y en la dirección SE son frecuentes. Los **vientos moderados** y los **vientos fuertes** soplan en el sector E a SE y son frecuentes. Los **vientos muy fuertes** soplan en el sector E a SE y son poco frecuentes. El día es muy caliente (26 °C) y semiseco (67%), ventoso (16.1 km/h) y soleado (21.9 MJ/m²).

LA LAGUNA – LAS MERCEDES – LLANO LOROS 25 / JUNIO / 2012



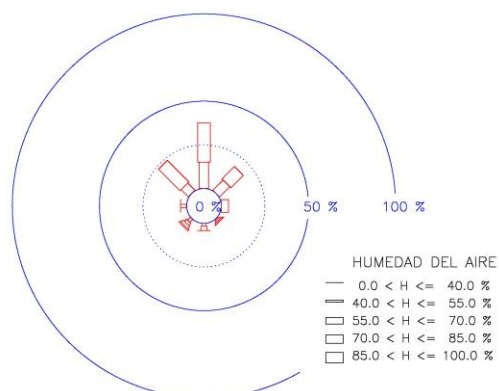
Rosa de humedad diaria en Las Mercedes el 25 de junio 2012

Los **vientos secos** soplan en la dirección SE y son frecuentes. Los **vientos semisecos** soplan en el sector E a SE son frecuentes. Los **vientos semihúmedos** soplan en el sector E a SE y en la dirección E son frecuentes.



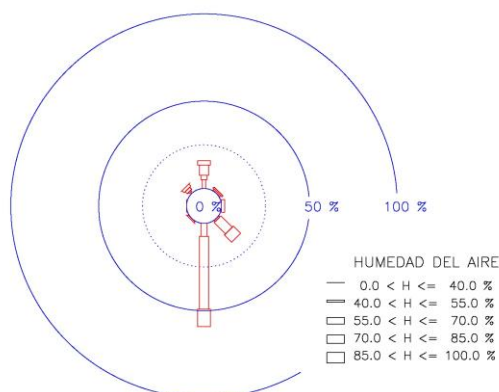
Rosa de humedad diaria en Tejina el 25 de junio 2012

Las observaciones meteorológicas son representativas de la costa a barlovento alejada de la influencia orográfica. Los **vientos semihúmedos** soplan en la dirección N. Los **vientos húmedos** y **vientos muy húmedos** en el sector N a NE y son frecuentes. El día es caliente (23.1 °C), húmedo (82%), vientos muy débiles (2.9 km/h) y ETP muy baja (0.4 mm).



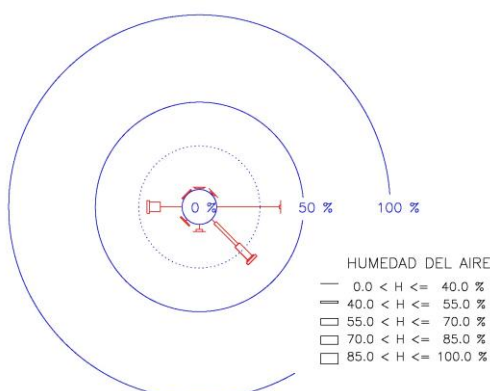
Rosa de humedad diaria en Taganana el 25 de junio 2012

Las observaciones meteorológicas son representativas de la costa noroccidental a barlovento. Los **vientos semisecos** soplan en el sector SE a W y son poco frecuentes. Los **vientos semihúmedos** soplan en el sector SE a SW y son poco frecuentes. Los **vientos húmedos** soplan en los sectores NW a NE y SE a SW, en el sector N a NE son frecuentes. Los **vientos muy húmedos** soplan en la dirección SW y en el sector NW a SE, y en el sector NW a NE son frecuentes. El día es caliente (21.9 °C), húmedo (85%), vientos muy débiles (3.7 km/h), nubes y claros (20,5 MJ/m²) y ETP baja (4 mm).



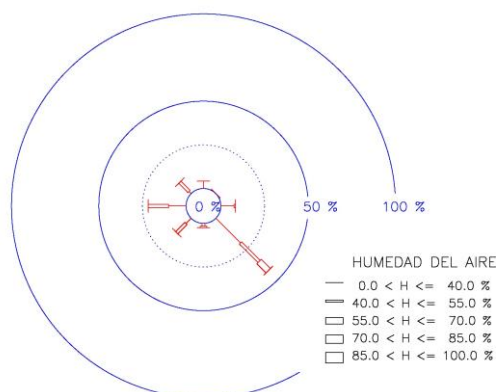
Rosa de humedad diaria en Igueste de San Andrés el 25 de junio 2012

Las observaciones meteorológicas son representativas de la costa este sureste a sotavento. Los **vientos semisecos** soplan en el sector NW a N y son poco frecuentes. Los **vientos semihúmedos** soplan en la dirección S y en el sector NW a N, y son poco frecuentes. Los **vientos húmedos** soplan en el sector NW a SE y son frecuentes. Los **vientos muy húmedos** soplan en el sector N a S y son poco frecuentes. El día es caliente (24.2 °C), húmedo (75%), vientos débiles (5.1 km/h), soleado (21.8 MJ/m²) y ETP baja (4.5 mm).



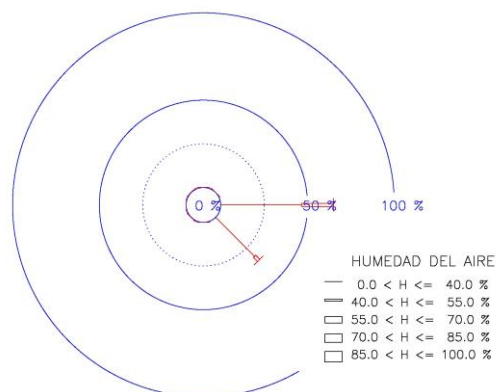
Rosa de humedad diaria en Aeropuerto de los Rodeos el 25 de junio 2012

La Laguna – Aeropuerto de los Rodeos 616 m. Las observaciones meteorológicas son representativas de la medianía alta este sureste a sotavento. Los **vientos secos** soplan en el sector E a W, en las direcciones E y W son frecuentes. Los **vientos semisecos** soplan en el sector E a SE y en la dirección SE son frecuentes. Los **vientos semihúmedos** soplan en el sector SE a S, y en la dirección SE son frecuentes. Los **vientos húmedos** y **vientos muy húmedos** soplan en las direcciones SE y W, y son poco frecuentes. El día es muy caliente (26.9 °C), semiseco (45%) y vientos débiles (8.6 km/h). El lugar está afectado por las invasiones de aire sahariano y se encuentra dentro de la capa estable seca de la troposfera canaria.



Rosa de humedad diaria en el Sauzal - Ravelo el 25 de junio 2012

Ravelo 922 m situado en el borde occidental del macizo de Anaga, zona de viñedos y bosque de Monteverde. Las observaciones meteorológicas son representativas de la medianía alta noroccidental a barlovento. Los **vientos secos** soplan en los sector E a SE y SW a N, en las direcciones W y SE son frecuentes. Los **vientos semisecos** soplan en el sector E a NW, en las direcciones SE y W son frecuentes. Los **vientos semihúmedos** soplan en el sector SE a S y son poco frecuentes. El día es muy caliente (25.8 °C), semiseco (42%), vientos débiles (8.5 km/h) y soleado (23.3 MJ/m²).



Rosa de humedad diaria en La Victoria - El Gaitero el 25 de junio 2012

El Gaitero 1745 m situado en la crestería de la cordillera Dorsal de Tenerife (bosque de pinares). Las observaciones meteorológicas representan la capa seca de la troposfera estable canaria. Los **vientos secos** soplan en el sector E a SE y son frecuentes. Los **vientos semisecos** soplan en el sector E a SE y en la dirección SE son frecuentes. El día es caliente (21.8 °C), seco (37%), vientos muy fuertes (28.4 km/h), soleado (27.2 MJ/m²) y ETP moderada (5.7 mm).

17 Y 18 ENERO DE 2005

Los días elegidos presentan una troposfera constituida por una capa húmeda superficial donde se superpone otra capa semiseca debido a la advecciones de aire turbio sahariano relativamente seco.



Calima y Puerto de Santa Cruz de Tenerife 17 de enero de 2005

El Observatorio de la Tierra de la NASA nos muestra la extensa nube polvorienta al sureste de Canarias. Los efectos de las altas presiones centradas al noroeste de África son mucho más notables en las islas orientales. La invasión de polvo sahariano alcanza las capas altas de la troposfera acompañada de vientos que soplan del sector este a sur.

Presencia de calima en Santa Cruz de Tenerife. Escasa la visibilidad atmosférica. Las partículas en suspensión están hidratadas y poseen un aspecto rojizo. Foto: Dracaena Draco.

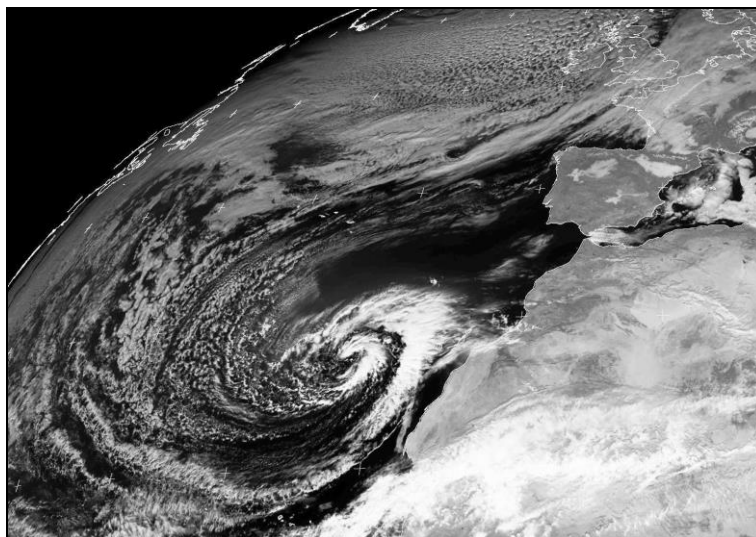
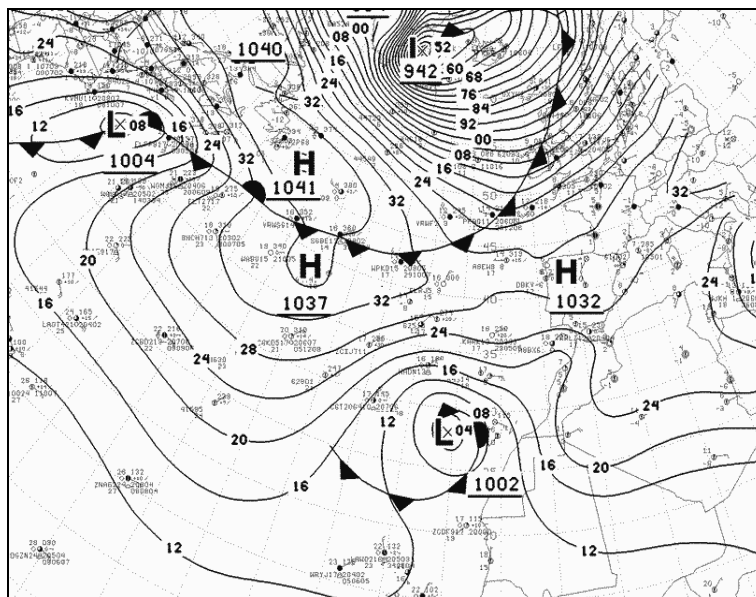


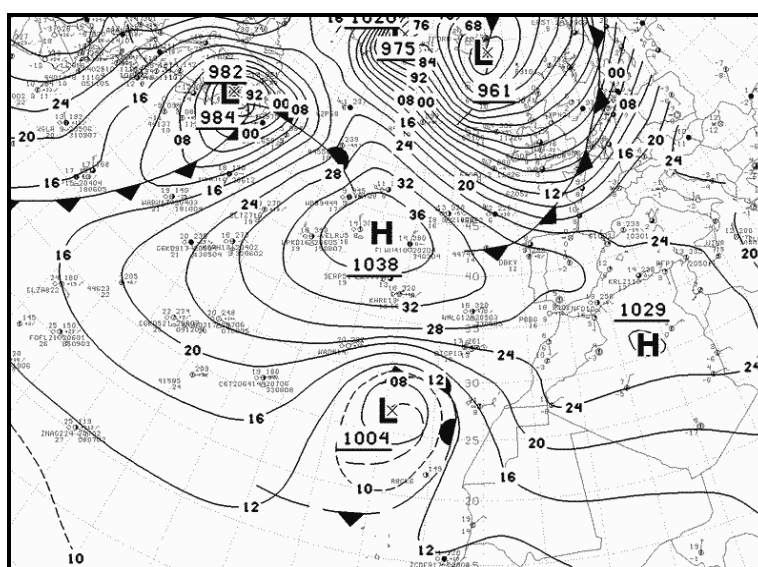
Imagen del satélite Meteosat 9 (visible) el 17 de enero 2005 a las 12 h

La imagen diurna nos indica la borrasca atlántica al oeste de Canarias, alcanza las islas occidentales, nubes de polvo sahariano sobre las islas orientales, cielos despejados en Marruecos y Mauritania.



Mapa sinóptico a la 0 h UTC el 17 de enero de 2005

El mapa sinóptico indica una franja de altas presiones intensa (1037 mb a 1032 mb) situada al oeste de la península Ibérica y una borrasca Atlántica estacionaria poco intensa (1004 mb) al oeste de Canaria. La región canaria registra presiones atmosféricas poco intensa (1002 mb a 1012 mb), vientos moderados a fuertes en las vertientes occidentales de las islas. La acción conjunta de las altas presiones sobre Argelia y la presencia de la borrasca favorece vientos del sector E a S cálidos, secos y turbios. Vientos débiles a moderados soplan en costa y vientos débiles a fuertes soplan en el sector E a S en medianía y montaña. La invasión de aire sahariano húmedo y cálido se hace notar notablemente durante varios días en las islas orientales.



Mapa sinóptico a la 0 h UTC el 18 de enero de 2005

El mapa sinóptico indica un área de altas presiones moderadas (1029 mb) centrada en Argelia y afecta a las islas canarias orientales y la borrasca Atlántica poco intensa (1004 mb) al oeste de Canarias; mapa sinóptico similar al día anterior, por tanto sus efectos son similares.

17 DE ENERO DE 2005

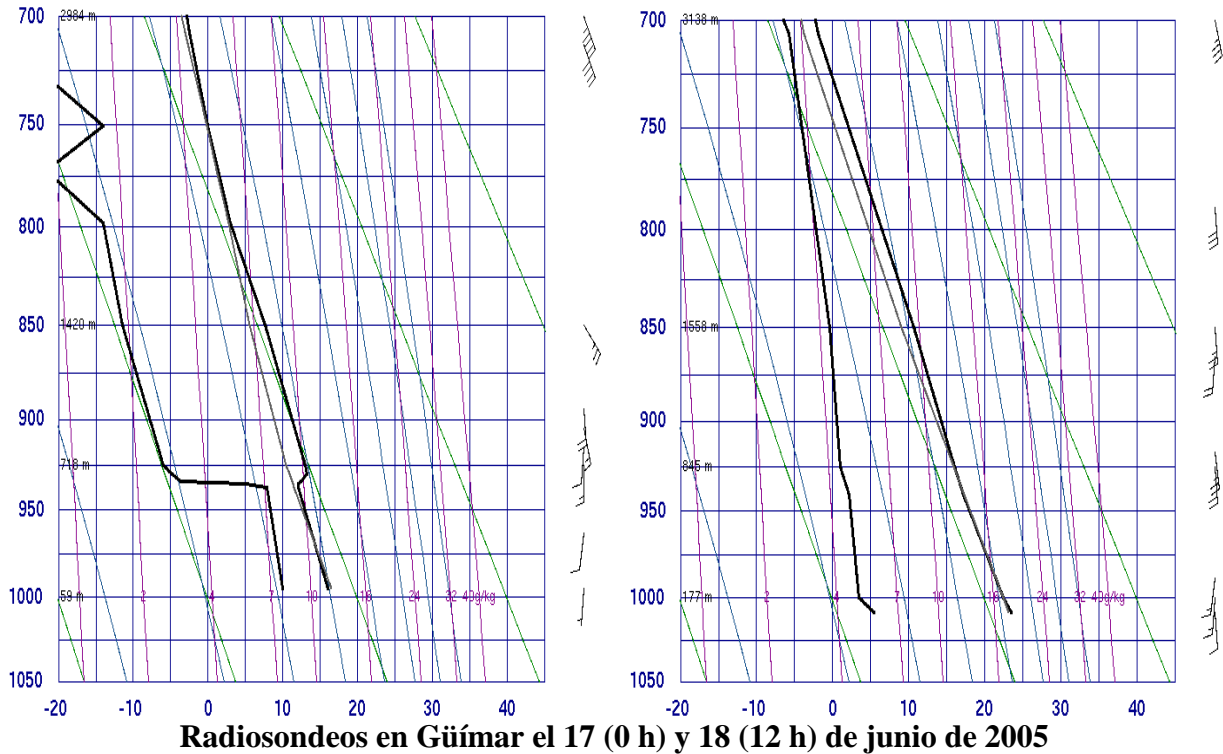
VERTIENTE A BARLOVENTO								
PLUVIÓMETRO	TEM	HUM	VEL	RAD	PREC	ETP	D1	D2
LA LAGUNA - TEJINA	17.9	62.6	7.6	7.2	0.0	2.4	E	SE
LA OROTAVA - EL RINCÓN	16.0	72.1	1.9	6.0	0.1	1.2	SE	N
LA GUANCHA - CHARCO DEL VIENTO	16.3	78.8	5.3	3.7	0.6	1.3	SW	W
BUENAVISTA DEL NORTE	15.3	77.5	3.5	2.3	1.1	1.0	SE	S
ARONA - LAS GALLETAS	15.9	79.0	10.8	3.8	7.9	1.5	E	SE
GUÍA DE ISORA	14.5	66.6	14.5	2.4	5.7	2.5	SE	NE
ARICO - LLANOS DE SAN JUAN	17.0	82.9	10.2	3.7	0.0	1.5	NE	NW
ARICO - EL BUENO - LOS HELECHOS	12.1	52.5	6.1	4.2	2.4	1.9	SW	NW
VILAFLOR - EL FRONTÓN	9.3	59.4	18.1	3.6	9.8	2.6	NE	E

El periodo nocturno presenta una troposfera constituida por una capa húmeda superficial y a partir de 625 m se superpone una capa seca; el periodo diurno presenta una troposfera constituida por una única capa seca hasta los 2200 m debido a la advección de aire turbio sahariano seco.

18 DE ENERO DE 2005

VERTIENTE A SOTAVENTO								
PLUVIÓMETRO	TEM	HUM	VEL	RAD	PREC	ETP	D1	D2
LA LAGUNA - TEJINA	20.9	52.5	9.4	9.9	0.1	3.9	E	SE
EL SAUZAL - RAVELO	12.8	68.3	9.5	8.7	0.7	2.2	SE	E
LA OROTAVA - EL RINCÓN	20.6	49.4	4.5	11.6	0.1	2.7	S	SE
LA GUANCHA - CHARCO DEL VIENTO	20.3	52.8	4.2	8.7	0.0	2.4	SW	S
BUENAVISTA DEL NORTE	19.6	57.1	3.9	9.1	0.0	2.2	SE	S
ARONA - LAS GALLETAS -	19.8	56.8	8.1	7.7	0.8	2.6	SE	
ARICO - LLANOS DE SAN JUAN	19.9	66.6	7.8	5.3	0.0	2.2	NE	N
ARICO - EL BUENO - LOS HELECHOS	14.1	53.0	5.3	5.0	1.2	1.9	SW	S
VILAFLOR - EL FRONTÓN	11.7	60.6	10.8	5.1	3.7	2.1	NE	E

El periodo diurno presenta una troposfera constituida por una capa superficial seca y entre 1000 m y 2100 m se superpone una capa semiseca debido a la advección de aire turbio sahariano moderadamente seco.



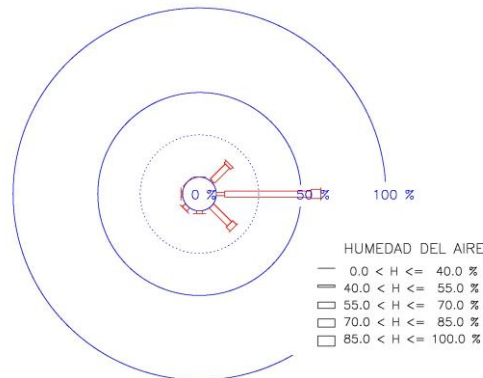
Curva de estado real a medianoche: la temperatura desciende moderadamente entre 105 m (vientos del sur, 16 °C, 68%, 13 km/h) y 610 m (vientos sur 12 °C, 76%, 26 km/h) ligera inversión térmica y un descenso notable del contenido acuoso hasta alcanzar 673 m (viento del sur. 13.2 °C, 26%, 27 km/h) a partir de esta cota la temperatura desciende moderadamente, 1420 m (viento sureste, 7.6 °C, 25%, 55 km/h). No hay formación de nubosidad. La troposfera es húmeda, **presencia de invasión de aire sahariano** a partir de 675 m de altitud, troposfera muy seca.

Curva de estado real a mediodía: la temperatura desciende en la troposfera; la temperatura desciende 105 m (vientos del sur, 23.4 °C, 31%, 22 km/h), 1558 m (vientos del sur, 10.6 °C, 46%, 42 km/h) y 2165 m (vientos del sur, 5.6 °C, 56%, 69 km/h). No hay formación de nubosidad. La troposfera es seca, el contenido acuoso y la velocidad del viento en la atmósfera asciende en la troposfera. **Presencia de la invasión de aire sahariano**

COMPORTAMIENTO DE LA DIRECCIÓN DEL VIENTO Y DE SU CONTENIDO ACUOSO

LAGUNA – TEJINA

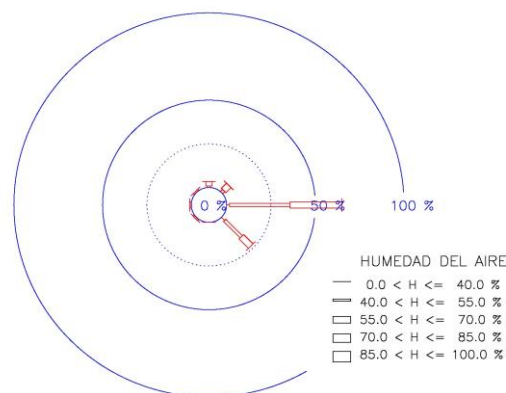
17 / ENERO / 2005


Rosa de humedad diaria en Tejina el 17 de enero 2005

Los **vientos semisecos** soplan en el sector NE a N y son poco frecuentes. Los **vientos semihúmedos** soplan en el sector NE a W, en el sector NE y SE son frecuentes. Los **vientos húmedos** soplan en el sector NE a SE, y son poco frecuentes. El día es cálido (17.9 °C), semihúmedo (63%), vientos débiles (7.6 km/h) y ETP muy baja (2.4 mm).

LAGUNA – TEJINA

18 / ENERO / 2005


Rosa de humedad diaria en Tejina el 18 de enero 2005

Los **vientos secos** soplan en el sector E a SE y son poco frecuentes. Los **vientos semisecos** soplan en el sector N a SE, en el sector E a SE son frecuentes. Los **vientos semihúmedos** soplan en el sector SW a SE y en la dirección E son frecuentes. El día es caliente (20.9 °C), semiseco (53%), vientos débiles (9.4, km/h), claros y nubes (9.4 MJ/m²) y ETP baja (3.9 mm).

18.2 CAPA SECA ENTRE LA COSTA Y CUMBRES DE ANAGA

DÍAS ACUMULADOS CON HUMEDADES DEL AIRE INFERIORES A REFERENCIAS

TRANSECTO INTERIOR EN LA PENÍNSULA DE ANAGA

1	2	3	ENE	FEB	MAR	ABR	MAY	JUN	JUL	AGO	SEP	OCT	NOV	DIC	ANUAL
55%	55%	55%	3	1	1	4	3	1	0	1	0	2	0	5	21
55%	55%	50%	2	1	0	4	3	1	0	1	0	2	0	4	18
55%	50%	50%	2	1	0	2	3	0	0	0	0	2	0	4	14
50%	50%	50%	2	1	0	2	3	0	0	0	0	2	0	4	14
45%	45%	45%	1	1	0	2	2	0	0	0	0	1	0	2	9
45%	40%	40%	1	1	0	2	1	0	0	0	0	1	0	1	7
40%	40%	40%	1	1	0	2	1	0	0	0	0	1	0	1	7
35%	35%	35%	1	0	0	2	0	0	0	0	0	0	0	0	3
AÑOS OBSERV			2	1	2	1	2	2	2	2	3	3	1	3	

1. Llanos los Loros (867 m)
2. Taganana (305 m)
3. Igueste San Andrés (75 m)

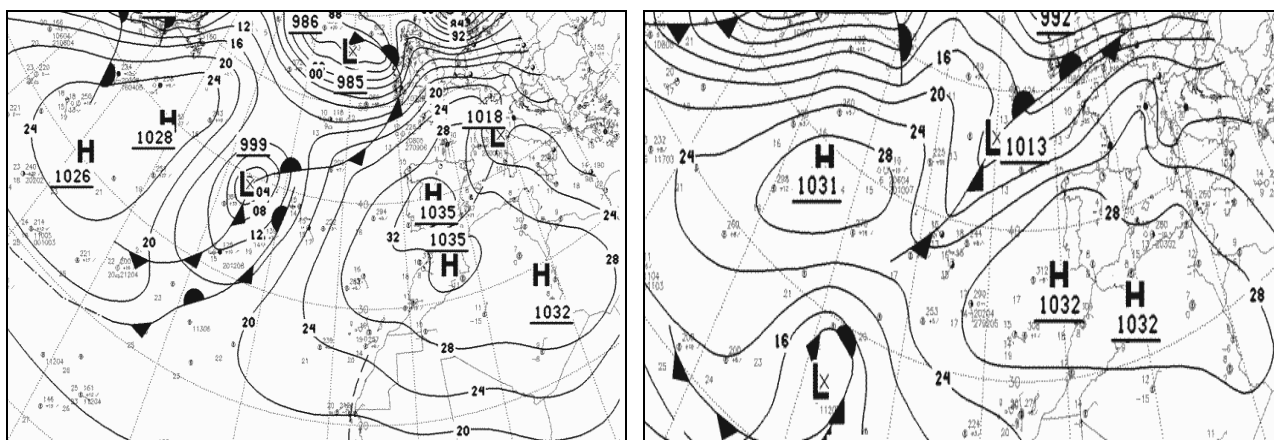
TRANSECTO EXTERIOR A LA PENÍNSULA DE ANAGA

1	2	3	ENE	FEB	MAR	ABR	MAY	JUN	JUL	AGO	SEP	OCT	NOV	DIC	ANUAL
55%	55%	55%	2	1	3	3	3	0	0	3	0	2	0	5	22
55%	55%	50%	2	1	1	3	2	0	0	3	0	1	0	2	15
55%	50%	50%	2	1	1	3	1	0	0	2	0	1	0	2	13
50%	50%	50%	2	1	1	3	1	0	0	2	0	1	0	2	13
45%	45%	45%	1	1	1	3	0	0	0	1	0	0	0	1	8
45%	40%	40%	0	0	0	1	0	0	0	1	0	0	0	0	2
40%	40%	40%	0	0	0	1	0	0	0	1	0	0	0	0	2
35%	35%	35%	0	0	0	0	0	0	0	0	0	0	0	0	0
AÑOS OBSERV			3	4	3	1	3								

1. Llanos los Loros
2. Pico de Tejina (250 m)
3. San Andrés (19 m)

El análisis de la tabla independiente de la terna referencia elegida desvela que la troposfera baja es **ligeramente más seca** en abril, mayo y diciembre, por tanto, los episodios higrométricos de troposfera seca en cotas inferiores a 900 m son **esporádicos**; lo contrario, los días acumulados son casi nulos en marzo, junio a septiembre y noviembre, por tanto, los episodios higrométricos son **irrelevantes**. Estas afirmaciones higrométricas deben aceptarse con **ciertas reservas**, ya que la muestra de observaciones está formada con pocos meses. La tabla es un esquema aproximado del comportamiento higrométrico en Anaga.

La troposfera seca entre la costa y cumbres no es una de las principales características climáticas del Macizo de Anaga. Estos episodios están estrechamente relacionados con las invasiones saharianas de aire seco y calimoso. Los **episodios higrométricos normales** están vinculados con las casi permanentes irrupciones de aire fresco y húmedo de componente norte que alcanza las costas.

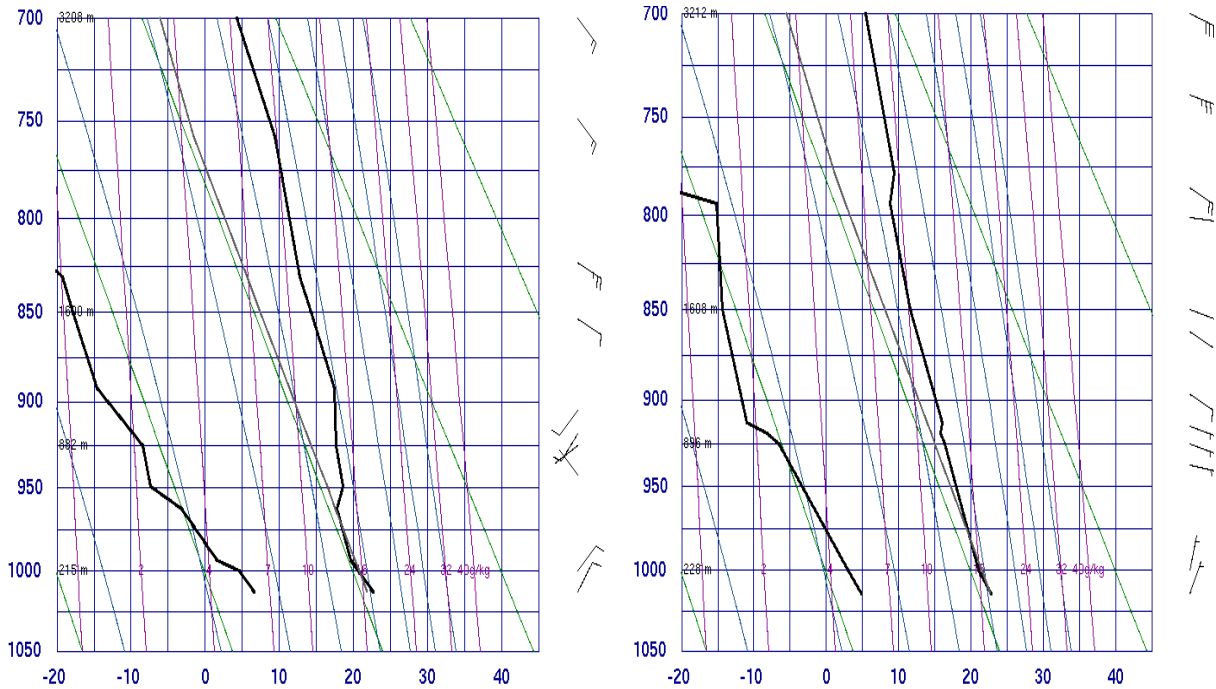
DÍAS QUE CONFIRMAN CALIMA SECA**DÍAS 31 ENERO Y 1 FEBRERO DE 2013**

Mapas sinópticos 31 de enero y 1 de febrero de 2013 a las 0 h. Vientos muy secos del SE.

Los mapas sinópticos indican situaciones barométricas similares, extensa superficie de altas presiones intensas (1035 mb y 1032 mb) centrada al norte de Marruecos y ausencia del área depresionaria al noroeste de África; situación isobárica poco frecuente en esta región atlántica. La masa de aire asentada en esta región desértica de arenas ardientes durante varios días es transportada por la acción directa del anticiclón en su flanco meridional. Esta situación barométrica promueve el movimiento de **aire muy seco** con desplazamiento débil de componente este a sureste sobre la superficie marina hacia Canarias en cotas inferiores a 3500 m. Vientos muy secos llegan a Canarias, se deshace la típica barrera natural de aire fresco establecida por la acción de los vientos alisios. La troposfera canaria está inmersa en ambiente de **contenido acuoso escaso**, que impide la formación de nubosidad orográfica tan común en muchos días del año.



Calima húmeda en el Muelle de Santa Cruz de Tenerife el 5 de febrero 2013. Episodio calimoso de varios días. La arena en suspensión procede de la depresión sahariana a finales de enero. Foto Silvia Alonso Pérez



Radiosondeos el 31 de enero y 1 de febrero de 2013 a las 12 h

Curva de estado real a mediodía (31 enero): la temperatura desciende entre 105 m (vientos débiles a moderados del NNE, 22.8 °C, 31%) y 950 m (vientos moderados a fuertes del ESE, 15.8 °C, 18%); continúa un ligero incremento de la temperatura hasta 1010 m inversión térmica (vientos moderados a fuertes del ESE, 16 °C, 15%); nuevamente descenso de la temperatura hasta altas capa atmosférica; la cota 3200 m registra 5.4 °C, 5% y vientos fuertes del ESE; **ausencia de nubosidad** durante el día. La curva de **estado saturado**, muestra descensos continuos de temperatura, ligero descenso entre 105 m (4.8 °C, 31%) y 900 m (-6.6 °C, 20%), **brusco descenso** hasta 990 m (-10.1 °C, 16%); ligero descenso hasta 2175 m (-15.2 °C, 17%) y brusco descenso a partir de esta cota. **Presencia de calima** a partir de 785 m.

Curva de estado real a mediodía (1 febrero): la temperatura desciende entre 105 m (vientos débiles del NE, 22.6 °C, 36%) y 545 m (vientos débiles del NNW, 17.8 °C, 24%); continúa un ligero incremento de la temperatura hasta 665 m, inversión térmica (vientos débiles del NW, 18.6 °C, 16%); nuevamente descenso homogéneo de la temperatura hasta altas capa atmosférica; la cota 1870 m registra 12.4 °C, 8% y vientos fuertes del ESE; **ausencia de nubosidad** durante el día. La curva de **estado saturado**, muestra descenso continuo de temperatura, **moderado descenso** entre 105 m (6.8 °C, 31%) y 545 m (-3.3 °C, 24%); otros puntos observación: a 666 m, -7.4 °C, 16%; a 1870 m -21.4 °C, 8% a.1870 m. **Presencia de calima** a partir de 880 m.

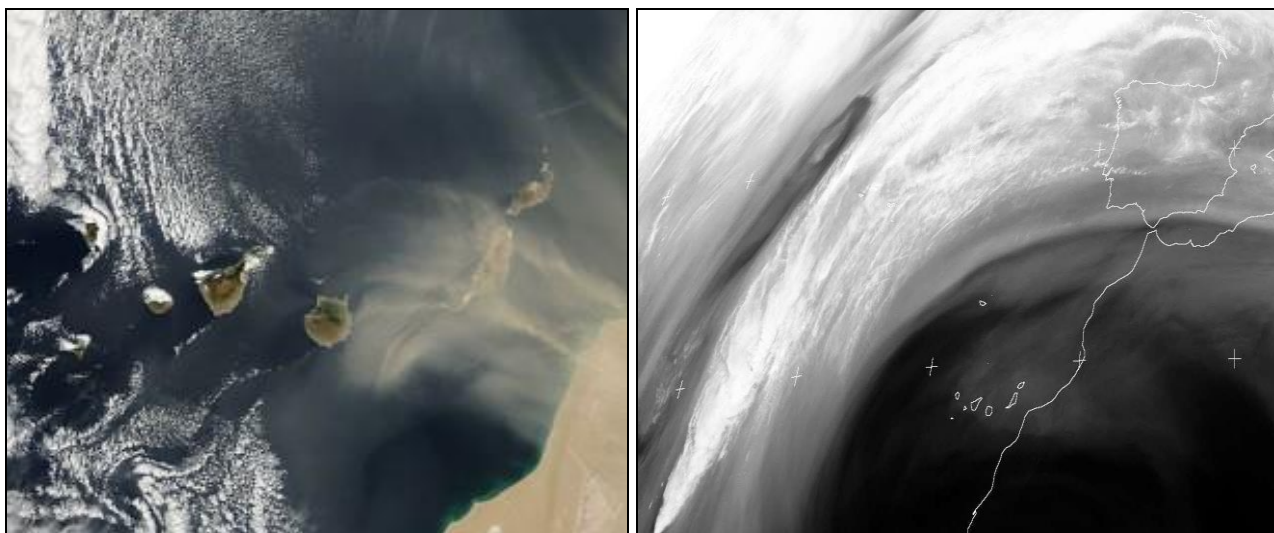


Imagen satélite Aqua (NASA) el 4 de febrero e imagen Meteosat 9 el 31 de enero de 2013

La **imagen visible** muestra la dirección de la invasión de calima procedente de la actividad ciclónica a final de enero en la región del Sahara. Vientos secos de componente sur elevaron grandes cantidades de arena sahariana que posteriormente son transportadas hacia Canarias en dirección noreste. La **imagen infrarroja** en la banda de absorción del vapor de agua nos indica la distribución del contenido acuoso atmosférico; la ausencia de diferentes tonalidades en forma de tenues manchas blanquecinas en la región sahariana nos indica la extrema sequedad en la troposfera sahariana en comparación con otras zonas marinas occidentales.

OBSERVACIONES METEOROLÓGICAS EL 31 DE ENERO DE 2013

COMARCAS DE ACENTEJO Y VALLE DE LA OROTAVA								
PLUVIÓMETRO	TEM	HUM	VEL	RAD	PREC	ETP	D1	D2
LA LAGUNA - TEJINA	21.3	31.9	11.2	19.3	0.0	5.4	E	NE
VALLE GUERRA - PAJALILLOS	21.1	18.5	9.8	19.1	0.0	5.1	SE	
SANTA ÚRSULA - EL MALPAÍS	19.8	35.4	6.2	17.1	0.0	3.9	S	SE
VALLE GUERRA - ISAMAR	20.1	18.9	16.1	20.4	0.0	6.6	S	
TACORONTE - EXTENSION AGRARIA	20.2	20.3	13.6		0.0			
TEGUESTE - LA PADILLA	19.3	32.2	18.3	17.4	0.0	6.2		
VALLE GUERRA - GARIMBA	17.9	19.1	9.5	19.7	0.6	4.6	S	
SANTA ÚRSULA - LAS TIERRAS	19.6	28.4	6.0	17.8	0.0	3.7	S	SE
SANTA ÚRSULA - LA CORUJERA	17.7	32.6	7.6	16.7	0.0	4.1		
LA VICTORIA - DEPÓSITO MARRERO	18.5	21.7	10.3		0.0			
TACORONTE - AGUA GARCÍA	17.5	27.0	23.4	18.0	0.0	6.7		
LA VICTORIA - EL LOMO	18.6	29.2	8.0	17.5	0.0	4.1		
LA MATANZA - CRUZ DEL CAMINO	17.0	29.7	8.8	18.0	0.0	4.1		
EL SAUZAL - RAVELO	15.9	23.2	18.8	18.4	0.0	6.0	SE	S
LA VICTORIA - GAITERO	10.1	17.1	40.3	19.3	0.0	6.2	E	SE
PUERTO DE LA CRUZ - BOTÁNICO	18.0	41.5	1.0	17.5	0.0	2.1	SE	
LA OROTAVA - EL RINCON	19.0	37.8	2.7	17.0	0.0	2.7	S	
LA OROTAVA - LA PERDOMA RATINO	19.8	34.9	6.5	16.7	0.0	3.8		
LA OROTAVA - LA PERDOMA - SUERTE	18.4	27.8	8.7	17.4	0.0	4.4		
LOS REALEJOS - PALO BLANCO	17.6	29.8	6.6	16.9	0.0	3.7		
LA OROTAVA - BENIJOS	16.0	23.5	11.0	17.9	0.0	4.3		
LA OROTAVA - AGUAMANSA	15.3	22.0	8.8	18.3	0.0	3.8	S	N

COMARCAS DE ICODEN Y DAUTE								
PLUVIÓMETRO	TEM	HUM	VEL	RAD	PREC	ETP	D1	D2
LA GUANCHA - CHARCO DEL VIENTO	16.5	54.3	0.3	17.0	0.0	1.9	S	SW
ICOD DE LOS VINOS - PARQUE DRAGO	18.6	31.8	5.0	16.5	0.0	3.5	SE	NW
SAN JUAN RAMBLA - EL MIRADOR	20.0	25.5	6.6		0.0	2.5		
ICOD - LOS VINOS - SANTA BÁRBARA	17.5	38.6	5.8	16.4	0.0	3.6		
ICOD - LOS VINOS - REDONDO	15.4	37.2	6.8	16.3	0.0	3.8		
LOS REALEJOS - ICOD EL ALTO	17.7	32.2	9.9	17.2	0.0	4.3		
BUENAVISTA DEL NORTE - ICIA	19.0	40.1	3.7	17.8	0.0	3.1	SE	
BUENAVISTA DEL NORTE AGROCABILDO	18.6	51.0	0.0	19.1	0.0	2.0	S	SE
LOS SILOS - TIERRA DEL TRIGO	18.6	36.5	4.2	16.7	0.0	3.2		
BUENAVISTA DEL NORTE - PALMAR	15.6	41.3	4.8	16.8	0.0	3.1		
EL TANQUE - RUIGÓMEZ	14.6	32.2	6.6	19.6	0.0	3.5		

COMARCAS DE ISORA Y ABONA								
PLUVIÓMETRO	TEM	HUM	VEL	RAD	PREC	ETP	D1	D2
GUÍA DE ISORA - CUEVA DEL POLVO	20.1	34.3	4.1	18.6	0.0	3.2	E	
GUÍA ISORA - PLAYA DE ALCALÁ	17.6	55.9	1.3	17.6	0.0	2.3	E	NW
ARONA - LAS GALLETAS	21.9	23.3	6.0	18.5	0.0	4.0	N	NE
ADEJE - LA CALDERA	22.3	27.7	6.3		0.0			
GUÍA DE ISORA	19.0	32.0	8.8	18.7	0.0	4.6	NE	W
GUÍA DE ISORA - EL POZO	19.1	29.5	8.7	18.4	0.0	4.4		
GUÍA DE ISORA - CHIO	17.4	31.4	10.9	17.6	0.0	4.5		
SANTIAGO DEL TEIDE - VALLE ARRIBA	15.3	25.8	8.5	18.1	0.0	4.1		
GUÍA DE ISORA - ARIPE - LLANITOS	14.4	30.7	5.7	17.9	0.0	3.3		
GUÍA DE ISORA - CHAVAO	12.7	6.1	29.1	20.5	0.0	7.4	E	SE
ARICO - LLANOS DE SAN JUAN	22.0	20.9	19.4	18.8	0.0	7.6	N	NE
AEROPUERTO REINA SOFIA	22.8	15.0	26.8		0.0		NE	E
ARICO - ICOR	19.0	23.4	6.8	18.4	0.0	4.0	E	N
ARICO - TEGUEDITE - EL VISO	19.2	26.9	10.6	18.4	0.0	5.0		
ARICO - LA DEGOLLADA	19.8	19.1	11.8		0.0			
GÜMAR - LOMO MENA	20.3	23.0	9.1	19.2	0.0	4.9		
GRANADILLA - CHARCO PINO	20.2	29.3	16.7	18.5	0.0	6.1		
GRANADILLA - EL PINALETE	19.2	17.6	18.4	19.4	0.0	6.7		
ARICO - EL BUENO - LOS HELECHOS	17.9	17.3	8.2	19.4	0.0	4.5	E	NW
VILAFLOR - EL FRONTÓN	16.0	15.3	14.4	18.5	0.0	5.5	NE	N
ARICO - LOS PICACHOS	13.8	11.7	11.2	21.4	0.0	4.6	E	NE

COMARCA DE VALLE DE GÜMAR Y SURESTE - ANAGA								
PLUVIÓMETRO	TEM	HUM	VEL	RAD	PREC	ETP	D1	D2
GÜMAR - TOPO NEGRO	19.6	24.3	7.5	16.6	0.0	4.3		
GÜMAR - LA PLANTA	19.5	25.5	6.1	18.4	0.0	3.7	N	
GÜMAR - BARRANCO BADAJOZ	19.5	25.1	7.2	16.3	0.0	4.3		
CANDELARIA - LAS CUEVECITAS	18.6	18.5	10.1		0.0			
CANDELARIA - ARAYA	19.8	17.4	6.0	19.6	0.0	4.0	N	SW
ARAFO - ANAVINGO	18.0	20.0	5.8	17.5	0.0	3.6		
SANTA CRUZ TENERIFE - CRUZ SENOR	19.5	36.9	3.7	18.9	0.0	2.9	NW	SE
SANTA CRUZ DE TENERIFE	19.0	45.0	5.8		0.0		W	NE
EL ROSARIO - LOS BALDÍOS	14.3	41.5	10.5	18.5	0.0	3.8		
AEROPUERTO DE LOS RODEOS	16.9	36.7	8.8		0.0		S	SE
SANTA CRUZ - IGUESTE SAN ANDRÉS	19.2	31.8	7.0	17.2	0.0	4.0	N	S
SANTA CRUZ - SAN ANDRÉS	18.3	40.6	6.2		0.0		N	S
ANAGA - TAGANANA	20.8	19.8	16.0	15.8	0.1	6.3	SE	E
ANAGA - LLANOS DE LOS LOROS	15.2	30.1	35.6		0.0		SE	

PARQUE NACIONAL DEL TEIDE								
PLUVIÓMETRO	TEM	HUM	VEL	RAD	PREC	ETP	D1	D2
TIRO GUANCHE	11.7	6.8	10.1		0.0			
RISCO VERDE	8.7	11.1	6.1		0.0			
PARADOR TURISMO	9.7	9.9	16.8		0.0		NE	E
LA OROTAVA - OBSERVATORIO DE IZANA	7.6	11.9	50.7		0.0		SE	E

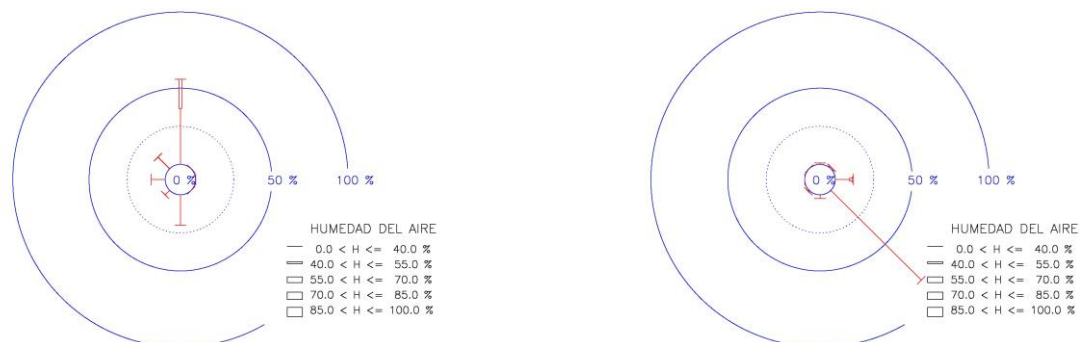
COMPORTAMIENTO DE LA DIRECCIÓN DEL VIENTO Y DE SU CONTENIDO ACUOSO

SANTA CRUZ TFE – IGUESTE SAN ANDRES 31 / ENERO

/ 2013 SANTA CRUZ TFE – TAGANANA

31 / ENERO

/ 2013



Rosas de humedad en la costa: Igueste San Andrés y Taganana

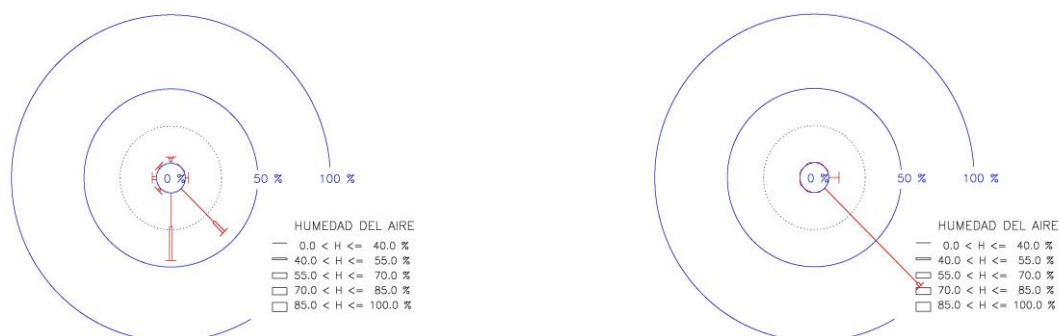
Igueste San Andrés, los vientos **secos** soplan en el sector S a N, en la dirección S son frecuentes y en la dirección N son dominantes. Los **vientos semisecos** soplan en la dirección N y son frecuentes. Humedad del aire media diaria 32% seco, 19.2 °C cálido, 7 km/h, ligeramente ventoso y soleado.

Taganana, los **vientos secos** soplan en el sector N a S, en la dirección E son frecuentes y en la dirección SE son dominantes. Los **vientos semisecos** soplan en la dirección E y son irrelevantes. Humedad del aire media diaria 20% muy seco, 20.8 °C caliente, 16 km/h, moderadamente ventoso, nubes y claros.

AEROPUERTO TENERIFE NORTE – LOS RODEOS 31 / ENERO

/ 2013 A LAGUNA – LAS MERCEDES – LLANO LOROS 31 / ENERO

/ 2013

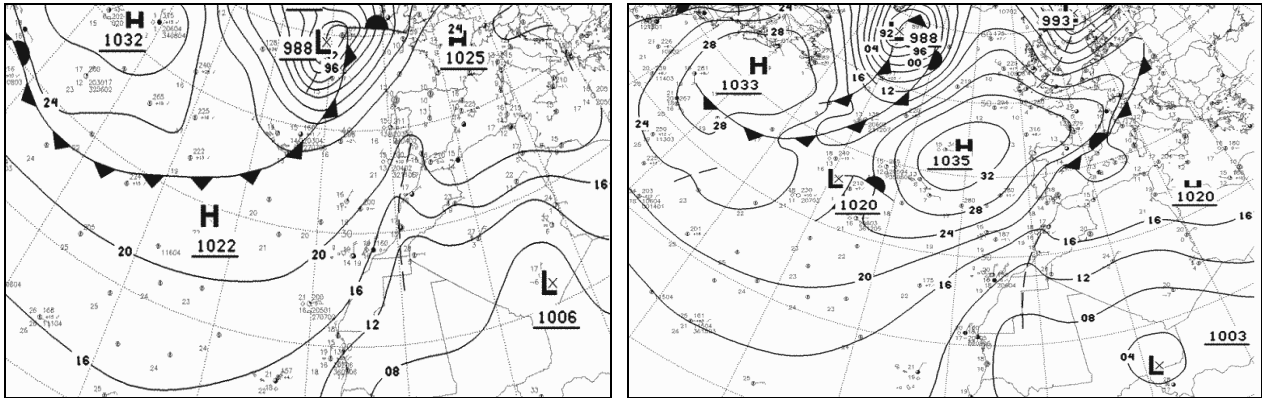


Rosas de humedad en la medianía: Aeropuerto de los Rodeos y Las Mercedes

Aeropuerto de los Rodeos (sotavento), los vientos **secos** soplan en el sector E a S, en la dirección S son frecuentes y en la dirección SE son dominantes. Los **vientos semisecos** soplan en el sector SE a N y en la dirección S son frecuentes. Humedad del aire media diaria 37% seco, 16.9 °C cálido, 8.2 km/h, ligeramente ventoso.

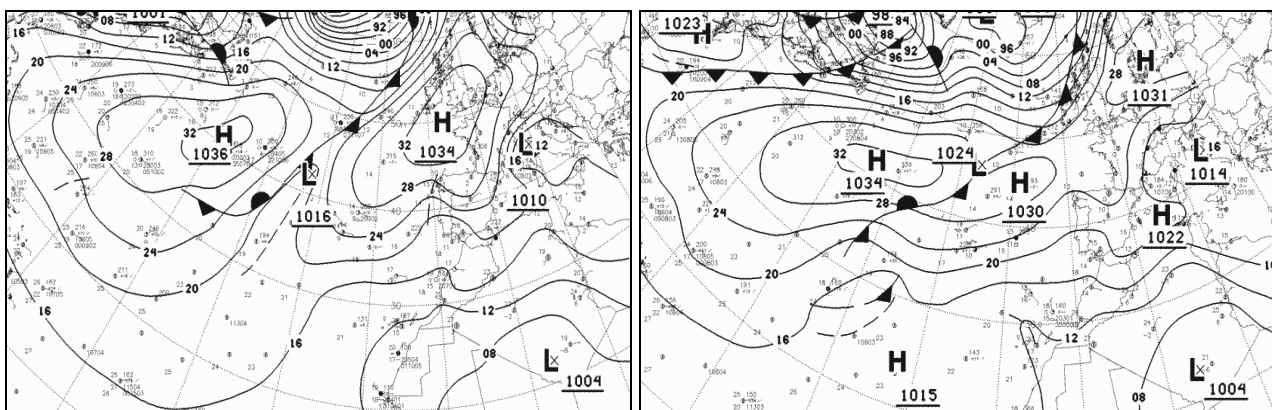
Las Mercedes – Llanos Loros, los **vientos secos** soplan en el sector E a SE, en la dirección E son poco frecuentes y en la dirección SE son dominantes. Humedad del aire media diaria 36% seco, 15.2 °C cálido, 35.6 km/h, muy ventoso.

ENTRE LOS DÍAS 17 A 21 DE ABRIL DE 2013



Mapas sinópticos el 17 abril, vientos noreste y 19 abril vientos secos del sur

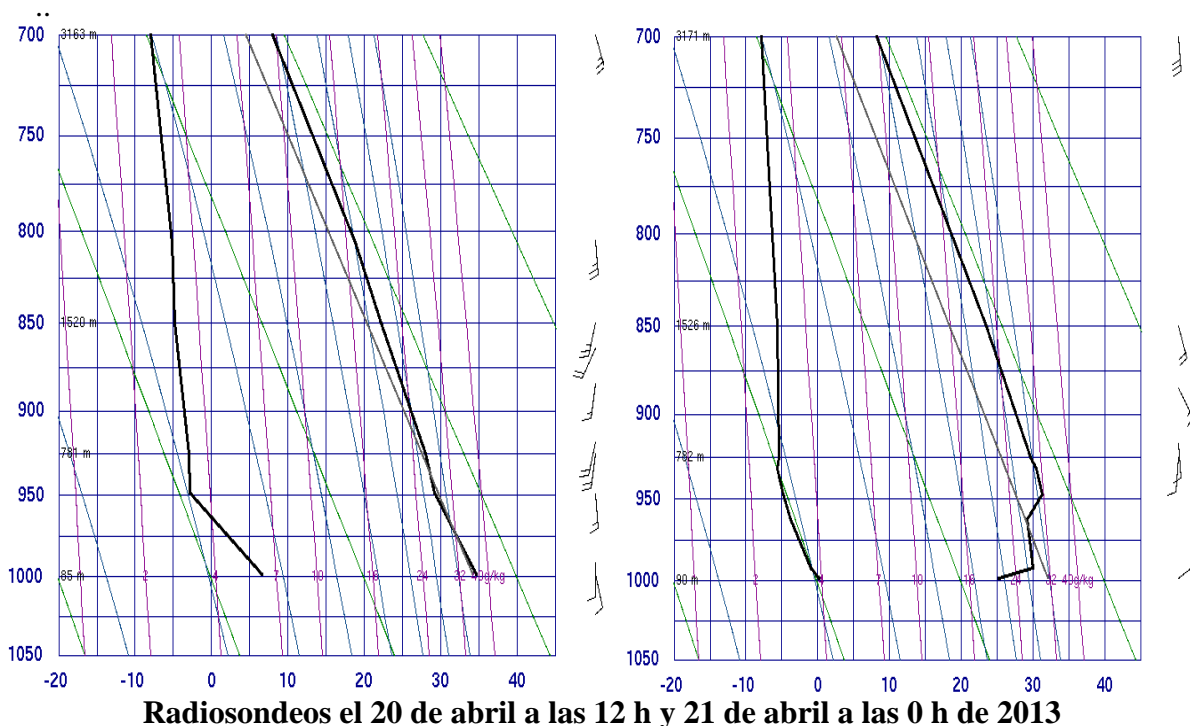
El mapa sinóptico **17 de abril** indica extensa superficie de altas presiones atlánticas moderadas (1022 mb) centrada al oeste de Madeira y la baja presión poco profunda, depresión sahariana, centrada al sur de Argelia (1006 m). Esta situación barométrica promueve el movimiento de aire marino con desplazamiento moderado del sector noroeste a noreste hacia Canarias en cotas inferiores a 1250 m, vientos semihúmedos; la **calima** que llega a Canarias no es intensa. El **día 19**, las altas presiones aumentan notablemente su intensidad (1035 mb), el anticiclón se desplaza hacia el noroeste de Galicia y la depresión sahariana es ligeramente más profunda (1004 mb), centrada sobre Níger; la distribución del campo de presión atmosférica promueve el movimiento de aire con desplazamiento moderado a fuerte de componente sur en cotas inferiores a 4000 m. Vientos muy secos acompañados de **calima** llegan a Canarias. La barrera típica de aire frío está presente entre la costa africana y canarias.



Mapas sinópticos el 20 y 21 de abril de 2013. Vientos secos del sureste

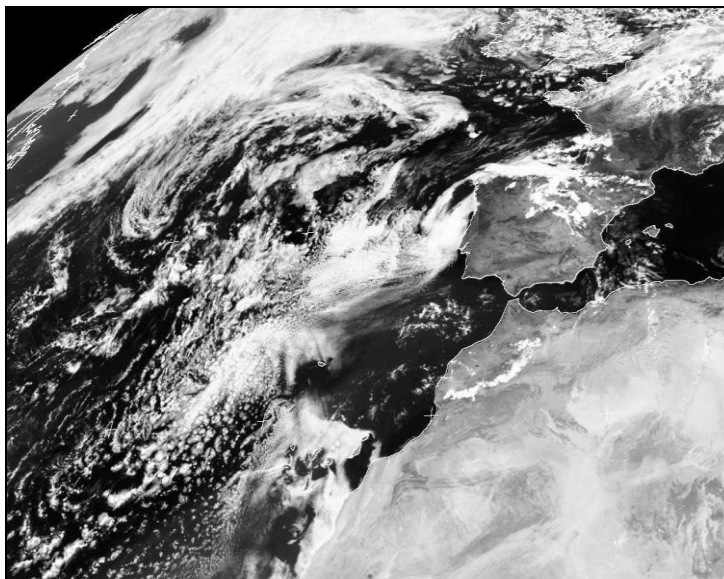
El mapa sinóptico **20 de abril** indica extensa superficie de altas presiones intensas (1034 mb) centrada al oeste de Bretaña y bajas presiones poco profundas, depresión sahariana, centrada al sur de Argelia (1004 m). Esta situación barométrica promueve el movimiento de aire con desplazamiento moderado de componente sureste a sur sobre la superficie marina hacia Canarias en cotas inferiores a 3000 m. Vientos muy secos acompañados de **calima** llegan a Canarias, se **deshace**

la típica barrera natural de aire fresco. La troposfera canaria está inmersa en ambiente de moderada visibilidad atmosférica y contenido acuoso escaso que impide la formación de nubosidad orográfica. El **día 21**, la actividad anticiclónica se desplaza hacia la península ibérica, centros anticiclónicos de 1030 mb al noroeste de Galicia y 1022 mb en Baleares; la distribución del campo de presión atmosférica promueve el movimiento de aire con desplazamiento débil a moderado de componente sureste a suroeste sobre la superficie marina hacia Canarias en cotas inferiores a 3000 m. Vientos muy secos acompañados de **calima** llegan a Canarias.



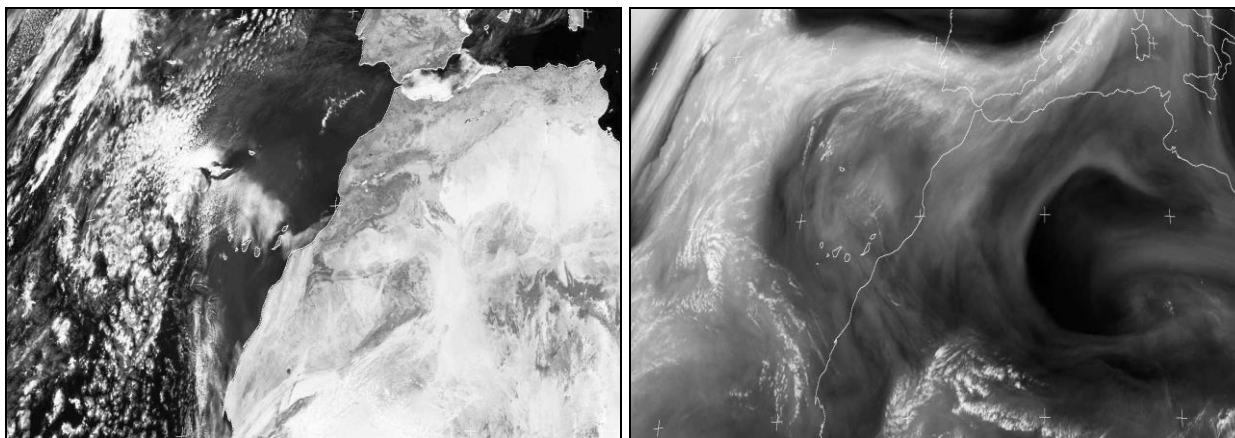
Curva de estado real a mediodía (20 abril a las 12 h): la temperatura desciende uniformemente entre 105 m (vientos débiles a moderados del SSE, 34.6 °C, 18%) y 1990 m (vientos moderados a fuertes del S, 18.7 °C, 19%); continúa descendiendo, a 3165 m (vientos fuertes del SSE, 8 °C, 19%); no existe inversión térmica. La curva de **estado saturado**, muestra descenso continuo de temperatura, moderado descenso entre 105 m (6.6 °C, 18%) y 555 m (-2.6 °C, 12%); ligero descenso hasta 3165 m (-8.6 °C, 12%). La **presencia de calima** es importante en las capas inferiores de la atmósfera. **Ausencia de nubosidad** en la baja atmósfera y nubes estratiformes con escaso contenido de agua a partir de 3160 m.

Curva de estado real a mediodía (21 abril a las 0 h): la temperatura asciende irregularmente entre 105 m (vientos muy débiles del NE, 25.2 °C, 19%) y 570 m (vientos débiles en el sector SE a S, 31.2 °C, 8%), **inversión térmica superficial**; descenso moderado de la temperatura hasta 1525 m (vientos moderados a fuertes del SSE, 23.4 °C, 14%); continúa el descenso moderado hasta 3560 m (vientos fuertes del S, 4.7 °C, 31%). La curva de **estado saturado**, muestra descenso continuo de temperatura, moderado descenso entre 105 m (0.2 °C, 18%) y 780 m (-5.4 °C, 10%); ligero descenso hasta 3170 m (-7.8 °C, 31%)



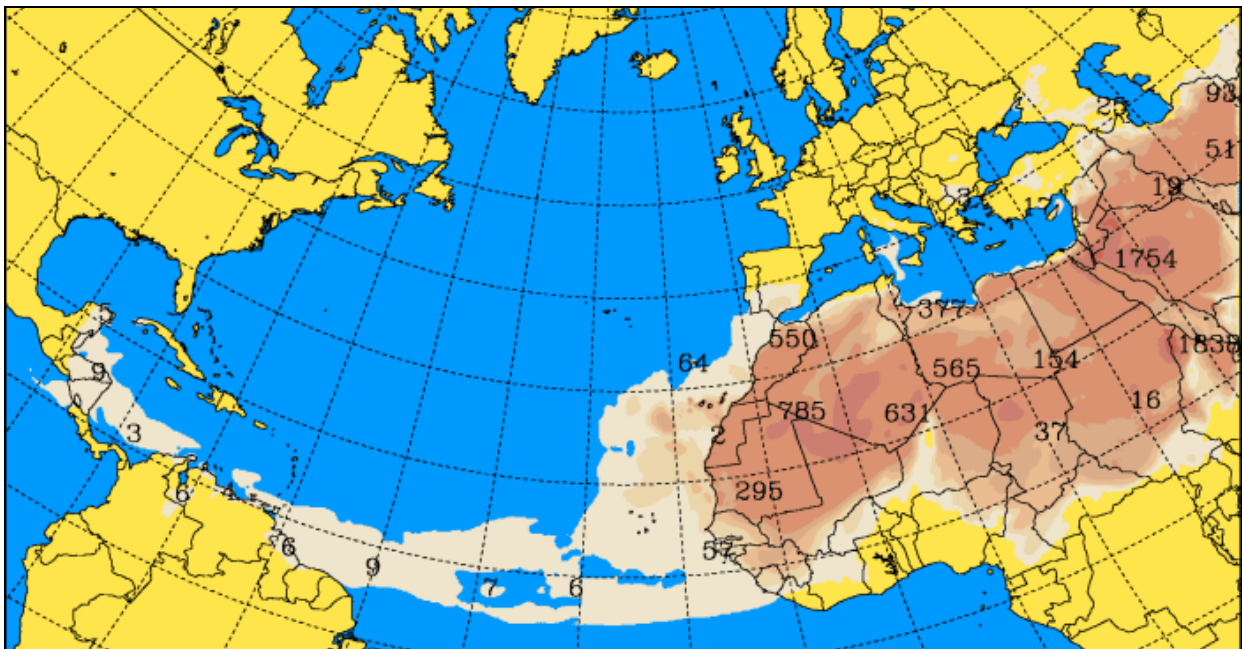
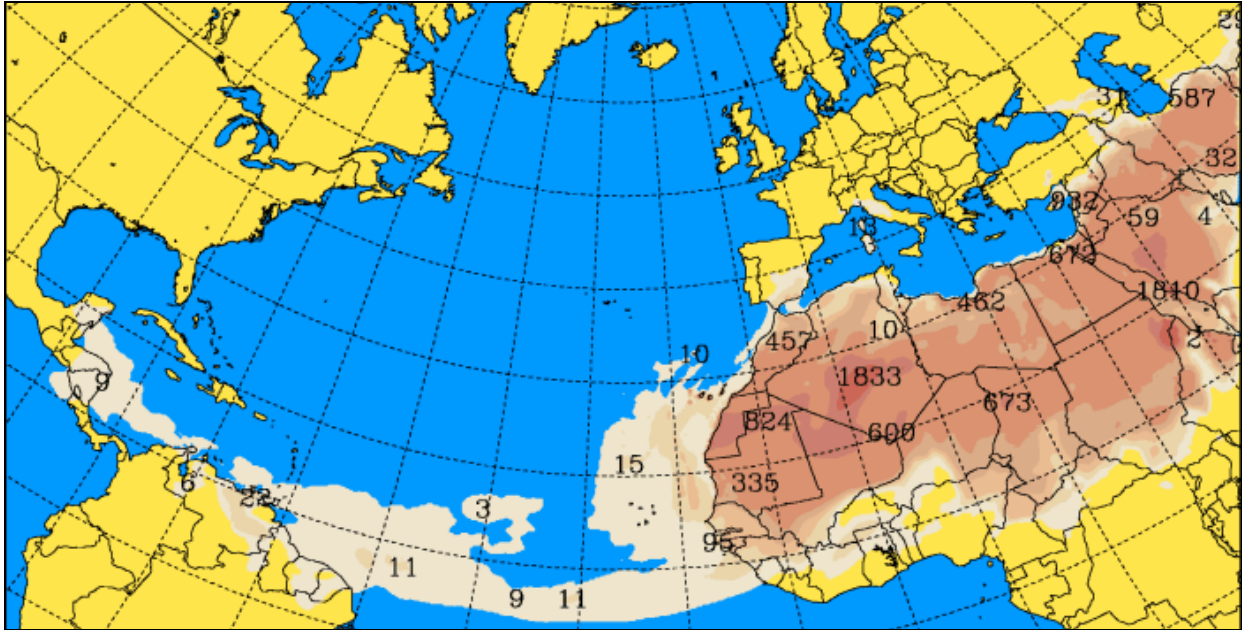
Calima intensa al sur de las islas occidentales el 20 de abril

La imagen muestra la dirección de la invasión de polvo sahariano procedente de la actividad ciclónica durante varios días a mediados de abril en la región sahariana. Vientos secos de componente sureste elevaron grandes cantidades de arena sahariana en los días precedentes y que posteriormente llegan a Canarias en dirección sur. Entre la costa de Fuerteventura y la Punta de Tarfaya permanece la nubosidad típica a causa del afloramiento de aguas templadas.



Imágenes en visible e infrarroja en la banda de absorción vapor de agua el 19 de abril

La **imagen visible** muestra la inexistencia de nubosidad en el Sahara, nubes estratiformes al oeste de Canarias. Observamos una mancha muy tenue de la invasión de polvo sahariano en dirección sur a norte. La **imagen infrarroja** muestra la distribución del contenido acuoso atmosférico; manchas blanquecinas de diferentes tonalidades en la región sahariana nos indica la escasa concentración acuosa en la troposfera sahariana en comparación con otras zonas marinas occidentales.



Calima los días 19 y 20 de abril de 2013

Concentración de polvo cerca del suelo en la región de Sahara. El 19 de abril, la concentración al norte de Mauritania es 824 $\mu\text{g}/\text{m}^3$ y al sur de Canarias apenas llega a 15 $\mu\text{g}/\text{m}^3$. El día 20 la nube de arena se desplaza hacia el oeste, la concentración al norte de Mauritania es 785 $\mu\text{g}/\text{m}^3$ y sobre Canarias es superior a 60 $\mu\text{g}/\text{m}^3$.

Fuente: Universidad de Atenas

OBSERVACIONES METEOROLÓGICAS EL 20 DE ABRIL DE 2013

COMARCAS DE ACENTEJO Y VALLE DE LA OROTAVA								
PLUVIÓMETRO	TEM	HUM	VEL	RAD	PREC	ETP	D1	D2
LA LAGUNA - TEJINA	22.0	73.7	5.0	25.9	0.0	4.9	SW	NE
SANTA ÚRSULA - EL MALPAÍS	23.0	62.2	4.5	25.0	0.0	5.1	SE	E
VALLE GUERRA - ISAMAR	29.2	22.7	10.5	27.2	0.0	8.3	S	
TACORONTE - EXTENSIÓN AGRARIA	26.9	34.1	10.5		0.0			
TEGUESTE - LA PADILLA	29.0	23.8	11.2	23.4	0.0	8.5		
VALLE GUERRA - GARIMBA	28.5	15.3	8.9	26.6	0.0	7.9	S	
SANTA ÚRSULA - LAS TIERRAS	29.0	25.5	5.5	27.1	0.0	6.7	SE	S
SANTA ÚRSULA - LA CORUJERA	28.5	25.6	6.8	24.7	0.0	6.6		
LA VICTORIA - DEPÓSITO MARRERO	28.9	20.9	13.4		0.0			
TACORONTE - AGUA GARCÍA	27.1	27.9	13.6	26.1	0.0	8.4		
LA VICTORIA - EL LOMO	27.8	29.3	9.4	24.6	0.0	7.5		
LA MATANZA - CRUZ DEL CAMINO	27.5	30.6	8.6	25.8	0.0	7.2		
EL SAUZAL - RAVELO	25.5	19.8	12.6	26.9	0.0	7.9		
LA VICTORIA - GAITERO	19.2	22.3	27.3	28.8	0.0	8.8	E	SE
PUERTO DE LA CRUZ - BOTÁNICO	21.5	73.8	1.4	25.4	0.2	4.4	SE	
LA OROTAVA - EL RINCON	22.5	67.8	1.7	25.4	0.0	4.6	S	N
LA OROTAVA - LA PERDOMA RATINO	27.1	36.6	5.1	24.2	0.0	5.8		
LA OROTAVA - LA PERDOMA - SUERTE	27.3	26.8	8.0	25.2	0.0	6.9		
LOS REALEJOS - PALO BLANCO	27.2	27.2	8.3	25.1	0.0	6.9		
LA OROTAVA - BENIJOS	26.4	19.9	13.6	25.8	0.0	8.8		
LA OROTAVA - AGUAMANSA	25.9	19.5	9.5	28.2	0.0	7.3	S	SW

COMARCAS DE ICODEN Y DAUTE								
PLUVIÓMETRO	TEM	HUM	VEL	RAD	PREC	ETP	D1	D2
LA GUANCHA - CHARCO DEL VIENTO	21.2	86.7	0.8	23.0	0.0	4.0	SW	NW
ICOD DE LOS VINOS - PARQUE DRAGO	21.9	70.0	4.3	24.5	0.0	4.5	SE	NW
SAN JUAN RAMBLA - EL MIRADOR	27.2	31.8	7.5		0.0			
ICOD - LOS VINOS - STA BÁRBARA	26.9	38.6	5.7	23.8	0.0	5.9		
ICOD - LOS VINOS - REDONDO	25.9	29.8	5.5	23.7	0.0	6.1		
LOS REALEJOS - ICOD EL ALTO	26.9	32.3	9.8	25.4	0.0	7.3		
BUENAVISTA DEL NORTE - ICIA	21.3	77.7	4.5	22.8	0.2	4.2	SE	
BUENAVISTA DEL NORTE AGROCABILDO	21.9	79.6	5.4	25.2	0.0	4.5	E	SW
LOS SILOS - TIERRA DEL TRIGO	28.1	24.6	7.8	23.8	0.0	7.2		
BUENAVISTA DEL NORTE - PALMAR	27.1	25.6	6.4	22.4	0.0	6.2		
EL TANQUE - RUIGÓMEZ	25.8	22.0	11.3	26.7	0.0	8.1		

COMARCAS DE ISORA Y ABONA								
PLUVIÓMETRO	TEM	HUM	VEL	RAD	PREC	ETP	D1	D2
GUÍA DE ISORA - CUEVA DEL POLVO	22.5	68.6	3.1	25.7	0.0	4.7	E	
GUÍA ISORA - PLAYA DE ALCALÁ	22.1	76.1	1.3	24.3	0.0	4.3	NW	W
ARONA - LAS GALLETAS	26.4	40.0	4.2	23.4	0.0	5.7	NE	E
ADEJE - LA CALDERA	28.2	40.2	6.2		0.0			
GUÍA DE ISORA	29.7	19.8	10.3	25.7	0.0	8.1	SE	NE
GUÍA DE ISORA - EL POZO	30.3	17.9	18.4	25.0	0.0	10.3		
GUÍA DE ISORA - CHIO	28.8	21.8	14.0	24.7	0.0	9.1		
SANTIAGO DEL TEIDE - VALLE ARRIBA	26.1	17.7	10.7	23.4	0.0	7.4		
GUÍA DE ISORA - ARIPE - LLANITOS	27.4	19.4	10.9	24.3	0.0	7.9		
GUÍA DE ISORA - CHAVAO	18.0	20.5	30.3	27.9	0.0	8.9	E	SE
ARICO - LLANOS DE SAN JUAN	30.1	20.5	8.9	24.2	0.0	7.8	N	S
AEROPUERTO REINA SOFIA	25.6	52.1	17.5		0.0		E	NE
ARICO - ICOR	29.0	18.7	8.4	24.8	0.0	7.4	S	N
ARICO - TEGUEDITE - EL VISO	29.7	25.1	6.6	24.6	0.0	6.6		
ARICO - LA DEGOLLADA	30.3	19.5	11.4		0.0			
GÜIMAR - LOMO MENA	30.4	20.8	10.4	24.5	0.0	8.1		
GRANADILLA - CHARCO PINO	29.7	25.9	8.5	24.1	0.0	7.4		
GRANADILLA - EL PINALETE	27.9	20.0	10.5	25.1	0.0	8.1		
ARICO - EL BUENO - LOS HELECHOS	27.2	19.1	7.5	26.0	0.0	6.9	SE	W
VILAFLORES - EL FRONTÓN	23.7	25.3	7.8	25.4	0.0	6.4	N	NE
ARICO - LOS PICACHOS	21.3	18.6	15.7	29.1	0.0	8.0	S	SE

COMARCA DE VALLE DE GÜIMAR Y SURESTE - ANAGA								
PLUVIÓMETRO	TEM	HUM	VEL	RAD	PREC	ETP	D1	D2
GÜIMAR - TOPO NEGRO	29.6	20.7	10.4	24.2	0.0	8.5		
GÜIMAR - BARRANCO BADAJOZ	29.7	21.9	9.3	23.9	0.0	7.8		
CANDELARIA - LAS CUEVECITAS	28.6	18.5	12.5		0.0			
CANDELARIA - ARAYA	29.6	17.6	7.0	27.3	0.0	7.4	S	N
ARAFO - ANAVINGO	29.0	21.3	8.6	25.0	0.0	7.4		
SANTA CRUZ TENERIFE - CRUZ SENOR	29.2	27.4	3.7	26.9	0.0	5.9	NW	SE
SANTA CRUZ DE TENERIFE	26.4	46.9	4.1		0.0		S	E
EL ROSARIO - LOS BALDÍOS	23.5	32.0	8.7	25.6	0.0	6.4		
AEROPUERTO DE LOS RODEOS	26.5	21.5	12.0		0.0		SE	S
SANTA CRUZ - IGUESTE SAN ANDRÉS	27.9	32.1	4.7	24.4	0.0	5.8	N	SE
SANTA CRUZ - SAN ANDRÉS	26.4	42.2	5.1		0.0		N	S
ANAGA - TAGANANA	30.2	21.1	8.8	25.2	0.0	7.6	SE	S
ANAGA - LLANOS DE LOS LOROS	26.0	24.3	21.2		0.0		SE	S

PARQUE NACIONAL DEL TEIDE								
PLUVIÓMETRO	TEM	HUM	VEL	RAD	PREC	ETP	D1	D2
TIRO GUANCHE	18.4	18.4	9.4		0.0			
RISCO VERDE	16.5	21.5	9.0		0.0			
PARADOR TURISMO	17.2	23.1	14.0		0.0		NE	S
LA OROTAVA - OBSERVATORIO DE IZANA	14.9		18.1		0.0			

COMPORTAMIENTO DE LA DIRECCIÓN DEL VIENTO Y DE SU CONTENIDO ACUOSO

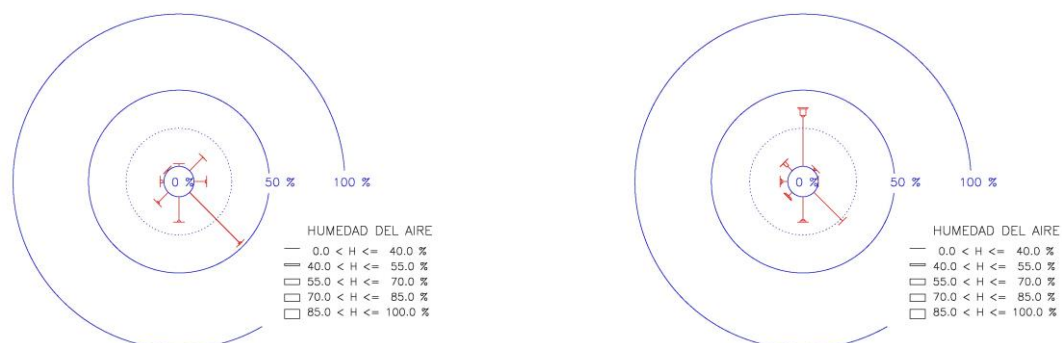
SANTA CRUZ TFE – TAGANANA

20 / ABRIL

/ 2013 SANTA CRUZ TFE – IGUESTE SAN ANDRES

20 / ABRIL

/ 2013



Rosas de humedad en la costa: Igueste San Andrés y Taganana

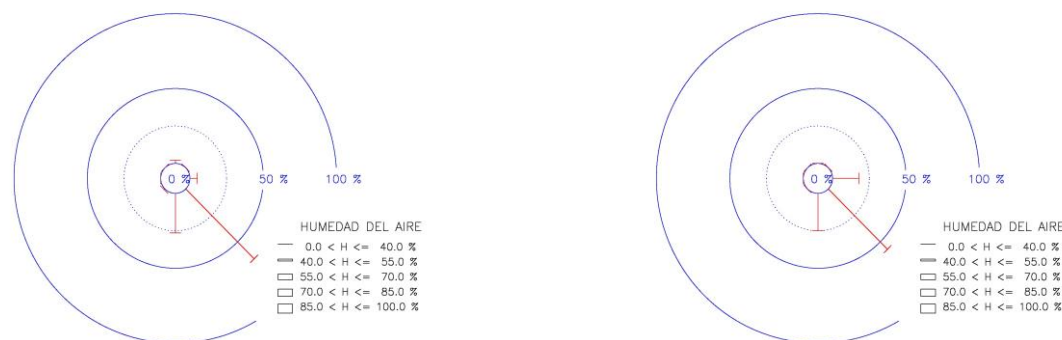
Igueste San Andrés, los vientos **secos** soplan en el sector SE a N, en el sector SE a S son frecuentes y en la dirección N son dominantes. Los **vientos semisecos** soplan en el sector S a NE y son irrelevantes. Los **vientos semihúmedos** soplan en la dirección N y son poco frecuentes. Humedad del aire media diaria 32% seco, 27.9 °C muy caliente, 4.7 km/h, poco ventoso y soleado.

Taganana, los **vientos secos** soplan en todas las direcciones, en la dirección S son frecuentes y en la dirección SE son dominantes. Los **vientos semisecos** soplan en el sector E a W y son irrelevantes. Humedad del aire media diaria 21% muy seco, 30.2 °C muy caliente, 8.8 km/h, ligeramente ventoso y soleado.

AEROPUERTO TENERIFE NORTE – LOS RODEOS 20 / ABRIL

/ 2013 LA LAGUNA – LAS MERCEDES – LLANO LOROS 20 / ABRIL

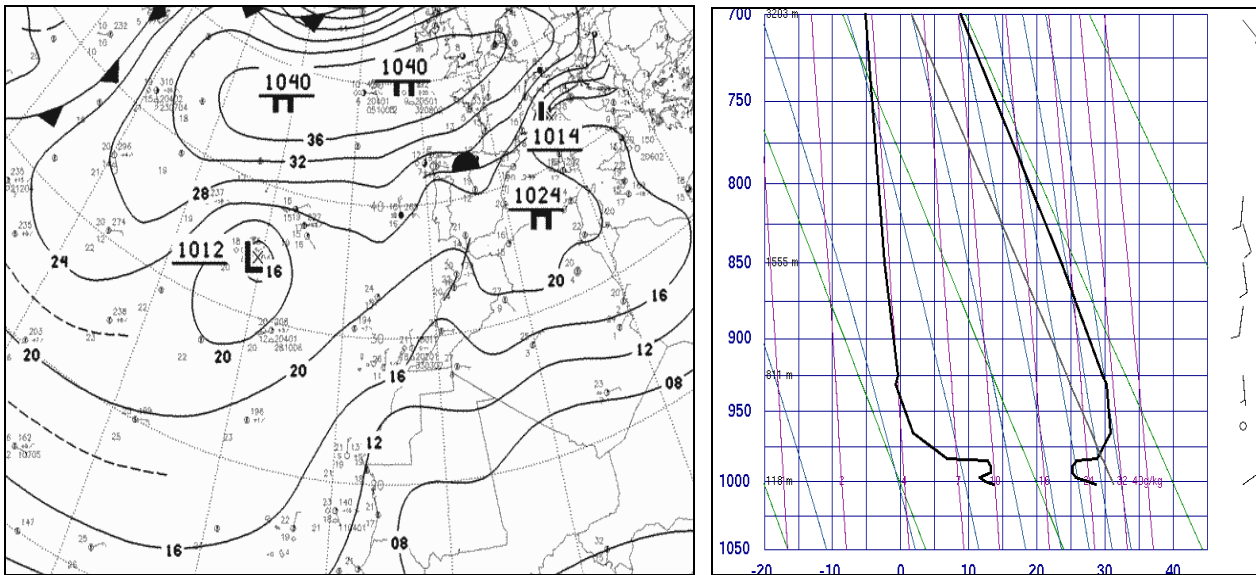
/ 2013



Rosas de humedad en la medianía: Aeropuerto de los Rodeos y Las Mercedes

Aeropuerto de los Rodeos (sotavento), los vientos **secos** soplan en las direcciones N y E y son irrelevantes, en la dirección S son frecuentes y en la dirección SE son dominantes. Humedad del aire media diaria 22% muy seco, 26.5 °C muy caliente, 12 km/h, moderadamente ventoso.

Las Mercedes – Llanos Loros, los **vientos secos** soplan en el sector E a S, en las direcciones E y S son frecuentes y en la dirección SE son dominantes. Humedad del aire media diaria 24% muy seco, 26 °C caliente, 21.2 km/h, ventoso.

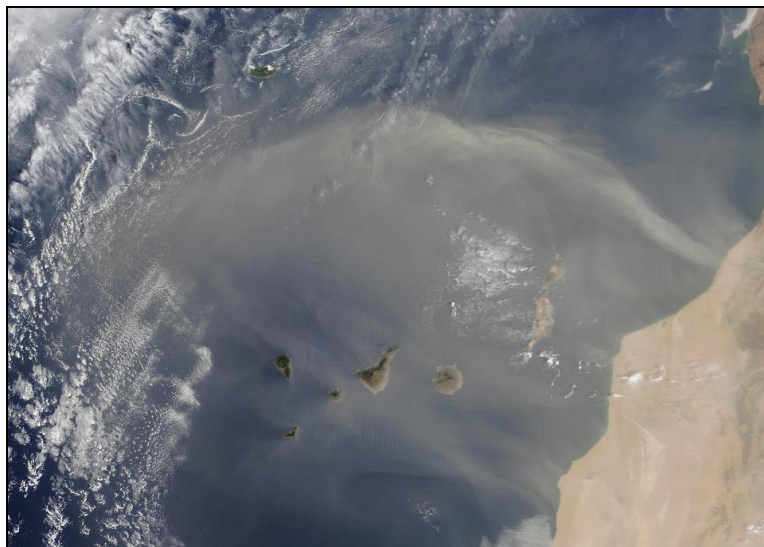
13 DE MAYO DE 2012

Mapa sinóptico el 13 mayo 2012 y radiosondeo a 12 h. Vientos secos débiles del sureste

El mapa sinóptico indica altas presiones moderadas (1024 mb) centrada en Baleares, área depresionaria extensa poco profunda (1008 mb) centrada en Níger y baja presión atlántica centrada al suroeste de las Azores; el flanco suroriental del anticiclón se extiende sobre el noroeste de África. Esta situación barométrica promueve el **movimiento de aire ligeramente húmedo** con desplazamiento débil a moderado de componente sur a suroeste en la región canarias en cotas inferiores a 1000 m y movimiento de aire muy seco entre las cotas de 1000 m a 3000 m. La costa y medianía baja está inmersa en ambiente de contenido acuoso moderado, y en medianía alta y zona de montaña está inmersa en ambiente de contenido acuoso escaso que impide cualquier desarrollo nuboso en las cresterías.

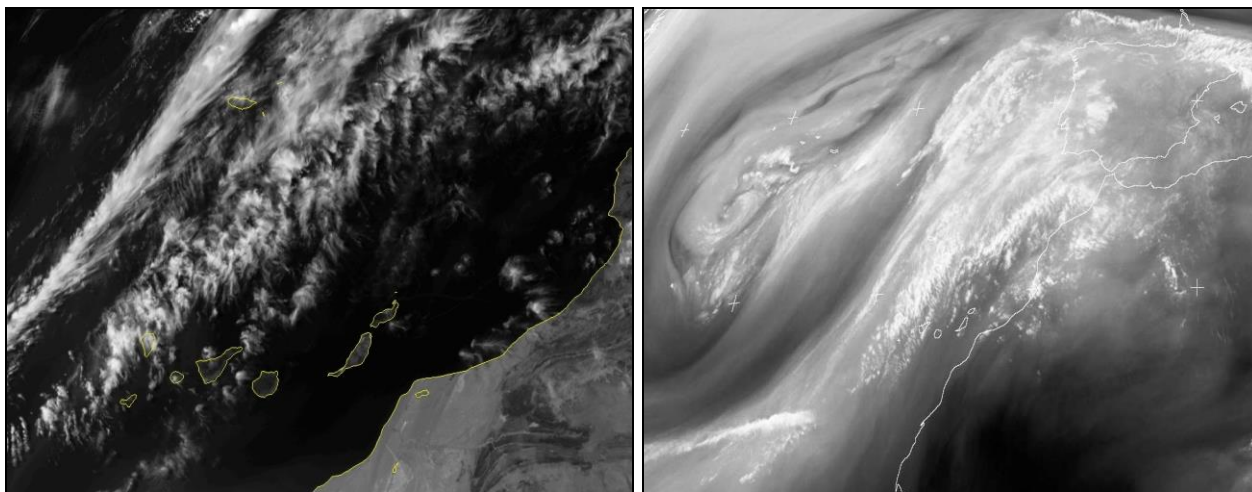
Curva de estado real a mediodía: la temperatura desciende entre 105 m (vientos débiles del ENE, 28.6 °C, 42%) y 250 m (vientos débiles del N, 25.8 °C, 44%); vuelve a ascender hasta 480 m (calma, 30.7 °C, 15%); **inversión térmica;** ligero descenso de temperatura hasta 1985 m (vientos débiles a moderados del S, 19.7 °C, 20%) y continúa en descenso más acentuado hasta 3167 m (vientos débiles del S, 9.1 °C, 36%). La curva de **estado saturado**, muestra temperaturas variables entre 105 m (13.6 °C, 40%) y 250 m (12.8 °C, 44%); brusco descenso hasta 480 m (1.4 °C, 15%) y continúa un suave descenso de temperaturas hasta 3167 m (-5.1 °C, 36%).

La **presencia de calima** es importante en las capas superiores a 250 m encima de la barrera de aire frío típica establecida en la costa africana y sirve de trampolín para proyectar aire seco hacia el oeste a causa del movimiento de las bajas presiones centrada en Argelia (Tinduf). **Ausencia de nubosidad** en la capa baja de la troposfera y nubes estratiformes aisladas con escaso contenido de agua a partir de 3160 m.



Calima intensa en el archipiélago canario el 15 de mayo (AQUA / NASA)

La imagen muestra la extensión de la invasión de polvo sahariano procedente de la actividad ciclónica durante varios días a mediados de mayo en la región sahariana. Vientos secos de componente este elevaron grandes cantidades de arena sahariana en días precedentes y posteriormente llegaron a Canarias en direcciones este a sur. La barrera de aire frío asentada en la costa sahariana es el obstáculo que impulsa la masa de aire contaminado a niveles altos de la atmósfera. Este episodio meteorológico perdurará hasta que sea disuelta por las masas deslizantes de aire frío marino procedentes de latitudes superiores; el día 17 una baja presión poco profunda (1012 mb) al noroeste se aproxima a Canarias acompañada de un frente nuboso con mayor contenido acuoso, la cual, aire marítimo más frío y nítido de componente norte llegará a las islas y “limpiará” la atmósfera calimosa.



Imágenes en visible e infrarroja el 13 de mayo

La **imagen visible** muestra la inexistencia de nubosidad en la costa de Tarfaya donde son habituales nubes estratiformes o nubes cumuliformes con poco desarrollo vertical. Nubosidad aislada de formación orográfica en las islas occidentales y ausencia de nubosidad en las islas orientales. La **imagen infrarroja** (banda de absorción vapor de agua) muestra la distribución del contenido acuoso atmosférico; manchas blanquecinas de diferentes tonalidades en la región sahariana indica la concentración acuosa variable en la troposfera baja sahariana en comparación con otras zonas marinas occidentales.

OBSERVACIONES METEOROLÓGICAS

COMARCAS DE ACENTEJO Y VALLE DE LA OROTAVA								
PLUVIÓMETRO	TEM	HUM	VEL	RAD	PREC	ETP	D1	D2
LA LAGUNA - TEJINA	25.6	60.1	6.4	28.6	0.0	2.0	E	W
SANTA ÚRSULA - EL MALPAÍS	26.7	46.9	3.3	26.7	0.0	1.2	SE	NW
VALLE GUERRA - ISAMAR	28.8	33.3	8.1	29.9	0.0	3.7	SE	
TACORONTE - EXTENSIÓN AGRARIA	29.6	27.7	13.0		0.0			
TEGUESTE - LA PADILLA	29.8	31.2	9.0	24.8	0.0	4.6		
VALLE GUERRA - GARIMBA	29.9	17.9	7.5	29.4	0.0	4.0	SE	
SANTA ÚRSULA - LAS TIERRAS	31.6	26.8	6.5	28.7	0.0	3.3	SE	S
SANTA ÚRSULA - LA CORUJERA	31.4	26.1	8.5	25.9	0.0	4.1		
LA VICTORIA - DEPÓSITO MARRERO	28.8		16.8		0.0			
TACORONTE - AGUA GARCÍA	26.0	26.2	12.0	28.6	0.0	5.2		
LA VICTORIA - EL LOMO	30.1	24.7	10.5	26.1	0.0	4.9		
LA MATANZA - CRUZ DEL CAMINO	29.0	24.8	8.0	29.0	4.0			
EL SAUZAL - RAVELO	25.8	32.8	10.9	27.5	0.0	4.4	SE	W
LA VICTORIA - GAITERO	22.2	22.4	17.1	29.9	0.0	5.4	E	SE
PUERTO DE LA CRUZ - BOTÁNICO	23.6	67.8	1.2	26.4	0.0	0.3	NW	
LA OROTAVA - EL RINCON	27.2	50.5	1.6	25.9	0.0	0.6	N	SE
LA OROTAVA - LA PERDOMA RATINO	30.5	33.7	5.5	25.2	0.0	2.3		
LA OROTAVA - LA PERDOMA - SUERTE	30.2	28.1	8.7	26.5	0.0	4.0		
LOS REALEJOS - PALO BLANCO	30.2	23.9	9.7	26.2	0.0	4.4		
LA OROTAVA - BENIJOS	27.5	27.0	17.1	27.2	0.0	6.6		
LA OROTAVA - AGUAMANSA	24.5	31.5	7.6	29.5	0.0	3.2	S	N

COMARCAS DE ICODEN Y DAUTE								
PLUVIÓMETRO	TEM	HUM	VEL	RAD	PREC	ETP	D1	D2
LA GUANCHA - CHARCO DEL VIENTO	22.3	83.4	0.8	23.8	0.0	0.1	NW	SW
SAN JUAN RAMBLA - EL MIRADOR	17.4	94.3	5.0		0.6			
ICOD - LOS VINOS - SANTA BÁRBARA	29.5	24.5	5.0	23.9	0.0	2.6		
ICOD - LOS VINOS - REDONDO	28.3	30.1	4.6	25.0	0.0	2.2		
LOS REALEJOS - ICOD EL ALTO	29.5	27.3	12.5	25.5	0.0	5.2		
BUENAVISTA DEL NORTE - ICIA	23.0	75.8	3.6	26.2	0.0	0.8	SE	
BUENAVISTA DEL NORTE AGROCABILDO	23.5	78.2	2.9	25.0	0.0	0.5	E	NE
LOS SILOS	23.0	79.5	6.1		0.0			
LOS SILOS - TIERRA DEL TRIGO	30.1	30.9	3.2	24.9	0.0	1.5		
BUENAVISTA DEL NORTE - PALMAR	28.2	31.3	4.6	25.2	0.0	2.4		
EL TANQUE - RUIGÓMEZ	28.5	22.4	6.9	28.4	0.0	3.2		

COMARCAS DE ISORA Y ABONA								
PLUVIÓMETRO	TEM	HUM	VEL	RAD	PREC	ETP	D1	D2
GUÍA DE ISORA - CUEVA DEL POLVO	23.6	69.9	2.7	25.2	0.0	0.6	E	
ARONA - LAS GALLETAS - ICIA	24.0	66.4	5.4	26.4	0.0	1.3	E	
GUÍA ISORA - PLAYA DE ALCALÁ	22.3	73.5	1.3	25.6	0.0	0.3	NW	SE
ARONA - LAS GALLETAS	25.2	57.4	1.7	26.6	0.0	0.8	SE	NW
ADEJE - LA CALDERA	25.2	62.7	3.6		0.0			
GUÍA DE ISORA	30.1	26.0	7.4	26.8	0.0	3.5	W	NE
GUÍA DE ISORA - EL POZO	30.6	26.4	9.6	26.4	0.0	4.3		
GUÍA DE ISORA - CHIO	30.0	22.5	10.2	26.3	0.0	4.9		
SANTIAGO DEL TEIDE - VALLE ARRIBA	28.8	20.8	7.8	25.1	0.0	3.8		
GUÍA DE ISORA - ARIPE - LLANITOS	28.2	25.4	8.1	27.1	0.0	3.5		
GUÍA DE ISORA - CHAVAO	20.6	22.2	13.9	31.5	0.0	4.5	E	SE
ARICO - LLANOS DE SAN JUAN	29.8	38.5	18.4	26.9	0.0	6.9	N	NE
AEROPUERTO REINA SOFIA	28.9	37.9	19.4		0.0			
ARICO - ICOR	28.0	32.4	3.9	26.3	0.0	1.7	N	E
ARICO - TEGUEDITE - EL VISO	29.5	25.7	6.8	26.7	0.0	3.4		
ARICO - LA DEGOLLADA	29.9	28.9	7.7		0.0			
GÜIMAR - LOMO MENA	31.5	28.7	8.0	26.8	0.0	3.7		
GRANADILLA - CHARCO PINO	31.9	20.4	9.5	26.7	0.0	4.9		
GRANADILLA - EL PINALETE	30.4	20.4	13.5	28.3	0.0	6.2		
ARICO - EL BUENO - LOS HELECHOS	29.4	21.4	7.3	27.7	0.0	3.7	NW	SE
VILAFLORES - EL FRONTÓN	26.9	21.4	10.6	29.1	0.0	4.6	N	E
ARICO - LOS PICACHOS	23.3	20.5	14.1	31.8	0.0	4.9	SE	NE

COMARCA DE VALLE DE GÜIMAR Y SURESTE - ANAGA								
PLUVIÓMETRO	TEM	HUM	VEL	RAD	PREC	ETP	D1	D2
GÜIMAR - TOPO NEGRO	29.1	31.6	6.0	25.9	0.0	2.9		
GÜIMAR - LA PLANTA	26.5	42.3	5.7	26.7	0.0	2.6	NE	
GÜIMAR - BARRANCO BADAJOZ	29.7	33.5	5.4	26.3	0.0	2.6		
CANDELARIA - ARAYA	30.2	24.2	3.9	28.5	0.0	2.1	S	N
ARAFO - ANAVINGO	30.0	24.8	6.1	26.2	0.0	6.9		
SANTA CRUZ TENERIFE - CRUZ SENOR	27.9	40.5	3.2	28.5	0.0	1.5	SE	NW
SANTA CRUZ DE TENERIFE	25.6	58.8	4.8		0.0			
EL ROSARIO - LOS BALDÍOS	27.2	25.5	7.6	26.7	0.0	3.4		
AEROPUERTO DE LOS RODEOS	29.6	18.3	13.1		0.0		SE	W
SANTA CRUZ - IGUESTE SAN ANDRÉS	28.6	35.7	5.5	26.6	0.0	6.7	S	SE
SANTA CRUZ - SAN ANDRÉS	25.8	49.4	5.5		0.0			
ANAGA - TAGANANA	29.8	28.0	7.3	27.3	0.0	7.4	S	SE
ANAGA - LLANOS DE LOS LOROS	28.7	23.7	16.3		0.0		SE	E

PARQUE NACIONAL DEL TEIDE								
PLUVIÓMETRO	TEM	HUM	VEL	RAD	PREC	ETP	D1	D2
TIRO GUANCHE	20.6	20.2	6.0		0.0			
RISCO VERDE	18.9	22.6	3.6		0.0			
PARADOR TURISMO	19.4	25.0	12.3		0.0			
LA OROTAVA - OBSERVATORIO IZAÑA	17.4	25.5	30.2		0.0		SE	E

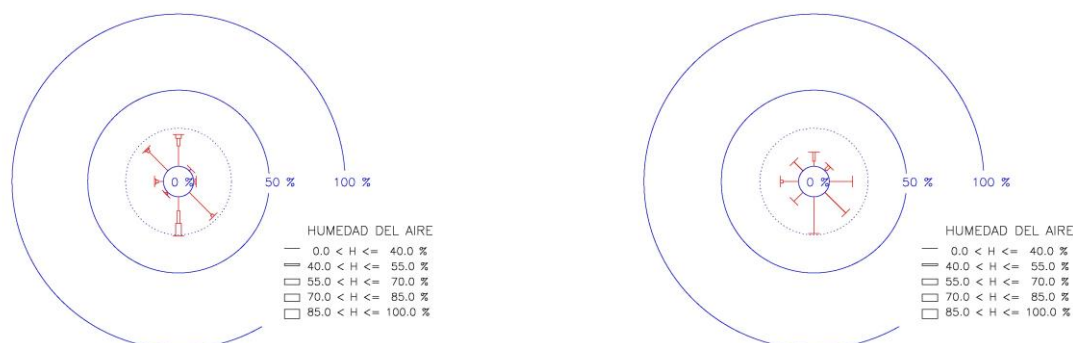
COMPORTAMIENTO DE LA DIRECCIÓN DEL VIENTO Y DE SU CONTENIDO ACUOSO

SANTA CRUZ TFE – IGUESTE SAN ANDRES 13 / MAYO

/ 2012 SANTA CRUZ TFE – TAGANANA

13 / MAYO

/ 2012



Rosas de humedad en costa: Iguste San Andrés y Taganana

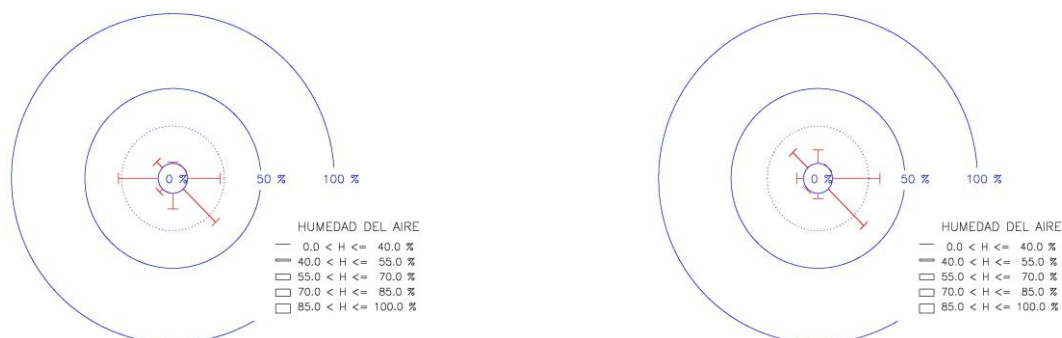
Iguste San Andrés, los vientos **secos** soplan en todas las direcciones, en el sector NW a N y en la dirección SE son frecuentes. Los **vientos semisecos** soplan en el sector E a N, y en las direcciones N y S son poco frecuentes. Los **vientos semihúmedos** soplan en las direcciones N y S, y son poco frecuentes. Humedad del aire media diaria 36% seco, 28.6 °C muy caliente, 5.5 km/h, poco ventoso y soleado.

Taganana, los **vientos secos** soplan en todas las direcciones y en el sector E a NW son frecuentes. Los **vientos semisecos** soplan en el sector N a B y son poco frecuentes. Humedad del aire media diaria 28% muy seco, 29.8 °C muy caliente, 7.3 km/h, ligeramente ventoso y soleado.

AEROPUERTO TENERIFE NORTE – LOS RODEOS 13 / MAYO

/ 2012 LA LAGUNA – LAS MERCEDES – LLANO LOROS 13 / MAYO

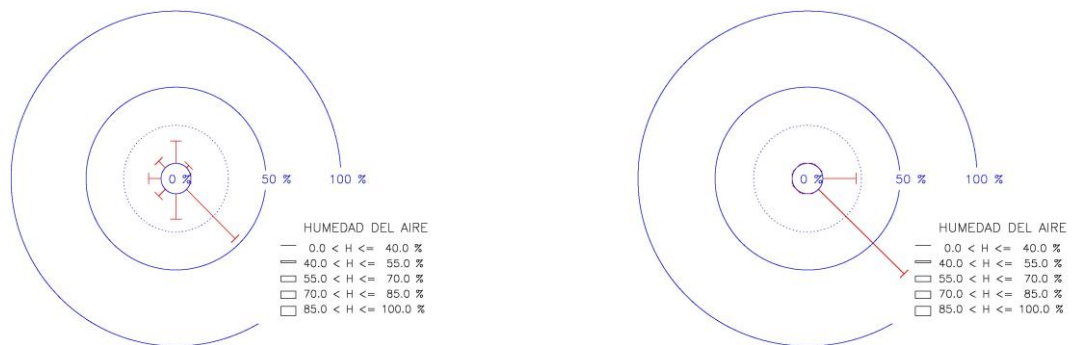
/ 2012



Rosas de humedad en la medianía: Aeropuerto de los Rodeos y Las Mercedes

Aeropuerto de los Rodeos (sotavento), los vientos **secos** soplan en el sector E a NW, en las direcciones E y W son frecuentes y en la dirección SE son dominantes. Humedad del aire media diaria 18% extraordinariamente seco, 29.6 °C muy caliente, 13.1 km/h, moderadamente ventoso.

Las Mercedes – Llanos Loros, los **vientos secos** soplan en el sector E a N, en las direcciones S y W son poco frecuentes, en los sectores E a SE y NW a N son frecuentes. Humedad del aire media diaria 24% muy seco, 28.7 °C caliente, 16.3 km/h, moderadamente ventoso.



Rosas de humedad en la medianía y alta montaña: Garimba e Izaña

Garimba, los vientos **secos** soplan en el sector SE a N, en las direcciones S y N son frecuentes y en la dirección SE son dominantes. Humedad del aire media diaria 20% extraordinariamente seco, 29.9 °C muy caliente, 7.5.1 km/h, poco ventoso y soleado.

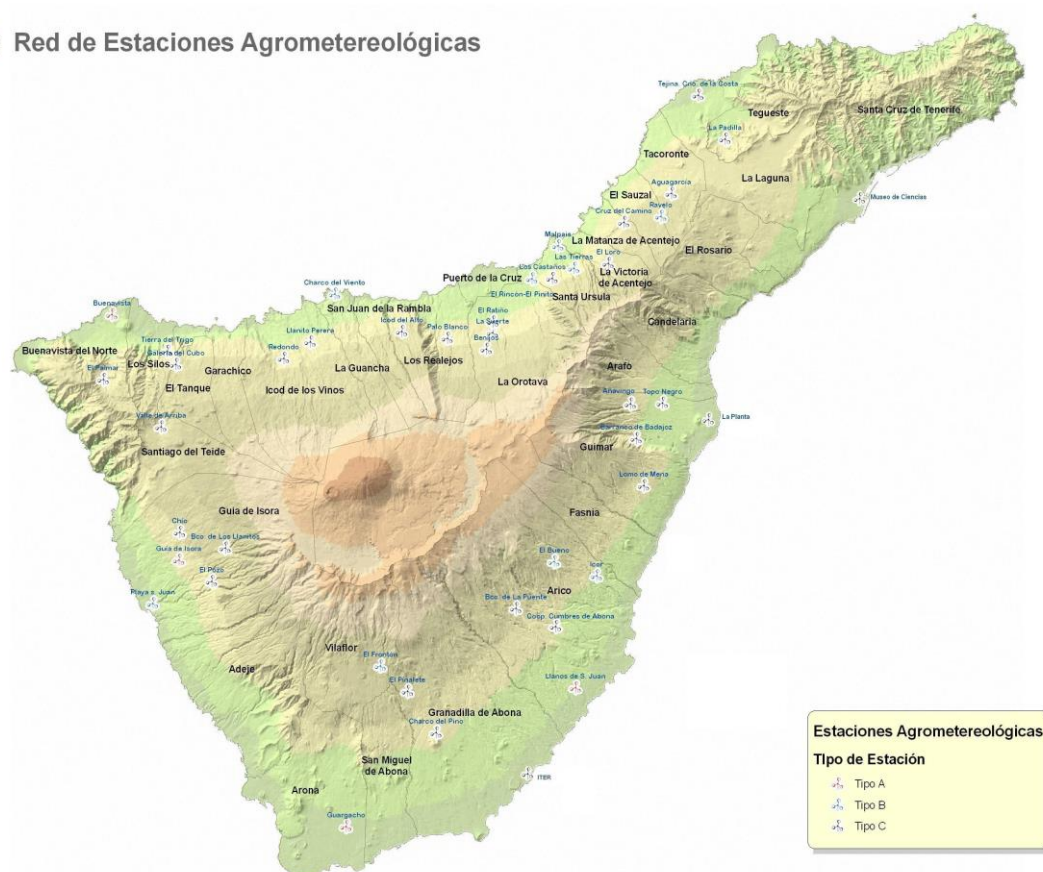
Izaña, los **vientos secos** soplan en el sector E a SE, en la dirección E son frecuentes y en la dirección SE son dominantes. Humedad del aire media diaria 26% muy seco, 17.4°C cálido, 30.2 km/h, muy ventoso.

A ANEXOS

A.1. ESTACIONES METEOROLÓGICAS AUTOMÁTICAS DE TENERIFE

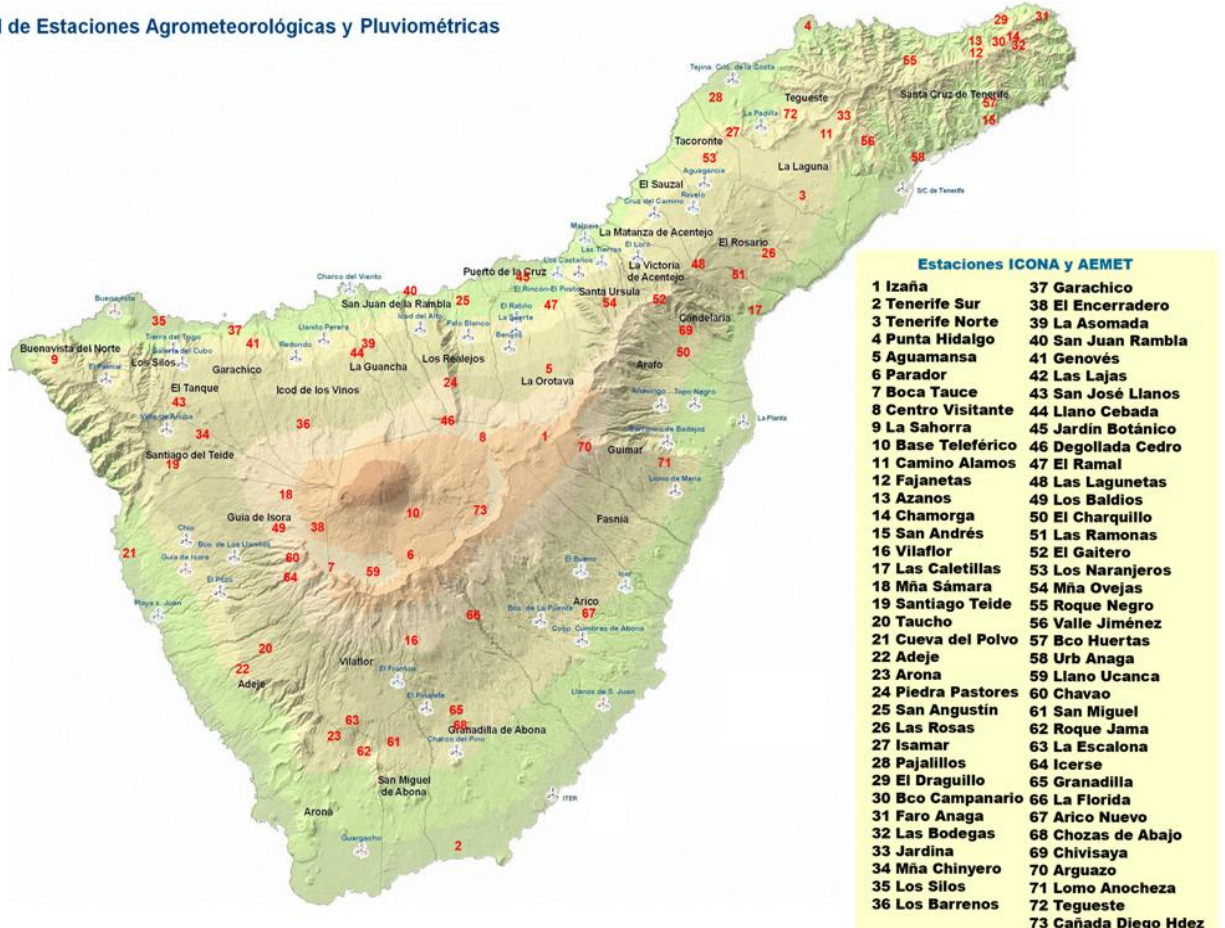
El estudio pluviométrico e higrométrico de Tenerife se ha redactado a partir de la información recogida en la red de estaciones automáticas insular gestionada por varios Organismos Públicos: Instituto Canario de Investigaciones Agrarias (ICIA), Agencia Estatal de Meteorología (AEMET) y Agrocabildo (Consejería de Agricultura del Cabildo de Tenerife).

 Red de Estaciones Agrometeorológicas



Las estaciones meteorológicas están ubicadas en las Comarcas de Tenerife formando transectos que nos permite realizar estudios climáticos en perfiles verticales de cada una de las vertientes de la isla.

Red de Estaciones Agrometeorológicas y Pluviométricas



Red pluviométrica Hellman (puntos rojos) utilizada en el estudio hidrológico de Anaga

Las estaciones pluviométricas están ubicadas en las Comarcas de Tenerife formando transectos. La red pluviométrica nos permite realizar estudios hidrológicos en perfiles verticales de cada una de las vertientes de la isla.

La **zonificación insular** ha seguido un criterio de intervalos altitudinales utilizado en el análisis climático: **costa**, altitud inferior a 250 m; **medianía baja** 250 m < h <= 500 m; **medianía alta** 500 m < h <= 1000 m. Particularmente en Anaga la **crestería** se considera zonas superiores a 750 m

En la actualidad las estaciones meteorológicas disponen de un dispositivo electrónico denominado data logger que registra de forma secuencial, las mediciones de los parámetros climáticos incorporados a la estación, siendo estos valores obtenidos mediante sensores.

Los parámetros climáticos medidos en la estación son: precipitación, temperatura y humedad relativa del aire, velocidad y dirección del viento, y radiación solar.

La ubicación correcta de las estaciones es un aspecto muy importante que se debe tener en cuenta para obtener unas observaciones con rigor y valor representativo de las condiciones meteorológicas existentes. En alguna ocasión la ubicación de la estación no reúne las condiciones óptimas de instalación, las causas dependen de la orografía y principalmente de la disponibilidad de emplazamiento; un ejemplo, la estación Santa Cruz de Tenerife se ha instalado en la azotea de un

edificio público, ya que es imposible disponer de una zona amplia y despejada de obstáculos que reúna las mínimas garantías de seguridad para integridad.

Los sensores de la temperatura, humedad, velocidad y dirección del viento escruta la atmósfera en múltiples ocasiones y el data logger registra el valor promedio de las observaciones. Sin embargo, los sensores de la precipitación y radiación solar directa escruta la atmósfera y el data logger registra el valor acumulado de las observaciones. El periodo de almacenamiento de las observaciones promedio o acumulada es horario. La recogida de datos son obtenidas de estaciones automáticas de observación: 10 minutal (AEMET), 12 minutal (Agrocabildo) y 30 minutal (ICIA)

A.2. CONCEPTOS METEOROLÓGICOS E INSTRUMENTACIÓN

La **precipitación atmosférica** se define como las formas de agua en estado líquido o sólido que caen directamente sobre la superficie terrestre. La fuente principal de las precipitaciones son las nubes, pero no se llegan a producir hasta que las diminutas partículas que las constituyen crezcan (acrecen) y consiguen un tamaño suficientemente grande como para vencer la fuerza ascensional de las corrientes atmosféricas, momento en el cual se producen las precipitaciones por efecto de las fuerzas gravitatorias.

El **pluviómetro** es un instrumento que se emplea en las estaciones meteorológicas para la recogida y medición de la precipitación que cae en la superficie de la tierra en forma de lluvia, nieve, granizo. Es muy importante que sea instalado en un espacio abierto, libre de obstáculos. Los datos recibidos de las estaciones de precipitaciones son anotados en libretas climáticas. La cantidad de agua caída se expresa en milímetros de altura. El diseño básico de un pluviómetro consiste en una abertura superior de entrada de agua al recipiente, que luego es dirigida a través de un embudo hacia un colector donde se recoge y puede medirse visualmente con una regla graduada o mediante el peso del agua depositada. Una lectura automática se realiza en periodos de observación distintos (10 min, 12 min o 30 min), y los registros acumulados diariamente se guardan en un soporte digital. Un litro caído en un metro cuadrado de superficie alcanzará una altura de 1 milímetro.



Pluviómetros Hellmann. Probeta de medida

El pluviómetro homologado más utilizado es del modelo **Hellmann** que consta de un vaso cilíndrico en el que el borde cortante de la anilla de latón o plástico de la parte superior, asegura una superficie de recogida con una sección exacta de 200 cm². Un embudo profundo para que las gotas que hayan entrado no salgan al rebotar, conduce el agua a otro recipiente cilíndrico, el colector de boca estrecha en la que entra el tubo del embudo. Así, toda el agua recogida se conserva en el vaso

colector protegido contra la evaporación por el estrechamiento de la boca y por el dispositivo de dobles paredes. La medida de la precipitación recogida se realiza pasando el agua del colector a una probeta graduada. Para facilitar la medida de las décimas, la escala de la probeta se ha hecho teniendo en cuenta la superficie de recogida, y los valores medidos son los que corresponderían a los que hubiéramos recogido en un pluviómetro de un metro cuadrado de superficie de recogida de agua. Esta probeta es específica para medir la lluvia recogida en un pluviómetro de 200 cm² de sección.

Humedad del aire atmosférico. La humedad es la cantidad de vapor de agua presenta en el aire. Se puede expresar de forma absoluta mediante la humedad absoluta, o de forma relativa mediante la humedad relativa. La humedad relativa es la humedad que contiene una masa de aire, en relación con la máxima humedad absoluta que podría admitir sin producirse condensación, conservando las mismas condiciones de temperatura y presión atmosférica. También, la humedad relativa es la relación porcentual entre la cantidad de vapor de agua real que contiene el aire y la que necesitaría contener para saturarse a idéntica temperatura. La humedad relativa se mide en tanto por ciento (%).

Los intervalos de clase son definidos “sui generis” por el autor del trabajo. La expresión **H** es la humedad relativa del aire promedio en un lapso variable según el responsable de la estación: ejemplo, Agrocabildo lapso de 12 minutos y la humedad del aire será: **humedad doce minutaría** o **humedad doceminutal**.

- 0% < H <= 20% intervalo **MUY SECO**
- 20% < H <= 40% intervalo **SECO**
- 40% < H <= 55% intervalo **SEMISECO**
- 55% < H <= 70% intervalo **SEMIHÚMEDO**
- 70% < H <= 85% intervalo **HÚMEDO**
- 85% < H <= 100% intervalo **MUY HÚMEDO**



El sensor de la serie THIES Compact está diseñado para medir la humedad relativa y la temperatura del aire. Los datos medidos están disponibles como salidas análogas eléctricas. Los sensores consisten de un elemento capacitivo para la humedad y una resistencia PT100 como termómetro. Para montarse en exteriores es necesario el uso del protector de radiación solar.

La **rosa de vientos** es un diagrama que representa la frecuencia con que soplan los vientos de cada dirección. Los radios proyectados tienen longitudes proporcionales al porcentaje de frecuencias de los vientos en un periodo de tiempo determinado. A su vez, los radios pueden subdividirse para mostrar la frecuencia de las diversas intensidades de velocidad del viento asociado a cada dirección particular mediante diferentes anchuras

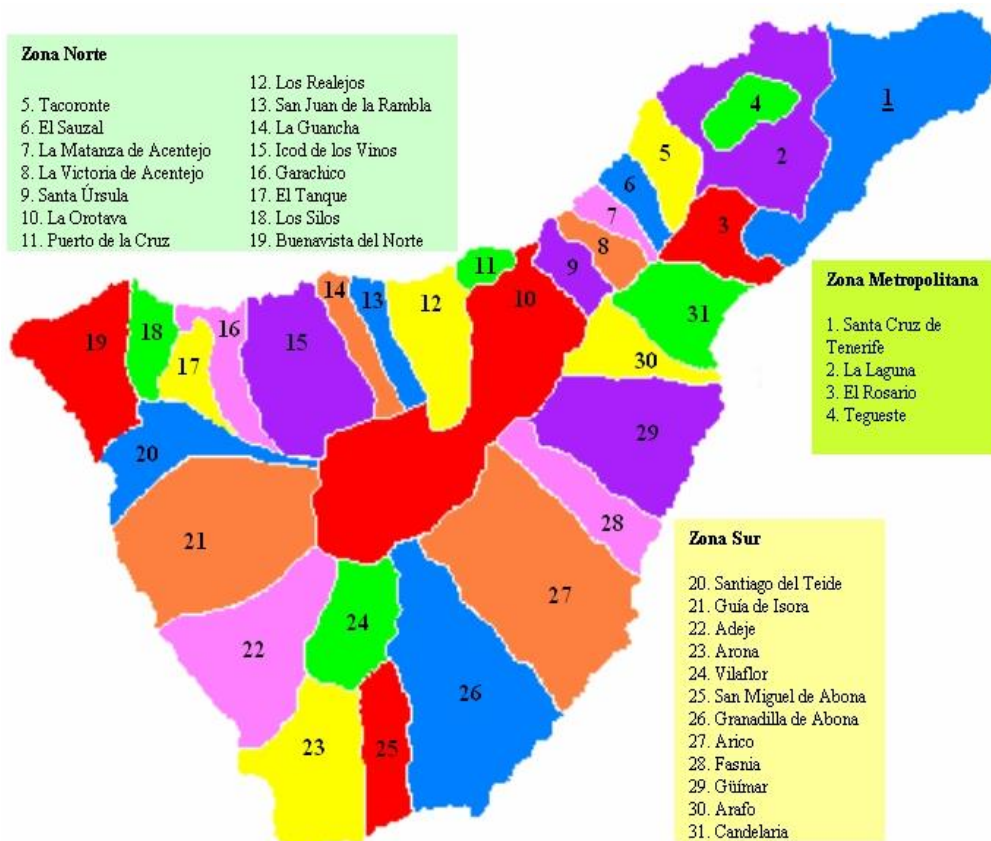
La **rosa de humedades** es la presentación de las frecuencias relativas de las humedades según las direcciones con que sopla el viento cada mes. La leyenda del gráfico nos muestra la relación de frecuencias (longitud del brazo) y la escala de humedades (grosor del brazo).

Los criterios seguidos en el análisis de las observaciones meteorológicas mediante gráficas de “**rosas**” han sido elaborados “sui generis” por el autor del trabajo.

Los **radiosondeos atmosféricos** permiten conocer el estado de la atmósfera mediante la medición de la presión, temperatura, humedad relativa, dirección y velocidad del viento desde la superficie del suelo hasta altitudes superiores a 15 km. Estas informaciones son de gran importancia para el diagnóstico de situaciones meteorológicas con inestabilidad o estabilidad de atmosférica que pueden ocasionar fuertes lluvias o grandes concentraciones de arena sahariana.

Las isolíneas trazadas en el gráfico suministradas por el observatorio meteorológico (Universidad de Wyoming, radiosonda de Güímar a 105 m) a una hora concreta corresponden a la curva de **estado real atmosférico** (curva de la derecha) y a la curva de **estado saturado atmosférico**. La curva de estado real, es decir, la temperatura obtenida por la radiosonda en sus diferentes niveles. La curva de estado saturado, es decir, los distintos puntos de rocío o lo que es lo mismo, la temperatura que debería tener el aire para que la humedad relativa alcanzase el 100%.

A.3. LOCALIZACIÓN DE LOS MUNICIPIOS DE TENERIFE



Municipios de Tenerife

Una **comarca** es una división territorial menor. Está constituida por una serie de poblaciones y sus respectivos términos municipales, con unas mismas características físicas, climatológicas y económicas entre las que destaca la capital o centro comarcal. Las comarcas y los municipios que la constituyen: **Daute** Buenavista del Norte, Los Silos, El Tanque y Garachico; **Icoden**: Icod de los Vinos, La Guancha, San Juan de la Rambla y parte oriental de Los Realejos; **Valle de la Orotava**: parte occidental de Los Realejos, Puerto de la Cruz, costa y medianías de La Orotava; **Acentejo**: Santa Úrsula, La Victoria, La Matanza, El Sauzal y Tacoronte, parte occidental de La Laguna y Tegueste; **Anaga**: partes orientales de La Laguna y Santa Cruz de Tenerife; **Sureste**: parte occidental de Santa Cruz y El Rosario; **Valle de Güímar**: Candelaria, Arafo y parte oriental de Güímar; **Agache**: parte occidental de Güímar y Fasná; **Abona**: Arico, Granadilla, Vilaflor, San Miguel y Arona; **Isora**: Adeje, Guía y Santiago del Teide; **Parque Nacional del Teide** (La Orotava – Zona Central de Alta Montaña).

A.4. ESTACIONES AUTOMÁTICAS EN LAS COMARCAS

COMARCA DE ACENTEJO			
MUNICIPICIO	LOCALIDAD	ALTITUD	VERTIENTE
LA LAGUNA	TEJINA	90 M	NORESTE
SANTA ÚRSULA	EL MALPAÍS	205 M	NORTE
LA LAGUNA	ISAMAR - ICIA	295 M	NORESTE
TEGUESTE	LA PADILLA	400 M	NORESTE
LA LAGUNA	GARIMBA - ICIA	493 M	NORESTE
SANTA ÚRSULA	LAS TIERRAS	530 M	NORTE
SANTA ÚRSULA	LA CORUJERA	550 M	NORTE
TACORONTE	AGUA GARCÍA	694 M	NORESTE
LA VICTORIA	EL LOMO	825 M	NORTE
EL SAUZAL	RAVELO	922 M	NORTE
LA VICTORIA	EL GAITERO	1745 M	CRESTERÍA

VALLE DE LA OROTAVA			
MUNICIPICIO	LOCALIDAD	ALTITUD	VERTIENTE
PUERTO DE LA CRUZ	JARDÍN BOTÁNICO ICIA	142 M	NORTE
LA OROTAVA	EL RINCÓN	216 M	NORTE
LA OROTAVA	LA PERDOMA - EL RATIÑO	380 M	NORTE
LA OROTAVA	LA PERDOMA - LA SUERTE	550 M	NORTE
LOS REALEJOS	PALO BLANCO	595 M	NORTE
LA OROTAVA	BENIJOS	906 M	NORTE
LA OROTAVA	AGUAMANSA	1065 M	NORTE

COMARCA DE ICODEN			
MUNICIPICIO	LOCALIDAD	ALTITUD	VERTIENTE
LA GUANCHA	CHARCO DEL VIENTO	60 M	NORTE
ICOD DE LOS VINOS	PARQUE DEL DRAGO	200 M	NORTE
ICOD DE LOS VINOS	SANTA BÁRBARA	475 M	NORTE
ICOD DE LOS VINOS	REDONDO	525 M	NORTE
LOS REALEJOS	ICOD EL ALTO	770 M	NORTE

COMARCA DE DAUTE			
MUNICIPICIO	LOCALIDAD	ALTITUD	VERTIENTE
BUENAVISTA NORTE	BUENAVISTA - ICIA	28 M	NOROESTE
BUENAVISTA NORTE	BUENAVISTA AGROCABILDO	66 M	NOROESTE
LOS SILOS	TIERRA DEL TRIGO	450 M	NOROESTE
BUENAVISTA NORTE	EL PALMAR	555 M	NOROESTE
EL TANQUE	RUIGÓMEZ - GALERÍA CUBO	750 M	NORTE

COMARCA DE ISORA			
MUNICIPICIO	LOCALIDAD	ALTITUD	VERTIENTE
GUÍA DE ISORA	CUEVA DEL POLVO - ICIA	28 M	OESTE
GUÍA DE ISORA	PLAYA ALCALÁ	29 M	OESTE
GUÍA DE ISORA	PLAYA SAN JUAN	50 M	OESTE
GUÍA DE ISORA	GUÍA DE ISORA	476 M	OESTE
GUÍA DE ISORA	EL POZO	700 M	OESTE
GUÍA DE ISORA	CHÍO	735 M	OESTE
SANTIAGO DEL TEIDE	VALLE DE ARRIBA	990 M	NOROESTE
GUÍA DE ISORA	ARIPE - BCO. LOS LLANITO	1032 M	OESTE
GUÍA DE ISORA	CHAVAO - TORRE VIGILANCIA	2071 M	MONTAÑA

COMARCA DE ABONA			
MUNICIPICIO	LOCALIDAD	ALTITUD	VERTIENTE
GRANADILLA	AEROPUERTO REINA SOFIA	64 M	SUR
ARONA	LAS GALLETAS	73 M	SUR
ARICO	LLANOS DE SAN JUAN	135 M	SUR
ARICO	ICOR	381 M	SUR
ARICO	TEGUEDITE - EL VISO	410 M	SUR
GRANADILLA	CHARCO DEL PINO	505 M	SUR
GRANADILLA	EL PINALETE	850 M	SUR
ARICO	EL BUENO - LOS HELECHOS	930 M	SUR
VILAFLOR	EL FRONTÓN	1258 M	SUR
ARICO	LOS PICACHOS	1630 M	SUR
VILAFLOR	LOS TOPOS TORRE VIGILANCIA	1833 M	MONTAÑA

VALLE DE GÜIMAR			
MUNICIPICIO	LOCALIDAD	ALTITUD	VERTIENTE
GÜIMAR	LA PLANTA	50 M	SURESTE
GÜIMAR	TOPO NEGRO	290 M	SURESTE
GÜIMAR	BARRANCO BADAJOZ	340 M	SURESTE
GÜIMAR	LOMO MENA	500 M	SURESTE
ARAFO	AÑAVINGO	700 M	SURESTE

COMARCA DEL SURESTE			
MUNICIPICIO	LOCALIDAD	ALTITUD	VERTIENTE
SANTA CRUZ TENERIFE	SANTA CRUZ DE TENERIFE	31 M	SURESTE
SANTA CRUZ TENERIFE	AGROCABILDO - CRUZ SEÑOR	136 M	SURESTE
EL ROSARIO	LOS BALDÍOS	655 M	SURESTE

PARQUE RURAL DE ANAGA			
MUNICIPICIO	LOCALIDAD	ALTITUD	VERTIENTE
SANTA CRUZ TENERIFE	IGUESTE SAN ANDRÉS	75 M	SURESTE
SANTA CRUZ TENERIFE	ANAGA - TAGANANA	305 M	NORESTE
SANTA CRUZ TENERIFE	MERCEDES - LLANOS LOROS	867 M	NORESTE
SANTA CRUZ TENERIFE	EL BAILADERO		CRESTERÍA

A.5. TABLAS DE OBSERVACIONES MEDIAS

A.5.1. PRECIPITACIONES MENSUALES ACUMULADAS MEDIAS

(40 m) ANAGA - TAGANANA - EL CARDONAL PERIODO: 1988 - 2013													
	ENE	FEB	MAR	ABR	MAY	JUN	JUL	AGO	SEP	OCT	NOV	DIC	ANUAL
MESES	26	26	25	25	26	25	24	25	25	25	25	24	23
MEDIA	41.8	32.3	37.5	18.5	8.3	4.0	1.8	3.2	10.3	36.4	53.1	56.4	307.7
CO VAR	8.2	6.3	7.5	3.7	1.6	0.8	0.4	0.6	2.1	7.3	10.6	11.5	87.1
(125 m) ANAGA - BCO TAHODIO POZO LARA PERIODO: 1986 - 2004													
	ENE	FEB	MAR	ABR	MAY	JUN	JUL	AGO	SEP	OCT	NOV	DIC	ANUAL
MESES	15	16	15	15	15	14	14	14	14	14	15	15	14
MEDIA	56.7	49.2	67.8	25.4	9.2	1.9	1.0	0.7	8.8	27.1	72.9	85.4	404.8
CO VAR	11.7	7.9	5.5	6.1	0.1	0.5	0.3	10.0	2.3	8.1	5.1	16.0	207.9
(140 m) ANAGA - BARRANCO HUERTAS PERIODO: 1984 - 2007													
	ENE	FEB	MAR	ABR	MAY	JUN	JUL	AGO	SEP	OCT	NOV	DIC	ANUAL
MESES	23	22	23	21	21	23	22	22	23	22	21	20	19
MEDIA	56.9	38.5	55.2	30.2	11.9	5.6	1.9	4.6	12.3	33.0	65.3	70.6	390.7
CO VAR	10.0	5.8	0.0	0.0	2.6	0.4	0.0	1.0	0.3	0.7	13.8	15.8	217.3
(160 m) ANAGA - EL DRAGUILLO PERIODO: 1985 - 2007													
	ENE	FEB	MAR	ABR	MAY	JUN	JUL	AGO	SEP	OCT	NOV	DIC	ANUAL
MESES	18	19	18	17	17	17	18	17	18	19	19	19	17
MEDIA	42.6	29.0	29.1	20.6	8.7	6.8	4.4	3.0	6.3	31.9	37.1	59.7	269.8
CO VAR	18.8	0.0	6.9	8.4	0.0	1.6	1.0	0.7	1.5	4.2	16.1	0.0	253.2
(200 m) ANAGA - TAGANANA - LOS CHORROS PERIODO: 1985 - 1999													
	ENE	FEB	MAR	ABR	MAY	JUN	JUL	AGO	SEP	OCT	NOV	DIC	ANUAL
MESES	8	8	8	7	7	7	7	7	7	7	8	8	7
MEDIA	55.2	33.9	36.3	19.8	7.2	11.3	2.5	1.4	11.0	45.1	60.1	52.1	336.0
CO VAR	19.5	11.5	3.7	5.2	2.7	4.3	1.0	0.6	4.1	11.9	5.1	27.8	401.0
(220 m) ANAGA - TAGANANA - AZANOS PERIODO: 1984 - 2013													
	ENE	FEB	MAR	ABR	MAY	JUN	JUL	AGO	SEP	OCT	NOV	DIC	ANUAL
MESES	28	28	28	29	28	28	28	28	28	28	28	28	27
MEDIA	53.1	44.2	43.1	24.8	10.6	7.4	2.2	3.8	12.4	43.9	68.2	61.5	380.2
CO VAR	10.0	8.3	8.1	4.6	2.0	1.4	0.4	0.7	2.3	8.3	12.9	11.6	227.0
(235 m) ANAGA - FARO PERIODO: 1945 - 2002													
	ENE	FEB	MAR	ABR	MAY	JUN	JUL	AGO	SEP	OCT	NOV	DIC	ANUAL
MESES	46	43	44	43	43	42	42	42	43	43	43	43	42
MEDIA	51.3	43.2	29.1	19.6	8.3	2.0	2.2	1.2	12.2	30.4	68.6	53.0	320.6
CO VAR	7.6	6.6	4.4	3.0	1.3	0.3	0.3	0.2	1.9	4.6	10.5	8.1	220.2
(240 m) ANAGA - TAGANANA PERIODO: 1981 - 2013													
	ENE	FEB	MAR	ABR	MAY	JUN	JUL	AGO	SEP	OCT	NOV	DIC	ANUAL
MESES	29	29	29	29	30	28	28	28	28	28	28	28	28
MEDIA	53.3	42.3	41.7	26.2	10.7	6.9	2.5	3.4	10.9	45.0	69.4	60.7	376.7
CO VAR	1.2	0.7	7.2	2.8	2.0	1.3	0.5	0.6	1.4	8.5	9.4	7.8	283.0
(305 m) ANAGA - TAGANANA - AGROCABILDO PERIODO: 2011 - 2013													
	ENE	FEB	MAR	ABR	MAY	JUN	JUL	AGO	SEP	OCT	NOV	DIC	ANUAL
MESES	2	2	2	2	2	2	1	2	2	2	2	2	1
MEDIA	7.7	18.2	45.3	44.5	4.2	8.6	0.9	0.2	8.9	22.4	85.4	4.4	351.8
CO VAR	44.4	12.2	4.1	30.1	3.0	0.6	3.1	0.1	2.7	75.8	32.2	30.8	
(350 m) ANAGA - BARRANCO CAMPANARIO PERIODO: 1985 - 2013													
	ENE	FEB	MAR	ABR	MAY	JUN	JUL	AGO	SEP	OCT	NOV	DIC	ANUAL
MESES	29	29	29	29	29	28	28	28	28	28	28	28	28
MEDIA	60.5	46.4	44.2	27.6	12.6	7.9	3.8	4.4	12.7	50.4	76.1	68.3	419.0
CO VAR	9.9	7.0	1.4	3.4	0.9	0.0	0.0	0.0	0.0	0.0	0.0	0.0	297.6

(375 m) ANAGA - TAGANANA - LOS MOLINOS PERIODO: 1986 - 2013													
	ENE	FEB	MAR	ABR	MAY	JUN	JUL	AGO	SEP	OCT	NOV	DIC	ANUAL
MESES	25	26	27	27	26	25	25	24	25	25	26	26	22
MEDIA	66.9	62.0	66.6	39.6	16.7	12.4	5.9	6.3	16.1	65.0	106.2	85.5	570.3
CO VAR	11.5	9.2	5.3	6.2	1.7	0.0	0.0	0.0	0.0	0.0	0.0	0.0	364.1
(150 m) ANAGA - TAGANANA - IGLESIA PERIODO: 1947 - 1964													
	ENE	FEB	MAR	ABR	MAY	JUN	JUL	AGO	SEP	OCT	NOV	DIC	ANUAL
MESES	18	18	16	16	16	15	14	13	14	17	17	17	12
MEDIA	80.7	50.4	30.7	20.0	13.5	1.9	1.5	3.0	11.7	58.1	121.8	72.8	474.6
CO VAR	11.2	0.0	11.1	3.2	1.2	0.5	0.4	2.0	14.0	4.1	18.2	2.7	537.7
(400 m) ANAGA - TAGANANA - FAJANETAS PERIODO: 1944 - 2013													
	ENE	FEB	MAR	ABR	MAY	JUN	JUL	AGO	SEP	OCT	NOV	DIC	ANUAL
MESES	68	68	68	68	67	66	66	66	66	67	67	67	66
MEDIA	83.2	69.8	51.1	39.5	17.5	8.8	4.6	5.6	17.2	63.4	113.8	90.0	567.6
CO VAR	10.1	8.5	6.2	4.8	2.1	1.1	0.6	0.7	2.1	7.7	13.9	11.0	316.2
(460 m) ANAGA - CHAMORGA PERIODO: 1985 - 2005													
	ENE	FEB	MAR	ABR	MAY	JUN	JUL	AGO	SEP	OCT	NOV	DIC	ANUAL
MESES	19	19	19	21	20	21	20	20	20	19	18	18	17
MEDIA	75.8	59.1	53.5	48.1	19.8	16.8	11.1	7.2	18.6	63.1	97.6	107.8	600.1
CO VAR	13.1	6.0	1.9	10.5	2.6	0.0	2.5	0.4	3.4	6.6	0.4	11.5	646.0
(470 m) ANAGA - EL BATAN PERIODO: 1987 - 2006													
	ENE	FEB	MAR	ABR	MAY	JUN	JUL	AGO	SEP	OCT	NOV	DIC	ANUAL
MESES	19	19	19	19	18	17	18	17	17	17	17	18	17
MEDIA	63.0	45.6	60.0	40.3	13.6	13.0	10.2	7.4	14.0	66.9	96.2	102.4	544.0
CO VAR	0.0	0.0	0.0	9.2	0.0	3.1	2.4	10.9	3.4	0.0	0.0	0.0	661.1
(500 m) ANAGA - BODEGAS PERIODO: 1986 - 2005													
	ENE	FEB	MAR	ABR	MAY	JUN	JUL	AGO	SEP	OCT	NOV	DIC	ANUAL
MESES	18	18	18	18	18	17	17	17	17	17	17	17	17
MEDIA	78.8	64.5	69.9	37.7	18.8	12.3	5.6	4.3	14.9	63.4	99.2	103.5	567.4
CO VAR	17.9	1.2	15.4	5.6	0.1	3.0	1.2	9.1	3.6	4.2	7.7	12.2	679.6
(525 m) ANAGA - ROQUE NEGRO PERIODO: 1988 - 2013													
	ENE	FEB	MAR	ABR	MAY	JUN	JUL	AGO	SEP	OCT	NOV	DIC	ANUAL
MESES	26	26	26	26	26	25	25	25	25	25	25	25	25
MEDIA	71.7	60.8	73.5	42.7	17.8	9.4	5.5	5.5	13.9	65.0	102.5	92.7	563.5
CO VAR	10.2	42.2	9.5	1.8	6.0	1.9	0.6	2.2	1.2	13.0	9.0	17.0	577.0
(560 m) ANAGA - BEGIA PERIODO: 1988 - 1989													
	ENE	FEB	MAR	ABR	MAY	JUN	JUL	AGO	SEP	OCT	NOV	DIC	ANUAL
MESES	2	1	1	1	1	1	1	1	1	1	1	1	1
MEDIA	101.0	103.0	63.5	11.9	17.0	19.8	12.0		10.0	39.7	127.7	50.0	587.5
CO VAR	32.3	103.0	25.3	58.1	8.8	14.4	11.2	10.0	24.2	11.5	55.3	52.1	
(600 m) ANAGA - LAS CARBONERAS PERIODO: 1985 - 1996													
	ENE	FEB	MAR	ABR	MAY	JUN	JUL	AGO	SEP	OCT	NOV	DIC	ANUAL
MESES	11	12	9	9	9	9	9	9	9	9	9	9	9
MEDIA	104.1	87.3	56.7	58.3	26.2	23.6	10.0	1.9	15.9	86.1	103.9	95.6	657.0
CO VAR	3.9	17.1	18.5	8.4	0.3	5.2	2.8	0.0	1.0	9.6	5.6	9.5	968.1
(868 m) ANAGA - LLANO DE LOS LOROS PERIODO: 2009 - 2012													
	ENE	FEB	MAR	ABR	MAY	JUN	JUL	AGO	SEP	OCT	NOV	DIC	ANUAL
MESES	3	3	3	3	3	3	4	4	4	4	4	4	3
MEDIA	108.0	167.1	83.1	98.3	24.4	24.0	19.9	14.6	19.0	46.8	228.2	78.4	932.2
CO VAR	38.1	60.7	20.5	33.7	9.0	6.9	9.9	7.3	19.5	13.8	40.6	49.3	1677.3
(650 m) ANAGA - TABORNO PERIODO: 1988 - 2000													
	ENE	FEB	MAR	ABR	MAY	JUN	JUL	AGO	SEP	OCT	NOV	DIC	ANUAL
MESES	12	12	12	11	11	11	11	12	12	12	11	11	10
MEDIA	62.4	15.3	31.2	34.4	14.7	25.0	4.1	1.6	13.7	41.2	48.3	92.5	392.3
CO VAR	5.1	1.8	3.8	13.3	4.3	7.5	1.4	0.4	1.2	4.1	19.4	7.3	922.8

(675 m) ANAGA - JARDINA PERIODO: 1985 - 2013													
	ENE	FEB	MAR	ABR	MAY	JUN	JUL	AGO	SEP	OCT	NOV	DIC	ANUAL
MESES	25	23	25	24	22	22	21	24	22	23	26	27	14
MEDIA	87.0	85.1	86.9	47.5	18.0	8.4	6.1	4.4	16.1	69.7	104.8	88.0	661.1
CO VAR	17.4	1.0	3.1	0.7	2.3	1.8	1.3	0.9	2.6	8.8	18.8	16.2	794.0
(740 m) ANAGA - EL MOQUINAL PERIODO: 1988 - 2000													
	ENE	FEB	MAR	ABR	MAY	JUN	JUL	AGO	SEP	OCT	NOV	DIC	ANUAL
MESES	11	11	11	10	10	10	11	12	12	12	11	11	9
MEDIA	83.4	18.8	61.6	37.4	40.9	13.4	8.7	2.7	18.6	59.5	62.0	100.7	502.1
CO VAR	6.4	2.5	10.9	10.6	0.0	0.0	0.0	0.0	0.0	0.0	3.6	18.9	998.3
(775 m) ANAGA - LOMO PELADO PERIODO: 1985 - 1988													
	ENE	FEB	MAR	ABR	MAY	JUN	JUL	AGO	SEP	OCT	NOV	DIC	ANUAL
MESES	3	3	3	3	3	3	3	3	3	3	3	4	3
MEDIA	127.0	118.4	61.5	39.2	9.2	26.1	11.3	15.0	9.6	105.2	99.4	70.1	674.6
CO VAR	72.7	68.4	10.7	13.1	5.1	5.0	17.6	5.5	1.5	0.4	52.8	84.5	1734.8
(850 m) ANAGA - CASAS DE LA CUMBRE PERIODO: 1985 - 1988													
	ENE	FEB	MAR	ABR	MAY	JUN	JUL	AGO	SEP	OCT	NOV	DIC	ANUAL
MESES	4	4	4	4	4	4	4	4	4	4	4	4	4
MEDIA	121.1	78.9	67.3	38.6	26.9	31.4	11.8	12.9	9.8	75.8	76.4	69.5	620.3
CO VAR	60.1	39.4	12.2	11.1	4.5	6.9	15.1	3.7	1.4	15.0	34.2	84.8	1506.5
(35 m) LA LAGUNA - PUNTA DEL HIDALGO PERIODO: 1945 - 2013													
	ENE	FEB	MAR	ABR	MAY	JUN	JUL	AGO	SEP	OCT	NOV	DIC	ANUAL
MESES	59	60	60	58	58	57	58	57	56	56	57	58	54
MEDIA	43.2	33.9	29.2	14.6	6.0	3.5	1.1	2.3	10.1	36.7	54.4	46.3	286.0
CO VAR	11.5	1.9	12.6	3.5	5.2	0.3	1.7	0.2	0.9	3.6	3.6	5.9	420.8
(90 m) LA LAGUNA - TEJINA PERIODO: 2002 - 2013													
	ENE	FEB	MAR	ABR	MAY	JUN	JUL	AGO	SEP	OCT	NOV	DIC	ANUAL
MESES	12	12	12	12	12	12	12	12	11	11	11	11	11
MEDIA	27.5	35.5	33.2	17.4	8.2	4.5	4.4	4.6	8.6	36.4	53.1	32.2	268.7
CO VAR	4.3	8.4	4.2	4.3	2.3	0.4	1.3	1.3	2.6	17.0	1.4	13.8	935.3
(114 m) LA LAGUNA - BAJAMAR PERIODO: 1945 - 1984													
	ENE	FEB	MAR	ABR	MAY	JUN	JUL	AGO	SEP	OCT	NOV	DIC	ANUAL
MESES	32	31	31	31	30	34	33	34	34	31	35	32	20
MEDIA	53.8	34.0	28.8	18.7	8.0	1.4	0.5	1.1	10.4	32.7	53.0	50.3	302.1
CO VAR	5.4	3.9	2.9	0.1	0.2	0.1	0.5	0.2	1.7	15.9	3.9	7.1	718.8
(114 m) LA LAGUNA - BAJAMAR - ALPA PERIODO: 1990													
	ENE	FEB	MAR	ABR	MAY	JUN	JUL	AGO	SEP	OCT	NOV	DIC	ANUAL
MESES	12	13	14	13	12	12	12	12	13	13	11	10	9
MEDIA	40.1	29.6	49.3	13.5	11.8	2.8	3.6	3.3	7.5	36.3	36.4	44.7	265.1
CO VAR	9.8	8.2	12.2	3.7	3.4	0.8	1.0	0.9	15.4	2.4	1.5	9.9	1074.2
(250 m) LA LAGUNA - TEJINA - PICO PERIODO: 1945 - 2012													
	ENE	FEB	MAR	ABR	MAY	JUN	JUL	AGO	SEP	OCT	NOV	DIC	ANUAL
MESES	43	43	42	43	42	43	41	40	41	41	41	41	39
MEDIA	55.3	42.0	43.6	23.6	12.5	5.1	5.3	3.1	10.4	39.4	64.2	60.0	363.2
CO VAR	11.2	4.9	2.3	2.5	1.9	0.8	0.7	0.1	0.9	9.7	1.0	4.7	527.5
(295 m) LA LAGUNA - V. GUERRA ISAMAR PERIODO: 1970													
	ENE	FEB	MAR	ABR	MAY	JUN	JUL	AGO	SEP	OCT	NOV	DIC	ANUAL
MESES	36	36	35	35	35	34	35	34	34	36	36	36	34
MEDIA	72.9	53.0	48.4	30.4	16.1	10.0	4.8	4.8	16.5	43.8	70.7	64.3	430.8
CO VAR	5.2	0.2	1.8	4.3	1.6	0.8	19.5	1.6	2.3	3.3	3.3	11.5	576.9
(380 m) LA LAGUNA - MONTANA OFRA PERIODO: 1985 - 2004													
	ENE	FEB	MAR	ABR	MAY	JUN	JUL	AGO	SEP	OCT	NOV	DIC	ANUAL
MESES	19	19	19	18	18	18	18	18	18	18	18	19	18
MEDIA	29.2	24.6	32.7	14.0	5.4	1.0	0.0	0.6	4.0	21.2	31.4	44.0	208.8
CO VAR	3.9	15.8	20.2	2.2	1.3	1.4	1.7	0.2	2.9	3.6	7.0	1.1	796.0

(493 m) LA LAGUNA - V. GUERRA GARIMBA PERIODO: 1974 - 2013													
	ENE	FEB	MAR	ABR	MAY	JUN	JUL	AGO	SEP	OCT	NOV	DIC	ANUAL
MESES	37	37	37	36	37	37	37	36	35	35	35	34	34
MEDIA	80.6	49.6	47.4	35.5	19.0	12.7	6.7	5.9	19.2	49.3	69.1	66.6	468.3
CO VAR	6.8	5.6	4.9	1.6	2.1	1.8	0.6	1.0	3.2	16.5	4.9	8.9	592.3
(510 m) LA LAGUNA - CERCADO MESA PERIODO: 1987 - 1989													
	ENE	FEB	MAR	ABR	MAY	JUN	JUL	AGO	SEP	OCT	NOV	DIC	ANUAL
MESES	2	2	2	3	2	2	2	2	2	2	2	2	1
MEDIA	72.4	88.0	52.5	10.8	13.1	11.1	2.3	0.5	12.0	57.5	62.5	39.8	415.4
CO VAR	8.2	39.3	19.6	48.6	4.7	4.8	1.6	4.9	2.2	16.5	22.1	115.3	
(550 m) LA LAGUNA - URBANIZACIÓN AGUERE PERIODO: 1985 - 1989													
	ENE	FEB	MAR	ABR	MAY	JUN	JUL	AGO	SEP	OCT	NOV	DIC	ANUAL
MESES	4	4	4	4	4	4	4	4	4	4	4	5	4
MEDIA	111.2	84.5	58.9	23.6	13.6	14.3	4.2	2.8	10.0	78.2	112.6	74.6	588.2
CO VAR	198.5	37.3	8.0	9.1	0.9	0.3	2.1	1.4	7.9	2.8	39.8	26.4	1732.6
(580 m) LA LAGUNA - CAMINO ÁLAMOS PERIODO: 1987 - 2010													
	ENE	FEB	MAR	ABR	MAY	JUN	JUL	AGO	SEP	OCT	NOV	DIC	ANUAL
MESES	23	23	23	23	23	22	22	23	23	23	23	23	22
MEDIA	88.3	80.2	71.2	40.8	21.3	7.7	6.0	6.0	14.4	72.4	92.6	100.7	593.4
CO VAR	0.9	11.6	12.4	0.2	1.2	5.3	1.0	1.3	1.9	15.1	17.6	9.5	754.4
(600 m) LA LAGUNA - LAS CANTERAS PERIODO: 1945 - 1990													
	ENE	FEB	MAR	ABR	MAY	JUN	JUL	AGO	SEP	OCT	NOV	DIC	ANUAL
MESES	15	15	15	15	15	16	15	14	13	13	14	14	13
MEDIA	140.5	62.9	56.9	61.5	20.9	16.5	6.0	8.1	21.7	62.4	99.1	100.2	675.9
CO VAR	26.2	22.9	3.1	12.7	3.5	4.1	1.5	5.5	4.4	4.3	2.8	9.3	996.1
(610 m) LA LAGUNA - GUAMASA PERIODO: 1946 - 1979													
	ENE	FEB	MAR	ABR	MAY	JUN	JUL	AGO	SEP	OCT	NOV	DIC	ANUAL
MESES	32	32	33	33	33	33	32	32	32	32	32	32	30
MEDIA	112.3	77.2	79.0	56.1	36.7	19.3	8.4	12.1	29.2	66.5	117.2	121.2	725.4
CO VAR	16.2	1.1	10.9	8.6	3.5	1.0	1.1	1.8	3.7	3.6	13.5	20.9	677.1
(617 m) LA LAGUNA - LOS RODEOS BARLOVENT PERIODO: 1945 - 1979													
	ENE	FEB	MAR	ABR	MAY	JUN	JUL	AGO	SEP	OCT	NOV	DIC	ANUAL
MESES	35	35	35	35	35	35	35	35	35	35	35	35	35
MEDIA	106.3	77.4	68.2	52.2	30.1	14.4	5.5	9.3	20.6	68.0	113.3	111.4	676.8
CO VAR	5.8	8.6	7.7	3.6	3.4	1.5	6.6	3.5	2.5	9.3	9.1	17.4	656.8
(617 m) LA LAGUNA - LOS RODEOS SOTAVENTO PERIODO: 1980													
	ENE	FEB	MAR	ABR	MAY	JUN	JUL	AGO	SEP	OCT	NOV	DIC	ANUAL
MESES	33	33	33	33	33	33	33	33	33	33	33	33	33
MEDIA	85.5	67.2	62.8	41.6	18.0	10.6	6.8	5.4	18.3	45.1	85.5	76.5	523.2
CO VAR	27.4	5.0	6.2	0.9	1.5	3.2	1.1	0.9	2.7	7.2	5.9	3.9	691.2
(19 m) SANTA CRUZ - SAN ANDRÉS - Col Pu PERIODO: 2011 - 2012													
	ENE	FEB	MAR	ABR	MAY	JUN	JUL	AGO	SEP	OCT	NOV	DIC	ANUAL
MESES	2	2	2	2	2	2	2	2	2	2	2	2	2
MEDIA	11.8	5.1	27.5	22.8	2.5	0.9	3.0	0.6	0.7	12.1	83.8	4.8	175.5
CO VAR	77.2	48.9	30.4	78.7	7.8	6.8	9.4	4.8	5.6	20.1	25.8	17.6	2807.7
(20 m) SANTA CRUZ - SAN ANDRÉS PERIODO: 1960													
	ENE	FEB	MAR	ABR	MAY	JUN	JUL	AGO	SEP	OCT	NOV	DIC	ANUAL
MESES	36	34	35	37	37	37	37	37	37	36	36	36	34
MEDIA	39.7	29.4	33.2	16.9	3.2	1.7	0.0	0.3	8.5	19.9	40.4	53.3	241.7
CO VAR	0.0	9.3	2.6	1.5	0.5	0.0	0.5	0.1	1.3	21.1	0.0	6.5	685.3
(36 m) SANTA CRUZ DE TENERIFE PERIODO: 1931 - 2012													
	ENE	FEB	MAR	ABR	MAY	JUN	JUL	AGO	SEP	OCT	NOV	DIC	ANUAL
MESES	82	82	82	82	82	82	82	82	82	82	82	82	82
MEDIA	35.2	35.8	30.6	13.3	4.6	0.7	0.1	0.9	5.8	22.0	38.6	46.9	234.4
CO VAR	3.9	4.0	3.4	1.5	0.5	0.1	0.0	0.1	0.6	2.4	4.3	5.2	451.5

(50 m) SANTA CRUZ - URBANIZACIÓN ANAGA PERIODO: 1986 - 2010													
	ENE	FEB	MAR	ABR	MAY	JUN	JUL	AGO	SEP	OCT	NOV	DIC	ANUAL
MESES	23	24	23	23	23	23	23	23	23	23	23	23	22
MEDIA	33.5	35.3	29.9	10.1	3.4	1.0	0.2	2.3	6.2	20.0	28.4	44.6	215.7
CO VAR	0.4	28.8	16.3	3.4	0.6	0.2	0.0	0.5	1.3	2.1	5.4	9.0	874.7
(60 m) SANTA CRUZ - IGUESTE SAN ANDRÉS PERIODO: 1971 - 1996													
	ENE	FEB	MAR	ABR	MAY	JUN	JUL	AGO	SEP	OCT	NOV	DIC	ANUAL
MESES	21	21	20	19	18	18	18	18	18	21	21	22	17
MEDIA	49.0	29.5	28.3	17.6	5.1		0.3	0.6	6.1	24.5	30.8	55.9	262.2
CO VAR	3.0	32.1	17.9	2.0	1.1	0.0	0.1	0.1	1.4	3.2	5.1	11.6	1001.5
(75 m) SANTA CRUZ - IGUESTE S ANDRÉS AG PERIODO: 2011 - 2013													
	ENE	FEB	MAR	ABR	MAY	JUN	JUL	AGO	SEP	OCT	NOV	DIC	ANUAL
MESES	2	2	2	2	2	2	1	1	2	2	2	2	1
MEDIA	8.1	11.8	46.9	31.1	6.1	31.0	1.2	0.1	13.6	32.2	80.7	10.5	336.0
CO VAR	4.8	53.9	36.1	2.4	4.0	21.9	1.2	0.1	9.6	22.8	57.0	7.5	
(136 m) SANTA CRUZ DE TENERIFE CRUZ SENO PERIODO: 2011 - 2013													
	ENE	FEB	MAR	ABR	MAY	JUN	JUL	AGO	SEP	OCT	NOV	DIC	ANUAL
MESES	3	3	3	3	3	3	2	2	2	2	2	2	2
MEDIA	22.7	5.3	34.4	16.7	4.1	0.6		0.1	12.3	23.6	64.3	3.6	202.9
CO VAR	12.4	47.8	36.7	10.3	4.5	0.3	0.0	0.1	8.7	16.7	45.5	2.5	2919.9
(425 m) SANTA CRUZ - VALLE JIMÉNEZ PERIODO: 1984 - 2013													
	ENE	FEB	MAR	ABR	MAY	JUN	JUL	AGO	SEP	OCT	NOV	DIC	ANUAL
MESES	29	28	28	27	27	28	28	28	28	28	28	28	27
MEDIA	61.1	50.9	55.6	24.9	10.7	2.8	1.1	1.8	8.7	35.3	64.9	66.1	380.2
CO VAR	10.3	9.0	10.0	4.8	1.9	0.5	0.2	0.3	3.5	3.1	2.7	3.3	800.1
(575 m) SANTA CRUZ - CASERIO CATALANES PERIODO: 1988 - 2000													
	ENE	FEB	MAR	ABR	MAY	JUN	JUL	AGO	SEP	OCT	NOV	DIC	ANUAL
MESES	11	11	11	10	10	10	11	11	11	11	11	11	9
MEDIA	81.8	25.2	80.0	56.3	21.6	11.1	5.6	2.8	21.9	79.0	65.5	162.3	626.1
CO VAR	18.5	7.0	3.6	10.2	10.2	1.3	1.7	0.8	5.4	13.6	8.6	29.9	1396.3
(590 m) SANTA CRUZ - LLANO MORO - MONJA PERIODO: 1986 - 1989													
	ENE	FEB	MAR	ABR	MAY	JUN	JUL	AGO	SEP	OCT	NOV	DIC	ANUAL
MESES	3	3	3	3	2	2	2	2	2	2	3	3	2
MEDIA	79.9	80.1	47.4	6.4	10.1	3.4			4.7	58.8	34.6	40.4	399.9
CO VAR	42.1	46.2	9.6	1.3	7.0	27.9	11.7	4.0	3.4	93.9	16.9	131.7	2962.9
(370 m) TEGUESTE - EL DRAGO PERIODO: 1987 - 2010													
	ENE	FEB	MAR	ABR	MAY	JUN	JUL	AGO	SEP	OCT	NOV	DIC	ANUAL
MESES	23	23	23	23	23	22	22	22	23	23	23	23	22
MEDIA	63.0	60.8	53.9	30.7	15.7	6.8	5.7	4.7	12.6	52.5	74.2	85.2	459.6
CO VAR	10.8	0.8	4.6	6.4	3.3	1.5	1.2	1.0	1.6	10.3	11.9	6.8	903.9
(375 m) TEGUESTE PERIODO: 1945 - 2010													
	ENE	FEB	MAR	ABR	MAY	JUN	JUL	AGO	SEP	OCT	NOV	DIC	ANUAL
MESES	62	62	63	61	61	59	57	57	57	58	57	56	48
MEDIA	79.9	53.8	49.4	33.4	16.6	10.1	4.8	5.6	18.6	50.3	83.9	76.7	489.1
CO VAR	4.3	7.9	6.6	3.0	2.0	1.3	0.6	0.7	1.3	6.6	8.4	3.1	630.9
(400 m) TEGUESTE - LA PADILLA PERIODO: 2004 - 2012													
	ENE	FEB	MAR	ABR	MAY	JUN	JUL	AGO	SEP	OCT	NOV	DIC	ANUAL
MESES	9	9	9	9	9	9	9	9	9	9	9	9	9
MEDIA	77.2	79.8	62.8	39.3	15.2	11.2	8.6	7.8	16.1	46.7	100.3	50.0	514.9
CO VAR	12.3	21.8	11.6	5.8	3.6	1.9	0.1	2.0	5.4	16.2	30.7	21.4	1460.5
(440 m) TEGUESTE - SAN GONZALO PERIODO: 1986 - 2000													
	ENE	FEB	MAR	ABR	MAY	JUN	JUL	AGO	SEP	OCT	NOV	DIC	ANUAL
MESES	10	10	9	10	11	11	11	12	11	11	11	11	8
MEDIA	64.2	50.4	62.5	30.2	14.2	14.3	8.3	1.8	12.7	56.1	75.7	88.9	525.9
CO VAR	17.3	0.0	0.0	0.0	0.0	0.0	0.0	0.0	0.0	0.0	0.0	0.0	1557.5

(675 m) TEGUESTE - PEDRO ALVAREZ PILATO PERIODO: 1986 - 2005													
	ENE	FEB	MAR	ABR	MAY	JUN	JUL	AGO	SEP	OCT	NOV	DIC	ANUAL
MESES	19	19	19	19	20	20	20	20	20	20	20	20	19
MEDIA	88.7	64.0	69.6	52.8	23.8	19.1	13.7	7.7	22.9	82.4	99.5	107.3	655.9
CO VAR	3.6	10.6	14.9	6.1	2.4	1.8	3.1	0.5	2.8	24.1	2.0	12.5	1021.3
(925 m) TEGUESTE - MONTANA ZAPATA PERIODO: 1987 - 2000													
	ENE	FEB	MAR	ABR	MAY	JUN	JUL	AGO	SEP	OCT	NOV	DIC	ANUAL
MESES	13	13	13	12	12	12	12	13	13	13	12	12	11
MEDIA	88.6	46.8	67.4	39.2	19.9	31.4	5.0	4.8	11.9	51.8	89.6	107.1	569.4
CO VAR	2.5	6.5	17.9	7.3	4.4	4.0	1.6	1.3	3.1	13.7	18.6	12.6	1354.0

A.5.2. PRECIPITACION DIARIA MAXIMA ABSOLUTA CADA MES. FECHAS

AEROPUERTO LOS RODEOS BARLOVENTO. PERIODO: 1945 - 1979													
	ENE	FEB	MAR	ABR	MAY	JUN	JUL	AGO	SEP	OCT	NOV	DIC	
P MAX	84.0	83.0	103.8	260.3	126.2	27.0	18.2	12.8	39.0	125.0	149.6	86.0	
AÑO	1945	1958	1951	1977	1967	1970	1969	1964	1951	1955	1950	1968	
DÍA	14	4	1	10	3	4	6	13	20	11	8	7	
AEROPUERTO LOS RODEOS SOTAVENTO. PERIODO: 1980													
	ENE	FEB	MAR	ABR	MAY	JUN	JUL	AGO	SEP	OCT	NOV	DIC	
P MAX	85.3	134.1	120.8	40.1	29.8	20.0	18.7	19.6	48.7	51.5	101.2	101.6	
AÑO	2006	2010	2007	1986	1993	1988	1996	2005	1984	1989	1983	2002	
DÍA	23	1	18	17	3	9	5	18	20	23	19	12	
ANAGA - CHAMORGA. PERIODO: 1985 - 2005													
	ENE	FEB	MAR	ABR	MAY	JUN	JUL	AGO	SEP	OCT	NOV	DIC	
P MAX	91.0	155.4	72.9	81.5	39.2	23.4	26.1	29.0	49.4	71.0	88.0	139.3	
AÑO	1996	1996	2002	1994	1997	1998	2002	2005	2004	2003	1995	2002	
DÍA	22	2	31	18	29	4	14	18	30	31	9	12	
ANAGA - FARO. PERIODO: 1945 - 2002													
	ENE	FEB	MAR	ABR	MAY	JUN	JUL	AGO	SEP	OCT	NOV	DIC	
P MAX	97.7	90.4	54.0	64.4	53.0	14.6	37.0	6.5	65.2	49.2	108.0	72.1	
AÑO	1991	1956	1970	1951	1967	1946	1976	1989	1961	1990	1952	1968	
DÍA	24	14	1	27	13	8	8	27	28	14	20	31	
ANAGA - JARDINA. PERIODO: 1985 - 2010													
	ENE	FEB	MAR	ABR	MAY	JUN	JUL	AGO	SEP	OCT	NOV	DIC	
P MAX	101.6	270.5	60.0	50.2	34.6	10.2	10.0	25.0	22.0	86.4	70.6	90.0	
AÑO	1986	2010	2001	1986	1990	1992	2002	2005	2010	1999	1989	1989	
DÍA	28	1	12	18	9	8	2	17	22	25	14	28	
ANAGA - BARRANCO HUERTAS. PERIODO: 1984 - 2007													
	ENE	FEB	MAR	ABR	MAY	JUN	JUL	AGO	SEP	OCT	NOV	DIC	
P MAX	66.9	66.9	222.6	62.0	26.2	19.5	8.0	36.2	50.0	52.0	52.0	61.0	
AÑO	2006	1996	2002	1986	2002	1998	1996	2005	1984	1987	2001	1989	
DÍA	24	3	31	18	6	7	6	18	21	24	20	10	
ANAGA - TAGANANA. PERIODO: 1981 - 2010													
	ENE	FEB	MAR	ABR	MAY	JUN	JUL	AGO	SEP	OCT	NOV	DIC	
P MAX	72.0	169.5	78.0	60.0	43.0	18.0	4.5	19.0	67.5	84.0	135.0	60.0	
AÑO	1985	2010	2005	1994	1998	1992	1988	2005	2004	1987	2009	2002	
DÍA	31	1	2	18	10	1	13	17	20	24	17	16	
ANAGA - TAGANANA - AZANOS. PERIODO: 1984 - 2010													
	ENE	FEB	MAR	ABR	MAY	JUN	JUL	AGO	SEP	OCT	NOV	DIC	
P MAX	114.5	167.5	77.5	65.0	43.0	30.0	8.0	20.0	63.8	81.0	131.5	80.0	
AÑO	2007	2010	2005	1994	1998	1998	2002	2005	2004	1987	2009	2002	
DÍA	31	1	2	17	9	30	9	18	19	23	17	11	

ANAGA - TAGANANA - FAJANETAS. PERIODO: 1944 - 2010												
	ENE	FEB	MAR	ABR	MAY	JUN	JUL	AGO	SEP	OCT	NOV	DIC
P MAX	121.6	216.0	94.5	116.0	100.5	34.5	16.0	23.5	68.0	128.0	230.9	123.4
AÑO	1969	2010	2005	1977	1949	1992	2002	2005	2004	1987	1950	1953
DÍA	1	1	2	11	12	1	16	17	20	24	12	10
ANAGA - LLANO LOS LOROS. PERIODO: 2009 - 2012												
	ENE	FEB	MAR	ABR	MAY	JUN	JUL	AGO	SEP	OCT	NOV	DIC
P MAX	82.1	268.2	55.0	44.0	14.0	17.7	28.6	9.4	17.2	63.0	150.1	39.6
AÑO	2011	2010	2011	2011		2012	2011	2009	2012		2012	2009
DÍA	30	1	14	20	5	8	20	9	27	27	7	11
EL ROSARIO - LOS BALDÍOS. PERIODO: 2009 - 2012												
	ENE	FEB	MAR	ABR	MAY	JUN	JUL	AGO	SEP	OCT	NOV	DIC
P MAX	37.7	130.0	69.1	34.2	13.6	10.8	14.1	5.5	42.5	43.9	72.4	52.2
AÑO	2011	2010	2010	2011	2010	2012	2011	2011	2012	2012	2012	2009
DÍA	25	1	2	17	12	8	19	19	27	18	7	11
SANTA CRUZ DE TENERIFE. PERIODO: 1931 - 2012												
	ENE	FEB	MAR	ABR	MAY	JUN	JUL	AGO	SEP	OCT	NOV	DIC
P MAX	64.9	116.5	232.6	36.9	42.8	11.0	0.7	25.7	36.8	100.1	82.0	103.7
AÑO	2006	1973	2002	1977	1944	1966	1932	2005	1967	1944	1968	1968
DÍA	22	7	31	10	4	4	7	18	12	22	25	31
SANTA CRUZ - SAN ANDRÉS. PERIODO: 1960 - 2003												
	ENE	FEB	MAR	ABR	MAY	JUN	JUL	AGO	SEP	OCT	NOV	DIC
P MAX	50.0	150.0	191.0	58.0	19.0	8.5	0.2	3.0	53.0	38.0	68.1	72.0
AÑO	1964	1971	2002	1977	1976	1966			1984	1972		1968
DÍA	3	12	31	11	6	4	1	26	21	21	19	31
TACORONTE. PERIODO: 1945 - 2010												
	ENE	FEB	MAR	ABR	MAY	JUN	JUL	AGO	SEP	OCT	NOV	DIC
P MAX	104.6	79.9	100.4	56.8	31.3	31.0	18.2	23.0	57.2	81.5	152.0	86.2
AÑO	1979	1948	2007	1977	1998	1985	1982	1984	1951	1981	1959	1953
DÍA	7	20	18	11	9	16	5	25	21	23	5	16
TACORONTE - AGUA GARCÍA C.F.. PERIODO: 1975 - 1997												
	ENE	FEB	MAR	ABR	MAY	JUN	JUL	AGO	SEP	OCT	NOV	DIC
P MAX	121.3	56.3	189.0	135.2	26.2	32.8	23.0	20.0	54.5	87.2	175.0	115.0
AÑO	1979	1986	1991	1977	1976	1985	1997	1984	1984	1979	1983	1985
DÍA	6	27	15	10	7	16	2	26	21	15	30	29
TACORONTE - AGUA GARCÍA AGROCABILDO. PERIODO: 2004 - 2012												
	ENE	FEB	MAR	ABR	MAY	JUN	JUL	AGO	SEP	OCT	NOV	DIC
P MAX	89.0	46.4	88.0	37.5	28.2	19.7	11.3	22.0	27.7	58.0	149.1	53.0
AÑO	2007	2010	2007	2012	2010	2010	2011	2005	2012	2012	2012	2007
DÍA	27	1	19	27	12	10	20	18	27	18	7	13
TACORONTE - GUAMASA. PERIODO: 1946 - 1979												
	ENE	FEB	MAR	ABR	MAY	JUN	JUL	AGO	SEP	OCT	NOV	DIC
P MAX	90.6	136.8	134.7	235.4	53.8	30.6	20.4	17.8	62.7	56.8	116.4	76.3
AÑO	1979	1958	1959	1977	1967	1970	1954	1964	1967	1966	1959	1977
DÍA	6	3	3	10	3	5	10	12	12	10	4	29
TEGUESTE - PEDRO ALVAREZ PILATO. PERIODO: 1986 - 2005												
	ENE	FEB	MAR	ABR	MAY	JUN	JUL	AGO	SEP	OCT	NOV	DIC
P MAX	100.0	70.2	52.6	52.0	31.0	36.6	29.0	30.2	30.0	115.6	89.7	85.0
AÑO	1997	1991	1994	1997	2002	1998	1996	2005		1987	1989	2000
DÍA	19	13	6	3	5	7	5	18	22	23	12	8
TEGUESTE - EL DRAGO. PERIODO: 1987 - 2010												
	ENE	FEB	MAR	ABR	MAY	JUN	JUL	AGO	SEP	OCT	NOV	DIC
P MAX	55.0	110.0	67.0	62.0	29.0	19.2	15.6	22.0	16.3	107.0	72.2	113.6
AÑO		1989	2007	1995	1998	1998	1996	2005	1987	1987	2009	2000
DÍA	4	6	18	9	9	7	5	18	27	24	17	7

TEGUESTE - LA PADILLA. PERIODO: 2004 - 2012												
	ENE	FEB	MAR	ABR	MAY	JUN	JUL	AGO	SEP	OCT	NOV	DIC
P MAX	61.2	60.2	74.8	36.4	27.3	26.0	19.2	22.6	27.0	72.0	109.0	43.2
AÑO	2007	2010	2007	2012	2010	2010	2011	2005	2010	2012	2012	2007
DÍA	27	1	19	27	12	10	20	18	22	18	7	13
VALLE GUERRA - GARIMBA. PERIODO: 2001 - 2013												
	ENE	FEB	MAR	ABR	MAY	JUN	JUL	AGO	SEP	OCT	NOV	DIC
P MAX	61.2	50.0	66.4	36.4	13.3	33.0	16.3	11.5	42.2	50.2	84.1	84.5
AÑO	2007	2003	2008	2012	2003	2009	2011	2006	2010	2012	2012	2001
DÍA	27	16	18	27	5	16	20	17	22	18	7	7
VALLE GUERRA - ISAMAR. PERIODO: 2001 - 2012												
	ENE	FEB	MAR	ABR	MAY	JUN	JUL	AGO	SEP	OCT	NOV	DIC
P MAX	36.0	22.6	41.0	32.4	39.0	21.7	17.0	7.1	26.0	41.0	101.8	89.0
AÑO		2009	2009	2012	2010	2010	2011	2011	2010		2012	2006
DÍA	9	19	2	27	12	10	20	7	22	21	7	7
EL SAUZAL - RAVELO. PERIODO: 2001 - 2012												
	ENE	FEB	MAR	ABR	MAY	JUN	JUL	AGO	SEP	OCT	NOV	DIC
P MAX	142.3	48.0	108.0	46.5	26.0	24.5	13.1	11.5	30.8	79.3	169.0	86.8
AÑO	2007	2004	2007	2011	2010	2012	2011	2002	2010	2012	2012	2002
DÍA	27	25	19	20	12	8	19	26	22	18	7	12

A.5.3. PRECIPITACIONES DIARIAS SUPERIORES A 50 MM CADA MES. FECHA

AEROPUERTO LOS RODEOS BARLOVENTO. PERIODO : 1945 - 1979												
	ENE	FEB	MAR	ABR	MAY	JUN	JUL	AGO	SEP	OCT	NOV	DIC
	84.0	79.0	103.8	94.1	126.2					125.0	85.8	56.0
	1945	1956	1951	1977	1967					1955	1946	1951
	14	6	1	9	3					11	30	18
	61.4	53.2	86.2	260.3						53.4	149.6	62.9
	1947	1956	1951	1977						1965	1950	1953
	24	11	2	10						2	8	9
	57.2	68.0	89.6							50.0	129.6	66.0
	1950	1958	1956							1965	1950	1953
	28	3	13							26	9	19
	60.5	83.0	86.6							70.7	75.0	59.2
	1962	1958	1959							1966	1950	1953
	2	4	3							10	11	20
	57.2	53.0								55.4	125.7	73.6
	1977	1968								1967	1951	1957
	17	22								22	16	5
	53.6	74.3								52.7	51.4	52.3
	1979	1971								1968	1952	1959
	4	12								28	13	2
	58.5	80.4									52.6	70.8
	1979	1973									1952	1961
	6	7									14	31
	55.1	55.2									110.0	75.4
	1979	1974									1952	1963
	7	26									18	2
	78.0										60.2	65.8
	1979										1954	1968
	16										22	5

											117.0	86.0
											1955	1968
											9	7
											50.5	57.0
											1962	1970
											18	28
											56.5	69.7
											1966	1977
											6	13
											54.7	
											1968	
											14	
											67.5	
											1970	
											8	
P máx	84.0	83.0	103.8	260.3	126.2	27.0	18.2	12.8	39.0	125.0	149.6	86.0
AÑO	1945	1958	1951	1977	1967	1970	1969	1964	1951	1955	1950	1968

AEROPUERTO LOS RODEOS SOTAVENTO. PERIODO : 1980 - 2012												
	ENE	FEB	MAR	ABR	MAY	JUN	JUL	AGO	SEP	OCT	NOV	DIC
	64.6	54.9	58.7							51.5	101.2	86.0
	1982	1986	1996							1989	1983	1989
	11	27	7							23	19	28
	55.3	63.0	120.8								75.0	101.6
	1986	1996	2007								1989	2002
	27	2	18								12	12
	59.6	52.8	69.5								55.0	59.2
	1988	2009	2011								1989	2007
	15	5	13								13	13
	60.4	134.1									77.2	
	1988	2010									2012	
	27	1									7	
	85.3											
	2006											
	23											
	55.0											
	2007											
	26											
	67.9											
	2007											
	27											
P máx	85.3	134.1	120.8	40.1	29.8	20.0	18.7	19.6	48.7	51.5	101.2	101.6
AÑO	2006	2010	2007	1986	1993	1988	1996	2005	1984	1989	1983	2002

ANAGA - CHAMORGA. PERIODO : 1985 - 2005												
	ENE	FEB	MAR	ABR	MAY	JUN	JUL	AGO	SEP	OCT	NOV	DIC
	58.4	155.4	65.0	57.6						71.0	58.4	60.0
	1987	1996	1996	1986						2003	1987	1991
	20	2	6	16						31	29	5
	81.0	97.3	56.2	79.5							54.0	56.4
	1994	1998	1998	1994							1989	1991
	31	28	31	17							12	9

	91.0		72.9	81.5							57.7	54.5
	1996		2002	1994							1989	1995
	22		31	18							14	11
	51.0			55.0							77.0	81.7
	1997			1997							1989	1995
	19			4							24	15
	77.0										53.9	57.5
	1999										1989	1996
	5										25	27
	65.5										88.0	68.0
	2000										1995	2001
	7										9	31
											66.8	139.3
											1996	2002
											13	12
											53.0	55.3
											2003	2002
											8	13
												85.0
												2002
												17
P máx	91.0	155.4	72.9	81.5	39.2	23.4	26.1	29.0	49.4	71.0	88.0	139.3
AÑO	1996	1996	2002	1994	1997	1998	2002	2005	2004	2003	1995	2002

ANAGA - FARO. PERIODO : 1945 - 2002												
	ENE	FEB	MAR	ABR	MAY	JUN	JUL	AGO	SEP	OCT	NOV	DIC
	56.4	90.4	54.0	64.4	53.0				65.2		53.0	51.0
	1979	1956	1970	1951	1967				1961		1951	1950
	7	14	1	27	13				28		6	31
	56.5	86.5		50.0							66.0	66.5
	1979	1956		1977							1951	1953
	19	17		11							17	17
	97.7	65.2									108.0	62.4
	1991	1963									1952	1962
	24	6									20	28
		60.0									52.6	72.1
		1965									1954	1966
		3									23	31
		51.0									60.0	72.1
		1974									1966	1968
		26									6	31
											59.0	54.6
											1967	1972
											14	17
											87.0	56.0
											1970	1984
											9	11
											71.0	65.3
											1971	1991
											23	3
											60.0	
											1983	
											19	

											54.3	
											1989	
											12	
											97.7	
											1989	
											23	
P máx	97.7	90.4	54.0	64.4	53.0	14.6	37.0	6.5	65.2	49.2	108.0	72.1
AÑO	1991	1956	1970	1951	1967	1946	1976	1989	1961	1990	1952	1968

ANAGA - JARDINA. PERIODO : 1985 - 2010												
	ENE	FEB	MAR	ABR	MAY	JUN	JUL	AGO	SEP	OCT	NOV	DIC
	101.6	55.6	60.0	50.2						82.7	70.6	90.0
	1986	1986	2001	1986						1987	1989	1989
	28	28	12	18						23	14	28
	62.7	84.2								86.4	60.0	62.0
	1988	1991								1999	2001	1989
	16	18								25	20	29
	82.6	70.8								55.0	53.0	50.0
	1988	1996								2003	2006	1999
	27	2								22	16	3
	52.6	56.0								64.0		69.0
	1989	2009								2010		2000
	8	5								11		7
	89.0	270.5										65.0
	2007	2010										2008
	27	1										24
	50.0											
	2007											
	28											
P máx	101.6	270.5	60.0	50.2	34.6	10.2	10.0	25.0	22.0	86.4	70.6	90.0
AÑO	1986	2010	2001	1986	1990	1992	2002	2005	2010	1999	1989	1989

ANAGA - BARRANCO HUERTAS. PERIODO : 1984 - 2007												
	ENE	FEB	MAR	ABR	MAY	JUN	JUL	AGO	SEP	OCT	NOV	DIC
	56.0	66.9	222.6	62.0					50.0	52.0	52.0	61.0
	1988	1996	2002	1986					1984	1987	2001	1989
	16	3	31	18					21	24	20	10
	66.9		53.4									52.0
	2006		2007									1989
	24		18									28
												60.0
												1989
												29
P máx	66.9	66.9	222.6	62.0	26.2	19.5	8.0	36.2	50.0	52.0	52.0	61.0
AÑO	2006	1996	2002	1986	2002	1998	1996	2005	1984	1987	2001	1989

ANAGA - TAGANANA. PERIODO : 1981 - 2010												
	ENE	FEB	MAR	ABR	MAY	JUN	JUL	AGO	SEP	OCT	NOV	DIC
	72.0	70.0	67.0	60.0					67.5	84.0	68.5	50.5
	1985	1996	1996	1994					2004	1987	2000	1995
	31	3	5	18					20	24	11	13
	69.0	169.5	78.0							62.0	135.0	60.0
	2006	2010	2005							1999	2009	2002
	23	1	2							27	17	16

	64.0		60.0							57.0		50.0
	2007		2007							2003		2009
	27		17							22		11
			62.0									
			2009									
			27									
P máx	72.0	169.5	78.0	60.0	43.0	18.0	4.5	19.0	67.5	84.0	135.0	60.0
AÑO	1985	2010	2005	1994	1998	1992	1988	2005	2004	1987	2009	2002

ANAGA - TAGANANA - AZANOS. PERIODO : 1984 - 2010												
	ENE	FEB	MAR	ABR	MAY	JUN	JUL	AGO	SEP	OCT	NOV	DIC
	70.4	89.0	72.0	65.0					63.8	81.0	52.1	50.0
	2006	1996	1996	1994					2004	1987	1989	1995
	23	2	3	17					19	23	12	12
	114.5	167.5	77.5	50.0						62.0	60.2	50.0
	2007	2010	2005	1994						1999	1989	1998
	31	1	2	18						27	24	31
			60.0							55.0	51.0	80.0
			2007							2003	1996	2002
			17							22	12	11
			61.5								131.5	59.5
			2009								2009	2002
			27								17	16
												53.0
												2009
												11
P máx	114.5	167.5	77.5	65.0	43.0	30.0	8.0	20.0	63.8	81.0	131.5	80.0
AÑO	2007	2010	2005	1994	1998	1998	2002	2005	2004	1987	2009	2002

ANAGA - TAGANANA - FAJANETAS. PERIODO : 1944 - 2010												
	ENE	FEB	MAR	ABR	MAY	JUN	JUL	AGO	SEP	OCT	NOV	DIC
	86.4	75.2	85.0	116.0	100.5				66.5	60.0	64.2	103.8
	1953	1950	1996	1944	1949				1961	1954	1950	1946
	21	1	5	11	12				28	31	9	30
	61.2	61.2	51.0	74.4	54.5				59.9	102.1	160.5	51.4
	1953	1956	2002	1951	1998				1967	1955	1950	1950
	29	6	31	28	10				12	23	10	31
	57.5	99.9	94.5	116.0					51.0	93.2	230.9	57.3
	1956	1956	2005	1977					1996	1955	1950	1951
	15	7	2	11					30	24	12	5
	55.5	59.6	64.5	61.5					68.0	89.4	75.5	123.4
	1958	1956	2007	1986					2004	1955	1951	1953
	27	15	17	18					20	25	17	10
	106.2	79.4	75.5	95.0						106.7	150.5	74.4
	1962	1956	2009	1994						1957	1952	1953
	1	18	27	18						29	20	16
	93.7	76.4		78.0						109.2	66.2	57.1
	1964	1958		1994						1967	1952	1957
	4	4		19						31	21	4
	121.6	68.5								128.0	60.4	84.8
	1969	1963								1987	1954	1963
	1	4								24	22	3

	53.0	84.5								63.0	114.5	88.5
	1986	1963								1999	1954	1968
	28	11								27	23	26
	65.0	99.6								61.0	92.1	55.5
	1996	1965								2003	1954	1984
	23	3								22	24	10
	90.5	58.9									99.5	67.0
	1997	1970									1955	1993
	22	15									27	23
	50.5	109.3									62.1	55.0
	1999	1971									1956	1995
	6	12									28	13
	55.5	108.9									139.7	50.5
	2000	1971									1959	1999
	7	13									5	2
	97.5	102.5									83.8	51.0
	2006	1973									1965	2002
	23	8									4	10
	83.5	69.4									53.7	67.0
	2007	1974									1965	2002
	27	27									5	16
	53.5	80.0									54.9	58.5
	2009	1996									1966	2009
	30	3									7	11
		55.0									78.8	
		2005									1967	
		10									15	
		216.0									67.7	
		2010									1967	
		1									16	
											56.9	
											1969	
											20	
											52.3	
											1969	
											24	
											95.7	
											1970	
											8	
											92.9	
											1972	
											26	
											97.0	
											1983	
											20	
											54.0	
											1987	
											5	
											65.0	
											1987	
											30	
											70.0	
											1989	
											13	

											57.0	
											1989	
											14	
											50.0	
											1989	
											24	
											63.0	
											1989	
											25	
											60.0	
											1996	
											12	
											71.0	
											2000	
											12	
											50.5	
											2001	
											21	
											91.0	
											2003	
											1	
											159.0	
											2009	
											17	
P máx	121.6	216.0	94.5	116.0	100.5	34.5	16.0	23.5	68.0	128.0	230.9	123.4
AÑO	1969	2010	2005	1977	1949	1992	2002	2005	2004	1987	1950	1953

ANAGA - LOS LLANOS. PERIODO : 2009 - 2012												
	ENE	FEB	MAR	ABR	MAY	JUN	JUL	AGO	SEP	OCT	NOV	DIC
	82.1	268.2	55.0							63.0	50.8	
	2011	2010	2011							2012	2009	
	30	1	14							18	17	
											50.7	
											2010	
											17	
											150.1	
											2012	
											7	
P máx	82.1	268.2	55.0	44.0	14.0	17.7	28.6	9.4	17.2	63.0	150.1	39.6
AÑO	2011	2010	2011	2011		2012	2011	2009	2012		2012	2009

EL ROSARIO - LOS BALDÍOS. PERIODO : 2009 - 2012												
	ENE	FEB	MAR	ABR	MAY	JUN	JUL	AGO	SEP	OCT	NOV	DIC
		130.0	69.1								64.5	52.2
		2010	2010								2010	2009
		1	2								30	11
			57.4								72.4	
			2011								2012	
			13								7	
			64.1									
			2011									
			14									
P máx	37.7	130.0	69.1	34.2	13.6	10.8	14.1	5.5	42.5	43.9	72.4	52.2
AÑO	2011	2010	2010	2011	2010	2012	2011	2011	2012	2012	2012	2009

SANTA CRUZ DE TENERIFE. PERIODO : 1931 - 2012												
	ENE	FEB	MAR	ABR	MAY	JUN	JUL	AGO	SEP	OCT	NOV	DIC
	58.2	52.0	71.8							100.1	60.6	71.4
	1945	1934	1959							1944	1935	1936
	14	16	3							22	29	19
	64.9	85.0	232.6							50.5	50.5	69.4
	2006	1934	2002							1954	1950	1953
	22	17	31							31	9	19
		62.4	53.4							58.7	65.9	82.4
		1956	2005							1955	1954	1957
		6	2							23	22	3
		71.0	74.1							64.8	82.0	103.7
		1958	2007							1957	1968	1968
		3	18							28	25	31
		67.0									68.1	89.2
		1958									1983	1977
		4									19	14
		57.5									61.7	52.7
		1971									2006	1989
		12									1	9
		116.5										82.6
		1973										1989
		7										28
		58.2										58.7
		1974										2007
		26										13
		51.4										
		1986										
		27										
		103.8										
		1996										
		2										
		82.1										
		2010										
		1										
P máx	64.9	116.5	232.6	36.9	42.8	11.0	0.7	25.7	36.8	100.1	82.0	103.7
AÑO	2006	1973	2002	1977	1944	1966	1932	2005	1967	1944	1968	1968

SANTA CRUZ - SAN ANDRÉS. PERIODO : 1960 - 2003												
	ENE	FEB	MAR	ABR	MAY	JUN	JUL	AGO	SEP	OCT	NOV	DIC
	50.0	150.0	191.0	58.0					53.0		68.1	72.0
	1964	1971	2002	1977					1984		1983	1968
	3	12	31	11					21		19	31
												54.0
												1975
												4
												60.0
												1976
												16
												57.5
												1989
												29

												62.0
												2001
												31
P máx	50.0	150.0	191.0	58.0	19.0	8.5	0.2	3.0	53.0	38.0	68.1	72.0
AÑO	1964	1971	2002	1977	1976	1966			1984	1972		1968

TACORONTE. PERIODO : 1945 - 2010												
	ENE	FEB	MAR	ABR	MAY	JUN	JUL	AGO	SEP	OCT	NOV	DIC
	57.2	79.9	52.1	52.5					57.2	58.1	75.2	82.3
	1947	1948	1947	1954					1951	1965	1946	1946
	23	20	17	5					21	27	30	1
	63.8	52.4	57.8	56.8						81.5	77.7	86.2
	1950	1958	1951	1977						1981	1950	1953
	28	4	3	11						23	10	16
	83.8	50.2	100.0							50.6	75.0	55.6
	1950	1971	1959							1999	1950	1963
	31	13	4							26	12	3
	52.1	68.2	56.2								87.0	68.2
	1962	1972	1966								1951	1972
	1	6	10								17	18
	80.1	64.3	58.0								57.8	63.5
	1964	1976	1993								1952	1977
	6	28	17								15	14
	60.8		65.9								72.4	57.5
	1968		1996								1954	2000
	18		7								22	7
	79.8		100.4								152.0	56.2
	1979		2007								1959	2007
	5		18								5	18
	104.6										52.3	
	1979										1962	
	7										7	
	55.0										57.7	
	1990										1962	
	4										18	
	50.4										50.1	
	1996										1965	
	14										5	
	51.1										60.0	
	2000										1968	
	24										20	
											59.0	
											1971	
											20	
											65.0	
											1982	
											8	
											67.5	
											1983	
											4	
											84.4	
											1989	
											12	

											66.0	
											2006	
											16	
											55.4	
											2009	
											16	
P máx	104.6	79.9	100.4	56.8	31.3	31.0	18.2	23.0	57.2	81.5	152.0	86.2
AÑO	1979	1948	2007	1977	1998	1985	1982	1984	1951	1981	1959	1953

TACORONTE - AGUA GARCÍA C.F. PERIODO : 1975 - 1997												
	ENE	FEB	MAR	ABR	MAY	JUN	JUL	AGO	SEP	OCT	NOV	DIC
	73.3	56.3	51.5	135.2					54.5	87.2	58.5	63.0
	1979	1986	1985	1977					1984	1979	1982	1975
	4	27	31	10					21	15	7	4
	67.0	50.0	64.0	51.5						65.0	175.0	52.3
	1979	1992	1990	1985						1989	1983	1977
	5	28	29	9						23	30	13
	121.3		189.0	65.0							53.0	105.0
	1979		1991	1990							1987	1983
	6		15	5							1	27
	80.8		97.7	59.0							76.0	115.0
	1979		1991	1997							1988	1985
	7		31	19							9	29
	55.0		80.0								100.0	52.0
	1979		1993								1989	1987
	9		17								12	7
	78.0		91.0								52.0	82.5
	1979		1996								1989	1989
	14		7								13	28
	56.5											63.0
	1984											1989
	9											29
	67.4											88.0
	1986											1992
	27											19
	67.7											50.0
	1988											1992
	15											23
	60.0											
	1988											
	27											
	68.0											
	1996											
	14											
	60.0											
	1997											
	19											
	62.0											
	1997											
	20											
P máx	121.3	56.3	189.0	135.2	26.2	32.8	23.0	20.0	54.5	87.2	175.0	115.0
AÑO	1979	1986	1991	1977	1976	1985	1997	1984	1984	1979	1983	1985

TACORONTE - AGUA GARCÍA AGROC. PERIODO : 2004 - 2012												
	ENE	FEB	MAR	ABR	MAY	JUN	JUL	AGO	SEP	OCT	NOV	DIC
	89.0		88.0							55.9	92.0	53.0
	2007		2007							2010	2006	2007
	27		19							11	16	13
			53.7							58.0	53.0	
			2011							2012	2008	
			13							18	1	
											149.1	
											2012	
											7	
P máx	89.0	46.4	88.0	37.5	28.2	19.7	11.3	22.0	27.7	58.0	149.1	53.0
AÑO	2007	2010	2007	2012	2010	2010	2011	2005	2012	2012	2012	2007

TACORONTE - GUAMASA. PERIODO : 1946 - 1979												
	ENE	FEB	MAR	ABR	MAY	JUN	JUL	AGO	SEP	OCT	NOV	DIC
	55.0	50.4	134.7	235.4	53.8				57.5	52.6	75.2	71.7
	1947	1956	1959	1977	1967				1951	1965	1946	1953
	22	6	3	10	3				19	26	30	16
	58.3	136.8	97.6						62.7	56.8	73.2	52.7
	1950	1958	1966						1967	1966	1951	1953
	27	3	9						12	10	16	19
	87.5	62.4	51.2								56.2	65.7
	1950	1958	1968								1952	1961
	31	4	26								13	31
	50.6	117.6	52.0								65.3	50.6
	1977	1971	1979								1952	1963
	27	13	9								14	2
	78.4	69.4									51.7	51.6
	1979	1972									1955	1970
	4	6									10	29
	90.6										116.4	63.9
	1979										1959	1972
	6										4	18
	53.9										55.4	52.4
	1979										1959	1973
	7										27	21
	50.6										53.8	53.4
	1979										1962	1975
	16										6	3
											75.8	52.1
											1962	1977
											17	13
											58.2	76.3
											1965	1977
											4	29
											74.6	
											1970	
											9	
											64.8	
											1971	
											21	
P máx	90.6	136.8	134.7	235.4	53.8	30.6	20.4	17.8	62.7	56.8	116.4	76.3
AÑO	1979	1958	1959	1977	1967	1970	1954	1964	1967	1966	1959	1977

TEGUESTE - PEDRO ALVAREZ PILATO. PERIODO : 1986 - 2005												
	ENE	FEB	MAR	ABR	MAY	JUN	JUL	AGO	SEP	OCT	NOV	DIC
	66.5	70.2	52.6	50.0						115.6	89.7	64.3
	1988	1991	1994	1995						1987	1989	1989
	14	13	6	9						23	12	28
	84.3	64.2		52.0						50.2	52.5	85.0
	1996	2005		1997						1989	1989	2000
	14	10		3						23	13	8
	100.0									50.6	72.0	72.5
	1997									1994	1996	2002
	19									19	12	12
	66.5									72.8	67.7	
	1999									1999	2001	
	11									25	20	
	57.8									58.2	61.8	
	2000									1999	2002	
	6									26	28	
										73.3		
										2003		
										22		
P máx	100.0	70.2	52.6	52.0	31.0	36.6	29.0	30.2	30.0	115.6	89.7	85.0
AÑO	1997	1991	1994	1997	2002	1998	1996	2005		1987	1989	2000

TEGUESTE - EL DRAGO. PERIODO : 1987 - 2010												
	ENE	FEB	MAR	ABR	MAY	JUN	JUL	AGO	SEP	OCT	NOV	DIC
	55.0	110.0	67.0	62.0						107.0	64.0	67.6
	1996	1989	2007	1995						1987	1989	1989
	14	6	18	9						24	12	28
	52.7	59.4								50.7	50.0	50.0
	1997	1991								1989	1989	1995
	20	12								23	13	13
	53.0	58.7								55.4	51.2	113.6
	1997	2010								1999	1989	2000
	21	1								25	26	7
	52.4										53.2	55.4
	2007										1991	2002
	26										28	11
											50.0	76.3
											2006	2003
											16	12
											72.2	
											2009	
											17	
P máx	55.0	110.0	67.0	62.0	29.0	19.2	15.6	22.0	16.3	107.0	72.2	113.6
AÑO		1989	2007	1995	1998	1998	1996	2005	1987	1987	2009	2000

TEGUESTE - LA PADILLA. PERIODO : 2004 - 2012												
	ENE	FEB	MAR	ABR	MAY	JUN	JUL	AGO	SEP	OCT	NOV	DIC
	61.2	60.2	74.8							72.0	55.0	
	2007	2010	2007							2012	2006	
	27	1	19							18	16	

											62.2	
											2009	
											17	
											66.1	
											2010	
											29	
											109.0	
											2012	
											7	
P máx	61.2	60.2	74.8	36.4	27.3	26.0	19.2	22.6	27.0	72.0	109.0	43.2
AÑO	2007	2010	2007	2012	2010	2010	2011	2005	2010	2012	2012	2007

VALLE GUERRA - GARIMBA PERIODO : 2001 - 2013												
	ENE	FEB	MAR	ABR	MAY	JUN	JUL	AGO	SEP	OCT	NOV	DIC
	61.2	50.0	66.4							50.2	50.2	84.5
	2007	2003	2008							2012	2007	2001
	27	16	18							18	17	7
											84.1	57.9
											2012	2003
											7	12
												55.0
												2008
												18
P máx	61.2	50.0	66.4	36.4	13.3	33.0	16.3	11.5	42.2	50.2	84.1	84.5
AÑO	2007	2003	2008	2012	2003	2009	2011	2006	2010	2012	2012	2001

VALLE GUERRA - ISAMAR. PERIODO : 2001 - 2012												
	ENE	FEB	MAR	ABR	MAY	JUN	JUL	AGO	SEP	OCT	NOV	DIC
											63.0	89.0
											2007	2001
											16	7
											76.4	89.0
											2009	2002
											17	7
											101.8	89.0
											2012	2003
											7	7
												89.0
												2004
												7
												89.0
												2005
												7
												89.0
												2006
												7
P máx	36.0	22.6	41.0	32.4	39.0	21.7	17.0	7.1	26.0	41.0	101.8	89.0
AÑO		2009	2009	2012	2010	2010	2011	2011	2010		2012	2006

EL SAUZAL - RAVELO. PERIODO : 2001 - 2012												
	ENE	FEB	MAR	ABR	MAY	JUN	JUL	AGO	SEP	OCT	NOV	DIC
	50.4		52.7							68.5	88.0	86.8
	2006		2001							2010	2006	2002
	9		13							11	16	12
	142.3		54.7							79.3	58.0	70.0
	2007		2007							2012	2009	2007
	27		18							18	17	13
	78.5		108.0								169.0	71.0
	2011		2007								2012	2009
	29		19								7	11
			65.4									
			2009									
			2									
P máx	142.3	48.0	108.0	46.5	26.0	24.5	13.1	11.5	30.8	79.3	169.0	86.8
AÑO	2007	2004	2007	2011	2010	2012	2011	2002	2010	2012	2012	2002

LAGUNA - TEJINA. PERIODO : 2002 - 2013												
	ENE	FEB	MAR	ABR	MAY	JUN	JUL	AGO	SEP	OCT	NOV	DIC
											64.7	70.3
											2009	2002
											58.3	
											2012	
P máx	36.7	28.5	33.0	16.2	21.0	12.3	9.6	17.7	11.9	44.7	64.7	70.3
AÑO	2002	2005	2007	2004	2007	2010	2011	2005	2004	2003	2009	2002

LAGUNA - PICO DE TEJINA - ICIA. PERIODO : 1992 - 2013												
	ENE	FEB	MAR	ABR	MAY	JUN	JUL	AGO	SEP	OCT	NOV	DIC
										58.0	73.3	54.0
										1999	1995	2002
											74.5	
											2009	
											82.0	
											2012	
P máx	49.0	36.4	34.2	26.8	25.3	23.2	12.4	12.1	24.2	58.0	82.0	54.0
AÑO	1996	2004	2009	2012	2007	2010	1996	2005	2010	1999	2012	2002

SANTA CRUZ TFE - TAGANANA. PERIODO : 2011 - 2013												
	ENE	FEB	MAR	ABR	MAY	JUN	JUL	AGO	SEP	OCT	NOV	DIC
			56.7									
			2013									
P máx	3.7	16.3	56.7	30.6	5.8	10.4	0.7	0.2	13.9	20.3	49.5	3.0
AÑO	2013	2012	2013	2012	2013	2012						

TEGUESTE - LA PADILLA. PERIODO : 2004 - 2012												
	ENE	FEB	MAR	ABR	MAY	JUN	JUL	AGO	SEP	OCT	NOV	DIC
	61.2	60.3	74.8							72.0	55.0	
	2007	2010	2007							2012	2006	

											62.2	
											2009	
											66.2	
											2010	
											109.0	
											2012	
P máx	61.2	60.3	74.8	36.4	27.4	26.0	19.2	22.6	27.0	72.0	109.0	43.2
AÑO	2007	2010	2007	2012	2010	2010	2011	2005	2010	2012	2012	2007

LA LAGUNA - GARIMBA - ICIA. PERIODO : 1974 - 2013												
	ENE	FEB	MAR	ABR	MAY	JUN	JUL	AGO	SEP	OCT	NOV	DIC
	71.0	72.4	54.7	67.7					96.0	70.0	53.0	51.0
	1979	1980	1994	1978					1985	1982	1983	1978
	68.3	58.0	66.4							90.0	77.0	57.0
	1979	1984	2008							1988	1990	1990
	75.0	50.0								50.2	50.2	84.5
	1979	2003								2012	2007	2001
	52.0										84.2	57.9
	1985										2012	2003
	50.0											55.0
	1986											2008
	53.2											
	1995											
	61.2											
	2007											
P máx	75.0	72.4	66.4	67.7	45.7	33.0	18.2	24.0	96.0	90.0	84.2	84.5
AÑO	1979	1980	2008	1978	1977	2009	1997	1985	1985	1988	2012	2001

LA LAGUNA - ANAGA - LLANO LOS LOROS. PERIODO : 2011 - 2012												
	ENE	FEB	MAR	ABR	MAY	JUN	JUL	AGO	SEP	OCT	NOV	DIC
	82.2		55.0							63.0	150.2	
	2011		2011							2012	2012	
P máx	82.2	13.6	55.0	44.0	11.4	17.8	28.6	8.4	17.2	63.0	150.2	18.6
AÑO	2011	2011	2011	2011	2012	2012	2011	2011	2012	2012	2012	2012

SANTA CRUZ - SAN ANDRÉS - CP ARGENT. PERIODO : 2011 - 2012												
	ENE	FEB	MAR	ABR	MAY	JUN	JUL	AGO	SEP	OCT	NOV	DIC
P máx	7.8	6.2	30.4	15.2	4.2	1.2	5.0	1.4	0.8	14.2	38.4	3.8
AÑO	2011	2011	2011	2011	2011	2012	2011	2011	2011	2012	2012	2012

SANTA CRUZ DE TENERIFE - AUTOMÁTICA. PERIODO : 1931 - 2012												
	ENE	FEB	MAR	ABR	MAY	JUN	JUL	AGO	SEP	OCT	NOV	DIC
	58.2	52.0	71.8							100.1	60.6	71.4
	1945	1935	1960							1945	1936	1937
	64.9	85.0	232.6							50.5	50.5	69.4
	2006	1935	2003							1955	1951	1954
		62.4	53.4							58.7	65.9	82.4
		1957	2006							1956	1955	1958
		71.0	74.1							64.8	82.0	103.7
		1959	2008							1958	1969	1969
		67.0									68.1	89.2
		1959									1984	1978
		57.5									61.7	52.7
		1972									2007	1990
		116.5										82.6
		1974										1990
		58.2										58.7
		1975										2008
		51.4										
		1987										
		103.8										
		1997										
P máx	64.9	116.5	232.6	36.9	42.8	11.0	0.7	25.7	36.8	100.1	82.0	103.7
AÑO	2006	1974	2003	1978	1945	1967	1933	2006	1968	1945	1969	1969

SANTA CRUZ TFE - IGUESTE SAN ANDRÉS. PERIODO : 2011 - 2013												
	ENE	FEB	MAR	ABR	MAY	JUN	JUL	AGO	SEP	OCT	NOV	DIC
P máx	15.3	13.9	27.0	7.4	12.8	33.1	1.3	0.1	13.1	16.4	35.1	7.0
AÑO	2013	2013	2013	2012	2013	2012						

SANTA CRUZ TENERIFE - CRUZ SENOR- PERIODO : 2011 - 2013												
	ENE	FEB	MAR	ABR	MAY	JUN	JUL	AGO	SEP	OCT	NOV	DIC
P máx	23.1	6.4	29.9	11.6	6.2	1.6	2.2	0.2	20.9	17.2	27.7	3.3
AÑO	2011	2013	2011	2011	2011	2013	2011	2012	2012	2012	2012	2012

EL ROSARIO - LOS BALDÍOS. PERIODO : 2009 - 2012												
	ENE	FEB	MAR	ABR	MAY	JUN	JUL	AGO	SEP	OCT	NOV	DIC
		130.1	57.4								50.8	52.3
		2010	2011								2010	2009
			64.2								72.4	
			2011								2012	
P máx	37.7	130.1	64.2	34.3	13.6	10.9	14.1	5.6	42.5	43.9	72.4	52.3
AÑO	2011	2010	2011	2011	2010	2012	2011	2011	2012	2012	2012	2009

LA LAGUNA - ANAGA - LLANO LOS LOROS. PERIODO : 2011 - 2012												
	ENE	FEB	MAR	ABR	MAY	JUN	JUL	AGO	SEP	OCT	NOV	DIC
	82.2		55.0							63.0	150.2	
	2011		2011							2012	2012	
P máx	82.2	13.6	55.0	44.0	11.4	17.8	28.6	8.4	17.2	63.0	150.2	18.6
AÑO	2011	2011	2011	2011	2012	2012	2011	2011	2012	2012	2012	2012

A.5.4. FRECUENCIAS ABSOLUTAS DE PRECIPITACIONES DIARIAS SUPERIORES A 5 MILÍMETROS

(40 m) ANAGA - TAGANANA - EL CARDONAL PERIODO: 1988 - 2013								
	ALTITUD	PERIODO	INV	PRI	VER	OTO		AÑOS
AEROPUERTO LOS RODEOS BARLOVENTO	617 m	1945 1979	451	187	83	523	1244	35
AEROPUERTO LOS RODEOS SOTAVENTO	617 m	1980 2012	363	128	54	377	922	33
ANAGA - CHAMORGA	460 m	1985 2003	177	84	38	228	527	17
ANAGA - FARO	235 m	1945 1992	284	71	35	332	722	42
ANAGA - JARDINA	675 m	1986 2010	289	87	34	299	709	20
ANAGA - BARRANCO HUERTAS	140 m	1985 2005	192	65	21	175	453	19
ANAGA - TAGANANA	240 m	1985 2010	201	61	18	253	533	26
ANAGA - TAGANANA - AZANOS	220 m	1985 2010	193	61	25	240	519	25
ANAGA - TAGANANA - FAJANETAS	400 m	1947 2009	704	240	100	812	1856	63
SANTA CRUZ DE TENERIFE	36 m	1931 2012	436	82	20	438	976	82
SANTA CRUZ - SAN ANDRÉS	20 m	1961 2003	183	44	11	208	446	34
TACORONTE	485 m	1946 2009	780	339	139	876	2134	63
TACORONTE - AGUA GARCÍA C.F.	800 m	1975 1996	261	109	48	263	681	19
TACORONTE - AGUA GARCÍA AGROC	643 m	2005 2012	102	30	19	110	261	8
TACORONTE - GUAMASA	485 m	1947 1978	421	193	83	474	1171	30
TEGUESTE - PEDRO ALVAREZ PILATO	675 m	1987 2005	220	105	56	285	666	19
TEGUESTE - EL DRAGO	370 m	1988 2009	206	75	26	241	548	22
TEGUESTE - LA PADILLA	400 m	2004 2012	106	29	14	92	241	9
VALLE GUERRA - GARIMBA	500 m	2001 2013	102	48	24	125	299	13
VALLE GUERRA - ISAMAR	295 m	2001 2012	90	47	22	86	245	12
EL SAUZAL - RAVELO	922 m	2001 2012	165	80	27	162	434	12

A.5.5. FRECUENCIAS ABSOLUTAS DE PRECIPITACIONES DIARIAS SUPERIORES A 10 MILIMETROS

(40 m) ANAGA - TAGANANA - EL CARDONAL PERIODO: 1988 - 2013								
	ALTITUD	PERIODO	INV	PRI	VER	OTO		AÑOS
AEROPUERTO LOS RODEOS BARLOVENTO	617 m	1945 1979	282	82	23	299	686	35
AEROPUERTO LOS RODEOS SOTAVENTO	617 m	1980 2012	211	57	19	211	498	33
ANAGA - CHAMORGA	460 m	1985 2003	108	43	22	144	317	17
ANAGA - FARO	235 m	1945 1992	158	28	16	193	395	42
ANAGA - JARDINA	675 m	1986 2010	176	47	14	196	433	20
ANAGA - BARRANCO HUERTAS	140 m	1985 2005	82	22	5	96	205	19
ANAGA - TAGANANA	240 m	1985 2010	102	31	8	147	288	26
ANAGA - TAGANANA - AZANOS	220 m	1985 2010	109	30	8	145	292	25
ANAGA - TAGANANA - FAJANETAS	400 m	1947 2009	395	98	33	498	1024	63
SANTA CRUZ DE TENERIFE	36 m	1931 2012	233	31	14	220	498	82
SANTA CRUZ - SAN ANDRÉS	20 m	1961 2003	96	17	8	106	227	34
TACORONTE	485 m	1946 2009	464	127	57	512	1160	63
TACORONTE - AGUA GARCÍA C.F.	800 m	1975 1996	168	56	21	174	419	19
TACORONTE - AGUA GARCÍA AGROC	643 m	2005 2012	61	14	5	68	148	8
TACORONTE - GUAMASA	485 m	1947 1978	253	95	39	271	658	30
TEGUESTE - PEDRO ALVAREZ PILATO	675 m	1987 2005	144	58	25	177	404	19
TEGUESTE - EL DRAGO	370 m	1988 2009	131	30	14	146	321	22
TEGUESTE - LA PADILLA	400 m	2004 2012	60	14	4	52	130	9
VALLE GUERRA - GARIMBA	500 m	2001 2013	58	16	7	70	151	13
VALLE GUERRA - ISAMAR	295 m	2001 2012	44	23	3	51	121	12
EL SAUZAL - RAVELO	922 m	2001 2012	110	45	7	95	257	12

A.5.6. FRECUENCIAS ABSOLUTAS DE PRECIPITACIONES DIARIAS SUPERIORES A 25 MILIMETROS

(40 m) ANAGA - TAGANANA - EL CARDONAL PERIODO: 1988 - 2013								
	ALTITUD	PERIODO	INV	PRI	VER	OTO		AÑOS
AEROPUERTO LOS RODEOS BARLOVENTO	617 m	1945 1979	79	13	6	95	193	35
AEROPUERTO LOS RODEOS SOTAVENTO	617 m	1980 2012	72	12	4	52	140	33
ANAGA - CHAMORGA	460 m	1985 2003	34	12	3	53	102	17
ANAGA - FARO	235 m	1945 1992	43	9	3	58	113	42
ANAGA - JARDINA	675 m	1986 2010	38	4	0	45	87	20
ANAGA - BARRANCO HUERTAS	140 m	1985 2005	25	4	2	36	67	19
ANAGA - TAGANANA	240 m	1985 2010	26	7	2	36	71	26
ANAGA - TAGANANA - AZANOS	220 m	1985 2010	28	9	2	40	79	25
ANAGA - TAGANANA - FAJANETAS	400 m	1947 2009	111	21	7	165	304	63
SANTA CRUZ DE TENERIFE	36 m	1931 2012	53	6	7	69	135	82
SANTA CRUZ - SAN ANDRÉS	20 m	1961 2003	22	4	2	33	61	34
TACORONTE	485 m	1946 2009	137	16	13	147	313	63
TACORONTE - AGUA GARCÍA C.F.	800 m	1975 1996	64	11	2	58	135	19
TACORONTE - AGUA GARCÍA AGROC	643 m	2005 2012	21	2	2	19	44	8
TACORONTE - GUAMASA	485 m	1947 1978	67	17	8	89	181	30
TEGUESTE - PEDRO ALVAREZ PILATO	675 m	1987 2005	42	10	4	55	111	19
TEGUESTE - EL DRAGO	370 m	1988 2009	37	4	0	45	86	22
TEGUESTE - LA PADILLA	400 m	2004 2012	16	4	2	12	34	9
VALLE GUERRA - GARIMBA	500 m	2001 2013	11	2	2	17	32	13
VALLE GUERRA - ISAMAR	295 m	2001 2012	11	2	1	16	30	12
EL SAUZAL - RAVELO	922 m	2001 2012	35	8	2	34	79	12

A.5.7. FRECUENCIAS ABSOLUTAS DE PRECIPITACIONES DIARIAS SUPERIORES A 50 MILIMETROS

(40 m) ANAGA - TAGANANA - EL CARDONAL PERIODO: 1988 - 2013								
	ALTITUD	PERIODO	INV	PRI	VER	OTO	AÑOS	
AEROPUERTO LOS RODEOS BARLOVENTO	617 m	1945 1979	21	3	0	32	56	35
AEROPUERTO LOS RODEOS SOTAVENTO	617 m	1980 2012	14	0	0	8	22	33
ANAGA - CHAMORGA	460 m	1985 2003	8	4	0	18	30	17
ANAGA - FARO	235 m	1945 1992	9	3	0	19	31	42
ANAGA - JARDINA	675 m	1986 2010	10	1	0	10	21	20
ANAGA - BARRANCO HUERTAS	140 m	1985 2005	3	1	0	5	9	19
ANAGA - TAGANANA	240 m	1985 2010	9	1	1	8	19	26
ANAGA - TAGANANA - AZANOS	220 m	1985 2010	8	2	1	12	23	25
ANAGA - TAGANANA - FAJANETAS	400 m	1947 2009	36	7	4	56	103	63
SANTA CRUZ DE TENERIFE	36 m	1931 2012	17	0	0	18	35	82
SANTA CRUZ - SAN ANDRÉS	20 m	1961 2003	3	1	1	6	11	34
TACORONTE	485 m	1946 2009	22	2	1	27	52	63
TACORONTE - AGUA GARCÍA C.F.	800 m	1975 1996	19	3	1	16	39	19
TACORONTE - AGUA GARCÍA AGROC	643 m	2005 2012	3	0	0	6	9	8
TACORONTE - GUAMASA	485 m	1947 1978	10	2	1	22	35	30
TEGUESTE - PEDRO ALVAREZ PILATO	675 m	1987 2005	8	2	0	14	24	19
TEGUESTE - EL DRAGO	370 m	1988 2009	7	1	0	13	21	22
TEGUESTE - LA PADILLA	400 m	2004 2012	3	0	0	5	8	9
VALLE GUERRA - GARIMBA	500 m	2001 2013	3	0	0	6	9	13
VALLE GUERRA - ISAMAR	295 m	2001 2012	0	0	0	9	9	12
EL SAUZAL - RAVELO	922 m	2001 2012	7	0	0	8	15	12

A.5.8. FRECUENCIAS ABSOLUTAS DE PRECIPITACIONES DIARIAS SUPERIORES A 75 MILIMETROS

(40 m) ANAGA - TAGANANA - EL CARDONAL PERIODO: 1988 - 2013								
	ALTITUD	PERIODO	INV	PRI	VER	OTO	AÑOS	
AEROPUERTO LOS RODEOS BARLOVENTO	617 m	1945 1979	9	3	0	10	22	35
AEROPUERTO LOS RODEOS SOTAVENTO	617 m	1980 2012	3	0	0	5	8	33
ANAGA - CHAMORGA	460 m	1985 2003	4	2	0	5	11	17
ANAGA - FARO	235 m	1945 1992	3	0	0	3	6	42
ANAGA - JARDINA	675 m	1986 2010	4	0	0	3	7	20
ANAGA - BARRANCO HUERTAS	140 m	1985 2005	1	0	0	0	1	19
ANAGA - TAGANANA	240 m	1985 2010	2	0	0	2	4	26
ANAGA - TAGANANA - AZANOS	220 m	1985 2010	4	0	0	3	7	25
ANAGA - TAGANANA - FAJANETAS	400 m	1947 2009	20	4	0	24	48	63
SANTA CRUZ DE TENERIFE	36 m	1931 2012	5	0	0	6	11	82
SANTA CRUZ - SAN ANDRÉS	20 m	1961 2003	2	0	0	0	2	34
TACORONTE	485 m	1946 2009	6	0	0	9	15	63
TACORONTE - AGUA GARCÍA C.F.	800 m	1975 1996	7	1	0	8	16	19
TACORONTE - AGUA GARCÍA AGROC	643 m	2005 2012	2	0	0	2	4	8
TACORONTE - GUAMASA	485 m	1947 1978	4	1	0	3	8	30
TEGUESTE - PEDRO ALVAREZ PILATO	675 m	1987 2005	2	0	0	3	5	19
TEGUESTE - EL DRAGO	370 m	1988 2009	1	0	0	2	3	22
TEGUESTE - LA PADILLA	400 m	2004 2012	0	0	0	1	1	9
VALLE GUERRA - GARIMBA	500 m	2001 2013	0	0	0	2	2	13
VALLE GUERRA - ISAMAR	295 m	2001 2012	0	0	0	8	8	12
EL SAUZAL - RAVELO	922 m	2001 2012	3	0	0	4	7	12

A.5.9. FRECUENCIAS ABSOLUTAS DE PRECIPITACIONES DIARIAS SUPERIORES A 100 MILIMETROS

(40 m) ANAGA - TAGANANA - EL CARDONAL PERIODO: 1988 - 2013								
	ALTITUD	PERIODO	INV	PRI	VER	OTO		AÑOS
AEROPUERTO LOS RODEOS BARLOVENTO	617 m	1945 1979	1	2	0	6	9	35
AEROPUERTO LOS RODEOS SOTAVENTO	617 m	1980 2012	2	0	0	2	4	33
ANAGA - CHAMORGA	460 m	1985 2003	1	0	0	1	2	17
ANAGA - FARO	235 m	1945 1992	0	0	0	1	1	42
ANAGA - JARDINA	675 m	1986 2010	2	0	0	0	2	20
ANAGA - BARRANCO HUERTAS	140 m	1985 2005	1	0	0	0	1	19
ANAGA - TAGANANA	240 m	1985 2010	1	0	0	1	2	26
ANAGA - TAGANANA - AZANOS	220 m	1985 2010	2	0	0	1	3	25
ANAGA - TAGANANA - FAJANETAS	400 m	1947 2009	5	2	0	11	18	63
SANTA CRUZ DE TENERIFE	36 m	1931 2012	3	0	0	2	5	82
SANTA CRUZ - SAN ANDRÉS	20 m	1961 2003	2	0	0	0	2	34
TACORONTE	485 m	1946 2009	3	0	0	1	4	63
TACORONTE - AGUA GARCÍA C.F.	800 m	1975 1996	2	1	0	4	7	19
TACORONTE - AGUA GARCÍA AGROC	643 m	2005 2012	0	0	0	1	1	8
TACORONTE - GUAMASA	485 m	1947 1978	3	1	0	1	5	30
TEGUESTE - PEDRO ALVAREZ PILATO	675 m	1987 2005	1	0	0	1	2	19
TEGUESTE - EL DRAGO	370 m	1988 2009	1	0	0	1	2	22
TEGUESTE - LA PADILLA	400 m	2004 2012	0	0	0	1	1	9
VALLE GUERRA - ISAMAR	295 m	2001 2012	0	0	0	1	1	12
EL SAUZAL - RAVELO	922 m	2001 2012	2	0	0	1	3	12

A.5.10. HUMEDADES DEL AIRE MENSUALES MEDIAS

90 m. LAGUNA - TEJINA												
	ENE	FEB	MRZ	ABR	MAY	JUN	JUL	AGT	SEP	OCT	NOV	DIC
OBSER	12	12	12	12	12	12	11	11	11	11	11	11
MEDIA	68.1	69.5	71.1	70.0	70.2	72.7	74.6	75.0	75.0	74.6	71.6	69.8
LIM IN	66.0	67.4	69.2	69.1	69.4	71.8	74.0	73.6	74.4	73.6	69.6	68.0
LIM SU	70.2	71.6	72.9	70.8	71.1	73.5	75.3	76.4	75.6	75.6	73.7	71.6
C VAR.	5.6	5.4	4.5	2.2	2.1	2.1	1.6	3.2	1.4	2.3	4.8	4.4
400 m. TEGUESTE - LA PADILLA												
	ENE	FEB	MRZ	ABR	MAY	JUN	JUL	AGT	SEP	OCT	NOV	DIC
OBSER	9	9	9	9	9	9	9	9	9	9	9	9
MEDIA	69.4	70.5	70.3	71.8	71.4	74.2	73.7	73.8	72.8	73.0	71.3	71.5
LIM IN	66.6	67.0	68.5	69.5	69.7	73.0	71.8	72.3	70.9	70.9	68.5	69.9
LIM SU	72.2	73.9	72.0	74.2	73.1	75.3	75.7	75.3	74.7	75.0	74.1	73.2
C VAR.	6.2	7.5	3.9	5.0	3.7	2.4	4.0	3.0	4.0	4.2	6.0	3.5
695 m. TACORONTE - AGUA GARCÍA												
	ENE	FEB	MRZ	ABR	MAY	JUN	JUL	AGT	SEP	OCT	NOV	DIC
OBSER	8	8	8	8	8	8	9	9	9	9	9	9
MEDIA	73.1	78.9	74.5	79.8	78.6	80.7	76.0	77.9	78.4	78.9	77.2	77.6
LIM IN	68.2	76.1	70.6	76.2	75.0	78.1	71.0	73.1	75.4	75.2	73.6	75.0
LIM SU	77.9	81.6	78.5	83.5	82.1	83.3	81.0	82.7	81.4	82.5	80.7	80.2
C VAR.	9.6	5.0	7.7	6.6	6.5	4.6	10.1	9.4	5.9	7.1	7.1	5.1

655 m. EL ROSARIO - LOS BALDÍOS												
	ENE	FEB	MRZ	ABR	MAY	JUN	JUL	AGT	SEP	OCT	NOV	DIC
OBSER	3	3	3	4	4	4	4	4	4	4	4	4
MEDIA	76.2	76.8	74.5	80.2	74.9	74.3	72.3	69.8	78.0	76.6	81.9	80.5
LIM IN	72.8	74.6	66.2	76.7	67.2	68.9	65.9	64.0	72.4	69.0	76.0	78.6
LIM SU	79.7	79.0	82.8	83.7	82.5	79.8	78.7	75.5	83.6	84.2	87.7	82.3
C VAR.	4.0	2.5	9.8	4.4	10.4	7.4	9.1	8.4	7.3	10.2	7.3	2.3
136 m. SANTA CRUZ TENERIFE - AGROCABILDO												
	ENE	FEB	MRZ	ABR	MAY	JUN	JUL	AGT	SEP	OCT	NOV	DIC
OBSER	3	3	3	3	3	3	2	2	2	2	2	2
MEDIA	65.8	62.9	67.4	64.0	62.3	61.3	59.3	58.8	66.3	65.1	67.7	64.7
LIM IN	64.8	60.9	62.7	59.6	55.7	59.5						
LIM SU	66.8	64.8	72.1	68.3	68.9	63.2						
C VAR.	1.4	2.8	6.1	6.0	9.4	2.6						
75 m. SANTA CRUZ TFE - IGUESTE SAN ANDRÉS												
	ENE	FEB	MRZ	ABR	MAY	JUN	JUL	AGT	SEP	OCT	NOV	DIC
OBSER	2	2	2	2	2	2	1	1	2	2	2	2
MEDIA	64.9	63.2	66.6	62.6	59.0	63.0	55.3	50.6	65.7	64.6	69.5	64.5
305 m. SANTA CRUZ TFE - TAGANANA												
	ENE	FEB	MRZ	ABR	MAY	JUN	JUL	AGT	SEP	OCT	NOV	DIC
OBSER	2	2	2	2	2	2	1	2	2	2	2	2
MEDIA	69.9	74.0	78.9	75.2	74.8	82.4	83.1	86.0	82.9	77.3	76.4	70.8

493 m. LA LAGUNA - VALLE GUERRA - GARIMBA												
	ENE	FEB	MRZ	ABR	MAY	JUN	JUL	AGT	SEP	OCT	NOV	DIC
OBSER	4	4	4	4	4	4	4	4	4	3	3	3
MEDIA	72.4	74.0	74.9	73.7	73.0	76.2	78.1	78.9	76.9	71.8	75.0	68.5
LIM IN	68.8	72.7	68.7	65.7	64.4	71.1	72.2	73.6	74.9	68.6	66.8	65.2
LIM SU	76.1	75.3	81.1	81.7	81.6	81.3	84.0	84.3	78.9	75.0	83.1	71.8
C VAR.	5.1	1.8	8.4	11.1	12.0	6.8	7.7	6.9	2.6	3.9	9.6	4.3
256 m. LA LAGUNA - TEJINA - EL PICO												
	ENE	FEB	MRZ	ABR	MAY	JUN	JUL	AGT	SEP	OCT	NOV	DIC
OBSER	13	14	14	14	14	14	14	14	14	13	12	12
MEDIA	73.5	73.5	73.7	74.0	74.4	78.0	79.9	78.7	77.4	75.3	73.8	73.4
LIM IN	69.9	69.6	72.3	71.4	72.1	76.2	78.6	77.3	76.0	73.1	71.3	70.5
LIM SU	77.0	77.4	75.1	76.7	76.6	79.7	81.1	80.1	78.8	77.6	76.3	76.4
C VAR.	8.9	10.2	3.7	6.9	5.7	4.3	3.1	3.4	3.4	5.5	6.0	7.0
31 m. SANTA CRUZ DE TENERIFE												
	ENE	FEB	MRZ	ABR	MAY	JUN	JUL	AGT	SEP	OCT	NOV	DIC
OBSER	2	2	2	2	2	2	2	2	2	2	2	2
MEDIA	63.4	58.5	61.8	63.0	62.6	60.5	60.7	63.3	66.8	65.8	67.0	65.7
615 m. AEROPUERTO TENERIFE NORTE - LOS RODEOS												
	ENE	FEB	MRZ	ABR	MAY	JUN	JUL	AGT	SEP	OCT	NOV	DIC
OBSER	2	2	2	2	2	2	2	2	2	2	2	2
MEDIA	77.8	77.6	76.1	82.2	76.1	75.7	76.5	72.2	76.9	72.7	84.6	79.5
867 m. LA LAGUNA - LAS MERCEDES-LLANO LOS LOR												
	ENE	FEB	MRZ	ABR	MAY	JUN	JUL	AGT	SEP	OCT	NOV	DIC
OBSER	2	2	2	2	2	2	2	2	2	2	2	2
MEDIA	79.7	85.6	76.5	91.0	84.0	77.3	79.1	65.7	75.5	75.3	90.6	81.0
19 m. SAN ANDRÉS - COLEGIO												
	ENE	FEB	MRZ	ABR	MAY	JUN	JUL	AGT	SEP	OCT	NOV	DIC
OBSER	2	2	2	2	2	2	2	2	2	2	2	2
MEDIA	64.7	62.4	63.0	64.9	64.2	63.7	61.7	60.4	66.2	65.4	67.4	63.9
922 m. EL SAUZAL - RAVELO												
	ENE	FEB	MRZ	ABR	MAY	JUN	JUL	AGT	SEP	OCT	NOV	DIC
OBSER	12	12	12	12	12	12	12	12	12	12	12	12
MEDIA	73.8	76.2	72.8	81.0	80.0	77.5	70.8	70.3	75.8	78.2	79.0	76.3
LIM IN	68.6	70.8	69.7	77.2	77.5	73.7	66.6	64.1	73.2	74.8	75.6	72.7
LIM SU	79.0	81.5	75.9	84.8	82.5	81.2	75.0	76.4	78.5	81.5	82.4	79.9
C VAR.	12.4	12.5	7.5	8.3	5.5	8.5	10.4	15.4	6.3	7.6	7.5	8.4

A.5.11. HORAS MEDIAS DIARIAS H <= 40%

90 m. LAGUNA - TEJINA												
	ENE	FEB	MRZ	ABR	MAY	JUN	JUL	AGT	SEP	OCT	NOV	DIC
	12	12	12	12	12	12	11	11	11	11	11	11
MD	0.9	0.8	0.6	0.3	0.2	0.1	0.0	0.0	0.1	0.1	0.4	0.5
AC	27	22	17	8	6	2	0	0	3	3	12	15
CV	123.0	181.1	146.8	219.5	258.1	346.4	331.7	331.7	262.1	141.9	147.3	106.2
HORAS DE HUMEDAD MEDIA ANUAL ACUMULADA: 114.8 horas												
400 m. TEGUESTE - LA PADILLA												
	ENE	FEB	MRZ	ABR	MAY	JUN	JUL	AGT	SEP	OCT	NOV	DIC
	9	9	9	9	9	9	9	9	9	9	9	9
MD	1.1	1.2	1.4	0.5	0.6	0.2	0.5	0.3	0.5	0.6	1.1	0.6
AC	33	34	45	16	19	6	16	11	16	20	34	17
CV	92.9	171.1	67.3	198.5	164.8	152.7	156.5	193.1	156.9	153.0	90.3	91.4
HORAS DE HUMEDAD MEDIA ANUAL ACUMULADA: 268.2 horas												

695 m. TACORONTE - AGUA GARCÍA												
	ENE	FEB	MRZ	ABR	MAY	JUN	JUL	AGT	SEP	OCT	NOV	DIC
	8	8	8	8	8	8	9	9	9	9	9	9
MD	2.0	0.9	2.4	0.9	1.3	0.9	2.2	1.6	0.9	1.1	1.4	0.9
AC	63	24	75	28	40	27	70	49	28	34	43	27
CV	77.3	109.6	53.5	152.9	97.1	139.5	68.8	119.3	120.5	115.9	87.3	79.7
HORAS DE HUMEDAD MEDIA ANUAL ACUMULADA: 507.9 horas												
655 m. EL ROSARIO - LOS BALDÍOS												
	ENE	FEB	MRZ	ABR	MAY	JUN	JUL	AGT	SEP	OCT	NOV	DIC
	3	3	3	4	4	4	4	4	4	4	4	4
MD	1.1	0.2	1.9	0.1	1.4	2.3	3.7	3.6	0.9	1.5	0.5	0.3
AC	34	6	59	4	43	69	114	113	28	48	15	9
CV	33.3	58.0	66.2	200.0	141.4	99.5	52.3	61.7	124.7	119.5	123.7	43.5
HORAS DE HUMEDAD MEDIA ANUAL ACUMULADA: 542.9 horas												
136 m. SANTA CRUZ TENERIFE - AGROCABILDO												
	ENE	FEB	MRZ	ABR	MAY	JUN	JUL	AGT	SEP	OCT	NOV	DIC
	3	3	3	3	3	3	2	2	2	2	2	2
MD	0.8	0.4	0.4	0.9	1.2	1.9	2.5	3.0	0.9	1.3	0.0	1.0
AC	25	11	13	27	37	56	79	92	29	42	0	32
CV	14.6	158.0	155.3	171.3	89.2	27.2	0.0	0.0	0.0	0.0	0.0	
HORAS DE HUMEDAD MEDIA ANUAL ACUMULADA: 443.3 horas												
75 m. SANTA CRUZ TFE - IGUESTE SAN ANDRÉS												
	ENE	FEB	MRZ	ABR	MAY	JUN	JUL	AGT	SEP	OCT	NOV	DIC
	2	2	2	2	2	2	1	1	2	2	2	2
MD	0.9	0.6	0.9	1.6	2.4	1.9	5.3	7.3	1.1	2.3	0.0	0.9
AC	27	17	28	47	73	57	165	227	34	72	1	28
CV	0.0	0.0	0.0	0.0	0.0	0.0	0.0	0.0	0.0	0.0	0.0	0.0
HORAS DE HUMEDAD MEDIA ANUAL ACUMULADA: 776.8 horas												
305 m. SANTA CRUZ TFE - TAGANANA												
	ENE	FEB	MRZ	ABR	MAY	JUN	JUL	AGT	SEP	OCT	NOV	DIC
	2	2	2	2	2	2	1	2	2	2	2	2
MD	1.9	0.6	0.5	1.1	1.0	0.0	0.0	0.0	0.2	0.6	0.1	2.0
AC	58	17	16	33	32	1	1	0	5	20	4	62
CV	0.0	0.0	0.0	0.0	0.0	0.0	0.0	0.0	0.0	0.0	0.0	
HORAS DE HUMEDAD MEDIA ANUAL ACUMULADA: 248.4 horas												
493 m. LA LAGUNA - VALLE GUERRA - GARIMBA												
	ENE	FEB	MRZ	ABR	MAY	JUN	JUL	AGT	SEP	OCT	NOV	DIC
	4	4	4	4	4	4	4	4	4	3	3	3
MD	1.5	0.7	1.0	1.1	0.8	1.0	0.8	0.6	0.4	1.6	0.3	1.9
AC	47	19	30	33	26	29	26	18	12	49	10	59
CV	88.0	117.3	175.8	181.4	122.0	75.9	114.8	116.6	176.1	106.1	99.4	77.7
HORAS DE HUMEDAD MEDIA ANUAL ACUMULADA: 357.4 horas												
256 m. LA LAGUNA - TEJINA - EL PICO												
	ENE	FEB	MRZ	ABR	MAY	JUN	JUL	AGT	SEP	OCT	NOV	DIC
	4	4	4	4	4	4	4	4	4	3	2	2
MD	1.1	0.6	0.7	0.7	0.3	0.1	0.0	0.4	0.1	0.6	0.2	1.7
AC	34	16	20	20	10	4	1	13	4	20	5	52
CV	88.9	135.6	140.0	200.0	115.9	156.4	171.7	121.9	106.3	149.8	0.0	0.0
HORAS DE HUMEDAD MEDIA ANUAL ACUMULADA: 198.1 horas												
31 m. SANTA CRUZ DE TENERIFE												
	ENE	FEB	MRZ	ABR	MAY	JUN	JUL	AGT	SEP	OCT	NOV	DIC
	2	2	2	2	2	2	2	2	2	2	2	2
MD	0.4	0.0	0.4	0.0	0.1	0.8	1.0	0.4	0.7	0.7	0.0	0.3
AC	11	1	13	0	3	25	31	13	21	21	0	10
CV	0.0	0.0	0.0	0.0	0.0	0.0	0.0	0.0	0.0	0.0	0.0	
HORAS DE HUMEDAD MEDIA ANUAL ACUMULADA: 149.4 horas												

615 m. AEROPUERTO TENERIFE NORTE - LOS RODEOS												
	ENE	FEB	MRZ	ABR	MAY	JUN	JUL	AGT	SEP	OCT	NOV	DIC
	2	2	2	2	2	2	2	2	2	2	2	2
MD	1.3	0.1	1.8	0.0	1.9	2.7	2.8	4.2	1.7	3.3	0.0	1.2
AC	40	4	57	0	59	80	88	129	50	102	0	39
CV	0.0	0.0	0.0	0.0	0.0	0.0	0.0	0.0	0.0	0.0		
HORAS DE HUMEDAD MEDIA ANUAL ACUMULADA: 647.7 horas												
867 m. LA LAGUNA - LAS MERCEDES-LLANO LOS LOROS												
	ENE	FEB	MRZ	ABR	MAY	JUN	JUL	AGT	SEP	OCT	NOV	DIC
	2	2	2	2	2	2	2	2	2	2	2	2
MD	1.6	0.3	3.2	0.2	2.1	4.1	4.6	7.5	2.6	3.4	0.0	1.8
AC	48	10	101	6	66	124	141	234	77	105	0	56
CV	0.0	0.0	0.0	0.0	0.0	0.0	0.0	0.0	0.0	0.0	0.0	
HORAS DE HUMEDAD MEDIA ANUAL ACUMULADA: 966.6 horas												
19 m. SAN ANDRÉS - COL.REP.ARGENTINA												
	ENE	FEB	MRZ	ABR	MAY	JUN	JUL	AGT	SEP	OCT	NOV	DIC
	1	1	1	1	1	1	1	1	1	1	1	1
MD	0.4	0.0	0.9	0.0	0.9	0.5	3.6	3.0	0.5	1.2	0.0	0.7
AC	11	1	27	0	27	14	112	94	15	38	0	22
CV	0.0	0.0	0.0	0.0	0.0	0.0	0.0	0.0	0.0	0.0		
HORAS DE HUMEDAD MEDIA ANUAL ACUMULADA: 361.8 horas												
922 m. EL SAUZAL - RAVELO												
	ENE	FEB	MRZ	ABR	MAY	JUN	JUL	AGT	SEP	OCT	NOV	DIC
	12	12	12	12	12	12	12	12	12	12	12	12
MD	2.9	2.6	3.6	1.5	1.5	1.5	3.5	3.6	1.4	1.7	1.7	1.7
AC	90	72	111	45	45	44	110	112	41	52	50	54
CV	80.1	96.7	53.5	125.8	82.1	105.4	70.8	96.6	90.2	94.9	81.1	95.0
HORAS DE HUMEDAD MEDIA ANUAL ACUMULADA: 825.9 horas												

A.5.12. HORAS MEDIAS DIARIAS H <= 55%

90 m. LAGUNA - TEJINA												
	ENE	FEB	MRZ	ABR	MAY	JUN	JUL	AGT	SEP	OCT	NOV	DIC
	12	12	12	12	12	12	11	11	11	11	11	11
MD	4.3	3.3	2.6	2.4	1.8	0.9	0.6	0.9	1.2	1.5	2.5	2.9
AC	133	91	81	71	57	27	18	28	37	46	74	89
CV	59.4	70.7	69.6	55.8	64.2	47.2	58.7	88.5	54.5	41.1	62.2	52.4
HORAS DE HUMEDAD MEDIA ANUAL ACUMULADA: 750.8 horas												
400 m. TEGUESTE - LA PADILLA												
	ENE	FEB	MRZ	ABR	MAY	JUN	JUL	AGT	SEP	OCT	NOV	DIC
	9	9	9	9	9	9	9	9	9	9	9	9
MD	3.6	3.1	3.5	2.3	2.7	1.6	1.9	2.3	3.5	3.6	3.8	2.7
AC	112	87	110	70	83	47	60	72	105	110	114	83
CV	73.0	96.8	42.1	67.4	46.8	31.6	64.7	42.4	34.1	40.3	51.1	52.5
HORAS DE HUMEDAD MEDIA ANUAL ACUMULADA: 1053.0 horas												
695 m. TACORONTE - AGUA GARCÍA												
	ENE	FEB	MRZ	ABR	MAY	JUN	JUL	AGT	SEP	OCT	NOV	DIC
	8	8	8	8	8	8	9	9	9	9	9	9
MD	4.9	2.0	4.3	1.7	2.4	1.6	3.2	3.0	2.3	2.4	3.3	2.5
AC	151	56	133	51	74	49	100	92	68	75	98	79
CV	66.8	77.3	45.1	100.9	68.4	102.4	64.9	97.2	83.9	84.1	70.3	74.4
HORAS DE HUMEDAD MEDIA ANUAL ACUMULADA: 1025.3 horas												

655 m. EL ROSARIO - LOS BALDÍOS												
	ENE	FEB	MRZ	ABR	MAY	JUN	JUL	AGT	SEP	OCT	NOV	DIC
	3	3	3	4	4	4	4	4	4	4	4	4
MD	2.8	1.5	3.2	1.0	2.8	3.7	5.4	6.2	2.3	3.2	1.4	1.7
AC	87	41	99	29	86	110	168	192	69	99	42	54
CV	32.8	32.6	64.3	97.5	107.5	74.1	52.9	51.8	72.8	90.9	103.0	57.1
HORAS DE HUMEDAD MEDIA ANUAL ACUMULADA: 1075.1 horas												
136 m. SANTA CRUZ TENERIFE - AGROCABILDO												
	ENE	FEB	MRZ	ABR	MAY	JUN	JUL	AGT	SEP	OCT	NOV	DIC
	3	3	3	3	3	3	2	2	2	2	2	2
MD	3.4	4.6	2.7	4.3	5.7	6.0	6.4	8.2	3.8	4.6	2.4	3.6
AC	105	128	84	129	178	179	199	254	116	141	72	110
CV	14.3	21.0	45.3	56.6	60.6	22.7	0.0	0.0	0.0	0.0	0.0	0.0
HORAS DE HUMEDAD MEDIA ANUAL ACUMULADA: 1695.0 horas												
75 m. SANTA CRUZ TFE - IGUESTE SAN ANDRÉS												
	ENE	FEB	MRZ	ABR	MAY	JUN	JUL	AGT	SEP	OCT	NOV	DIC
	2	2	2	2	2	2	1	1	2	2	2	2
MD	4.2	4.6	4.2	5.4	7.7	5.3	8.6	13.7	4.5	5.1	2.0	3.9
AC	130	128	130	163	240	160	267	423	136	158	59	121
CV	0.0	0.0	0.0	0.0	0.0	0.0	0.0	0.0	0.0	0.0	0.0	0.0
HORAS DE HUMEDAD MEDIA ANUAL ACUMULADA: 2115.9 horas												
305 m. SANTA CRUZ TFE - TAGANANA												
	ENE	FEB	MRZ	ABR	MAY	JUN	JUL	AGT	SEP	OCT	NOV	DIC
	2	2	2	2	2	2	1	2	2	2	2	2
MD	3.6	1.0	0.8	1.8	1.4	0.6	0.2	0.0	0.5	1.2	0.6	3.3
AC	111	28	26	54	43	18	7	1	15	38	19	103
CV	0.0	0.0	0.0	0.0	0.0	0.0	0.0	0.0	0.0	0.0	0.0	0.0
HORAS DE HUMEDAD MEDIA ANUAL ACUMULADA: 462.7 horas												
493 m. LA LAGUNA - VALLE GUERRA - GARIMBA												
	ENE	FEB	MRZ	ABR	MAY	JUN	JUL	AGT	SEP	OCT	NOV	DIC
	4	4	4	4	4	4	4	4	4	3	3	3
MD	3.0	1.5	1.8	2.3	2.3	1.6	1.2	1.1	0.9	3.0	2.2	3.7
AC	92	43	55	69	73	49	38	35	29	92	65	114
CV	43.3	41.6	125.0	116.5	82.4	43.4	95.8	106.9	99.8	59.8	110.2	30.9
HORAS DE HUMEDAD MEDIA ANUAL ACUMULADA: 752.8 horas												
256 m. LA LAGUNA - TEJINA - EL PICO												
	ENE	FEB	MRZ	ABR	MAY	JUN	JUL	AGT	SEP	OCT	NOV	DIC
	4	4	4	4	4	4	4	4	4	3	2	2
MD	2.4	1.9	1.4	1.7	1.3	0.5	0.2	0.7	0.5	1.7	1.0	3.6
AC	76	53	42	52	42	14	7	21	16	53	31	112
CV	78.5	24.8	104.7	120.5	99.4	61.2	86.6	103.3	63.5	86.8	0.0	0.0
HORAS DE HUMEDAD MEDIA ANUAL ACUMULADA: 516.7 horas												
31 m. SANTA CRUZ DE TENERIFE												
	ENE	FEB	MRZ	ABR	MAY	JUN	JUL	AGT	SEP	OCT	NOV	DIC
	2	2	2	2	2	2	2	2	2	2	2	2
MD	4.3	8.7	5.8	4.1	5.2	7.0	5.7	5.4	3.6	3.8	2.1	2.6
AC	132	245	180	123	160	210	175	169	108	119	64	80
CV	0.0	0.0	0.0	0.0	0.0	0.0	0.0	0.0	0.0	0.0	0.0	0.0
HORAS DE HUMEDAD MEDIA ANUAL ACUMULADA: 1766.3 horas												
615 m. AEROPUERTO TENERIFE NORTE - LOS RODEOS												
	ENE	FEB	MRZ	ABR	MAY	JUN	JUL	AGT	SEP	OCT	NOV	DIC
	2	2	2	2	2	2	2	2	2	2	2	2
MD	2.5	0.7	2.9	0.3	2.7	3.5	3.3	5.9	2.7	4.4	0.1	2.5
AC	78	21	91	9	85	104	103	183	81	137	3	77
CV	0.0	0.0	0.0	0.0	0.0	0.0	0.0	0.0	0.0	0.0	0.0	0.0
HORAS DE HUMEDAD MEDIA ANUAL ACUMULADA: 970.1 horas												

867 m. LA LAGUNA - LAS MERCEDES-LLANO LOS LOR												
	ENE	FEB	MRZ	ABR	MAY	JUN	JUL	AGT	SEP	OCT	NOV	DIC
	2	2	2	2	2	2	2	2	2	2	2	2
MD	4.1	1.0	5.3	0.5	2.7	6.4	5.4	10.0	5.2	5.2	0.1	3.6
AC	128	29	163	15	82	193	167	311	156	161	4	111
CV	0.0	0.0	0.0	0.0	0.0	0.0	0.0	0.0	0.0	0.0	0.0	0.0
HORAS DE HUMEDAD MEDIA ANUAL ACUMULADA: 1519.7 horas												
19 m. SAN ANDRÉS - COL.REP.ARGENTINA												
	ENE	FEB	MRZ	ABR	MAY	JUN	JUL	AGT	SEP	OCT	NOV	DIC
	1	1	1	1	1	1	1	1	1	1	1	1
MD	3.9	6.3	5.1	3.8	6.8	2.0	6.9	11.3	2.6	3.5	1.6	5.2
AC	121	177	159	115	209	59	213	349	77	109	49	160
CV	0.0	0.0	0.0	0.0	0.0	0.0	0.0	0.0	0.0	0.0	0.0	0.0
HORAS DE HUMEDAD MEDIA ANUAL ACUMULADA: 1796.5 horas												
922 m. EL SAUZAL - RAVELO												
	ENE	FEB	MRZ	ABR	MAY	JUN	JUL	AGT	SEP	OCT	NOV	DIC
	12	12	12	12	12	12	12	12	12	12	12	12
MD	5.4	4.4	5.9	2.6	2.8	3.5	6.0	6.2	3.6	3.3	3.3	3.8
AC	167	124	183	78	87	104	186	193	109	102	100	118
CV	67.1	85.6	46.3	90.9	68.0	72.6	46.6	71.3	55.3	74.0	57.5	66.6
HORAS DE HUMEDAD MEDIA ANUAL ACUMULADA: 1551.1 horas												

A.5.13. HORAS MEDIAS DIARIAS H => 85%

90 m. LAGUNA - TEJINA												
	ENE	FEB	MRZ	ABR	MAY	JUN	JUL	AGT	SEP	OCT	NOV	DIC
	12	12	12	12	12	12	11	11	11	11	11	11
MD	3.2	3.5	4.1	2.9	2.8	3.9	4.6	5.6	6.3	6.1	4.6	3.2
AC	98	97	128	88	87	117	142	173	188	188	139	101
CV	32.6	40.6	41.9	39.0	33.5	26.9	22.6	31.8	28.0	26.4	33.2	52.6
HORAS DE HUMEDAD MEDIA ANUAL ACUMULADA: 1546.6 horas												
400 m. TEGUESTE - LA PADILLA												
	ENE	FEB	MRZ	ABR	MAY	JUN	JUL	AGT	SEP	OCT	NOV	DIC
	9	9	9	9	9	9	9	9	9	9	9	9
MD	3.6	4.0	4.5	4.2	4.5	6.0	6.1	6.8	6.9	7.0	5.9	4.1
AC	111	113	140	126	140	180	189	211	206	218	176	126
CV	42.1	29.8	25.5	16.7	31.0	29.6	28.9	28.8	24.3	24.3	34.6	39.4
HORAS DE HUMEDAD MEDIA ANUAL ACUMULADA: 1935.5 horas												
695 m. TACORONTE - AGUA GARCÍA												
	ENE	FEB	MRZ	ABR	MAY	JUN	JUL	AGT	SEP	OCT	NOV	DIC
	8	8	8	8	8	8	9	9	9	9	9	9
MD	8.1	10.3	9.9	11.6	11.4	12.7	11.1	11.8	11.4	11.6	10.5	9.1
AC	253	289	306	349	352	382	345	365	343	360	314	283
CV	31.4	20.2	18.2	19.2	13.1	9.1	32.5	23.2	18.8	23.3	24.8	19.3
HORAS DE HUMEDAD MEDIA ANUAL ACUMULADA: 3940.4 horas												
655 m. EL ROSARIO - LOS BALDÍOS												
	ENE	FEB	MRZ	ABR	MAY	JUN	JUL	AGT	SEP	OCT	NOV	DIC
	3	3	3	4	4	4	4	4	4	4	4	4
MD	9.0	7.6	8.7	9.9	8.8	9.8	10.2	9.1	11.3	10.1	12.7	11.1
AC	278	211	270	297	274	293	315	282	338	314	381	344
CV	10.6	28.6	10.3	15.4	36.0	15.5	19.4	22.1	21.6	36.8	30.5	20.2
HORAS DE HUMEDAD MEDIA ANUAL ACUMULADA: 3598.9 horas												

130 m. SANTA CRUZ TENERIFE - AGROCABILDO												
	ENE	FEB	MRZ	ABR	MAY	JUN	JUL	AGT	SEP	OCT	NOV	DIC
	3	3	3	3	3	3	2	2	2	2	2	2
MD	0.8	0.0	1.0	0.9	0.5	0.1	0.2	0.1	1.3	1.2	0.8	0.3
AC	24	1	32	28	17	3	8	2	39	37	24	10
CV	21.7	122.6	145.6	41.6	56.5	59.3	0.0	0.0	0.0	0.0	0.0	0.0
HORAS DE HUMEDAD MEDIA ANUAL ACUMULADA: 223.1 horas												
75 m. SANTA CRUZ TFE - IGUESTE SAN ANDRÉS												
	ENE	FEB	MRZ	ABR	MAY	JUN	JUL	AGT	SEP	OCT	NOV	DIC
	2	2	2	2	2	2	1	1	2	2	2	2
MD	0.7	0.2	1.5	0.8	0.4	0.5	0.0	0.0	1.0	1.4	1.6	0.5
AC	21	6	47	23	13	14	0	0	30	45	48	15
CV	0.0	0.0	0.0	0.0	0.0	0.0	0.0	0.0	0.0	0.0		
HORAS DE HUMEDAD MEDIA ANUAL ACUMULADA: 261.8 horas												
305 m. SANTA CRUZ TFE - TAGANANA												
	ENE	FEB	MRZ	ABR	MAY	JUN	JUL	AGT	SEP	OCT	NOV	DIC
	2	2	2	2	2	2	1	2	2	2	2	2
MD	2.6	2.8	7.1	5.3	5.0	10.6	10.6	14.5	11.3	6.3	4.8	2.7
AC	81	80	219	159	154	319	328	450	338	196	145	85
CV	0.0	0.0	0.0	0.0	0.0	0.0	0.0	0.0	0.0	0.0	0.0	0.0
HORAS DE HUMEDAD MEDIA ANUAL ACUMULADA: 2553.0 horas												
493 m. LA LAGUNA - VALLE GUERRA - GARIMBA												
	ENE	FEB	MRZ	ABR	MAY	JUN	JUL	AGT	SEP	OCT	NOV	DIC
	4	4	4	4	4	4	4	4	4	3	3	3
MD	5.6	5.1	6.8	6.3	6.2	8.2	9.1	9.7	6.7	5.2	5.9	2.2
AC	174	143	212	188	193	245	282	300	200	161	176	69
CV	38.4	28.2	43.6	61.7	93.5	52.9	56.0	47.6	36.8	30.6	62.3	73.1
HORAS DE HUMEDAD MEDIA ANUAL ACUMULADA: 2343.6 horas												
256 m. LA LAGUNA - TEJINA - EL PICO												
	ENE	FEB	MRZ	ABR	MAY	JUN	JUL	AGT	SEP	OCT	NOV	DIC
	4	4	4	4	4	4	4	4	4	3	2	2
MD	1.9	2.7	3.2	2.3	2.6	4.2	5.4	6.0	3.5	2.8	3.5	1.0
AC	60	74	98	68	80	127	168	186	106	88	105	31
CV	49.8	66.3	50.7	13.5	43.6	30.0	30.4	9.0	51.7	43.0	0.0	0.0
HORAS DE HUMEDAD MEDIA ANUAL ACUMULADA: 1190.2 horas												
31 m. SANTA CRUZ DE TENERIFE												
	ENE	FEB	MRZ	ABR	MAY	JUN	JUL	AGT	SEP	OCT	NOV	DIC
	2	2	2	2	2	2	2	2	2	2	2	2
MD	0.6	0.0	0.2	0.4	0.7	0.5	0.0	0.4	1.9	1.2	0.9	0.2
AC	18	0	5	11	22	15	1	12	56	37	27	8
CV	0.0	0.0	0.0	0.0	0.0	0.0	0.0	0.0	0.0	0.0	0.0	0.0
HORAS DE HUMEDAD MEDIA ANUAL ACUMULADA: 212.2 horas												
615 m. AEROPUERTO TENERIFE NORTE - LOS RODEOS												
	ENE	FEB	MRZ	ABR	MAY	JUN	JUL	AGT	SEP	OCT	NOV	DIC
	2	2	2	2	2	2	2	2	2	2	2	2
MD	10.0	7.2	9.9	11.2	10.4	8.7	11.6	10.5	10.1	8.9	13.3	10.8
AC	310	201	307	337	322	262	358	327	303	276	398	334
CV	0.0	0.0	0.0	0.0	0.0	0.0	0.0	0.0	0.0	0.0	0.0	0.0
HORAS DE HUMEDAD MEDIA ANUAL ACUMULADA: 3733.8 horas												
867 m. LA LAGUNA - LAS MERCEDES-LLANO LOS LOROS												
	ENE	FEB	MRZ	ABR	MAY	JUN	JUL	AGT	SEP	OCT	NOV	DIC
	2	2	2	2	2	2	2	2	2	2	2	2
MD	13.6	15.7	13.0	19.4	16.0	14.4	16.3	10.4	11.8	12.2	18.6	14.5
AC	420	439	403	583	497	432	506	323	354	378	559	449
CV	0.0	0.0	0.0	0.0	0.0	0.0	0.0	0.0	0.0	0.0	0.0	0.0
HORAS DE HUMEDAD MEDIA ANUAL ACUMULADA: 5343.2 horas												

19 m. SAN ANDRÉS - COL.REP.ARGENTINA												
	ENE	FEB	MRZ	ABR	MAY	JUN	JUL	AGT	SEP	OCT	NOV	DIC
	1	1	1	1	1	1	1	1	1	1	1	1
MD	0.0	0.2	0.0	0.3	0.1	0.3	0.0	0.0	0.9	1.1	1.8	0.4
AC	2	5	0	11	4	8	0	0	26	34	53	13
CV	0.0	0.0	0.0	0.0	0.0	0.0	0.0	0.0	0.0			
HORAS DE HUMEDAD MEDIA ANUAL ACUMULADA: 155.0 horas												
922 m. EL SAUZAL - RAVELO												
	ENE	FEB	MRZ	ABR	MAY	JUN	JUL	AGT	SEP	OCT	NOV	DIC
	12	12	12	12	12	12	12	12	12	12	12	12
MD	10.5	11.8	10.8	14.0	13.1	11.7	9.7	9.6	10.6	11.8	12.9	10.3
AC	326	331	336	419	408	352	300	297	319	365	386	319
CV	40.4	31.8	21.0	19.7	16.0	24.3	27.6	35.8	20.9	20.8	22.5	33.6
HORAS DE HUMEDAD MEDIA ANUAL ACUMULADA: 4157.5 horas												

A.5.14. HORAS MEDIAS DIARIAS H => 95%

90 m. LAGUNA - TEJINA												
	ENE	FEB	MRZ	ABR	MAY	JUN	JUL	AGT	SEP	OCT	NOV	DIC
	12	12	12	12	12	12	11	11	11	11	11	11
MD	0.2	0.4	0.3	0.4	0.3	0.2	0.3	0.2	0.3	0.4	0.4	0.3
AC	6	10	10	13	8	5	10	7	8	14	13	8
CV	105.6	109.2	87.9	98.8	133.5	132.3	116.2	137.7	153.8	116.8	96.6	128.6
HORAS DE HUMEDAD MEDIA ANUAL ACUMULADA: 112.2 horas												
250 m. LAGUNA - PICO DE TEJINA - ICIA												
	ENE	FEB	MRZ	ABR	MAY	JUN	JUL	AGT	SEP	OCT	NOV	DIC
	4	4	4	4	4	4	4	4	4	3	2	2
MD	0.0	0.1	0.1	0.0	0.0	0.1	0.2	0.1	0.1	0.1	0.0	0.0
AC	1	2	3	0	0	4	6	2	4	3	0	0
CV	120.0	200.0	200.0	200.0	137.6	200.0	200.0	173.2				
HORAS DE HUMEDAD MEDIA ANUAL ACUMULADA: 23.1 horas												
305 m. SANTA CRUZ TFE - TAGANANA												
	ENE	FEB	MRZ	ABR	MAY	JUN	JUL	AGT	SEP	OCT	NOV	DIC
	2	2	2	2	2	2	1	2	2	2	2	2
MD	0.5	0.0	0.4	1.2	0.6	2.1	1.0	2.5	1.3	0.8	0.8	0.1
AC	16	1	12	37	18	62	31	77	39	24	23	3
CV	0.0	0.0	0.0	0.0	0.0	0.0	0.0	0.0	0.0	0.0	0.0	0.0
HORAS DE HUMEDAD MEDIA ANUAL ACUMULADA: 342.9 horas												
400 m. TEGUESTE - LA PADILLA												
	ENE	FEB	MRZ	ABR	MAY	JUN	JUL	AGT	SEP	OCT	NOV	DIC
	9	9	9	9	9	9	9	9	9	9	9	9
MD	0.0	0.1	0.1	0.1	0.0	0.2	0.0	0.1	0.1	0.1	0.2	0.2
AC	0	4	2	4	1	6	1	4	3	4	7	7
CV	300.0	300.0	300.0	300.0	300.0	215.2	300.0	300.0	300.0	300.0	300.0	
HORAS DE HUMEDAD MEDIA ANUAL ACUMULADA: 42.1 horas												
493 m. LA LAGUNA - GARIMBA - ICIA												
	ENE	FEB	MRZ	ABR	MAY	JUN	JUL	AGT	SEP	OCT	NOV	DIC
	4	4	4	4	4	4	4	4	4	3	3	3
MD	0.7	0.4	0.5	1.1	1.5	2.1	1.9	2.6	0.9	0.7	1.6	0.1
AC	21	11	15	34	46	64	59	82	27	21	49	4
CV	40.5	68.8	75.5	68.1	158.8	76.3	143.9	123.8	151.5	86.6	90.3	127.0
HORAS DE HUMEDAD MEDIA ANUAL ACUMULADA: 432.6 horas												

867 m. LA LAGUNA - ANAGA - LLANO LOS LOROS												
	ENE	FEB	MRZ	ABR	MAY	JUN	JUL	AGT	SEP	OCT	NOV	DIC
	2	2	2	2	2	2	2	2	2	2	2	2
MD	7.7	7.3	8.4	13.3	11.4	11.5	13.0	7.6	6.3	6.2	11.5	6.4
AC	238	205	259	400	353	345	403	235	190	193	346	200
CV	0.0	0.0	0.0	0.0	0.0	0.0	0.0	0.0	0.0	0.0	0.0	0.0
HORAS DE HUMEDAD MEDIA ANUAL ACUMULADA: 3367.7 horas												
31 m. SANTA CRUZ DE TENERIFE - AUTOMATICA												
	ENE	FEB	MRZ	ABR	MAY	JUN	JUL	AGT	SEP	OCT	NOV	DIC
	2	2	2	2	2	2	2	2	2	2	2	2
MD	0.0	0.0	0.0	0.0	0.0	0.0	0.0	0.0	0.1	0.0	0.0	0.0
AC	0	0	0	1	1	0	0	0	3	0	0	0
CV	0.0	0.0	0.0									
HORAS DE HUMEDAD MEDIA ANUAL ACUMULADA: 4.6 horas												
75 m. SANTA CRUZ TFE - IGUESTE SAN ANDRÉS												
	ENE	FEB	MRZ	ABR	MAY	JUN	JUL	AGT	SEP	OCT	NOV	DIC
	2	2	2	2	2	2	1	1	2	2	2	2
MD	0.0	0.0	0.0	0.2	0.0	0.0	0.0	0.0	0.1	0.0	0.1	0.0
AC	0	0	0	5	0	1	0	0	3	1	4	0
CV	0.0	0.0	0.0	0.0	0.0	0.0						
HORAS DE HUMEDAD MEDIA ANUAL ACUMULADA: 14.8 horas												
136 m. SANTA CRUZ TENERIFE - CRUZ SENOR												
	ENE	FEB	MRZ	ABR	MAY	JUN	JUL	AGT	SEP	OCT	NOV	DIC
	3	3	3	3	3	3	2	2	2	2	2	2
MD	0.0	0.0	0.0	0.1	0.0	0.0	0.0	0.0	0.0	0.0	0.0	0.0
AC	0	0	0	2	0	0	0	0	1	1	1	0
CV	173.2	173.2	121.2	173.2	0.0	0.0	0.0					
HORAS DE HUMEDAD MEDIA ANUAL ACUMULADA: 5.8 horas												
616 m. AEROPUERTO LOS RODEOS - TENERIFE NORTE												
	ENE	FEB	MRZ	ABR	MAY	JUN	JUL	AGT	SEP	OCT	NOV	DIC
	2	2	2	2	2	2	2	2	2	2	2	2
MD	2.6	1.0	2.0	3.2	2.6	3.8	4.7	5.9	4.3	2.2	4.7	3.9
AC	82	28	62	97	81	113	146	181	128	69	141	120
CV	0.0	0.0	0.0	0.0	0.0	0.0	0.0	0.0	0.0	0.0	0.0	0.0
HORAS DE HUMEDAD MEDIA ANUAL ACUMULADA: 1248.1 horas												
655 m. EL ROSARIO - LOS BALDÍOS												
	ENE	FEB	MRZ	ABR	MAY	JUN	JUL	AGT	SEP	OCT	NOV	DIC
	3	3	3	4	4	4	4	4	4	4	4	4
MD	1.1	0.7	0.5	1.3	0.6	0.8	3.0	1.7	2.5	2.5	4.0	3.1
AC	35	21	17	40	18	25	93	52	74	78	119	97
CV	42.9	138.8	14.2	49.6	72.5	48.0	129.4	134.0	159.8	153.3	132.8	117.1
HORAS DE HUMEDAD MEDIA ANUAL ACUMULADA: 668.0 horas												
867 m. LA LAGUNA - ANAGA - LLANO LOS LOROS												
	ENE	FEB	MRZ	ABR	MAY	JUN	JUL	AGT	SEP	OCT	NOV	DIC
	2	2	2	2	2	2	2	2	2	2	2	2
MD	7.7	7.3	8.4	13.3	11.4	11.5	13.0	7.6	6.3	6.2	11.5	6.4
AC	238	205	259	400	353	345	403	235	190	193	346	200
CV	0.0	0.0	0.0	0.0	0.0	0.0	0.0	0.0	0.0	0.0	0.0	0.0
HORAS DE HUMEDAD MEDIA ANUAL ACUMULADA: 3367.7 horas												